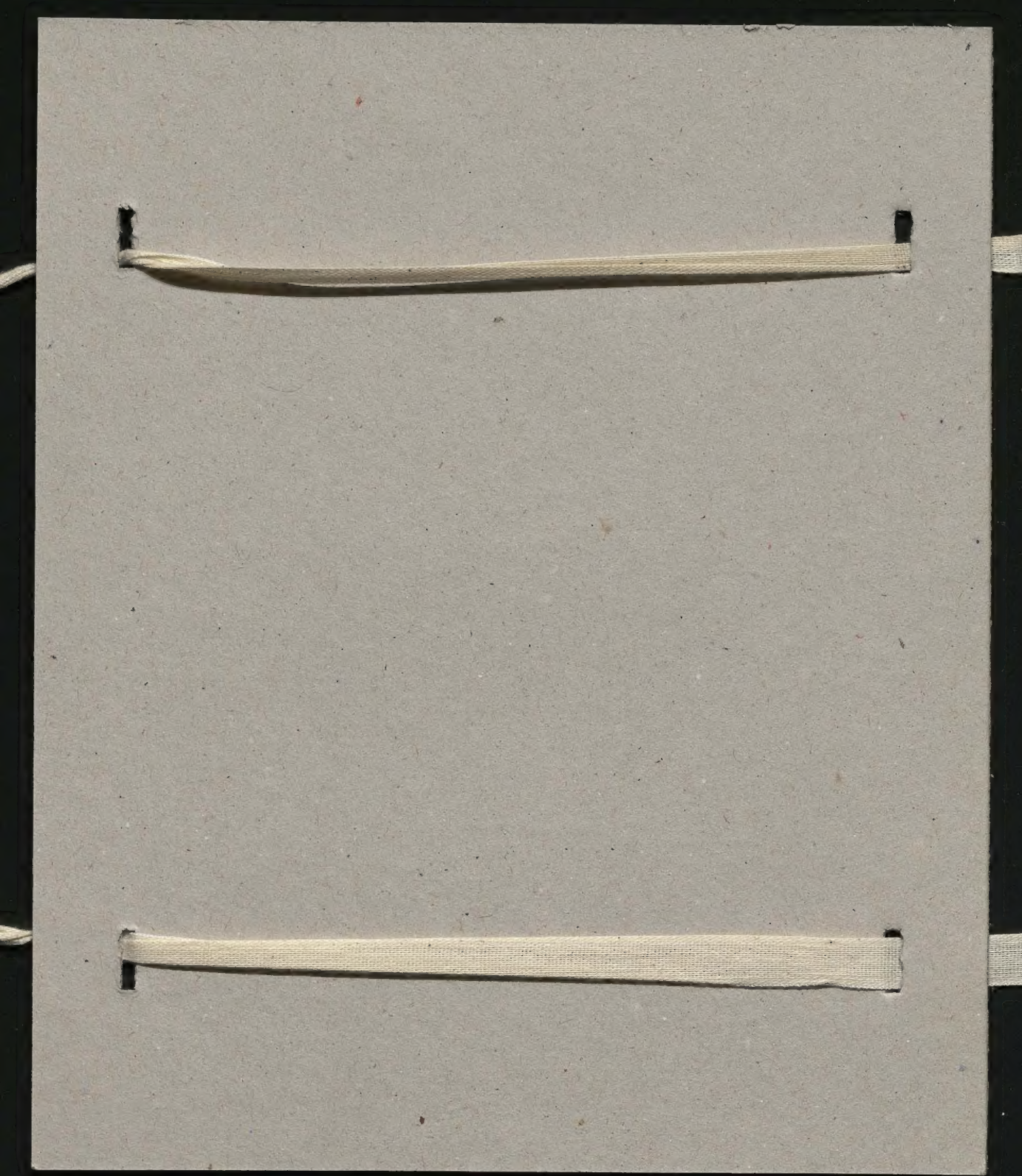


9409

Bibl. Jap.

11



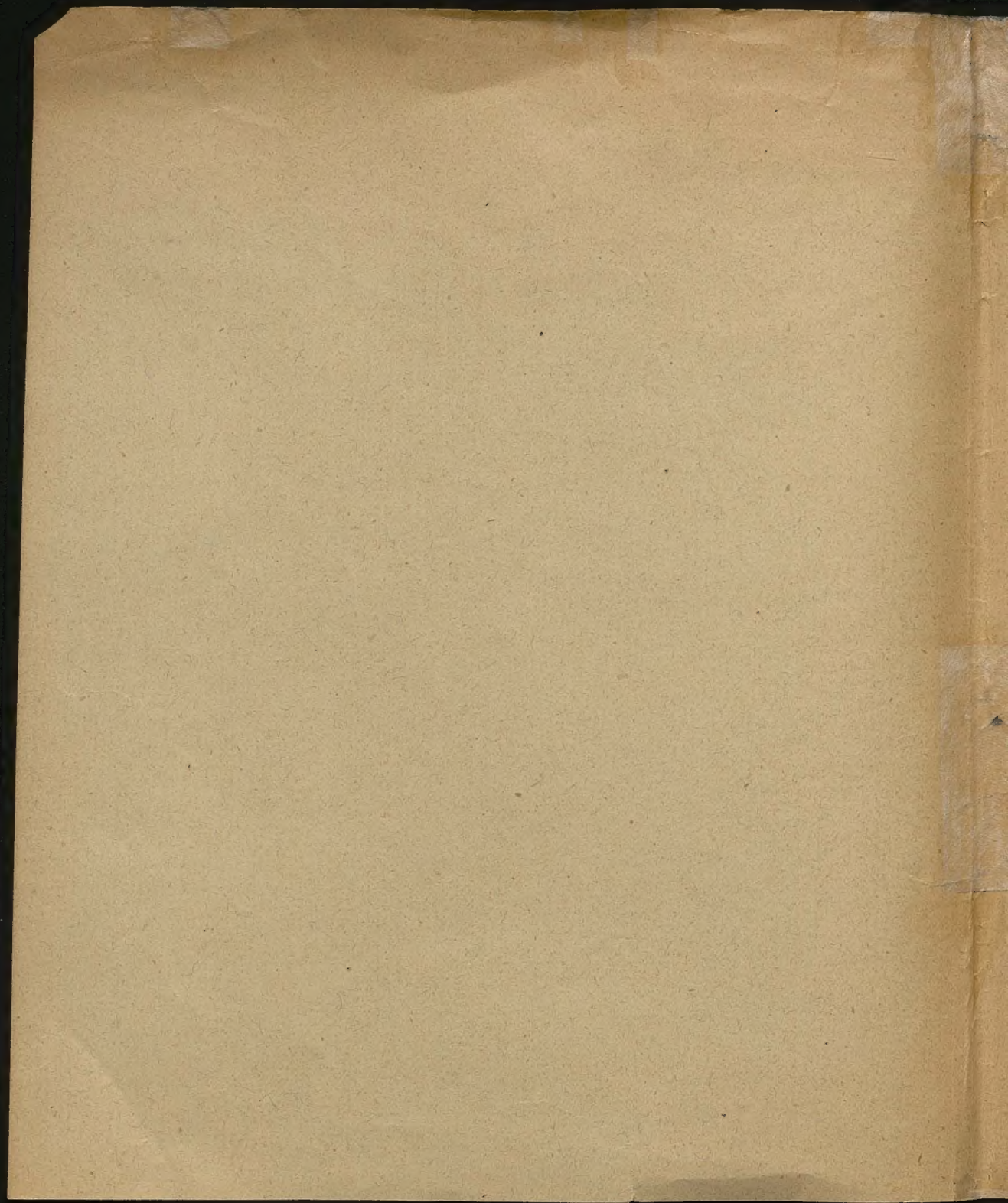
9409

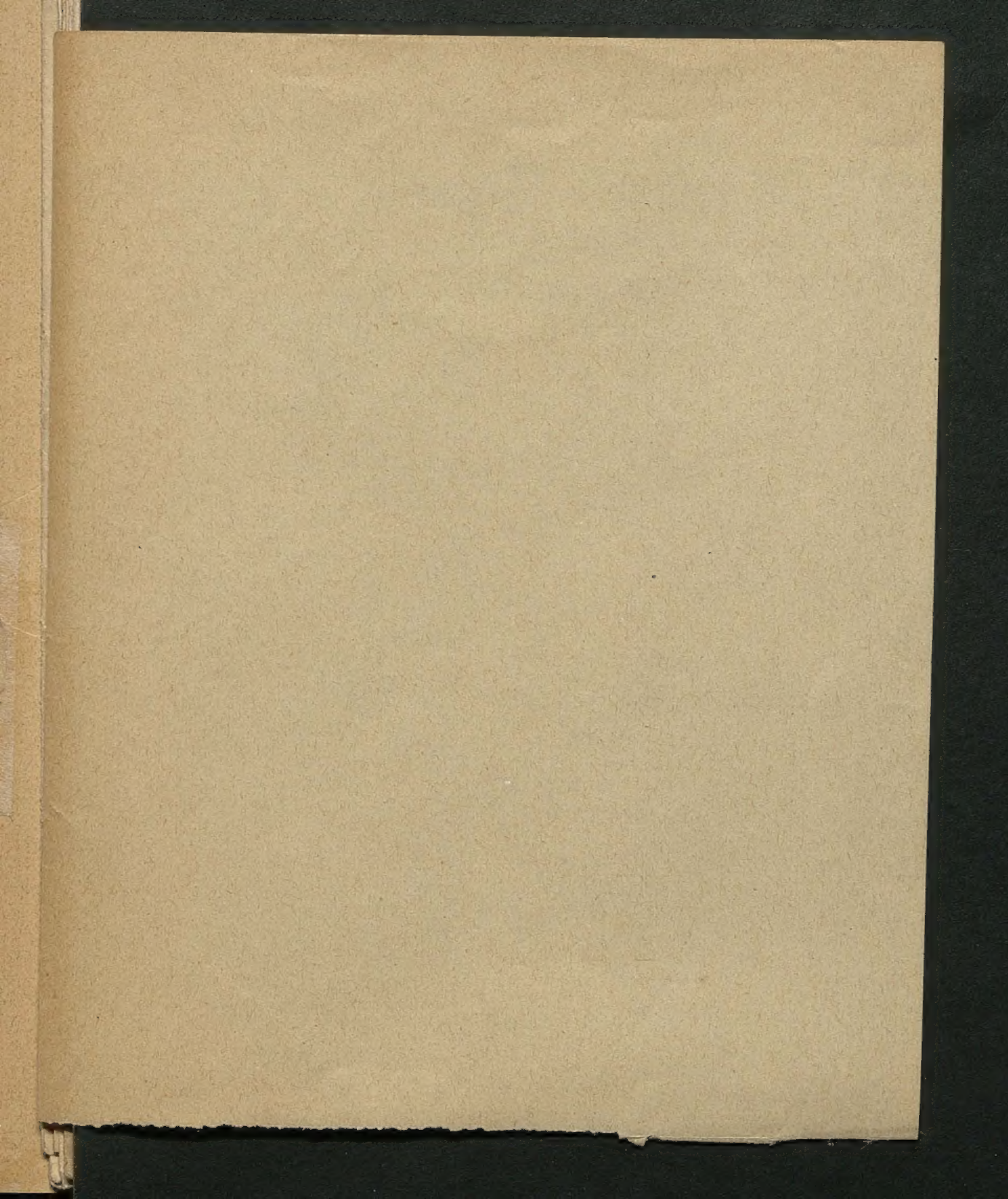
II

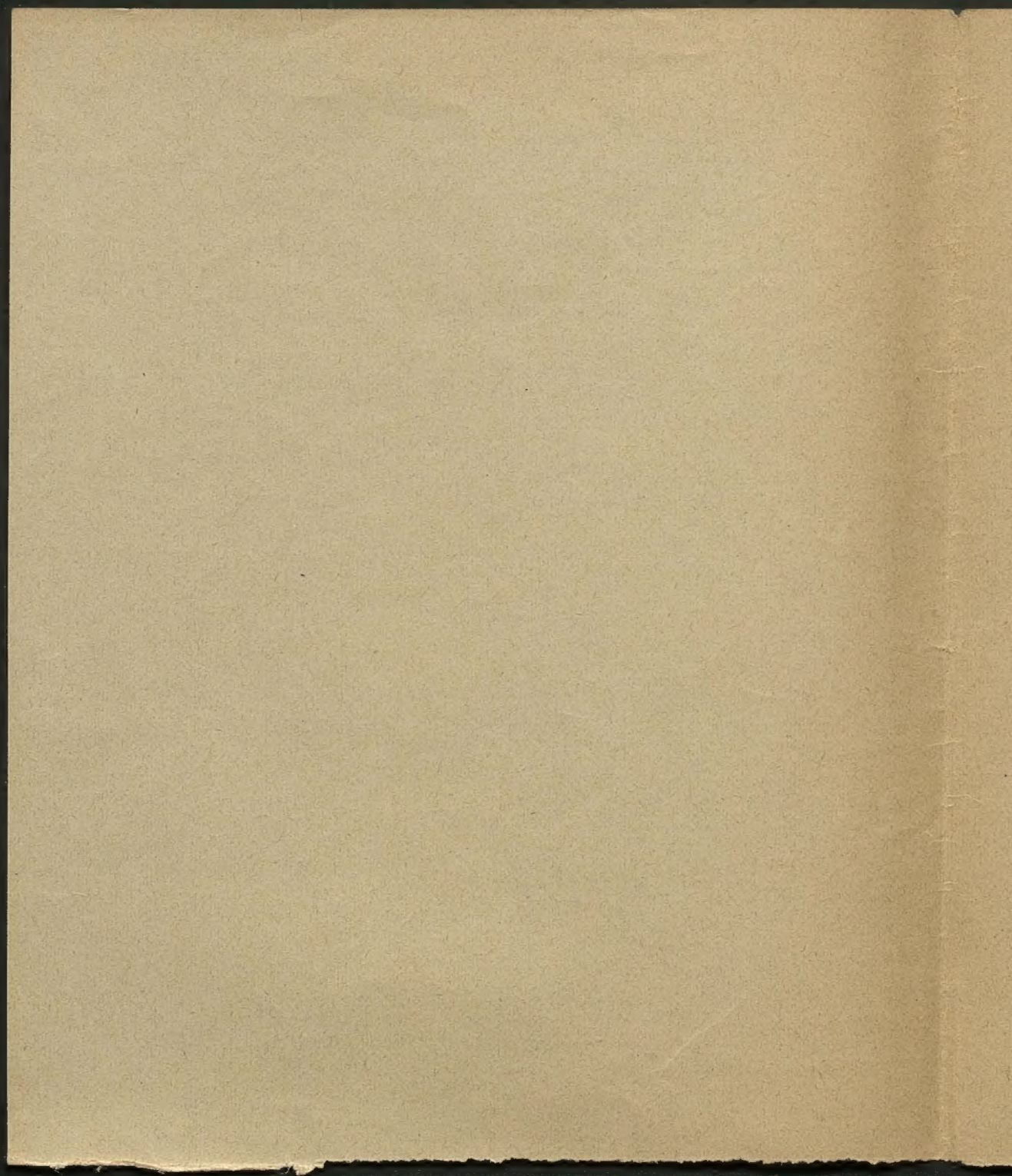
T B3

B3

Notatki
z czasów Sudyów
2







On the electrical resistivity of bismuth, of the temper. of liq. air.

James Swar & J.A. Fleming

temp. in platinum degrees	Magnetic field C.G.S.			
	0	1,400	2,750	
200	1.679	1.700	1.792	over temp.
-202°	0.5723	1.4435	2.6801	in liquid air

[Researches about \uparrow between 0° and 100° see: J.D. Henderson
(Ph.M. XXXVIII p. 488) between 0 and 22,700 C.G.S.]

Bismuth applied was furnished by Messrs. Hartmann
& Braun: exceedingly pure electrolytical bismuth-wire
length 8085 cm, diam.: 0.05245 cm; very soft

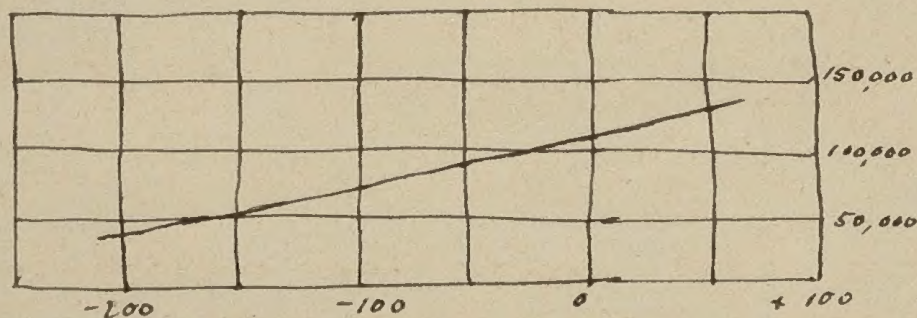
temp.	ohms	C.G.S. μcm^3	
+60°5	4.9857	133,250	
+19°	4.3464	116,180	
-61°2	3.1275	83,590	in CO ₂ and ether
-202°2	1.5256	40,780	in liquid air

resistivity at 0°: 108,000

whiles Rothemann found for his bismuth 129,700

There is no minimum reached (contrary to earlier experiences & on less pure Bi: Phil. Mag. 95 p. 303).

Curve goes towards $-273^{\circ} = 0$



Temperatures measured with platinum wire - thermometers described in: Dewar & Fleming

"Thermoelectric Powers of Metals and Alloys at the Boiling Point of Liquid Air" Phil. Mag. 95 July p. 100

Electrician XXXVII 25/9 p. 6 p. 701

Report on Dist. Am at Liquid: L.H., O, H, H

Potential required to pass between 2 points distant 15 mm: 2-3000 millamp.

3000 V.	32	with at $\frac{1}{1000}$ atm. only a few score of volts to start a current
5000	7.8	
8000	28.1	

below $\frac{1}{55}$ mm mercury again increasing

1 atm.	:	3000 V.	0.6 millamp.
5000.000	:	5000	1.95
	:	8000	6.5

3

James Dewar LL.D., FRS Prof of Chem.: Royal Institution
 J. A. Fleming MA. D.Sc. FRS " El. Eng. University College
 London

Electrician XXXVII 25/10 p 6 p. 828
 Armstrong's Theoria of Electrolysis see sheet 86 February

9/10 p 6 p. 765

Measurement of electric currents through air at different
 densities down to one five-millionth of the density of
 ordinary air.

cylindrical tube 13cm long, $1\frac{1}{2}$ cm diam., aluminium
 terminals points dist 1.5cm

3,000	7.2	microampere	at ordinary pressure
5,000	17.6		
8,000	63.2		

56 microamp. were obtained with

7,400	1.090	700	370	405	570	Volts at pressure
750	44	7	$\frac{1}{2}$	$\frac{1}{22}$	$\frac{1}{55}$	mm =
1	0.058	0.0093	0.0007	0.00006	0.000024	

3000	1.3	at pressure of $\frac{1}{5,000,000}$
5000	4.4	
8000	14.6	

Thomson Popular lectures p. 18.

Period of vibration of water drops: $= \frac{1}{4} a^{3/2}$

$a = \frac{1}{4} \text{ cm} \quad \tau = \frac{1}{32} \text{ sec.}$

1	4/4
2.54	1
4	2
16	16
1,407	13,200

J. J. Thomson prof. of exp. phys. Cambridge
MA. FRS.

Proc. R.S. 56 Kelvin Maclean On the Electrification
of air. Charged drop evaporates, therefore air vapour

must carry away elects. If sufficiently to show it. +

Charged air through point, tested with dry elects;

Results negat. elect. retained not so long as +

dust makes no difference; but also electd. by water dripping

half, this depends on dust.

For full equl. of electrified air in conductive enclosure

necessary that surfaces of equal elect. vol. density = surfaces

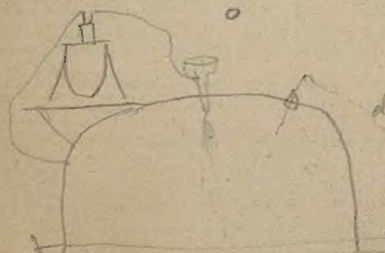
of equal potential. F.i. sphere = diff. betn. pot. of air at the

$V = 4\pi \int_0^a \rho \left(\frac{r^2}{2} - \frac{r^2}{a} \right) dr$ boundary and at the centre =
diff. of pot. at the centre due to
the total quant. distrib. through the air at
the equal and opposite on the inner boundary

d.m. Supp. $\rho = \text{const.}$ $V = \frac{2}{3} \pi \rho a^2$

F.i. $V = 38 \text{ V} = 0.127 \text{ CGS}$, $a = 50$, $\rho = 2.4 \cdot 10^{-6}$

electrostatic force $= 10^{-4} \frac{1}{2}$ || $n=25$: 4.8 % of the gravity force
at boundary (towards) = 10 %!



Harrison & son printers R. Martin's Lane

	Lampen à 16 Kerzen Lichtstärke				Lampen à 32 Kerzen Lichtstärke			
	Edison	Swan	Lane Fox	Maxim	Edison	Swan	Lane Fox	Maxim
Kerzenstärke	15.38	16.61	16.36	15.96	31.11	32.21	32.71	31.93
Ohms	137.4	32.78	27.46	41.11	130.03	31.75	26.59	39.60
Volts	89.11	47.30	43.63	56.49	98.39	51.21	48.22	62.27
Ampères	0.651	1.471	1.593	1.380	0.7585	1.758	1.815	1.578
Volt-Ampères	57.98	69.24	69.53	78.05	74.62	94.88	87.65	98.41
Kgmtr.	5.911	7.059	7.089	7.939	7.604	9.67	8.936	10.03
Lampe pro HP.	12.73	10.71	10.61	9.48	9.88	7.90	8.47	7.50
Kerzen pro HP.	196.4	177.92	173.85	151.27	307.25	262.19	276.89	239.41



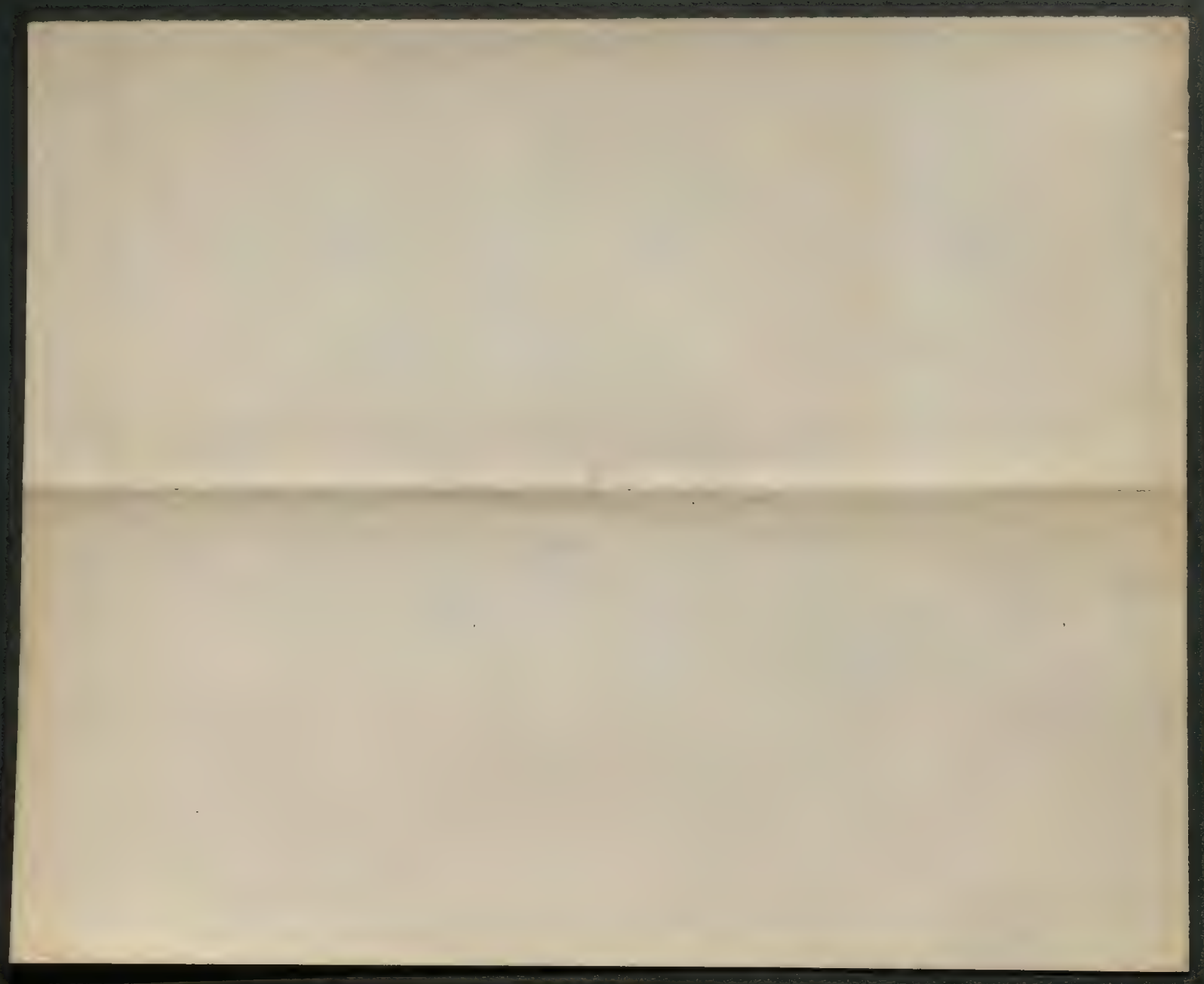
Fig. 34.

des spröden Kohlenbügels sofort zerbrechen, wogegen, wenn die Schrauben weniger fest angezogen werden, der Strom in Folge des schlechten Contactes bei seinem Uebergange aus den Drähten einen grossen Widerstand finden, an den Berührungsstellen Platin und Kohle glühend machen, ersteres schmelzen und somit in kurzer Zeit die ganze Verbindung zerstören würde. Der solcherart präparirte Bügel wird nun in die Glasglocke so weit

eingeführt, dass die Kohle etwa in die Mitte der Glocke zu stehen kommt. Nun werden die Platindrähte in den Lampenhals eingeschmolzen, wird die Luft aus der Glocke durch den trichterförmigen Ansatz derselben ausgepumpt und die Glocke selbst mit Gasolin-dämpfen wieder ausgesogen; hierauf wird ein elektrischer Strom durch den Kohlenbügel geleitet und dadurch dieser letztere zum Glühen gebracht. Die hierbei sich entwickelnde Wärme zersetzt das in der Glasglocke zurückgebliebene Gasolin: der Kohlenstoff desselben scheidet sich in den Poren des Kohlenbügels aus und gestaltet dadurch denselben zu einer homogenen und metallisch harten Masse. Schliesslich wird die Glocke vollständig luftleer gemacht und der Glastrichter zugeschmolzen, worauf die Eintrittsstellen der Platindrähte mit Gyps vergossen werden und man nunmehr die übrige, einen sicheren Contact ermöglichende Fassung darüber anbringen kann.

Schliesslich mag noch in der Reihe der älteren Constructionen auch die Glühlampe von Lane Fox Erwähnung finden, deren Leiter aus einem entsprechend geformten Stücke Cokes hergestellt wird, welches an seiner unteren Kante eine Messerklinge enthält. Um dieses Stück Cokes wird ein H. ...

R^2O	RO	R^2O^3	RH^4 RO^2	RH^3 R^2O^5	RH^2 RO^3	RH R^2O^7	RO^4
$H=1$							
$Li=7$	$Be=9.4$	$B=11$	$C=12$	$N=14$	$O=16$	$F=19$	
$Na=23$	$Mg=24$	$Al=27.3$	$Si=28$	$P=31$	$S=32$	$Cl=35.5$	
$K=39$	$Ca=40$		$Ti=48$	$V=51$	$Cr=52$	$Mn=55$	$Fe=55, Co=Ni=59$
$Cu=63$	$Zn=65$		$Ge=72$	$As=75$	$Se=78$	$Br=80$	
$Rb=85$	$Sr=87$	$Y=88$	$Zr=90$	$Nb=94$	$Mo=96$		$Ru=104=Rh$ $Pd=106$
$Ag=108$	$Cd=112$	$In=113$	$Sn=118$	$Sb=122$	$Te=125$	$I=127$	
$Cs=133$	$Ba=137$	$Pb=138$	$Cu=140$				$Os=192$ $Ir=193$
—	—						
—	—	$Er=178$	$La=180$	$Ta=182$	$W=184$		
$Au=197$	$Hg=200$	$Tl=204$	$Pb=207$	$Bi=208$			
					$U=240$		



Substitutionen in die

Integration von $\frac{dx}{u}$, $\frac{dx}{u^2}$, $\frac{x dx}{u}$

$$u = \sqrt{a + bx + cx^2}$$

$$k = \frac{4ac - b^2}{4c} \quad y = x + \frac{k}{2c}$$

Fall I. $c +$ $k +$

$$y \sqrt{\frac{c}{k}} = \sqrt{ax}$$

II $c +$ $k -$

$$y \sqrt{-\frac{c}{k}} = \sqrt{-ax}$$

III $c -$ $k +$

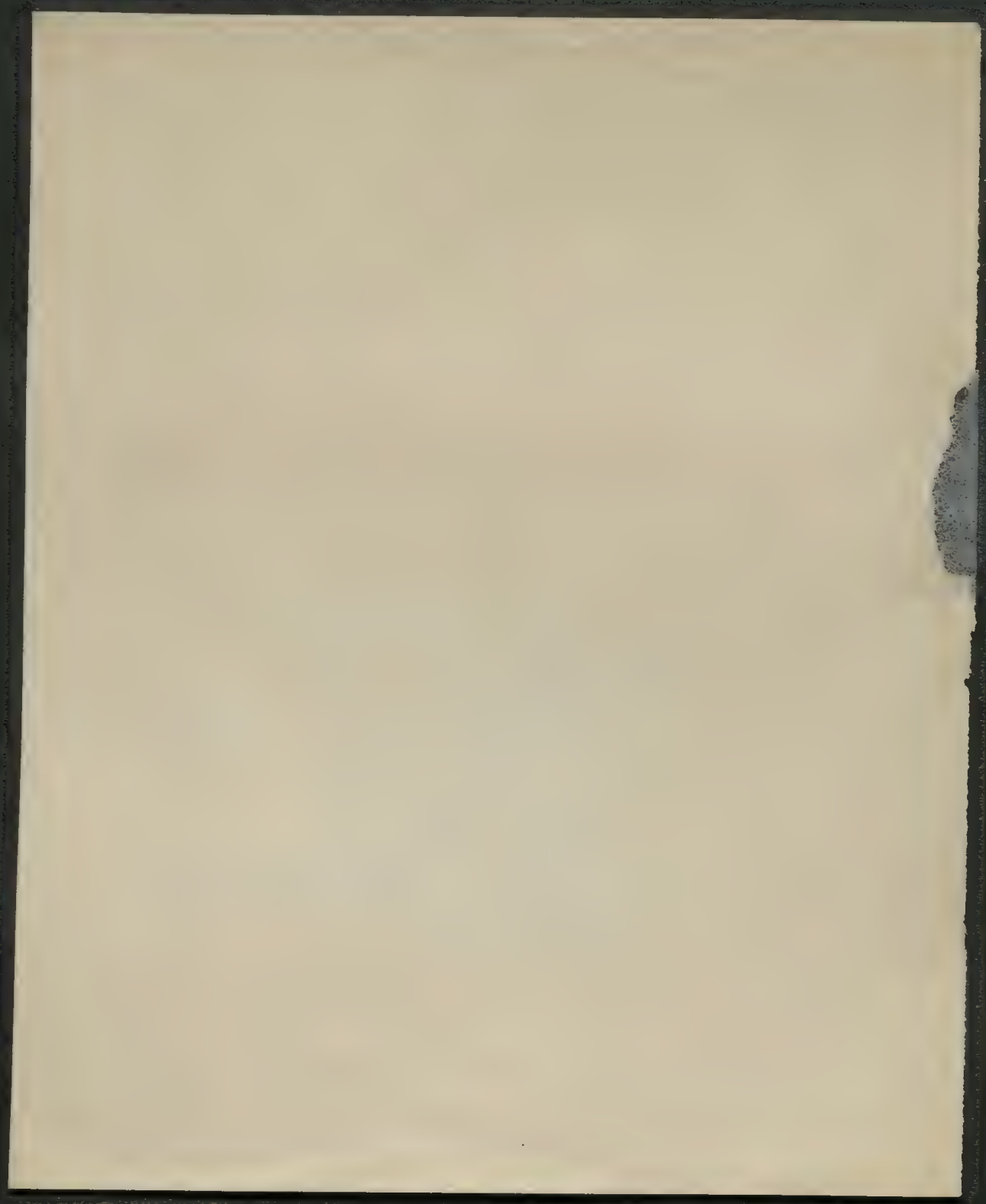
$$y \sqrt{-\frac{c}{k}} = \sqrt{-ax}$$

IV $c +$ $k = 0$

$$u = \sqrt{c} \sqrt{\left(x + \frac{k}{2c}\right)^2 + \frac{4ac - b^2}{4c^2}} = \sqrt{c} \sqrt{y^2 + \frac{k}{c}}$$

$$= \sqrt{k} \sqrt{1 + \frac{cy^2}{k}} = \sqrt{k} \sqrt{1 + \underbrace{\left[\frac{c}{k} y\right]^2}_{= \dots}}$$

v. Z. Zuerke?



1. $\epsilon_1 = \text{New P. : } \epsilon_2 \text{ is } \epsilon_1 \text{ } \epsilon_2 = 1 \text{ } \epsilon_1 \text{ } \epsilon_2$

2. $\epsilon_1 = \text{New P. : } \epsilon_2 \text{ is } \epsilon_1 \text{ } \epsilon_2 = 1 \text{ } \epsilon_1 \text{ } \epsilon_2$ 79 32

3. $\epsilon_1 = \text{New P. : } \epsilon_2 \text{ is } \epsilon_1 \text{ } \epsilon_2 = 1 \text{ } \epsilon_1 \text{ } \epsilon_2$

4. $\epsilon_1 = \text{New P. : } \epsilon_2 \text{ is } \epsilon_1 \text{ } \epsilon_2 = 1 \text{ } \epsilon_1 \text{ } \epsilon_2$

5. $\epsilon_1 = \text{New P. : } \epsilon_2 \text{ is } \epsilon_1 \text{ } \epsilon_2 = 1 \text{ } \epsilon_1 \text{ } \epsilon_2$

6. $\epsilon_1 = \text{New P. : } \epsilon_2 \text{ is } \epsilon_1 \text{ } \epsilon_2 = 1 \text{ } \epsilon_1 \text{ } \epsilon_2$ -273.

7. $\epsilon_1 = \text{New P. : } \epsilon_2 \text{ is } \epsilon_1 \text{ } \epsilon_2 = 1 \text{ } \epsilon_1 \text{ } \epsilon_2$

8. $\epsilon_1 = \text{New P. : } \epsilon_2 \text{ is } \epsilon_1 \text{ } \epsilon_2 = 1 \text{ } \epsilon_1 \text{ } \epsilon_2$

9. $\epsilon_1 = \text{New P. : } \epsilon_2 \text{ is } \epsilon_1 \text{ } \epsilon_2 = 1 \text{ } \epsilon_1 \text{ } \epsilon_2$

10. $\epsilon_1 = \text{New P. : } \epsilon_2 \text{ is } \epsilon_1 \text{ } \epsilon_2 = 1 \text{ } \epsilon_1 \text{ } \epsilon_2$

11. $\epsilon_1 = \text{New P. : } \epsilon_2 \text{ is } \epsilon_1 \text{ } \epsilon_2 = 1 \text{ } \epsilon_1 \text{ } \epsilon_2$

12. $\epsilon_1 = \text{New P. : } \epsilon_2 \text{ is } \epsilon_1 \text{ } \epsilon_2 = 1 \text{ } \epsilon_1 \text{ } \epsilon_2$

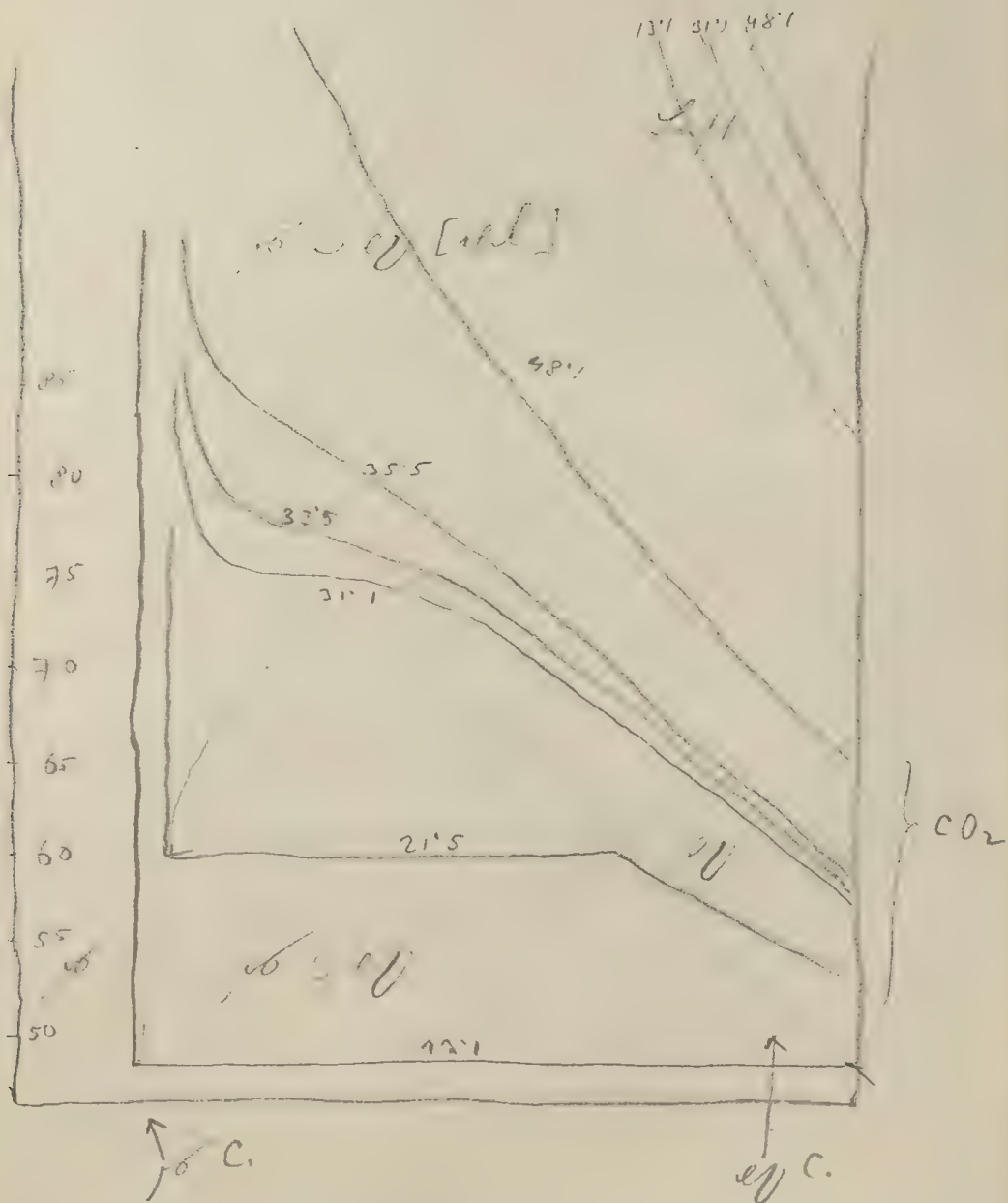
13. $\epsilon_1 = \text{New P. : } \epsilon_2 \text{ is } \epsilon_1 \text{ } \epsilon_2 = 1 \text{ } \epsilon_1 \text{ } \epsilon_2$

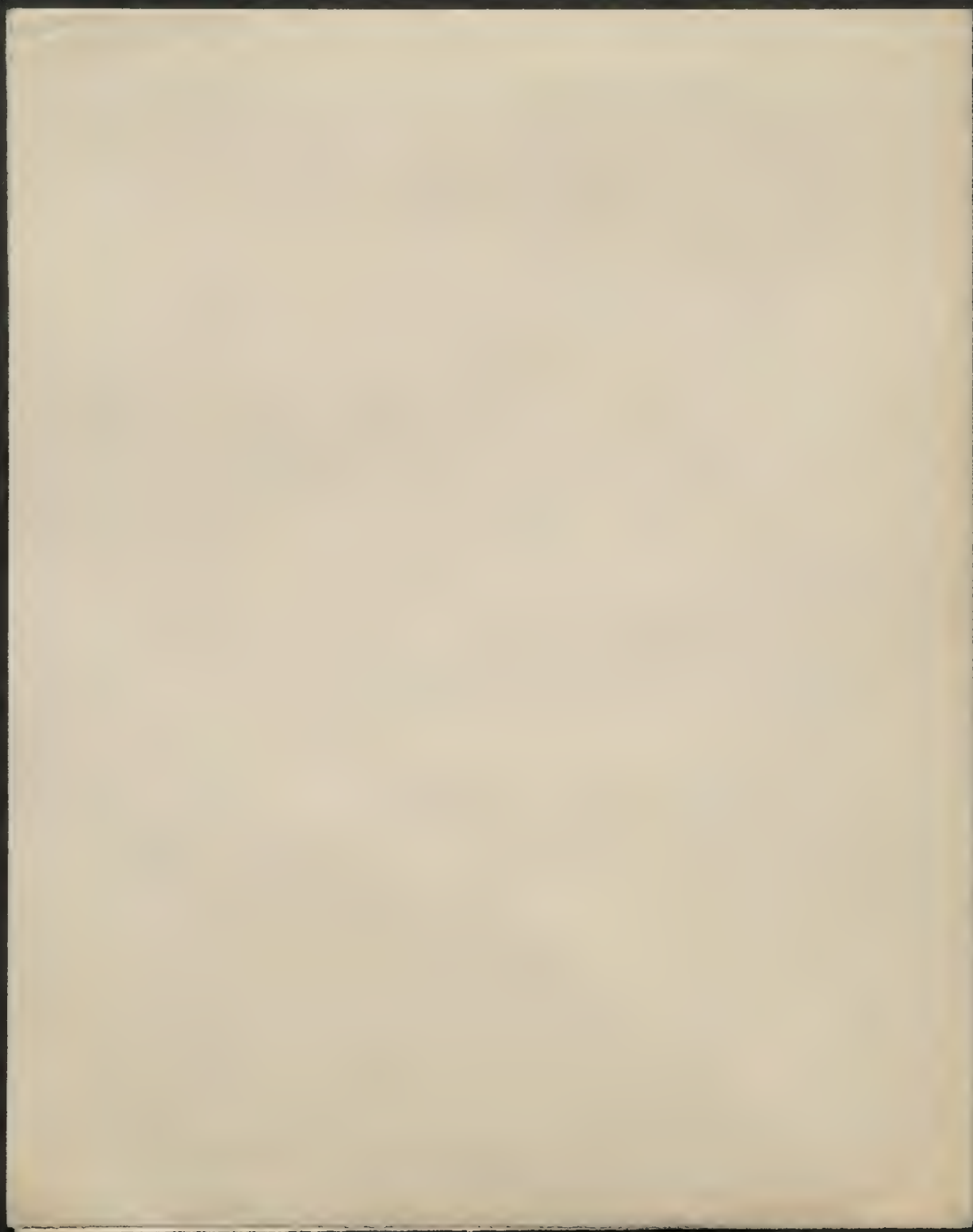
14. $\epsilon_1 = \text{New P. : } \epsilon_2 \text{ is } \epsilon_1 \text{ } \epsilon_2 = 1 \text{ } \epsilon_1 \text{ } \epsilon_2$

Formel von Tail

$$\epsilon_1 = A(t_1 - t_2) \left[T - \frac{t_1 + t_2}{2} \right]$$

$$\epsilon_1 = A(t_1 - t_2) \left[T - \frac{t_1 + t_2}{2} \right]$$





Nov 22nd 1871

5

Home 66

I (name)

[illegible]

Einmalig ist die Lösung für $x = 0$ [135]

... ..
 = 12

e) $V = 10^3$

... .. $V = 1$

$$V = 1 - \left(\frac{p - a}{p} \right)^3$$

... .. $\sim \sqrt{p}$

... ..

If
 $V + 2$

OK

43, 50, 60, Fe²⁺, Pass

2.5, 3.0, 3.5

$$T_m = \frac{C_1}{C_2} T \quad C' = C, C' = e$$

	$\frac{C_1}{C_2}$	C_1	C_2	C_1
43	0.555	233	15.30	2.147
50	0.600	240	16.00	2.250
60	0.667	265	17.67	2.500
Fe ²⁺	0.750	285	19.12	2.750
Pass	0.833	300	20.00	3.000

T temp. = C + 273

Pass on T. 1.0

58. p. 112 1.4, 1.5, 1.6

58. p. 115 " 3.4 = 1.0 1.5, 1.6

3.4 = 1.0 1.5, 1.6

1.5, 1.6

From 21 p. 241 Rydberg & Ritz. $\lambda = \frac{c}{\nu}$ $\nu = \frac{1}{\lambda}$

$$\nu = \frac{1}{\lambda} = \frac{1}{\lambda_0} \left(\frac{1}{n^2} - \frac{1}{m^2} \right)$$

$$\lambda_0 = \frac{c}{\nu_0}$$

$$\lambda_0 = \frac{c}{\nu_0}$$

$$\int \frac{1}{\lambda} d\lambda$$

$$\frac{1}{\lambda} = \frac{1}{\lambda_0}$$

$$\frac{1}{\lambda} = \frac{1}{\lambda_0}$$

Section 2

From Rydberg: $\lambda = \frac{c}{\nu}$ $\nu = \frac{1}{\lambda}$ $\lambda = \frac{c}{\nu}$

$$A = B \cdot \frac{1}{1 - \frac{v}{c}} \quad A = B \cdot \frac{1}{1 - \frac{v}{c}}$$

$$\text{From 2.1.1.} \quad A = B \cdot \frac{1}{1 - \frac{v}{c}}$$

From 2.1.1.

$$A = B \cdot \frac{1}{1 - \frac{v}{c}}$$

$$\nu = \frac{1}{\lambda} = \frac{1}{\lambda_0} \left(\frac{1}{n^2} - \frac{1}{m^2} \right) \quad \lambda = \frac{c}{\nu}$$

Rydberg & Ritz. [Rydberg: $\lambda = \frac{c}{\nu}$ 55, 200]

From 2.1.1. $\lambda = \frac{c}{\nu}$ $\nu = \frac{1}{\lambda}$ $\lambda = \frac{c}{\nu}$

$$\lambda = \frac{c}{\nu} = \frac{c}{\nu_0} \left(\frac{1}{n^2} - \frac{1}{m^2} \right)$$

Lehrbuch der Physik, 1932, 1933, 1934

... physikalische ... Details ...

... 1932 ... 1933 ...

... 1932 ...

4. W. 662 (58, 1932) ...

... [phys. 6, 1932]

$$h = \frac{c}{\nu}$$

1. ...

2. ...

3. ...

... Struktur ...

...

$$\varphi_1 = F_1 \cdot e^{-\frac{r}{\lambda}} \quad \text{...} = v^2 e^{-\frac{r}{\lambda}} dr = v^2 e^{-\frac{r}{\lambda}} \frac{dr}{\lambda}$$

... Energie ...

1. ...

2. ...

$$2) \quad \frac{F_1}{\lambda} = \frac{c}{\lambda^2}$$

$$1) \quad \int F_1 e^{-\frac{r}{\lambda}} dr = \dots$$

$$F_1 = \frac{c}{\lambda^2}$$

$$\varphi_1 = \frac{c}{\lambda^2} e^{-\frac{r}{\lambda}}$$

... ..

$$q = \frac{1}{2} \epsilon_0 E^2 \quad V = \dots$$

... ..

... ..

... ..

... ..

... ..

... ..

$$\lambda_1, \lambda_2, \dots, \lambda_n = \lambda_0 \cdot (1 + \frac{2v}{c})$$

... ..

$$n = \frac{dx}{2x} \dots$$

$$v = 1 + \frac{2v}{c} \dots$$

... ..

$$n = \frac{dx}{2x} \dots$$

$$d\lambda = \frac{2v}{c} \lambda$$

$$\lambda_n = e^{\frac{2v}{c}} \lambda = 1 + \frac{2v}{c} \lambda = 1 + d\lambda$$

$$d\lambda = \frac{2v}{c} \lambda$$

$$\lambda = \frac{h}{h_0} \dots$$

... ..

$$U = \dots = \frac{2}{3} \dots$$

$$dU = \frac{2}{3} \dots$$

$$dU = 2 \dots$$

$$dU = dW + dW = \frac{2h^2}{3} \dots = 0 \text{ var. - calculated}$$

$$\text{limit } \psi = \left(\frac{r_0}{\lambda}\right)^4 \psi_0$$

$$\text{Elimination var } \frac{r_0}{\lambda}: \frac{\psi}{\psi_0} = \frac{r_0^4}{\lambda^4} = \frac{r_0^4}{\psi_0^4}$$

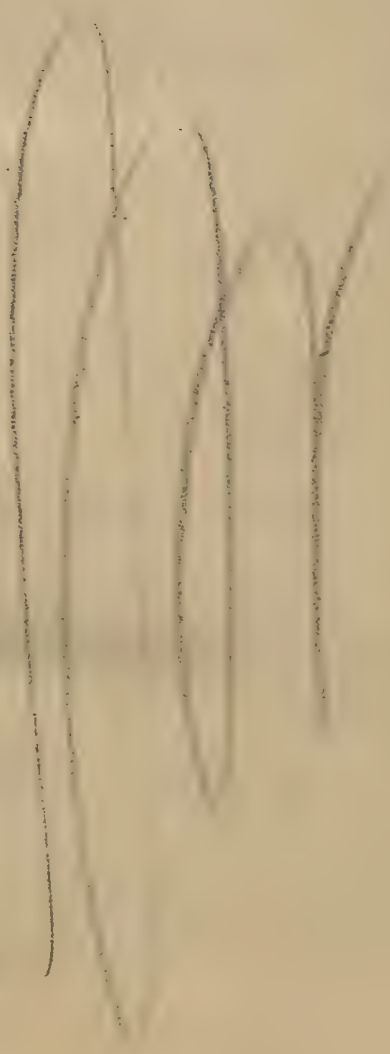
$$\dots = \frac{1}{\psi_0} \dots$$

$$\text{limit } \lambda r_0 = \lambda_0 r_0$$

$$\dots = \frac{r_0}{\psi_0} \dots$$

... ..

Left outside to H. H. H. H.



Annales de l'École normale supérieure. 841
Journal de l'enseignement mathématique.
Nottinghamer mathem. - naturw. 842
Journal für die reine Mathematik u. Physik.
Zeitschrift für Mathem. u. Physik 842

Acta mathematica.

Annales mathématiques.

Archiv d. Mathematik u. Physik.

Archiv für die Geschichte d. Mathem. u. Physik.

Journal für reine u. angew. Mathem. 843

Zeitschrift f. Math. u. Physik.

Annales de l'École polytechnique d. Sci.

Annales nouvelles d. mathem. rédigées par
Terquem et Serret, Paris.

Bulletin des sciences mathem. et phys.
Journal de l'École polytechnique. Paris.

Journal de mathématiques. Liège. 844

Journal of Mr. [unclear]
[unclear] [unclear] [unclear] [unclear] [unclear] [unclear]
[unclear] [unclear] [unclear] [unclear] [unclear] [unclear]

Book for [unclear] [unclear]

[unclear] [unclear] [unclear] [unclear]

[unclear] [unclear] [unclear] [unclear] [unclear] [unclear]

Total [unclear] [unclear] [unclear] [unclear]

[unclear] [unclear] [unclear] [unclear] [unclear] [unclear]

[unclear] [unclear] [unclear] [unclear] [unclear] [unclear]

Journal of [unclear] [unclear] [unclear] [unclear]

Thomas Craig Associate Editor

Published under the auspices of the Johns

Hopkins University, Baltimore 1889 Publication

[unclear] of the [unclear] University

John [unclear] [unclear] [unclear] [unclear]

Book [unclear] [unclear] [unclear] [unclear] [unclear] [unclear]

[unclear] [unclear] [unclear] [unclear]

[unclear] [unclear] [unclear] [unclear] [unclear] [unclear]

[unclear] [unclear] [unclear] [unclear]

Journal de mathématiques. F. Klein, 71. Jgk.
A. Meyer, Leipzig. 1890.

Journal de mathématiques pures
et appliquées. fondé en 1836 et
publié jusqu'en 1874 par Joseph Liouville
publié de 1875 à 1884 par H. Poincaré.

Quatrième série publiée par Camille
Jordan avec la collaboration de
A. Goursat, A. Hurwitz, E. Picard, H. Poincaré,
H. Poincaré. 1890.

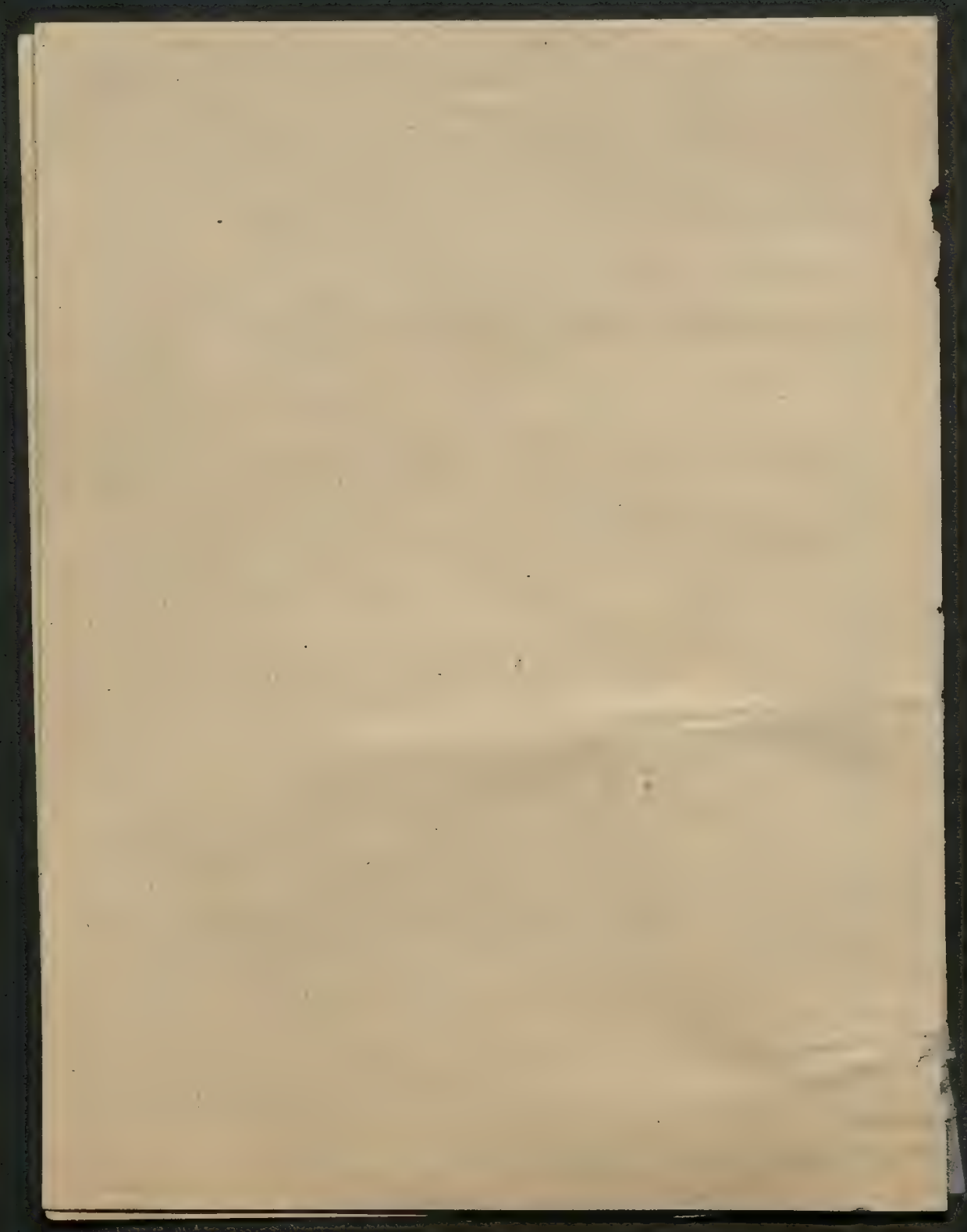
Bacheliers - Villards et fils, éditeurs
libraires de la rue de la Harpe, de l'école
polytechnique. Paris des Grands-Augustins

Journal de mathématiques publié de
Tortolini. Roma.

Giornale di matematiche publié de
Pellaggrini. Napoli.

1
core

5



1. The first of these is the

of the

the

the



Radonmeter:Leppanen June 2 (Aug 5) p. 220 1896Strong July 1, 1896 p. 437, 325, 1896Gooding June 7, 1896 p. 36 1896

63 1373 1896

74 276 1896

Radonmeter 1895 24 512 1895

July 1, 1896 p. 393 1896

Radonmeter 1895 24 512 1895

June 2, 1896 p. 393 1896

1896 1896

Radonmeter 1895 24 512 1895

Radonmeter	{	Radonmeter 1895	7 1895	1895
July 1, 1896				

1896 July 1, 1896 1896

- Reynolds: On certain Dimensional Properties of Matter
in the Gaseous State Phil. Trans. CLXX
- Fitzgerald Phil. Mag. (5) XI p. 103 R.S.
- Rowell On Stresses in Rarefied Gases Phil. Trans I 1879
(Scientific Papers II p. 381)
- Stankewitch Physik. W. 94 p. 625 (1886)
- Wied Ann 29 p. 153
- Schuster Nature 17 p. 143 1877 Radiation
- Tringsheim W. Ann XVIII p. 1. 1883

- Hydrate ...
 3). ...
 4). ...

B.11. ...
 ... 1000/ps :
 ...
 ...

Prof. J. ...
 ...
 ...
 4). ...
 ...
 ...

7). ...
 8). ...

[24 [History
 1892 Walter]

31.12.1912
 28.12.1912
 27.12.1912
 26.12.1912
 25.12.1912
 24.12.1912
 23.12.1912
 22.12.1912
 21.12.1912
 20.12.1912
 19.12.1912
 18.12.1912
 17.12.1912
 16.12.1912
 15.12.1912
 14.12.1912
 13.12.1912
 12.12.1912
 11.12.1912
 10.12.1912
 9.12.1912
 8.12.1912
 7.12.1912
 6.12.1912
 5.12.1912
 4.12.1912
 3.12.1912
 2.12.1912
 1.12.1912
 30.11.1912
 29.11.1912
 28.11.1912
 27.11.1912
 26.11.1912
 25.11.1912
 24.11.1912
 23.11.1912
 22.11.1912
 21.11.1912
 20.11.1912
 19.11.1912
 18.11.1912
 17.11.1912
 16.11.1912
 15.11.1912
 14.11.1912
 13.11.1912
 12.11.1912
 11.11.1912
 10.11.1912
 9.11.1912
 8.11.1912
 7.11.1912
 6.11.1912
 5.11.1912
 4.11.1912
 3.11.1912
 2.11.1912
 1.11.1912
 31.10.1912
 30.10.1912
 29.10.1912
 28.10.1912
 27.10.1912
 26.10.1912
 25.10.1912
 24.10.1912
 23.10.1912
 22.10.1912
 21.10.1912
 20.10.1912
 19.10.1912
 18.10.1912
 17.10.1912
 16.10.1912
 15.10.1912
 14.10.1912
 13.10.1912
 12.10.1912
 11.10.1912
 10.10.1912
 9.10.1912
 8.10.1912
 7.10.1912
 6.10.1912
 5.10.1912
 4.10.1912
 3.10.1912
 2.10.1912
 1.10.1912
 30.9.1912
 29.9.1912
 28.9.1912
 27.9.1912
 26.9.1912
 25.9.1912
 24.9.1912
 23.9.1912
 22.9.1912
 21.9.1912
 20.9.1912
 19.9.1912
 18.9.1912
 17.9.1912
 16.9.1912
 15.9.1912
 14.9.1912
 13.9.1912
 12.9.1912
 11.9.1912
 10.9.1912
 9.9.1912
 8.9.1912
 7.9.1912
 6.9.1912
 5.9.1912
 4.9.1912
 3.9.1912
 2.9.1912
 1.9.1912
 31.8.1912
 30.8.1912
 29.8.1912
 28.8.1912
 27.8.1912
 26.8.1912
 25.8.1912
 24.8.1912
 23.8.1912
 22.8.1912
 21.8.1912
 20.8.1912
 19.8.1912
 18.8.1912
 17.8.1912
 16.8.1912
 15.8.1912
 14.8.1912
 13.8.1912
 12.8.1912
 11.8.1912
 10.8.1912
 9.8.1912
 8.8.1912
 7.8.1912
 6.8.1912
 5.8.1912
 4.8.1912
 3.8.1912
 2.8.1912
 1.8.1912
 31.7.1912
 30.7.1912
 29.7.1912
 28.7.1912
 27.7.1912
 26.7.1912
 25.7.1912
 24.7.1912
 23.7.1912
 22.7.1912
 21.7.1912
 20.7.1912
 19.7.1912
 18.7.1912
 17.7.1912
 16.7.1912
 15.7.1912
 14.7.1912
 13.7.1912
 12.7.1912
 11.7.1912
 10.7.1912
 9.7.1912
 8.7.1912
 7.7.1912
 6.7.1912
 5.7.1912
 4.7.1912
 3.7.1912
 2.7.1912
 1.7.1912
 30.6.1912
 29.6.1912
 28.6.1912
 27.6.1912
 26.6.1912
 25.6.1912
 24.6.1912
 23.6.1912
 22.6.1912
 21.6.1912
 20.6.1912
 19.6.1912
 18.6.1912
 17.6.1912
 16.6.1912
 15.6.1912
 14.6.1912
 13.6.1912
 12.6.1912
 11.6.1912
 10.6.1912
 9.6.1912
 8.6.1912
 7.6.1912
 6.6.1912
 5.6.1912
 4.6.1912
 3.6.1912
 2.6.1912
 1.6.1912
 31.5.1912
 30.5.1912
 29.5.1912
 28.5.1912
 27.5.1912
 26.5.1912
 25.5.1912
 24.5.1912
 23.5.1912
 22.5.1912
 21.5.1912
 20.5.1912
 19.5.1912
 18.5.1912
 17.5.1912
 16.5.1912
 15.5.1912
 14.5.1912
 13.5.1912
 12.5.1912
 11.5.1912
 10.5.1912
 9.5.1912
 8.5.1912
 7.5.1912
 6.5.1912
 5.5.1912
 4.5.1912
 3.5.1912
 2.5.1912
 1.5.1912
 31.4.1912
 30.4.1912
 29.4.1912
 28.4.1912
 27.4.1912
 26.4.1912
 25.4.1912
 24.4.1912
 23.4.1912
 22.4.1912
 21.4.1912
 20.4.1912
 19.4.1912
 18.4.1912
 17.4.1912
 16.4.1912
 15.4.1912
 14.4.1912
 13.4.1912
 12.4.1912
 11.4.1912
 10.4.1912
 9.4.1912
 8.4.1912
 7.4.1912
 6.4.1912
 5.4.1912
 4.4.1912
 3.4.1912
 2.4.1912
 1.4.1912
 31.3.1912
 30.3.1912
 29.3.1912
 28.3.1912
 27.3.1912
 26.3.1912
 25.3.1912
 24.3.1912
 23.3.1912
 22.3.1912
 21.3.1912
 20.3.1912
 19.3.1912
 18.3.1912
 17.3.1912
 16.3.1912
 15.3.1912
 14.3.1912
 13.3.1912
 12.3.1912
 11.3.1912
 10.3.1912
 9.3.1912
 8.3.1912
 7.3.1912
 6.3.1912
 5.3.1912
 4.3.1912
 3.3.1912
 2.3.1912
 1.3.1912
 31.2.1912
 30.2.1912
 29.2.1912
 28.2.1912
 27.2.1912
 26.2.1912
 25.2.1912
 24.2.1912
 23.2.1912
 22.2.1912
 21.2.1912
 20.2.1912
 19.2.1912
 18.2.1912
 17.2.1912
 16.2.1912
 15.2.1912
 14.2.1912
 13.2.1912
 12.2.1912
 11.2.1912
 10.2.1912
 9.2.1912
 8.2.1912
 7.2.1912
 6.2.1912
 5.2.1912
 4.2.1912
 3.2.1912
 2.2.1912
 1.2.1912
 31.1.1912
 30.1.1912
 29.1.1912
 28.1.1912
 27.1.1912
 26.1.1912
 25.1.1912
 24.1.1912
 23.1.1912
 22.1.1912
 21.1.1912
 20.1.1912
 19.1.1912
 18.1.1912
 17.1.1912
 16.1.1912
 15.1.1912
 14.1.1912
 13.1.1912
 12.1.1912
 11.1.1912
 10.1.1912
 9.1.1912
 8.1.1912
 7.1.1912
 6.1.1912
 5.1.1912
 4.1.1912
 3.1.1912
 2.1.1912
 1.1.1912

Sen. o. Reale Totaleto Lombardo
 Marland Valeres di Dura
 Kotto it. franc. lat.
 Cognola Preis: ...
 ...
 ...
 ...

[[Lehrbuch Einführung in die Mathematik
~~Lehrbuch~~ [Lehrbuch der Mathematik!]

Herrmann Theorie der Differentialrechnung [Lehrbuch der Mathematik]

Angelo Maestri Calculus der Differentialrechnung [Lehrbuch der Mathematik]

[[Clausius Mechanische Wärmetheorie

[[Maxwell Elektrodynamik

Maxwell Wärme

Riemann

[[Riemann Vorlesungen

[[Brünn Systematische Naturgeschichte

[[Klein Lehrbuch der Mathematik

[[Koch Lehrbuch der Mathematik
 Theorie, in der Mathematik 11. Teil.

Finger Mechanik

Fourier Analysis & Theorie der Wärme

[[Clausius Potential

Lehrbuch - Brünn Lehrbuch der Mathematik

[[Lehrbuch Lehrbuch der Mathematik

Klein

Willmer Walter der Komiker

Salomon-Fiedler Schriftst. Kunst

Haine K. gelbhaute

Thomson u. Tait Handb. d. th. Physik

Seeger O E Kinematik Statik

Shubert d. Differentialrechnung d. Funktionen
mit einem Anhang

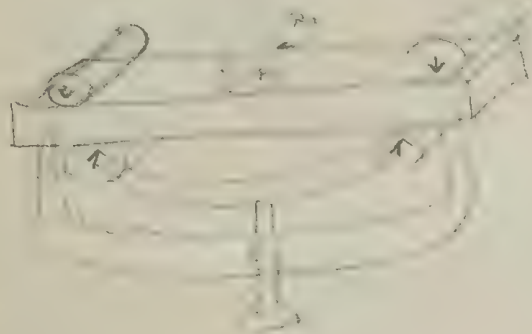
Shubert Hydrodynamik d. Fluide

Lamb Horace Hydrodynamik

Nascent u. Touber Elektrostatik

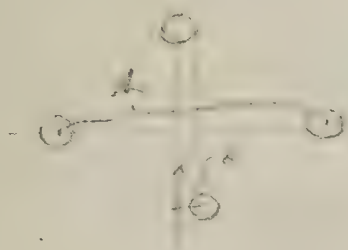
Kellock

The measurement of the ratio of lateral contraction to longitudinal extension in a body under strain.



$$\mu = - \frac{R_1}{R_2}$$

(R_2 decrease)



l', k' bent

z = length of the wires

r = radius of the circle

θ = angle \angle wire and normal of the bar

$$l' - l = \frac{2zr \cos \theta}{R_1}$$

$$k - k' = \frac{2zr \cos \theta}{R_2}$$

$$\mu = \frac{k - k'}{l' - l}$$

1.1.1 0.001 - 0.03 inch

2 3 "

2 0.5 "

bar: 8 x 4 x 2.5 inch

$$f(x) = \frac{1}{2} x^2$$

$$f(x) = \frac{1}{2} x^2$$

$$f(x) = \frac{1}{2} x^2$$

$$f(x) = \frac{1}{2} x^2 + \left[\frac{1}{1} x^{2+1} - \frac{1}{2} x^{2+2} \right] f_1(x) + \left[\frac{1}{1} x^{2+1} - \frac{1}{2} x^{2+2} \right] f_2(x)$$

$$f_1(x) = \frac{2x}{2^{2+1}} + \frac{2x}{2^{2+2}}$$

$$= 2 \cdot \frac{2}{(k+1) 2^{k+1}} = \frac{2}{2^{k+1}} + \frac{2^2}{2^{k+2}} = \frac{2^2}{2^{k+1}}$$

$$= 2 \cdot \frac{2^2 \cdot 1}{2^{k+1}} = \frac{2^3}{2^{k+1}}$$

$$\frac{2^3}{2^{k+1}} < 2 < \frac{2^4}{2^{k+1}}$$

$$= \underbrace{(D^k f_1)}_{\tau_1} \cdot 2 + \underbrace{(D^k f_2)}_{\tau_2} \cdot \frac{2^2}{2}$$

$$\int_k = \sum_{n=0}^{\infty} \frac{1}{x^{k+n}}$$

$$\frac{\tau_k}{k!} = \frac{2 \cdot 2^k}{k!} - 1) \int_0^1 x^{k-1} dx$$

$$\tau_k = (2^k)_{k-1} + (2^k)_{k-2} = \dots = 2^{k-1}$$

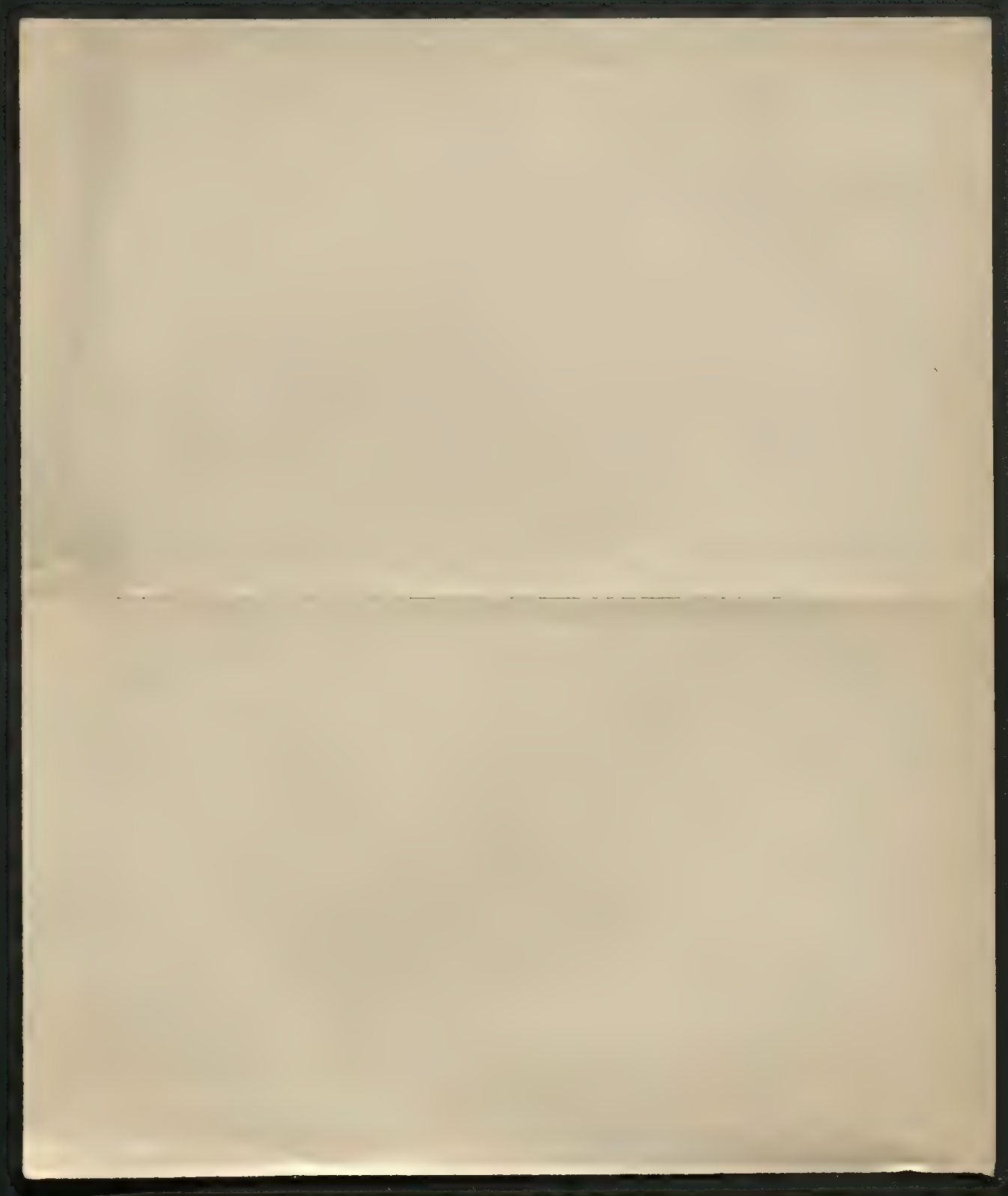
$$f_2 = \tau_1 \cdot 2 + \tau_2 \cdot \frac{2^2}{2!} + \tau_3 \cdot \frac{2^3}{3!}$$

$$\int_{2p} = \frac{\tau_{2p} \cdot 2^{2p}}{2! 2^{2p-1} + 4! 2^{2p-2} + \dots + (2p-1)!}$$

$$\tau_1 = 1 \quad \tau_2 = 2 \quad \tau_3 = 16$$

$$f_2 = 2^2 \cdot 2^2 \cdot 1(1) + 2^4 \cdot 2^4 \cdot 1(1) \cdot \frac{2^2}{2!} + 2^6 \cdot 2^6 \cdot 1(1) \cdot \frac{2^3}{3!}$$

$$\frac{\int_{2p}}{(2p)!} = \frac{2^{2p}}{(2p)!}$$



The first part of the paper is devoted to a discussion of the
 general properties of the function $f(x)$ which is defined by the
 equation $f(x) = \int_0^x f(t) dt$. It is shown that $f(x)$ is a
 continuous function of x and that it satisfies the differential
 equation $f'(x) = f(x)$. The solution of this equation is
 given by $f(x) = Ce^{x^2}$, where C is an arbitrary constant.
 The second part of the paper is devoted to a discussion of the
 properties of the function $g(x)$ which is defined by the
 equation $g(x) = \int_0^x g(t) dt$. It is shown that $g(x)$ is a
 continuous function of x and that it satisfies the differential
 equation $g'(x) = g(x)$. The solution of this equation is
 given by $g(x) = Ce^{x^2}$, where C is an arbitrary constant.

The third part of the paper is devoted to a discussion of the
 properties of the function $h(x)$ which is defined by the
 equation $h(x) = \int_0^x h(t) dt$. It is shown that $h(x)$ is a
 continuous function of x and that it satisfies the differential
 equation $h'(x) = h(x)$. The solution of this equation is
 given by $h(x) = Ce^{x^2}$, where C is an arbitrary constant.
 The fourth part of the paper is devoted to a discussion of the
 properties of the function $k(x)$ which is defined by the
 equation $k(x) = \int_0^x k(t) dt$. It is shown that $k(x)$ is a
 continuous function of x and that it satisfies the differential
 equation $k'(x) = k(x)$. The solution of this equation is
 given by $k(x) = Ce^{x^2}$, where C is an arbitrary constant.

The first part of the paper is devoted to a discussion of the general properties of the system. It is shown that the system is stable and that the solution is unique. The second part of the paper is devoted to a discussion of the numerical solution of the system. It is shown that the numerical solution is stable and that the error is small.

The third part of the paper is devoted to a discussion of the physical interpretation of the results. It is shown that the results are in good agreement with the experimental data. The fourth part of the paper is devoted to a discussion of the conclusions. It is shown that the system is stable and that the solution is unique.

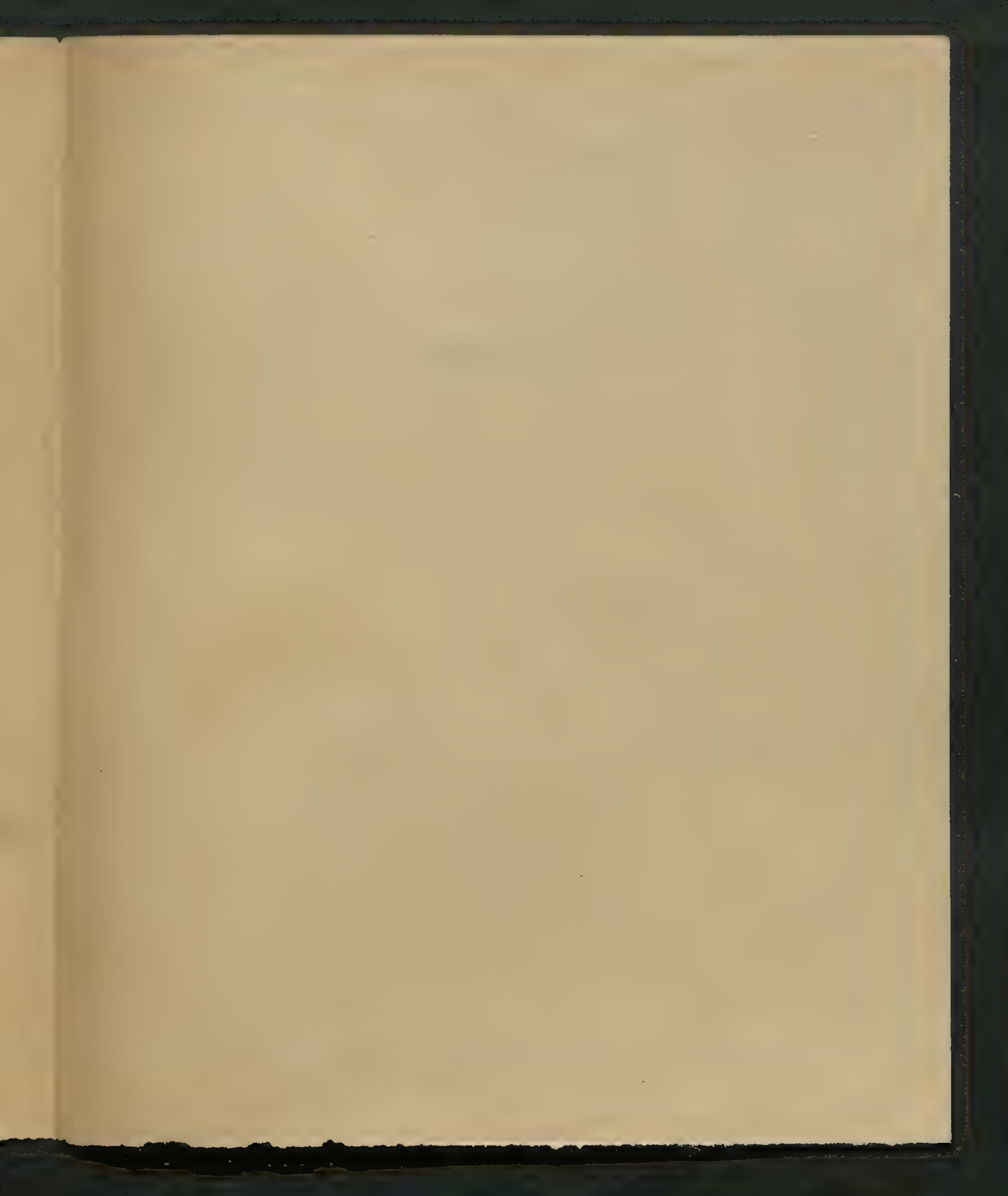
$\int_{-\infty}^{\infty} f(x) \delta(x-a) dx = f(a)$

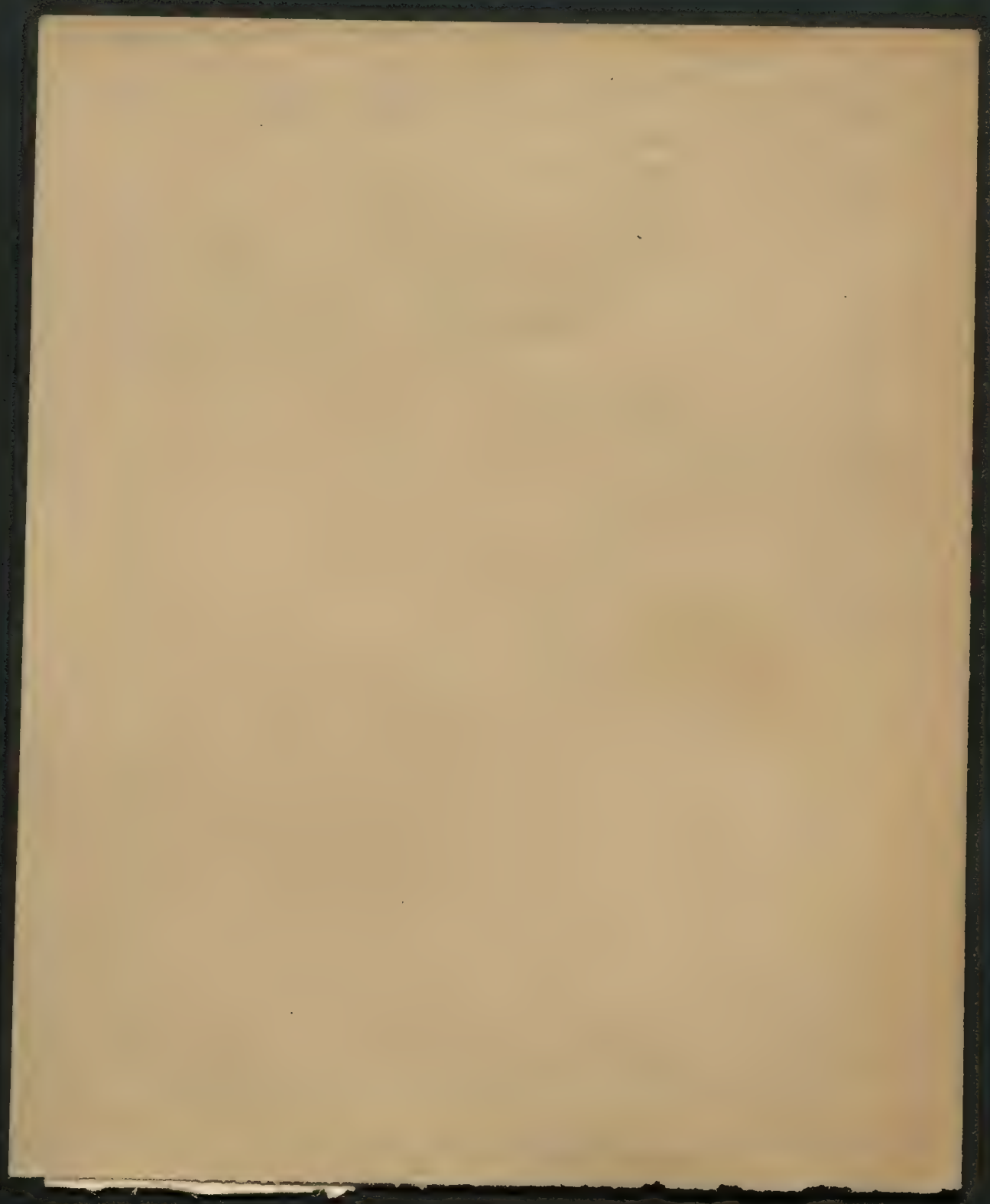
$\int_{-\infty}^{\infty} f(x) \delta(x-a) dx = f(a)$
 $\int_{-\infty}^{\infty} f(x) \delta(x-a) dx = f(a)$

For $f(x) = x^n$, $\int_{-\infty}^{\infty} x^n \delta(x-a) dx = a^n$

x	$f(x)$	$\int_{-\infty}^{\infty} f(x) \delta(x-a) dx$
0	0	0
0.4500	-1.77500	-1.77500
0.5000	0.00000	0.00000
0.5500	0.22500	0.22500
0.6000	0.50000	0.50000
0.6500	0.72500	0.72500
0.7000	0.90000	0.90000
0.7500	1.12500	1.12500
0.8000	1.40000	1.40000
0.8500	1.72500	1.72500
0.9000	2.10000	2.10000
0.9500	2.52500	2.52500
1.0000	3.00000	3.00000

36





Notatki (Hersby)
 = Chemici Organicy

Wiedza



Chemische EigenschaftenA. Alkalische Eigenschaften

Alkalische Eigenschaften: ...
...
...

B. Redoxverhalten

...
...
...

...
...

...
...

...

C. Eigenschaften des Katalysators

...
...

z.B. $C_6H_5CO_2$, ...
...

D. Stickstoffverbindungen

...
...

... NH_2 ...
...

... NH_2 ...
...

... NH_2 ...
...

... NH_2 ...
...

...

E. P, As, Sb, Sn, Pb

...
...

...
...

...
...

...
...

Abbildung 6 ...

P ...

F ...

...

...

...

...

...

H ...

...

C ...

...

1. Teil

...

F

...

C ...

C ...

...

Verbindungsstelle ... [nur 1 ungesättigtes H]

C ...

H

...

Ungesättigte ...

...

...

...

CH₂

H

CH

COOH

...

...

...

...

...

COOH

...

CH₂

CH

CH

COOH

CH

CH

...

...

40). *Formic acid* *Formyl chloride*

COOH

Cl

Formic acid *Formyl chloride*

Formic acid *Formyl chloride*

COOH

Cl

Formic acid *Formyl chloride*

Formic acid *Formyl chloride*

COOH

Cl

Formic acid *Formyl chloride*

Formic acid *Formyl chloride*

COOH

Formic acid

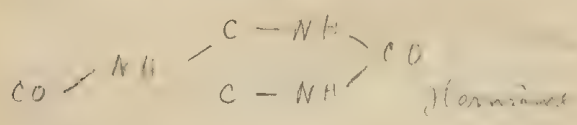
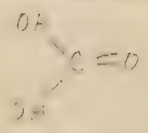
Formic acid *Formyl chloride*

COOH - COOH

COOH - COOH

COOH - COOH

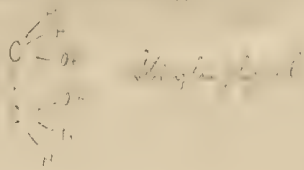
Formic acid *Formyl chloride*



NH - CO

Isomerism of Alcohols - Aldehydes

I. Isomerism of Alcohols



Methyl alcohol

CH_2OH

1 Propylglycol

CH_2

1 Propylglycol

CH_2OH

I. Isomerism of Alcohols

CH_2OH

CH_2OH

CH_2OH

CH_2OH

CH_3

2 Propylglycol

C. Isomerism of Alcohols

CH_2OH

CH_2OH

Propylene

CH_2OH

CH_2OH



Alkane $C_n H_{2n+2}$

CH_4 Methane

C_2H_6 Ethane

C_3H_8 Propane

C_4H_{10} Butane

C_5H_{12} Pentane

Alkene $C_n H_{2n}$

C_2H_4 Ethylene

C_3H_6 Propylene

C_4H_8 Butylene

C_5H_{10} Pentyne

Alkyne $C_n H_{2n-2}$

C_2H_2 Acetylene

C_3H_4 Propyne

C_4H_6 Butyne

C_5H_8 Pentyne

Alkyne $C_n H_{2n-2}$

CH_3 Methyl

C_2H_5 Ethyl

C_3H_7 Propyl

C_4H_9 Butyl

C_5H_{11} Amyl

C_6H_{13} Hexyl

C_7H_{15} Heptyl

C_8H_{17} Octyl

C_2H_5 Ethyl

C_3H_7 Propyl

C_4H_9 Butyl

C_5H_{11} Amyl

C_6H_{13} Hexyl

C_7H_{15} Heptyl

Alkyne $C_n H_{2n-2}$

Residue $C_n H_{2n-1}$

CH_3 Methyl

Unsat. $C_n H_{2n-1}$

Unsat. $C_n H_{2n-1}$

Primäre $1-C_2H_5$...

CH_3 ...

CH_2OH

CH_3 ...

CH_2

CH_2OH

CH_3 ...

CH_2

CH_2

CH_2OH

CH_3 ...

CH

CH_2OH

II sekundäre $R-CH_2H$...

CH_3 ...

CH_2OH

CH_3

CH_3

CH_2OH ...

CH_2

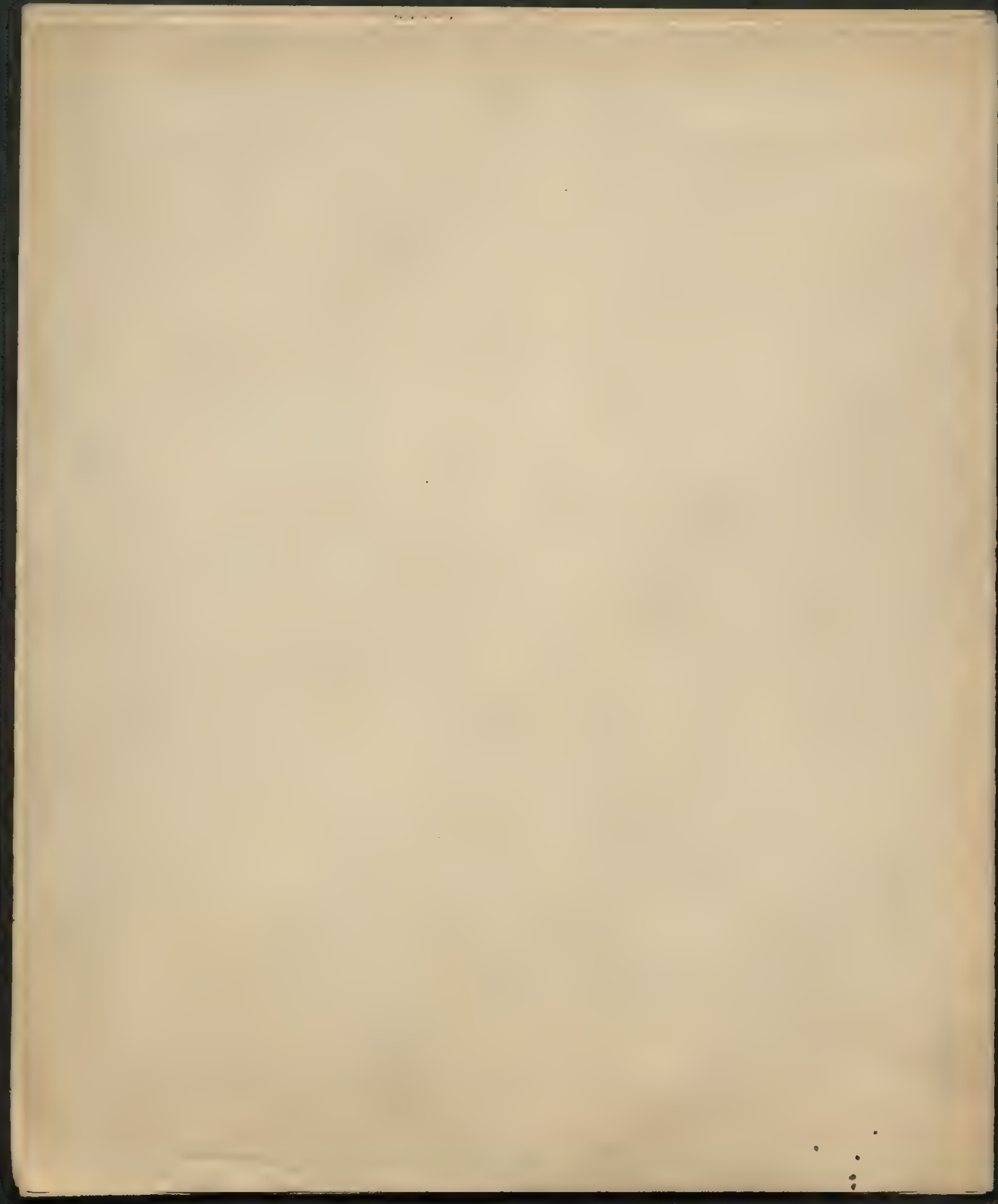
CH_3

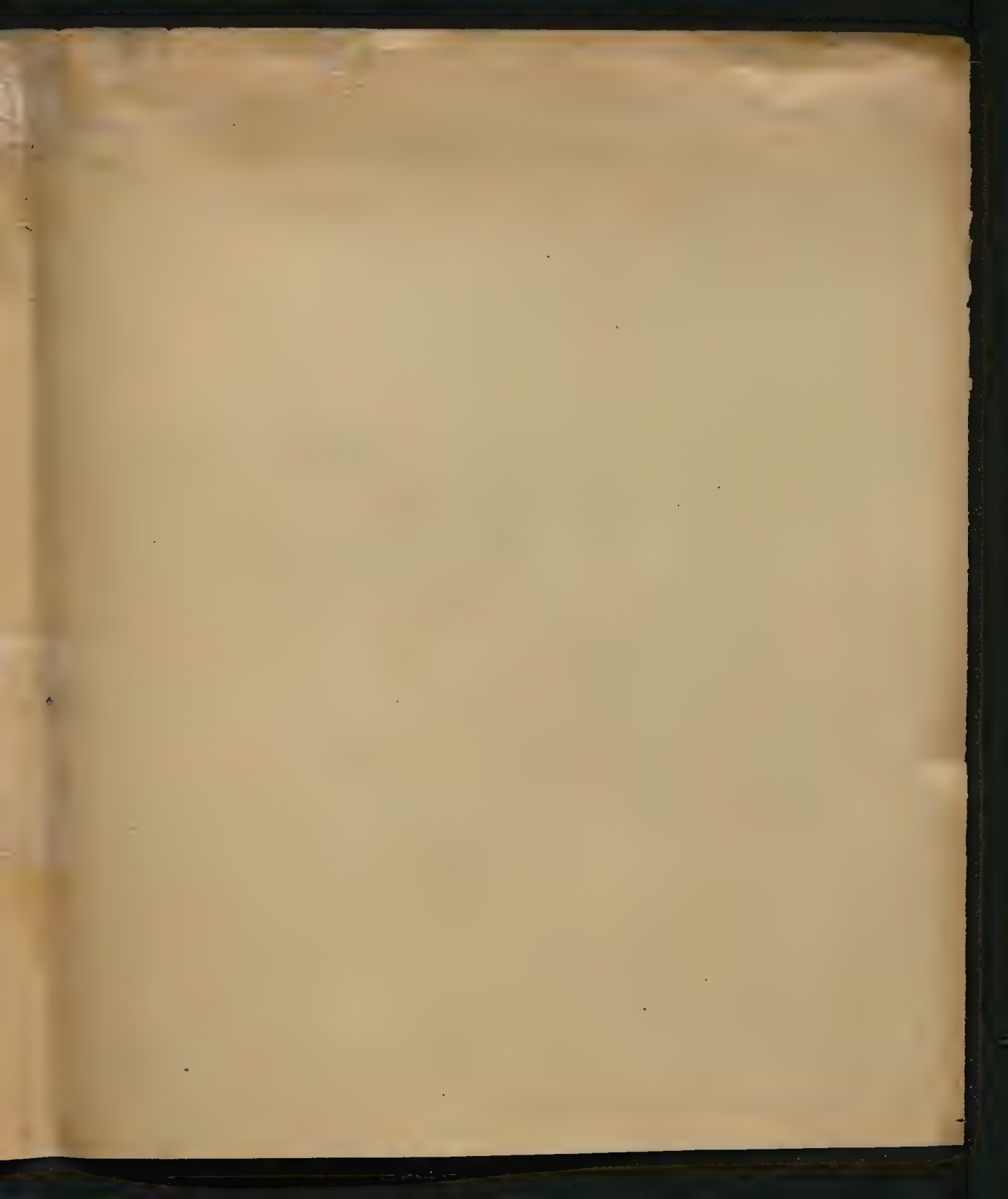
III tertiäre $R-CH_3$...

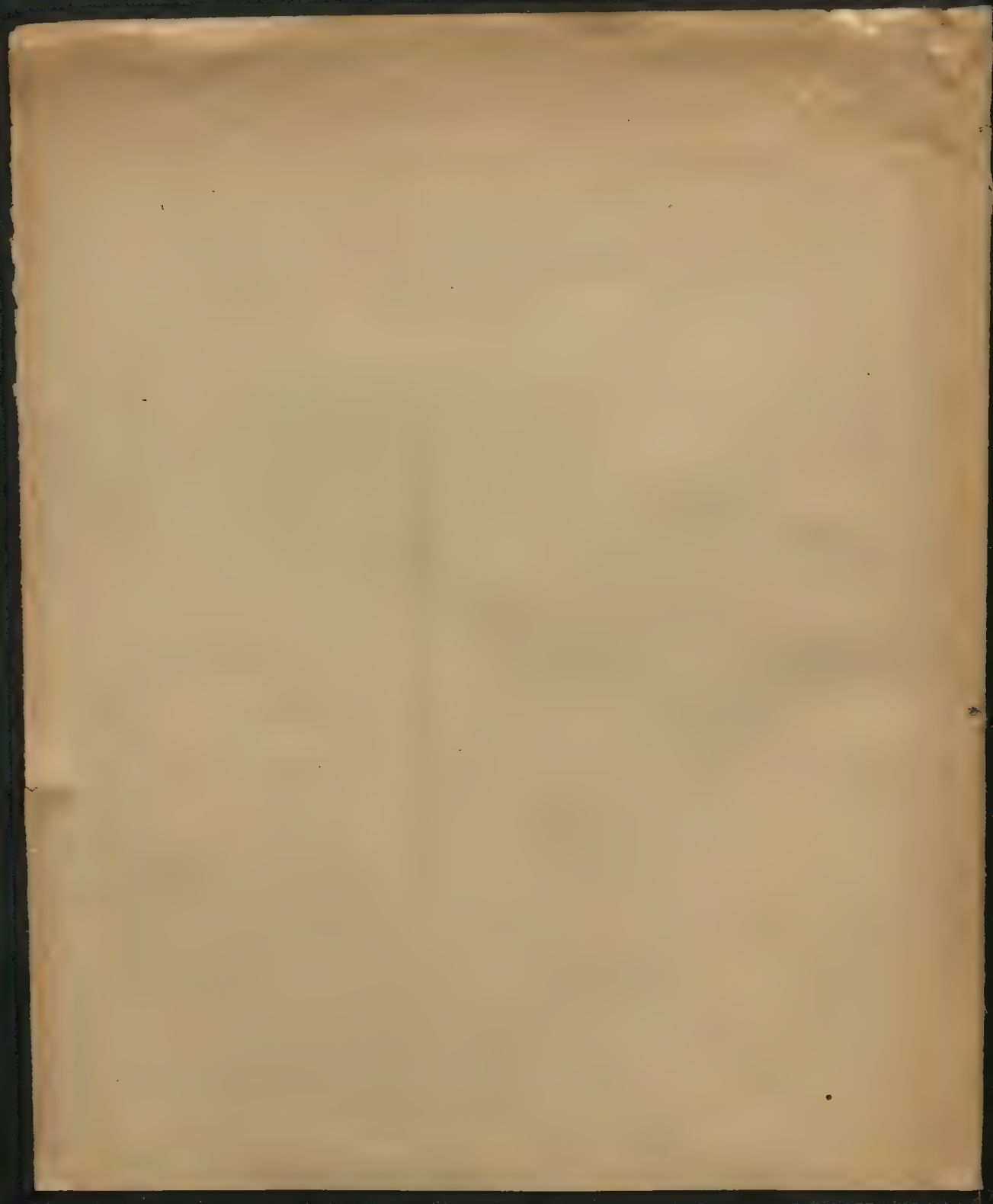
CH_3

CH_3

CH_3







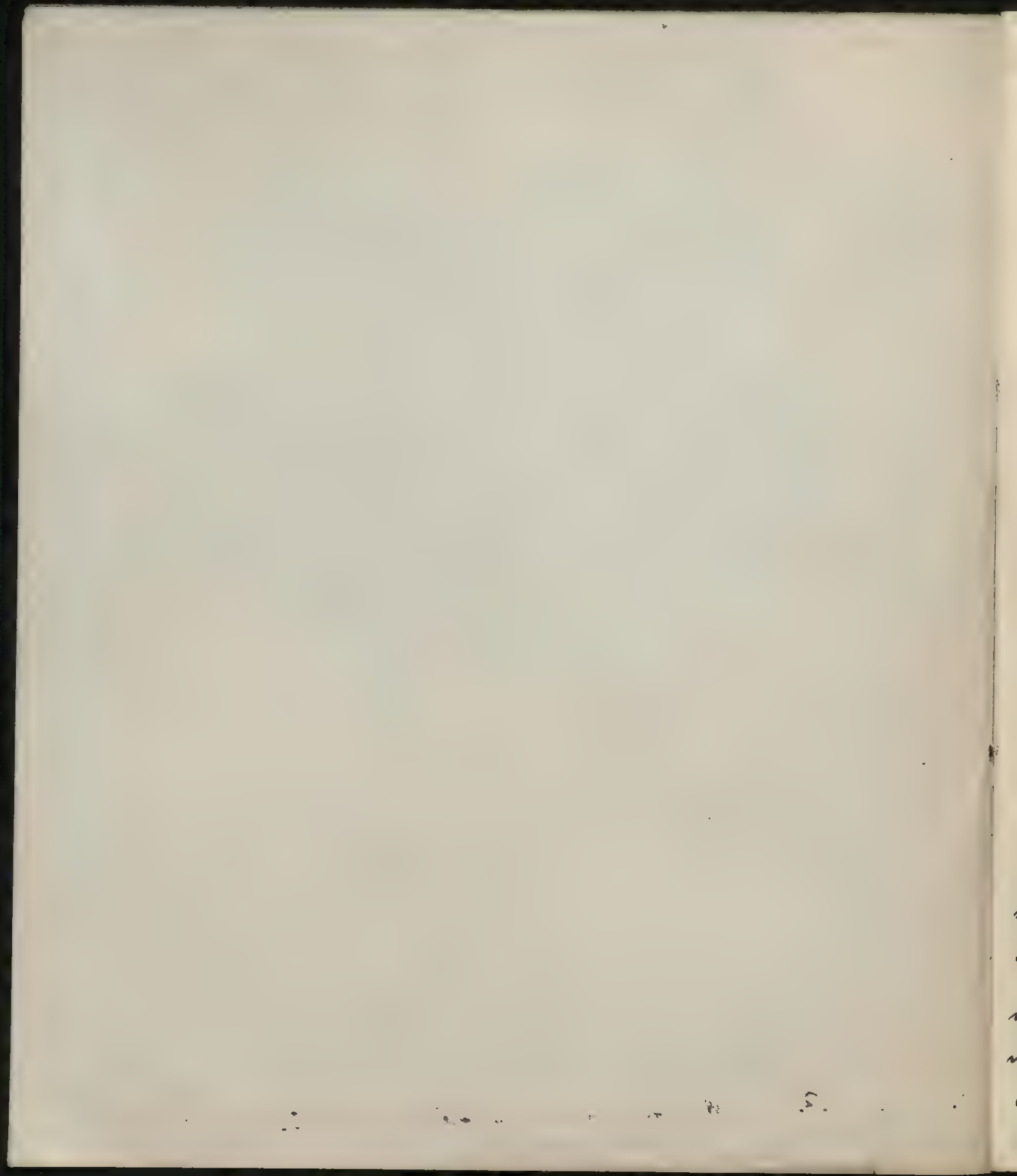
9409

II

Excerpta.

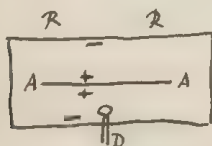
Begun : 29th October 1896.

M. Smoluchowski de Smolau Ph.D. Glasgow, 38 Park Road.



J. J. Thomson: Recent Researches in Electricity and Magnetism. Oxford, Clarendon Press. 1893. 35

5/11 Proc. R.S. LIX p. ⁽¹⁸⁹⁶⁾ 270 Heinrich On the Generation of Longitudinal Waves in Ether



AA charged + ; D pushed over till spark ; then longitudinal waves between A and B if elastic solid theory ; instantaneous

if incompressibility of ether ; Photographic effect?

Analogous: Nature 23/1, 1896



②③

c and d charged so that just limit of sparking ; if spark between A & D passing so also between c & d in the same moment or later?

p. 250 Impact with a Liquid Surface studied by means of Instant. Photogr.

Worthington

See also On R.S. 25 p. 261 & 498 [1877] and 34 p. 217 [1882].

Electrical Review 20/11 96 Vol. 39 p. 678

Röntgen Rays Apparatus: Various forms of Crookes Tubes with aluminium wall. Ogden describes how this wall can be made at $\frac{1}{10}$ of its commercial price (Scientific American 43/3, 102 common salt, tungstate of soda, chloride of calcium mixed in a common crucible. This is fitted with a tin cover and placed in a good coal fire, so as to bring it to full red heat, at which it is kept for 2-3 hours, till all fused. After cooling, the glass-like mass is broken up and thrown into a jar of water in which the crystals of tungstate of calcium will settle to the bottom. This used for screens.

R. Henry (C.R. 123 1898) considers his specially prepared Zn-sulphide superior.

p. 672 Substances Sensitive to Radiant Heat.

Dr. Ziegler: Paper with CuBr or $\text{CuSO}_4 + \text{KBr}$ has a faint greenish tint, becomes olive brown $\Rightarrow + \text{AgNO}_3$ black

$\text{K}_2\text{Cr}_2\text{O}_7$ also; CuSO_4 fudle in eye $+ \text{AgNO}_3$ black.

$\text{CuSO}_4 + \text{Ox. ac.}$ brown; CuCl_2 deep green; SnCl_2 also as if Cu to light

PbNO_3 yellow $+ \text{AgNO}_3 \Rightarrow$ red.

Original Series 3 p. 61-70 & 174-192. 1895

R. A. Millikan Observation des étoiles. 1895

Thorpe Inorganic Chemistry

Following substances crystalline in

Regular System: Na, Mg, Cd, Fe, Pb, Cu, Hg, Au, Ag = 0

Mn, Ag,

∞ 000

P, Cu, Ag, Au

∞ 0

Ag, Au

m 0 m

C

m 000

m 0, m 0 n

Quadratic: Sn, B

Hexagonal: Zn, Sb, Bi

Monoclinic and Rhombic: S, Te ~~Rhombic~~

R^2O	RO	R^2O^3	$\frac{RA^4}{RO^2}$	$\frac{RA^2}{RO^1}$	$\frac{RA}{R^2O^7}$	
Li=7 Na=23 K=39 Cu=63 Rb=85 Ag=108 Ca=135 Au=197	H=1 Al=9.4 Mg=24 Co=40 Zn=65 Sr=87 Cd=112 Ba=137 Hg=200	B=11 Al=27.3 44 68 Yt=88? Zn=113 Di=138? Er=178? Tl=204	C=12 Si=28 Ti=48 Zr=90 Sn=118 ?Co=140 ?La=180 Pb=207 Th=231	N=14 P=31 V=51 As=75 Nb=93 Sb=121 Ta=182 Bi=208	O=16 S=32 Cr=52 Se=78 Mo=96 Te=125 W=184 U=240	F=19 Cl=35.5 Mn=55 Br=80 I=127

Fe=55, Co=59, Ni=59, Ru=104, Rh=104, Pd=106, Os, Ir, Pt

Wied. Ann. 52 (1894) Kayne & Runge p. 92

In Spectren der Metalle der 4, 5 & 6 Gruppe haben sich keine Serien ergeben, wohl aber andere Regelmäßigkeiten:

Werden die reziproken Wellenlängen genommen, so wiederholen sich mehrere Gruppen mit konstanter Differenz

$$\frac{1}{\lambda_1} = a + \frac{1}{\lambda_2} \quad \text{Dies wird gezeigt bei Sn, Pb, As, Sb etc.}$$

Somit ^{sind} ~~und~~ außer bei den ersten drei Gruppen nur noch im Nengas ~~zwei~~ zwei Tripletserien gefunden worden.

Phil. Mag 1897 W. Wien

Theoretical deduction of the formula $\sigma = \frac{A}{\lambda^5} e^{-\frac{B}{\lambda}}$!

Translation of Wied. Ann. 1896

Wied. Ann.

Bohmer

$$\lambda_n = a \frac{(n+c)^2}{(n+c)^2 - b}$$

$$T_n = A - \frac{B}{(n+c)^2}$$

$\frac{a}{b}$ bemerkt gleich wie bei H

Rydberg nimmt dies B für alle Metalle als gleich an

Electrician 12/8 PZ XXXVIII

37

Electro. resistivity of electrolytic Bi at low temp and in mag. field.

Dever & Fleming.

Field strength	Volume resist.	Field strength	Vol. resist.
<u>temp. +19°C</u>		<u>-79°</u>	
0	116,200	0	78,300
1375	118,200	650	833
2750	123,	2300	1035
8800	149,2	3350	1148
14150	186,2	4100	124,
21800	257,000	5500	158,
		7900	201,
		14200	287,000
<u>-185°</u>		<u>-203</u>	
0	41,000	0	34,300
1375	103,3	2450	283,500
	191,5		
	738,		
	1,730,		
	6,190,000		

all transversely magnetized

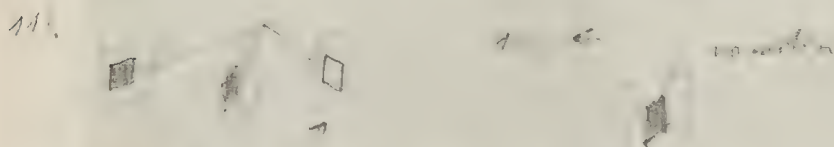
Temp.	0	2450	5500	14200	CSS
+19°	116200	123,5	132,	187,	
-79	78300	105,	158,	284,	
-185	41,000	186,	419,	1,740,000	
-203	34,300	283,5			

Part way, V. 18. [last part]

38

Crystals in liquid, emitting from radiation; others are
in both uniform and non-uniform to radiation but the most part
forming the whole and the ^{black} part of the center.

Various examples. ~~Under~~ to center.

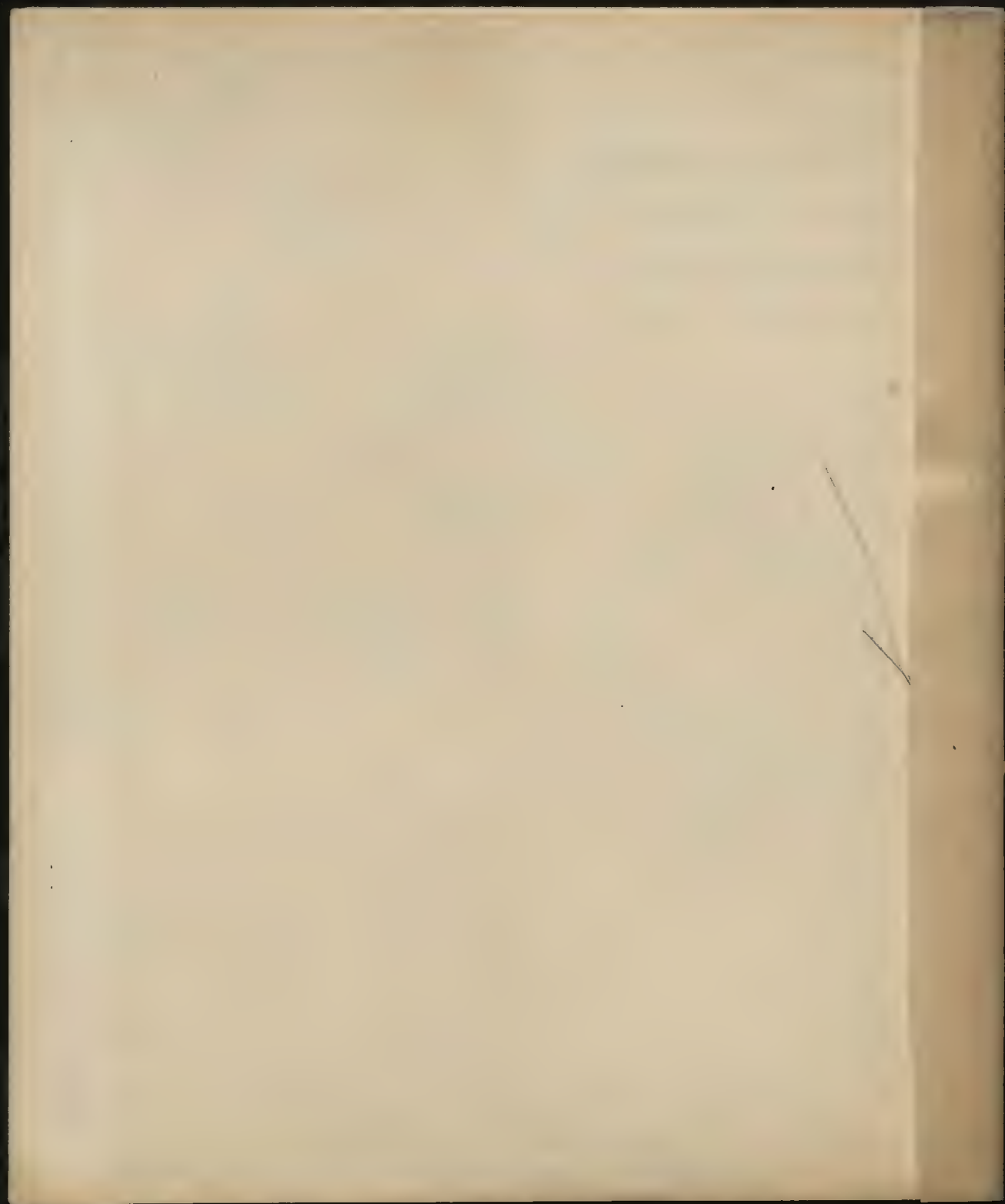


13) ((each $\frac{1}{2}$ effect. 14) Longitudinal wave surface
Light shining in cone, attract
wave, no motion

15) conc. surf. longitudinal

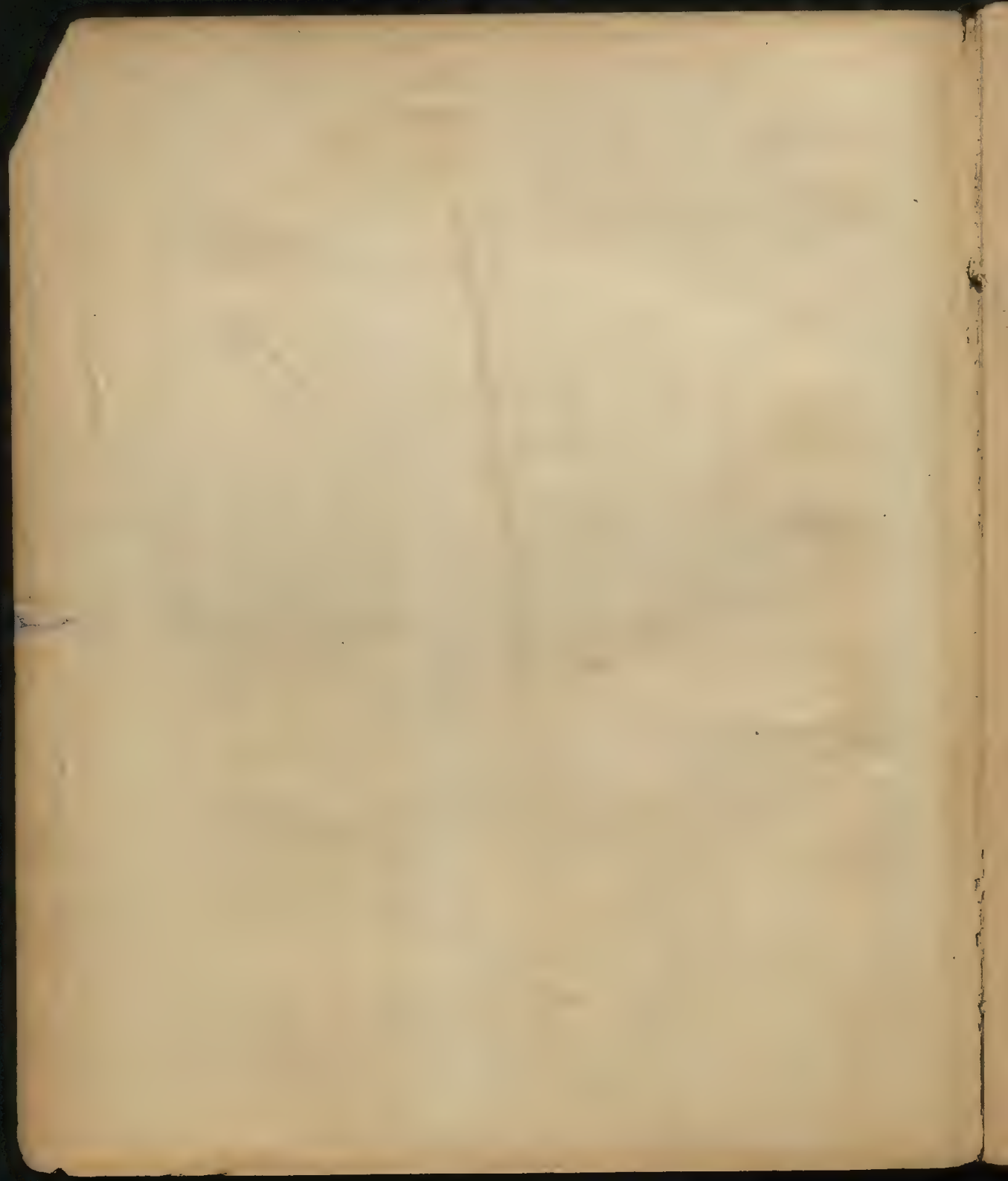
conc. no motion

conc. spirit uniform



9409
II





α

α

$$\begin{aligned}
 & \text{... } \alpha : f(\alpha) = 1 \\
 & \text{... } \alpha : f(\alpha) = 1 \\
 & \text{... } \alpha : f(\alpha) = 1
 \end{aligned}$$

$$\begin{aligned}
 & \vec{v}_1, \vec{v}_2 = \frac{1}{\sqrt{2}} \begin{pmatrix} 1 \\ 1 \end{pmatrix}, \frac{1}{\sqrt{2}} \begin{pmatrix} 1 \\ -1 \end{pmatrix} \\
 & = \frac{1}{\sqrt{2}} \begin{pmatrix} 1 \\ 1 \end{pmatrix}, \frac{1}{\sqrt{2}} \begin{pmatrix} 1 \\ -1 \end{pmatrix}
 \end{aligned}$$

$$\left[\begin{matrix} \text{p.v.} \\ \text{v.} \\ \text{v.} \end{matrix} \right] = \dots$$

$\frac{1}{2} \pi$ $\frac{1}{2} \pi$
 $\frac{1}{2} \pi$ $\frac{1}{2} \pi$

$$\left[p \times F \frac{1}{2} \pi \right] = \dots$$

$$p \times F \frac{1}{2} \pi \quad \frac{1}{2} \pi \quad \frac{1}{2} \pi \quad \frac{1}{2} \pi \quad -$$

...
 ...

...
 ...
 ...
 ...
 ...
 ...

$$\begin{aligned}
 & \text{fix } x' = x \\
 & \text{fix } x = x'
 \end{aligned}$$

...
 ...

...

Dr. J. H. ...

...

...

Im Ausdruck $C = \frac{v_0^2}{2} - \frac{\mu}{r_0}$ wird $\frac{\mu}{r_0}$ verschw. klein gegen $\frac{v_0^2}{2}$
 I) $\mu = 2 \text{ km}$

das mit sehr groer Annherung: $C = \frac{v_0^2}{2}$

$$\varepsilon = \sqrt{1 + \frac{v_0^4 s^2}{4\mu^2}} = \sqrt{1 + \left(\frac{v_0^2 s}{2\mu}\right)^2}$$

II. Wenn Voraussetzung, dass die Konstante k hier denselben Wert hat wie bei Gravitation (Gauss'sche Konstante) so wird $\frac{v_0^2 s}{\mu}$ sehr gro, daher

angenhert: $\varepsilon = \frac{v_0^2 s}{2\mu}$

$$\Delta T = \frac{\mu}{(2C)^{\frac{3}{2}}} \left\{ 1 + \log \frac{4r_0 C}{\frac{v_0^2 s}{2}} \right\} = \frac{\mu}{v_0^3} \left\{ 1 + \log \frac{4r_0}{s} \right\}$$

Es knnte dies gar keinen Einfluss haben

III. das entweder anderes Wirkungs Gesetz als k ist sehr gro
 (das wenn die Str durch Krper beobachtet werden soll)
 Wenn wirklich hyperbolische Umfliegung etc. so wre $(\varepsilon - 1)$ sehr klein sein
 dann dann angenhert

$$\varepsilon = 1 + \frac{1}{2} \left(\frac{v_0^2 s}{2\mu} \right)^2$$

$$\begin{aligned} 2 &= \sqrt{1 + \frac{2\mu C}{\mu^2}} = 1 + \frac{\mu C}{\mu^2} \\ &= \left[1 + \frac{v_0^2 s^2}{4\mu^2} C \right] \end{aligned}$$

$$\begin{aligned} \Delta T &= \frac{\mu}{(2C)^{\frac{3}{2}}} \left\{ 1 + \log \frac{4r_0 C}{\frac{v_0^2 s}{2}} + \log \left[1 + \frac{1}{2} \left(\frac{v_0^2 s}{2\mu} \right)^2 \right] \right\} \\ &= \frac{\mu}{\left(\frac{v_0^2}{2} \frac{2\mu}{r_0} \right)^{\frac{3}{2}}} \left\{ 1 + \log \left(\frac{2r_0 v_0^2}{\mu} \right) + \frac{1}{2} \log \left(1 + \frac{v_0^4 s^2}{4\mu^2} \right) \right\} \end{aligned}$$

$$\Delta T = \frac{\mu}{(2C)^{\frac{3}{2}}} \left\{ 1 + \log \frac{4r_0 C}{\mu} - \frac{1}{2} \log \left(1 + \frac{v_0^4 s^2}{4\mu^2} C \right) \right\}$$

nachher zurckgegriffen

Die Bahn wird umgekehrt (sowie durch Stos) bei allen davor s folgendemach:

$$\beta > 45^\circ$$

$$\cos \beta = \frac{1}{\varepsilon} > \frac{1}{\sqrt{2}}$$

$$\varepsilon < \sqrt{2}$$

$$1 + \frac{2c^2 C}{\mu^2} < 2$$

$$\frac{c^2 C}{\mu^2} < \frac{1}{2}$$

$$\frac{v_0^2 s^2 C}{4 \mu^2} < \frac{1}{2}$$

s = Abstand der verknüpften Anfangsgeschwindigkeit.

$$s^2 < \frac{2 \mu^2}{v_0^2 C}$$

des s bei welchen

$$s^2 = \frac{2 \mu^2}{v_0^2 C}$$

wird zur Abkürzung δ genannt

Nach dem Perikel werden die Bahnen abgelenkt, daher Norm. d. Long. der Energie vermindert; wie gross?

$$\frac{E - E_0}{E_0} = \Delta E$$

$$E = \int_{s=\frac{r_0}{v}}^{\infty} 2s n ds \cdot \cos^2(180 - 2\beta)$$

$$s = \frac{\mu}{v_0} \sqrt{\frac{2}{C}}$$

$$\begin{aligned} &= \cos^2 2\beta = (\cos \beta - \sin \beta)^2 = (2 \cos \beta - 1)^2 = \left(\frac{2}{\varepsilon} - 1\right)^2 \\ &= \left(\frac{2}{1 + \frac{2c^2 C}{\mu^2}} - 1\right)^2 = \left(\frac{1 - \frac{2c^2 C}{\mu^2}}{1 + \frac{2c^2 C}{\mu^2}}\right)^2 = \left(\frac{1 - \frac{v_0^2 s^2 C}{2 \mu^2}}{1 + \frac{2c^2 C}{\mu^2}}\right)^2 \end{aligned}$$

$$\text{dabei } \frac{v_0^2 s^2 C}{2 \mu^2} > 1$$

$$E = \int 2s n ds \left(\frac{1 - \frac{2 \mu^2}{v_0^2 s^2 C}}{1 + \frac{2 \mu^2}{v_0^2 s^2 C}} \right)^2$$

Diese Verminderung entspricht in der Stos-Theorie

$$\begin{aligned} E_0 \Delta E &= \int_{\frac{r_0}{v}}^{\infty} 2s n ds \frac{\cos^2 2\beta}{(1 - 2 \sin^2 \beta)^2} = \int_{\frac{r_0}{v}}^{\infty} 2s n ds \left(1 - \frac{s^2 v^2}{2 \rho^2}\right)^2 = 2n \left(2 \rho^2 - \frac{2}{3} \rho^2 + \frac{1}{3} \rho^2\right) \\ &= \frac{2n \rho^2}{3} + 2 \rho^2 n = \frac{8 \rho^2 n}{3} \end{aligned}$$



Daraus könnte also μ berechnet werden, da die Verminderung der Energie in beiden Fällen gleich sein muss, wenn man die Berechnung der mittleren Weglänge beibehalten will.

Angenähert auch einfach so:

die aufgetragene Energie = umgekehrte

$$2\rho^2 n = s^2 \tilde{n} = \frac{2\mu^2 n}{v_0^2 C}$$

$$\rho^2 = \frac{\mu^2}{v_0^2 C}$$

$$\mu^2 = \rho^2 v_0^2 C = \rho^2 \frac{v_0^4}{2} - \rho^2 \frac{v_0^2}{n_0} \mu$$

$$\mu = \frac{\rho^2 v_0^2}{2n_0} \pm \sqrt{\frac{\rho^2 v_0^4}{2} + \frac{\rho^4 v_0^4}{4n_0^2}} = \frac{\rho^2 v_0^2}{2n_0} \left[1 \pm \sqrt{1 + \frac{2n_0^2}{\rho^2}} \right]$$

$$= \frac{\rho^2 v_0^2}{2n_0} + \frac{\rho^2 v_0^2}{\sqrt{2}} \sqrt{1 + \frac{\rho^2}{2n_0^2}}$$

also angenähert $\mu = \frac{\rho^2 v_0^2}{\sqrt{2}}$

also mit $\sqrt{2}$ gleich
keine Vergrößerung

$$C = \frac{v_0^2}{2}$$

$$\varepsilon = \sqrt{1 + \frac{v_0^2 s^2}{2\rho^2 v_0^4} \frac{v_0^2}{2}} = \sqrt{1 + \frac{s^2}{2\rho^2}}$$

$$\Delta T = \frac{\mu}{(2C)^{3/2}} \left\{ 1 + \log \frac{4n_0 C}{\mu \varepsilon} \right\} = \frac{\rho v_0^2}{\sqrt{2} v_0^3} \left\{ 1 + \log \frac{2n_0 v_0^2}{\rho \frac{v_0^2}{\sqrt{2}} \sqrt{1 + \frac{s^2}{2\rho^2}}} \right\}$$

$$= \frac{\rho}{v_0 \sqrt{2}} \left\{ 1 + \log 2n_0 v_0^2 - \frac{1}{2} \log \left(1 + \frac{s^2}{2\rho^2} \right) \right\}$$

mittlere Zeitgen = $\frac{\int 2s n ds \Delta T}{\frac{n_0 n}{4}} \left\{ 1 + \log 2\sqrt{2} \cdot \frac{n_0}{\rho} - \frac{1}{2} \log \left(1 + \frac{s^2}{2\rho^2} \right) \right\}$

$$\boxed{M(AT)} = \frac{8\rho}{n_0^2 v_0 \sqrt{2}} \int_0^{\frac{n_0}{2}} \left\{ 1 + \ln 2\sqrt{2} \frac{n_0}{\rho} - \frac{1}{2} \ln \left(1 + \frac{x^2}{2\rho^2} \right) \right\} x dx$$

$$\int \ln(1+ax^2) x dx = \frac{x^2}{2} \ln(1+ax^2) - a \int \frac{x^3 dx}{1+ax^2} \quad x^2 = y$$

$$\int \frac{ay dy}{1+ay} = \int \left(1 - \frac{1}{1+ay} \right) dy$$

$$= y - \frac{1}{a} \ln(1+ay)$$

$$= \frac{a}{2} \int \frac{y dy}{1+ay}$$

$$= \frac{x^2}{2} \ln(1+ax^2) - \frac{x^2}{2} + \frac{1}{2a} \ln(1+ax^2)$$

$$= \frac{(1+ax^2)}{2a} \ln(1+ax^2) - \frac{x^2}{2}$$

inmordlung

$$\boxed{L} = \frac{8\rho}{n_0^2 v_0 \sqrt{2}} \left\{ \frac{n_0^2}{8} \left(1 + \ln 2\sqrt{2} \frac{n_0}{\rho} \right) - \frac{1}{2} \cdot \frac{n_0^2}{8\rho^2} \ln \left(1 + \frac{n_0^2}{8\rho^2} \right) + \frac{n_0^2}{16} \right\}$$

$$= \frac{8\rho}{n_0^2 v_0 \sqrt{2}} \left\{ \frac{3n_0^2}{2 \cdot 16} + \frac{n_0^2}{8} \ln 2\sqrt{2} \frac{n_0}{\rho} - \frac{n_0^2}{2 \cdot 16} \ln \frac{n_0^2}{8\rho^2} \right\}$$

$$= \frac{\rho}{v_0 \sqrt{2}} \left\{ \frac{3}{2} + \ln \frac{n_0}{\rho} + \ln 2\sqrt{2} - \frac{1}{2} \ln \frac{n_0^2}{\rho^2} - \frac{1}{2} \ln \frac{1}{8} \right\}$$

$$= \ln \frac{2\sqrt{2}}{\sqrt{\frac{1}{8}}} = \ln 8$$

$$= \frac{\rho}{v_0 \sqrt{2}} \left\{ \frac{3}{2} + \ln 8 \right\}$$

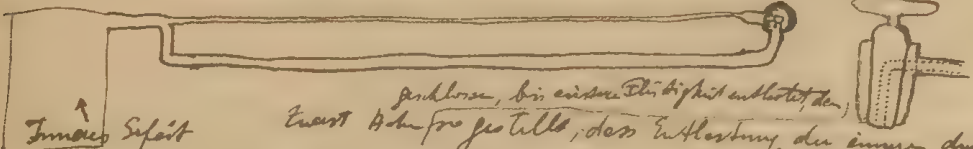
während nach Stoss-Theorie $= \frac{2\rho}{v_0}$ wäre

also Überschätzung !!!

Höflichkeit einer experiment. Bestimmung der thermischen elektrischen Nachwirkung?

Gewöhnl. Resometer wird Differenz der Nachwirkung von Glas und Wasser gegeben; ob dabei viel auf Flüssigkeit kommt, durch Wechsel derselben ersichtl.

Entweder plötzliche Delesterung oder ein fester plötzl. Entlastung (durch Öffnen eines Hahnes). Wenn vielwrtl. Wirkung zu schwach so folgendes Arrangement


Zuerst abgelesen, bis gewisse Flüssigkeit entleert ist, dann dieses schließen und die Capillare öffnen so die geringe Änderung noch beobachtet werden. Correction in Folge der Wärmewirkung!

Bestimmung der Polarisationskurve des Wechselstromes (Messungs-Apparat ?)

Untersuchung des Tellurs in Bezug darauf

Hall'sches Phänomen: statt rechteckige Platte: Halbkugel der (gelblich)

Niederschlag auf Röhre; Kugel?

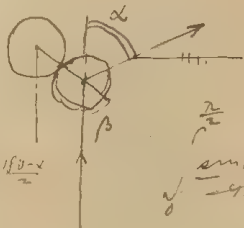
Verwendung bei Wechselstromen; entweder mit Magnet oder ~~elektromagnetisch~~ electrodynamisch; in letzterem Falle wird constant gestellter Sekundärstrom entstehen; Erhaltung der Kraft; darauf gegründete Mess-Apparate; in wie weit darf man hinter die erste Platte eine zweite geben?, eventuell ganze Systeme verbunden werden, dadurch Widerstand verringert und man kann so Wechselströme in constanten verwandeln.

Gibt es Wärmeschwörungen? (auch electr. Schw. ?) warum nicht?

Ad kinetische Gastheorie; Fortsetzung von Seite 7.

Drückigkeit (schrägen) der Refl. ~~nach~~ in den verschiedenen Richtungen nach diesem Zusammenstat.

1). nach Stoßtheorie:



$$W_{\alpha} = \frac{2\pi \cdot \sin \frac{180-\alpha}{2} d\alpha}{2\pi \sin \alpha d\alpha} \omega \frac{180-\alpha}{2} = \frac{\sin \alpha d\alpha}{\sin \frac{\alpha}{2}} = \frac{\sin \frac{\alpha}{2} d\alpha}{\sin \frac{\alpha}{2}} = \frac{1}{2}$$

$$= \frac{1}{2} \frac{\cos \frac{\alpha}{2}}{2 \sin \frac{\alpha}{2} \cos \frac{\alpha}{2}} = \frac{1}{4 \sin \frac{\alpha}{2}} = \frac{1}{2} \frac{\omega \frac{\alpha}{2} \sin \frac{\alpha}{2}}{\sin \alpha} = \frac{1}{4} \text{ also gleichmäßige Verteilung}$$

(> 9) (ebenso die reflektierten)
die übrigen bleiben geradeaus

2). nach Kraft-Theorie:

$$W_{\alpha} = \frac{2\pi s ds}{2\pi \sin (180-2\beta) d(2\beta)} = \frac{s ds}{2 \sin 2\beta d\beta} = \frac{s ds}{4 \sin \beta \cos \beta d\beta}$$

$$\cos \beta = \frac{1}{2} = \frac{1}{\sqrt{1 + \frac{v_0^2 s^2}{2\mu^2 C}}}$$

$$- \sin \beta d\beta = \frac{-1}{\sqrt{1 + \frac{v_0^2 s^2}{2\mu^2 C}}} \frac{v_0^2 s C}{2\mu^2} ds$$

$$\int_0^{\frac{\pi}{2}} \frac{\sin \alpha d\alpha}{\sin^2 \frac{\alpha}{2}} = 4 \int_0^{\frac{\pi}{2}} \cot \frac{\alpha}{2} d\frac{\alpha}{2} = 4 \int_0^{\frac{\pi}{4}} \cot \alpha d\alpha$$

$$= 4 \int_{\frac{\pi}{4}}^{\frac{\pi}{2}} \cot \alpha d\alpha = -4 \log(\cos \alpha) \Big|_{\frac{\pi}{4}}^{\frac{\pi}{2}} = \infty$$

$$= \frac{s ds (1 + \frac{v_0^2 s^2}{2\mu^2 C})^2}{2 v_0^2 C ds}$$

$$= \frac{\mu^2}{2 v_0^2 C} \frac{1}{\cos^2 \beta} = \frac{\mu^2}{2 v_0^2 C} \frac{1}{\cos^2 \frac{180-\alpha}{2}}$$

$$= \frac{\mu^2}{2 v_0^2 C} \frac{1}{\sin^2 \frac{\alpha}{2}}$$

Wenn der maximale $s = \bar{s}$ zu kommen aber keine Refl.
unter kleinerem α als A gebogen werden, wobei

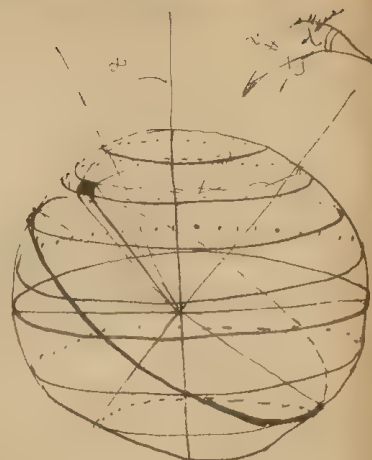
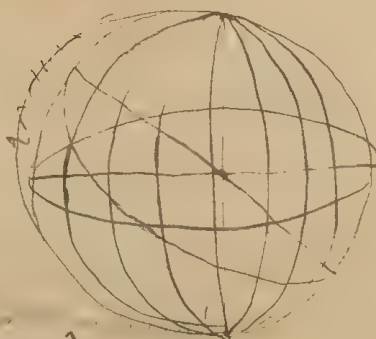
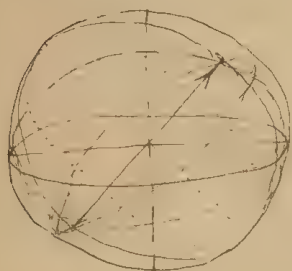
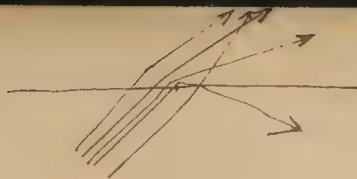
$$\cos \frac{180-A}{2} = \frac{1}{2} = \sin \frac{A}{2} = \frac{1}{\sqrt{1 + \frac{v_0^2 \bar{s}^2}{2\mu^2 C}}}$$

Wenn unter verschiedenen Winkeln, Refl. gegen ein A. fliegen, wie viel werden nach dieser Halbkugel reflektiert?
Radius des Zirkels der in einer Richtung fliegenden Refl. = \bar{s}

1). nach Stoßtheorie:

$$\frac{2\pi \bar{s}^2}{\bar{s}^2} = \frac{2\pi}{\bar{s}^2} \text{ in jeder einen Richtung also ebenso auch im Mittel}$$

3). nach Koeffizienten:



λ ist ausgedrückt durch β und λ

~~$$\cos \alpha = \cos \beta \cos \gamma + \sin \beta \sin \gamma \cos \lambda$$~~

~~$$\cos \alpha = \cos \beta \cos \gamma + \sin \beta \sin \gamma \cos \lambda$$~~

$$\sin \frac{\alpha}{2} = \frac{1 - \cos \alpha}{2}$$

$$D = \int_{\beta=0}^{\pi/2} \int_{\lambda=0}^{2\pi} \frac{\sin \beta \, d\lambda \, d\beta}{\cos \frac{\alpha}{2}} = \frac{4\pi}{\cos \frac{\alpha}{2}} \int_{\beta=0}^{\pi/2} \frac{\sin \beta \, d\beta}{1 - \cos \beta \cos \gamma + \sin \beta \sin \gamma \cos \lambda}$$

[gleiches wäre auch Centritigram]

$$= \frac{4\pi}{\cos \frac{\alpha}{2}} \int_{\beta=0}^{\pi/2} \sin \beta \, d\beta \int_{\lambda=0}^{2\pi} \frac{d\lambda}{1 - \cos \beta \cos \gamma + \sin \beta \sin \gamma \cos \lambda}$$

$$\int_0^{2\pi} \frac{dx}{a - b \cos x} = \frac{4}{\sqrt{a^2 - b^2}} \operatorname{arctg} \frac{(a+b) \operatorname{tg} \frac{x}{2}}{\sqrt{a^2 - b^2}} \Big|_0^{2\pi} = \frac{2\pi}{\sqrt{a^2 - b^2}}$$

$$= 2 \int_0^{\pi} \frac{dx}{a - b \cos x} = \uparrow$$

$$\int_{\lambda=0}^{2\pi} \frac{d\lambda}{1 - \cos \beta \cos \gamma + \sin \beta \sin \gamma \cos \lambda} = \frac{2\pi}{\sqrt{(1 - \cos \beta \cos \gamma)^2 - \sin^2 \beta \sin^2 \gamma}} = \frac{2\pi}{\sqrt{1 - 2\cos \beta \cos \gamma + \cos^2 \beta \cos^2 \gamma - 1 + \cos^2 \beta + \sin^2 \beta - \cos^2 \beta \sin^2 \gamma}} = \frac{2\pi}{\sin^2 \beta}$$

$$= \frac{2\pi}{\cos \rho - \cos \gamma} \quad \left| \frac{1}{\cos \rho - \cos \gamma} \right| = \frac{1}{\cos \rho - \cos \gamma}$$

$$\textcircled{N} = \int_{\rho=\frac{\pi}{2}}^{\rho=\pi} \frac{-\mu^2}{v_0^2 C} \int \frac{\sin \rho \, d\rho}{\cos \rho - \cos \gamma} \frac{2\pi}{v_0^2 C} = \frac{+2\pi \mu^2}{v_0^2 C} \log(\cos \rho - \cos \gamma) \Big|_{\frac{\pi}{2}}^{\pi}$$

$$= \frac{-2\pi \mu^2}{v_0^2 C} \log \frac{+ \cos \gamma}{1 + \cos \gamma} = \frac{-2\pi \mu^2}{v_0^2 C} \log \left(1 - \frac{1}{1 + \cos \gamma} \right) = \text{Masse, welche in die Halbkugel}$$

refl. wird, wenn das ges. unter dem Winkel γ gegen die Normale geneigt ist

von R. Halbkugel

$$\textcircled{M} = \frac{-1}{2\pi} \int_0^{\frac{\pi}{2}} 2\pi \sin \gamma \, d\gamma \frac{2\pi \mu^2}{v_0^2 C} \log \left(1 - \frac{1}{1 + \cos \gamma} \right)$$

$$= \frac{-2\pi \mu^2}{v_0^2 C} \int_0^{\frac{\pi}{2}} [\log \cos \gamma - \log(1 + \cos \gamma)] \sin \gamma \, d\gamma = \frac{-2\pi \mu^2}{v_0^2 C} \int_1^0 [\log x - \log(1+x)] dx$$

$$= \frac{-2\pi \mu^2}{v_0^2 C} \int_0^1 [\log x - \log(1+x)] dx \quad \boxed{\int \log x \, dx = x(\log x - 1)}$$

$$= \frac{-2\pi \mu^2}{v_0^2 C} \left\{ x(\log x - 1) - (x+1)[\log(x+1) - 1] \right\} \Big|_0^1$$

$$= \frac{-2\pi \mu^2}{v_0^2 C} \left\{ x \log x - x - x \log(x+1) - \log(x+1) + x+1 \right\} \Big|_0^1$$

$$\left(x \log \frac{x}{x+1} + \log \frac{1}{x+1} + 1 \right) \Big|_0^1 = \infty$$

kommt davon weil γ nur bis zum Winkel $(90 - A)$ erstreckt werden kann

$$\sin \frac{A}{2} = \frac{1}{2}$$

$$\cos A = \frac{2}{\epsilon^2} - 1 = \frac{1 - \frac{v_0^2 \epsilon^2}{2\mu^2 C}}{1 + \frac{v_0^2 \epsilon^2}{2\mu^2 C}}$$

$$2 \sin \frac{A}{2} = 1 + \cos A = \frac{2}{\epsilon^2}$$

$$\sin A = 2 \sin \frac{A}{2} \cos \frac{A}{2} = 2 \frac{1}{\epsilon} \sqrt{1 - \frac{1}{\epsilon^2}} = \frac{2\sqrt{\epsilon^2 - 1}}{\epsilon^2} = \frac{2\sqrt{v_0^4 \sigma^2}}{v_0^4 \sigma^2 + 1}$$

$$\text{also } \int_0^{\sin A} \dots = \int_0^{\sin A} \frac{2\pi\mu^2}{v_0^4 C} \left\{ x \log x + (x+1) \log(x+1) + 1 \right\} dx =$$

$$= \frac{2\pi\mu^2}{v_0^4 C} \left\{ \frac{1}{2} + 2 \log 2 + \sin A \log \sin A + (2 + \sin A) \log(2 + \sin A) \right\}$$

verschwindend klein

$$\sin A \text{ mit großer Annäherung} = 2\sqrt{\epsilon^2 - 1}$$

$$= 2\sqrt{v_0^4 \sigma^2}$$

das alles ungültig wenn $C = \frac{v_0^4}{2} - \frac{\mu}{\rho_0}$!
wenn das zweite Glied vernachlässigt wird

angenähert:

$$\sin A = 2 \sqrt{\frac{v_0^4 \sigma^2}{\mu^2}} = \frac{2v_0^2 \sigma}{\mu}$$

$$\textcircled{N} = \frac{4\pi\mu^2}{v_0^4 C} \left\{ \log 4 + \frac{2v_0^2 \sigma}{\mu} \log \frac{2v_0^2 \sigma}{\mu} \right\}$$

$$\frac{2\mu^2}{v_0^4 C} = \sigma^2 \quad (\text{siehe pg 5})$$

$$\sin A = 2\sqrt{\frac{v_0^4 \sigma^2}{\mu^2}} = \frac{2v_0^2 \sigma}{\mu}$$

$$\text{also } \textcircled{N} = 2\sigma^2 \left\{ -2 \log 2 - 2 \frac{\sigma}{\sigma} \log \frac{2\sigma}{\sigma} \right\}$$

$$\sin A \text{ ~~angenähert~~: } = \frac{2\sqrt{\epsilon^2 - 1}}{\epsilon^2} = \frac{2\sqrt{\frac{2v_0^4 \sigma^2}{\mu^2}}}{1 + \frac{2v_0^4 \sigma^2}{\mu^2}} \neq \frac{2}{\sqrt{\frac{2v_0^4 \sigma^2}{\mu^2}}}$$

$$\neq \frac{2}{\sqrt{\frac{v_0^4 \sigma^2}{2\mu^2}}} \neq \frac{2}{\sqrt{\frac{\sigma^2}{\sigma^2}}} = \frac{2\sigma}{\sigma}$$

$$\text{also angenähert: } \textcircled{N} = 2\sigma^2 \left\{ +2 \log 2 + \frac{2\sigma}{\sigma} \log \frac{2\sigma}{\sigma} \right\} = 4\sigma^2 \left\{ -\frac{\sigma}{\sigma} \log \frac{\sigma}{2\sigma} + \log 2 \right\}$$

Wenn diese Werte gleich sein sollen, nach beiden Theorien so muss sein:

$$\frac{2p^2}{S} = 4\pi\epsilon^2 \left\{ \frac{1}{5} \log \frac{1}{26} + \log 2 \right\} \quad \left| \quad S = \frac{1}{2} \text{ mittlere Entfernung der Molek.} \right.$$

$$\epsilon^2 = \frac{2\mu^2}{v_0^2 C}$$

~~mit der hier eingeführten Notation darf man das $C = \frac{v_0^2}{2}$ setzen:~~

$$\epsilon^2 = \frac{2\mu^2}{v_0^2} \cdot \frac{2}{v_0^2} = \frac{4\mu^2}{v_0^4}$$

angenommen dass man auch hier $C = \frac{v_0^2}{2}$ setzen darf, wird:

$$\epsilon^2 = \frac{4\mu^2}{v_0^4} \quad \epsilon = \frac{2\mu}{v_0^2} \text{ also verkehrt prop. der absol. Temperatur!}$$

ungefähre Berechnung des ϵ / welches das unten ϵ ist: wenn das ρ von pag 6 genommen wird = $\frac{6}{12}$ und mit dem ~~best~~ berechneten molec. Radius identifiziert wird (nach Loschmidt's)

so ist $\left(\frac{\rho}{S}\right)^3$ = idelche Condensationsluft hat

$$\frac{\rho}{S} = \frac{1}{10} \quad \text{denn } \frac{1}{10} = \frac{1}{10}$$

denn ϵ ungefähr für Wasser = 0.001

$$\frac{\rho}{S} = \frac{1}{10} \quad ; \quad \frac{\epsilon}{S} = \frac{1.4}{10} = \frac{1}{7} \quad 0.14 = \frac{1}{7}$$

$$\log \frac{3.5}{7} = \frac{0.544}{7} = 0.08 \quad 0.30$$

$$\text{denn } A = 0.28$$

$$A = \approx 150!$$

denn müsste man noch das Glied mit $x+1$ darunterschreiben

$$\rho^2 = 0.44 \epsilon^2$$

$\rho = 0.76$ ~~denn~~ auch in diesem Falle verkehrt prop. der absol. Temp.

$$x \log x - (x+1) \log (x+1) = x \log \frac{x}{x+1} - \log (x+1)$$

$$= -x \log \frac{x+1}{x} - \log (x+1)$$

$$= -x \log \left(1 + \frac{1}{x} \right) - \log (x+1)$$

$v^2 =$

$$\frac{1}{2} v^2$$

first! is known: $\frac{m}{T_{\text{max}}}$

$$dv = -v$$

$$= \frac{1}{T_{\text{max}}} \left\{ \begin{array}{l} \text{and the} \\ \text{first term is} \\ \text{and the second} \end{array} \right.$$

$$\frac{1}{v} = \frac{1}{v_0} - \frac{1}{v_0} + \frac{2 \cdot 26}{5} + \frac{2 \cdot 26}{5} + \frac{2 \cdot 26}{5}$$

$$= - + \frac{2 \cdot 26}{5} \left(\frac{4 \cdot 26}{5} + \frac{1}{5} \right) + \dots$$

$$\frac{dv}{v} = - \frac{1}{v_0}$$

$$= - \frac{1}{v_0} - \frac{1}{v_0} - \frac{1}{v_0} - \dots$$

$$1/v = + \frac{2v}{v_0} \left(1 + \frac{1}{v_0} \right)$$

$$\frac{1}{v} = \frac{1}{v_0} \left\{ 1 + \frac{1}{v_0} \right\}$$

$$= \frac{4}{v_0} \left(2 \cdot 26 \cdot 5 + 3 \cdot 26 \cdot 5 + \dots \right)$$

40

$$\frac{1}{2} = \frac{1}{2} \cdot \frac{1}{2}$$

$$= 1.3$$

$$\frac{1}{1} - \frac{1}{2} = \frac{1}{2}$$

$$\frac{2.122}{5.122}$$

$$0.412$$

$$- 1.402$$

$$1.122$$

$$- 1.122$$

$$1.5$$

$$\frac{V}{V_0}^2 = \frac{T}{T} \frac{1+x \cdot t_0}{1-t} = \frac{220-t_0}{24-t}$$

$$= 1 + \frac{1-t}{24-t}$$

$$v_0 = A \cdot$$

Wenn man $\frac{1}{2} \cdot \frac{1}{2}$
 als einen Teil der Annahme
 nimmt
 $\frac{1}{V} \frac{dV}{ds_0} = \frac{1}{V_0}$

From the ...

...

...

o o o o

o o o o

~~...~~ 2) o o

o o o o

W

...

...

2) ...

...

...

...

...

...

...

...

...

...

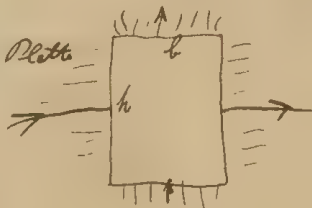
...

Ad Hall'sches Phänomen:

$$\frac{e}{2} = \frac{R M i_1}{\delta}$$

wie groß kann der sekundäre Strom im Vergleich zum primären werden?

rechteckige Platte



Widerstand des primären Stromes = W_1

" sekundäre " = W_2

$$W_1 = \frac{\alpha b}{h \delta} + w_1$$

$$W_2 = \frac{\alpha h}{b \delta} + w_2$$

$$i_2 = \frac{b_2}{W_2}$$

$$\begin{aligned} \text{Arbeitswert des sekundären St.} &= A_2 = i_2^2 W_2 = i_2^2 b_2 = \frac{b_2^2}{W_2} \\ &= \frac{R^2 M^2 i_1^2}{\delta^2 W_2} \end{aligned}$$

$$A_1 = i_1^2 W_1$$

diese werden gleich, wenn $A_1 = A_2 = i_1^2 W_1 = \frac{R^2 M^2 i_1^2}{\delta^2 W_2}$

$$W_1 W_2 = \frac{R^2 M^2}{\delta^2}$$

$$\frac{R^2 M^2}{\delta^2} = \frac{\alpha^2}{\delta^2} + w_1 w_2 + \frac{w_1 \alpha h}{b \delta} + \frac{w_2 \alpha b}{h \delta} \quad \left\| \quad \frac{1}{\delta^2} [\alpha^2 R^2 M^2] + \frac{\alpha}{\delta} \left[\frac{w_1 h}{b} + \frac{w_2 b}{h} \right] + w_1 w_2 = 0 \right.$$

daraus δ bestimmbar

nach Prinzip der Schelby der Kriß sollte A_2 nicht größer sein dürfen als A_1 ; nach der

Formel könnte dies der Fall sein, wenn nämlich $W_1 W_2 < \frac{R^2 M^2}{\delta^2} \quad \left\| \quad \frac{R M}{\delta W_1} \cdot \frac{R M}{\delta W_2} > 1 \right.$

~~also~~ ebenso folgt dies aus Folgender

$$i_2 = \frac{b_2}{W_2} = \frac{R M}{\delta W_2} i_1 \quad \text{wenn man } \frac{R M}{\delta W_2} > 1 \text{ so ist der sekundäre Strom stärker als}$$

der primäre, daher könnte dieser wieder als primärer verwendet werden etc. (Sensung von Arbeitswert nichts.)

$$R M > \delta W_2 = \frac{\alpha h}{b} + \delta w_2$$

nicht ganz richtig! es müsste auch die elektr. Kriß gleich oder größer sein
Widerstände müssen sich addieren

dieser muss ~~st~~ entweder

1. obige Formel falsch sein

oder

2. beim Hall'schen Effect eine Widerstandsvermehrung eintreten
respektive andere Wärmewirkungen eintreten.

Was folgt für die Widerstandsverteilung unter Voraussetzung der Richtigkeit der Formel?

~~Widerstand~~ ungünstigste Fall, wenn $w_1 = w_2 = 0$


$$W_1, W_2 = \frac{\alpha_1 \alpha_2}{f^2} \gg \frac{R^2 M^2}{f^2}$$

$$\alpha_1, \alpha_2 \gg \frac{R^2 M^2}{f^2} \quad \alpha_i = f \left(\frac{1}{r_i}, M \right)$$

also entweder sind bei starkem M die konstante R kleiner oder α größer

falls beide α gleich sind und Widerstand miniert von einem gewissen M an α proport. Mann!

[Faint, mostly illegible handwritten notes]

$$\begin{aligned} &= \mu \frac{v}{r} \\ &= \mu \frac{ds}{dt} \end{aligned}$$


$$\int_1^2 R ds = \mu \frac{1}{2} \alpha$$

$$\int_1^2 R \cos \alpha \, ds = \int_1^2 \mu \frac{v}{r} \cos \alpha \, ds = \text{unabhängig von } R \text{ nur von der Geschwindigkeit}$$

$$= F(x)$$

(Analogie zum Arbeits-Begriff bei Potentiometrie)

$$\begin{aligned} &= \frac{1}{r} \int_1^2 R \cos \alpha \, ds = \frac{\partial F}{\partial s} = \frac{1}{v} \frac{\partial F}{\partial t} = \frac{\mu v}{r} \cos \alpha \\ &R ds = \sqrt{\dots} = \mu \frac{ds}{dt} = \dots \end{aligned}$$

$$\frac{\partial F}{\partial t} = R \cos \alpha = \cos \alpha$$

1. $\frac{L}{A} = \frac{1}{2} \rho \frac{v^2}{\omega^2}$

10
65

2. $\frac{L}{A} = \frac{1}{2} \rho \frac{v^2}{\omega^2}$

3. $\frac{L}{A} = \frac{1}{2} \rho \frac{v^2}{\omega^2}$

4. $\frac{L}{A} = \frac{1}{2} \rho \frac{v^2}{\omega^2}$

5. $\frac{L}{A} = \frac{1}{2} \rho \frac{v^2}{\omega^2}$

6. $\frac{L}{A} = \frac{1}{2} \rho \frac{v^2}{\omega^2}$

7. $\frac{L}{A} = \frac{1}{2} \rho \frac{v^2}{\omega^2}$

8. $\frac{L}{A} = \frac{1}{2} \rho \frac{v^2}{\omega^2}$

9. $\frac{L}{A} = \frac{1}{2} \rho \frac{v^2}{\omega^2}$

10. $\frac{L}{A} = \frac{1}{2} \rho \frac{v^2}{\omega^2}$

11. $\frac{L}{A} = \frac{1}{2} \rho \frac{v^2}{\omega^2}$

12. $\frac{L}{A} = \frac{1}{2} \rho \frac{v^2}{\omega^2}$

13. $\frac{L}{A} = \frac{1}{2} \rho \frac{v^2}{\omega^2}$

...
 ...
 ...
 ...

$$X_{II} = x + D_v$$

... $t_2 = 2 \text{ sec}$...

$$x = \frac{P}{E}$$

$$X = P$$

$$X_1 = X - D_v$$

$$X_2 = X + D_v$$

$$\frac{1}{E} = X = P \left(\frac{1}{E} + \frac{1}{E} \right)$$

...
 ...
 ...
 ...

...
 ...
 ...
 ...

$$A_1 =$$

$$= \frac{P_1^2}{2k_2} = \frac{P_1^2}{2k_2}$$

$$Q_1 = \int \frac{P_1}{T_1} \left(\frac{\partial k_2}{\partial T_1} \right) dP = \frac{P_1^2}{2k_2} \cdot \frac{T_1}{T_1^2} \left(\frac{\partial k_2}{\partial T_1} \right)$$

2. 1. ge. Voraussetzung von k_2 : bei Temp. T_2 kann der Körper nur noch die Schmelzwärme

$$A_2 = \frac{P_2^2 k_2'}{2} = A_1 \frac{k_2'}{k_2} = A_1 \left[1 - \frac{1}{k_2} \left(\frac{\partial k_2}{\partial T} \right) dT \right]$$

daher muss die spec. Wärme des festen Körpers (mit Berücksichtigung der Schmelzwärme)

$$C_T dT + \frac{1}{T} \int_{T_0}^T C_T dT = C_T$$

$$C_T = C - \frac{1}{T} \frac{\partial k_2}{\partial T}$$

ebenso bei fester Zustand

man setzt dann in die Formel ein, die bei der Berechnung der Schmelzwärme
 dass es sich um einen festen Körper handelt und die Temp. berechnen

$$E = \frac{1}{2} \epsilon_0 \int E^2 dV$$

$$\frac{dE}{dt} = \frac{d}{dt} \left(\frac{1}{2} \epsilon_0 \int E^2 dV \right)$$

$$= \epsilon_0 \int E \frac{dE}{dt} dV$$

$$= \epsilon_0 \int E \frac{1}{E} \frac{dE}{dt} dV$$

$$dR_1 = \frac{3}{2} \frac{1}{R_1} dE - \frac{E}{R_1^2} dR_1$$

$$\frac{dE}{E} = -\frac{1}{2} \frac{dR_1}{R_1}$$

$$\ln E = -\frac{1}{2} \ln R_1 + \text{const}$$

$$d_1 = +0.077$$

intermediate!

$$\frac{1}{k} = \frac{B}{B} = \frac{C}{C} = -0.011 + \frac{2 \cdot 0.022}{1-2.077} = 0.034, \frac{0.50}{0.02} = 0.012$$

Station:

$$\frac{1}{k} = -0.008 + \frac{2 \cdot 0.011}{1-2.077} = 0.016$$

$$+0.017$$

Station:

$$d_1 = +0.028 + \frac{2 \cdot 0.011}{1-2.077} = 0.042$$

$$0.022$$

$$-0.016$$

Station:

$$\frac{1}{k} = -0.039 + \frac{2 \cdot 0.011}{1-2.077} = 0.025$$

$$+0.307$$

$$d_1 = -0.019 + \frac{2 \cdot 0.011}{1-2.077} = 0.012$$

$$+0.032$$

$$d_1 = -0.195 + \frac{2 \cdot 0.011}{1-2.077} = 0.015$$

$$= -0.177$$

$$= + 9400$$

Die hier beschriebene Abhängigkeit ist eine Folge der Tatsache, dass die
 Temperatur der Luft in der Höhe h mit der Höhe h abnimmt.
 Nach der ~~ersten~~ ^{ersten} ~~Annahme~~ ^{Annahme} ist die Temperatur in der Höhe h gegeben durch

$$T = T_0 - \alpha h$$
 wobei T_0 die Temperatur in der Höhe $h=0$ ist und α die Temperaturabnahme pro
 Höhenmeter ist. Die Dichte der Luft in der Höhe h ist gegeben durch

$$\rho = \rho_0 (1 - \beta h)$$
 wobei ρ_0 die Dichte in der Höhe $h=0$ ist und β die Dichteveränderung pro
 Höhenmeter ist. Die Geschwindigkeit der Luft in der Höhe h ist gegeben durch

$$v = v_0 + \gamma h$$
 wobei v_0 die Geschwindigkeit in der Höhe $h=0$ ist und γ die Geschwindigkeits-
 veränderung pro Höhenmeter ist. Die Druckveränderung in der Höhe h ist
 gegeben durch die hydrostatische Gleichung

1. Die Dichte der Luft in der Höhe h ist gegeben durch
2. Die Temperatur in der Höhe h ist gegeben durch
3. Die Geschwindigkeit der Luft in der Höhe h ist gegeben durch
4. Die Druckveränderung in der Höhe h ist gegeben durch

$$dQ = - \frac{1}{\gamma} \alpha v_0 dh$$

5. Wenn die Luft in der Höhe h steht, ist die Dichte der Luft gegeben durch
6. Die Geschwindigkeit der Luft in der Höhe h ist gegeben durch

1. $\frac{1}{x^2} = x^{-2}$
 $\frac{d}{dx} x^{-2} = -2x^{-3} = -\frac{2}{x^3}$

... ..

24/2

$$q \frac{dZ}{dt} = \frac{q}{\tau_0} Z \cdot dZ \quad \text{für } \tau_0 \text{ und } \tau_1 \text{ gegeben}$$

$$\frac{\partial \psi}{\partial z} = \frac{T}{\sqrt{1 - \beta^2}} \left[\frac{v_z}{E} \right] = \frac{ZT}{J} \left[\frac{1}{E} \right] \frac{\partial \psi}{\partial z} - \frac{v_z}{E} \frac{\partial \psi}{\partial z}$$

$$= \frac{T}{\gamma} \frac{Z}{E} \left[\kappa - \frac{1}{E} \left(\frac{\partial E}{\partial T} \right) \right]$$

[mit Anmerkung in den
die ich. vor g. mit 1. Anmerkung
über... die Abhängigkeit von...

1. *St. ...*
 2. *...*
 3. *...*

Dear Friend

$$\phi = \frac{Z^2}{2} \frac{T v_0}{J E} \quad (1)$$

also immer ~~fortwährend~~ in der Land ...

$$= A \frac{T}{T_0} \cdot \frac{1}{T_0} \cdot \frac{1}{T_0}$$

$$A = \frac{1}{2} \frac{d^2 \phi}{d\alpha^2}$$

II. Kompression:

Wir betrachten die Kompression des Gases in einem Zylinder.

$$dA = \int_{r_1}^{r_2} 2\pi r dr \frac{I_1}{r^2} = \frac{2\pi I_1}{r_1 r_2} dr \quad \text{wenn } I_1 = I_2 = I$$

$$\frac{dA}{A} = \frac{T}{T} \frac{2\pi I}{r} \frac{\partial}{\partial T} \frac{I}{r^2} = \frac{2\pi I}{r^2} \left[\frac{\partial}{\partial T} \left(\frac{I}{r^2} \right) \right]$$

$$= \frac{T}{T} \frac{2\pi I}{r} \left[-\frac{I}{r^2} - \frac{I}{r^2} \frac{\partial r}{\partial T} \right]$$

$$= \frac{T}{T} \frac{2\pi I}{r^2} \left[-1 - \frac{1}{r} \frac{\partial r}{\partial T} \right]$$

$$Q = \frac{1}{2} \frac{T}{T} \frac{2\pi I}{r^2} \left[-1 - \frac{1}{r} \frac{\partial r}{\partial T} \right] = A \frac{T}{T} \left[-1 - \frac{1}{r} \frac{\partial r}{\partial T} \right]$$

III. Kompression: (nachteilig)

Arbeit der Kompression des Gases in einem Zylinder.

$$dA = \frac{P}{V} dV = P dv = P \frac{v_0}{L} dv = k_1 \frac{v_0}{L} dv$$

$$\frac{dA}{A} = \frac{T}{T} \frac{P}{V} \frac{\partial v_0}{\partial T} = \frac{T}{T} \frac{P}{k_1 L} \left[-1 - \frac{1}{r} \frac{\partial r}{\partial T} \right]$$

$$Q = \frac{P}{2} \frac{v_0}{L} \left[-1 - \frac{1}{r} \frac{\partial r}{\partial T} \right] = A \frac{T}{T} \left[-1 - \frac{1}{r} \frac{\partial r}{\partial T} \right]$$

also wie bei Kompression; wenn man den ersten Term weglässt und nur den zweiten, so kommt das Kompressionsgesetz heraus.

$$\frac{dA}{A} = -\frac{T}{T} \frac{\partial v_0}{\partial T} = -\frac{T}{T} v_0 \frac{\partial}{\partial T} \quad Q = -\frac{T}{T} P v_0$$

Wie groß ist der Fehler? (schon so man die beiden Terme so nimmt, wie sie sind, so bestimmt)

$\frac{1}{T} = \frac{1}{T_0} + \frac{1}{T_1}$ $\frac{1}{T} = \frac{1}{T_0} + \frac{1}{T_1} = \frac{1}{T_0} + \frac{1}{T_1} = \frac{1}{T_0} + \frac{1}{T_1}$

$\frac{1}{T} = \frac{1}{T_0} + \frac{1}{T_1} = \frac{1}{T_0} + \frac{1}{T_1} = \frac{1}{T_0} + \frac{1}{T_1}$

$\frac{1}{T} = \frac{1}{T_0} + \frac{1}{T_1} = \frac{1}{T_0} + \frac{1}{T_1} = \frac{1}{T_0} + \frac{1}{T_1}$

$\frac{1}{T} = \frac{1}{T_0} + \frac{1}{T_1} = \frac{1}{T_0} + \frac{1}{T_1} = \frac{1}{T_0} + \frac{1}{T_1}$

III: Arbeit = Temperatur x h x h

$\frac{1}{T} = \frac{1}{T_0} + \frac{1}{T_1} = \frac{1}{T_0} + \frac{1}{T_1} = \frac{1}{T_0} + \frac{1}{T_1}$

$\frac{1}{T} = \frac{1}{T_0} + \frac{1}{T_1} = \frac{1}{T_0} + \frac{1}{T_1} = \frac{1}{T_0} + \frac{1}{T_1}$

$\frac{1}{T} = \frac{1}{T_0} + \frac{1}{T_1} = \frac{1}{T_0} + \frac{1}{T_1} = \frac{1}{T_0} + \frac{1}{T_1}$

... ..

$$\frac{1}{P} = - \frac{1}{T} \frac{\partial T}{\partial P}$$

$$= - \frac{T}{P} \frac{\partial}{\partial T} \left(\frac{1}{P} \right) = \frac{T}{P} \frac{1}{T^2} = \frac{1}{PT}$$

$$f = - \frac{T}{P} \left(\frac{\partial}{\partial T} + \frac{1}{P} \frac{\partial}{\partial P} \right)$$

Für ein ideales Gas gilt: $\frac{1}{P} = \frac{1}{nRT}$ und $\frac{\partial}{\partial P} = - \frac{1}{nRT} \frac{\partial}{\partial n}$

$$f = - \frac{T}{P} \left(\frac{\partial}{\partial T} - \frac{1}{nRT} \frac{\partial}{\partial n} \right)$$

$$f = - \frac{T}{P} \left(\frac{\partial}{\partial T} - \frac{1}{nRT} \frac{\partial}{\partial n} \right)$$

$$f = - \frac{T}{P} \left(\frac{\partial}{\partial T} - \frac{1}{nRT} \frac{\partial}{\partial n} \right) = 500$$

Man kann auch die Helmholtz-Funktion A verwenden. Die Helmholtz-Funktion ist definiert durch $A = U - TS$. Die Helmholtz-Funktion ist eine Funktion von T und V . Die Helmholtz-Funktion ist eine Funktion von T und V . Die Helmholtz-Funktion ist eine Funktion von T und V .

$$F(T, V) = K(T, V) + D = 0$$

Die Helmholtz-Funktion ist eine Funktion von T und V .

Die Helmholtz-Funktion ist eine Funktion von T und V .

$$\text{Annahme: } \frac{\partial F}{\partial T} = 0 \quad \text{also} \quad \frac{\partial K}{\partial T} + \frac{\partial D}{\partial T} = 0$$

Annahme: Die Helmholtz-Funktion ist eine Funktion von T und V .

$$\left[\frac{\partial F}{\partial T} - \frac{\partial K}{\partial T} - \frac{\partial D}{\partial T} \right]_{V} + \left[\frac{\partial F}{\partial V} - \frac{\partial K}{\partial V} - \frac{\partial D}{\partial V} \right]_{T} = 0$$

$$\frac{\partial \epsilon}{\partial v} = \frac{1}{v^2} \left(\frac{\partial \epsilon}{\partial v} \right)_{T,D}$$

$$\frac{\partial \epsilon}{\partial T} = \frac{1}{T} \left(\frac{\partial \epsilon}{\partial T} \right)_{v,D} - \frac{1}{T^2} \left(\frac{\partial \epsilon}{\partial T} \right)_{v,D} \quad \text{Korrekturen der Ableitungen}$$

$$\frac{\partial \epsilon}{\partial v} = \frac{1}{v} \left(\frac{\partial \epsilon}{\partial v} \right)_{T,D} - \frac{1}{v^2} \left(\frac{\partial \epsilon}{\partial v} \right)_{T,D}$$

$$\frac{\partial \epsilon}{\partial D} = \frac{1}{D} \left(\frac{\partial \epsilon}{\partial D} \right)_{v,T} - \frac{1}{D^2} \left(\frac{\partial \epsilon}{\partial D} \right)_{v,T}$$

$$\frac{\partial \epsilon}{\partial v} = \frac{1}{v} \left(\frac{\partial \epsilon}{\partial v} \right)_{T,D} - \frac{1}{v^2} \left(\frac{\partial \epsilon}{\partial v} \right)_{T,D} = \left[\frac{\partial \epsilon}{\partial v} \right]_{T,D} + \left[\frac{\partial \epsilon}{\partial v} \right]_{T,D} + \frac{1}{v^2} \left(\frac{\partial \epsilon}{\partial v} \right)_{T,D}$$

$$\frac{\partial \epsilon}{\partial v} = \frac{\partial K}{\partial v} + \frac{\partial K}{\partial v} + \left[\frac{\partial \epsilon}{\partial v} \right]_{T,D} = \frac{\partial T}{\partial v}$$

$$f = \frac{1}{2} \int_{-\theta}^{\theta} \frac{1}{1 + \frac{1}{2} \sin^2 \theta} d\theta$$

$$f = \frac{1}{2} \int_{-\theta}^{\theta} \frac{1}{1 + \frac{1}{2} \sin^2 \theta} d\theta$$

$$f = \frac{1}{2} \int_{-\theta}^{\theta} \frac{1}{1 + \frac{1}{2} \sin^2 \theta} d\theta$$

$$f = \frac{1}{2} \int_{-\theta}^{\theta} \frac{1}{1 + \frac{1}{2} \sin^2 \theta} d\theta$$

$$f = \frac{1}{2} \int_{-\theta}^{\theta} \frac{1}{1 + \frac{1}{2} \sin^2 \theta} d\theta$$

Das Grenzwert gilt nicht (Lambert)

$$f = \frac{1}{2} \int_{-\theta}^{\theta} \frac{1}{1 + \frac{1}{2} \sin^2 \theta} d\theta$$

$$f = \frac{1}{2} \int_{-\theta}^{\theta} \frac{1}{1 + \frac{1}{2} \sin^2 \theta} d\theta$$

Das Grenzwert gilt nicht

$$f = \frac{1}{2} \int_{-\theta}^{\theta} \frac{1}{1 + \frac{1}{2} \sin^2 \theta} d\theta$$

$$f = \frac{1}{2} \int_{-\theta}^{\theta} \frac{1}{1 + \frac{1}{2} \sin^2 \theta} d\theta$$

$$f = \frac{1}{2} \int_{-\theta}^{\theta} \frac{1}{1 + \frac{1}{2} \sin^2 \theta} d\theta$$

$$f = \frac{1}{2} \int_{-\theta}^{\theta} \frac{1}{1 + \frac{1}{2} \sin^2 \theta} d\theta$$

$$f = \frac{1}{2} \int_{-\theta}^{\theta} \frac{1}{1 + \frac{1}{2} \sin^2 \theta} d\theta$$

$$f = \frac{1}{2} \int_{-\theta}^{\theta} \frac{1}{1 + \frac{1}{2} \sin^2 \theta} d\theta$$

$$f = \frac{1}{2} \int_{-\theta}^{\theta} \frac{1}{1 + \frac{1}{2} \sin^2 \theta} d\theta$$

$$= \int_0^{\pi} \frac{d\theta}{2\pi} \left[\frac{1}{2} \left(\frac{1}{\sin^2 \theta} + \frac{1}{\cos^2 \theta} \right) \right] \sin^2 \theta$$

$$= \frac{n}{2} \int_0^{\pi} \frac{d\theta}{2\pi}$$

For the case of a uniform distribution of points on a sphere, the probability of finding a point in a given solid angle $d\Omega$ is proportional to $d\Omega$.

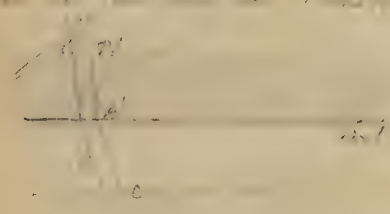
$$f(\theta) = f(\theta) + f(\theta)$$

$$f(\theta) = \frac{1}{2} \left(\frac{1}{\sin^2 \theta} + \frac{1}{\cos^2 \theta} \right) \sin^2 \theta$$

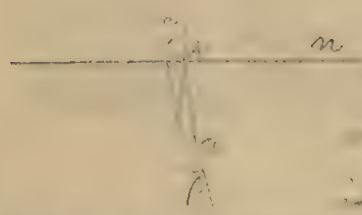
$$f(\theta) = \frac{1}{2} \left(\frac{1}{\sin^2 \theta} + \frac{1}{\cos^2 \theta} \right) \sin^2 \theta$$

$$= \frac{n}{2} \int_0^{\pi} \frac{d\theta}{2\pi} \left[\frac{1}{2} \left(\frac{1}{\sin^2 \theta} + \frac{1}{\cos^2 \theta} \right) \right] \sin^2 \theta$$

Wenn man in einem flüssigen Medium einen Körper in Bewegung setzt, so wird er durch die Reibung des Mediums auf der Stelle, an der er sich befindet, zum Stillstand kommen.



Es wird die Bewegung des Körpers durch die Reibung des Mediums verlangsamt, bis er schließlich zum Stillstand kommt.



Die Bewegung des Körpers wird durch die Reibung des Mediums verlangsamt, bis er schließlich zum Stillstand kommt.

Wenn man in einem flüssigen Medium einen Körper in Bewegung setzt, so wird er durch die Reibung des Mediums auf der Stelle, an der er sich befindet, zum Stillstand kommen.

Die Bewegung des Körpers wird durch die Reibung des Mediums verlangsamt, bis er schließlich zum Stillstand kommt.

Die Bewegung des Körpers wird durch die Reibung des Mediums verlangsamt, bis er schließlich zum Stillstand kommt.

$$S : S' = f_m : f' = \frac{4m}{4m} : \frac{4m}{(1+v)^2}$$

$$n = 1+v \quad = \frac{4+4v}{2+v} : \frac{4}{1+v}$$

$$= \frac{1}{1+\frac{v}{2(1+v)}} : \frac{1}{1+\frac{v}{2(1+v)}} = 1 + \frac{v^2}{4}$$

$$= 1 + \frac{v^2}{4} : 1 + \frac{v^2}{4}$$

[Faint, mostly illegible handwriting at the top of the page, possibly containing a title or introductory remarks.]

[Second paragraph of faint handwriting.]

[Third paragraph of faint handwriting.]

[Fourth paragraph of faint handwriting.]

[Fifth paragraph of faint handwriting.]

[Sixth paragraph of faint handwriting.]

...
 ...
 ... $T' = -K \frac{1}{r^2}$...

$\frac{1}{T_0} \dots$
 $\Phi_1 = \int_0^{\infty} \dots$
 $\dots = \epsilon_0 \left[\frac{4}{r_0} \dots \right]$

$\dots = \left[\epsilon_0 + 4 \frac{\epsilon_0}{r_0} \dots \right]$
 $\dots = \frac{\epsilon_0}{r_0} \left[1 + \frac{4}{r_0} \dots \right]$

$\Phi_2 = \int \dots$
 $T = T_0 + \frac{T_2 - T_0}{L} x$
 $\frac{T}{T_0} = T_0^{-1}$

$\Phi = \Phi_1 - \Phi_2 = \epsilon_0 \frac{r_0}{d^2} \frac{1}{r_0} \frac{T_0^{-1}}{L} = 8 \frac{\epsilon_0}{d^2} \frac{1}{T_0}$

$\epsilon_0 =$...
 $= E_0$
 E_{00} ...
 ... L_0

[Faint, illegible handwritten text]

$\gamma = 8$

$$h = .8 \quad \text{and} \quad x_0 = 0.7$$

$$K = \frac{1}{2} \frac{1}{\sqrt{1 - \frac{v^2}{c^2}}}$$

33

2

$$I_1 = \int_0^1 x^2 dx = \frac{1}{3} x^3 \Big|_0^1 = \frac{1}{3}$$

$$I_2 = \int_0^1 x^3 dx = \frac{1}{4} x^4 \Big|_0^1 = \frac{1}{4}$$

$$I_3 = \int_0^1 x^4 dx = \frac{1}{5} x^5 \Big|_0^1 = \frac{1}{5}$$

$$\frac{d^2 I}{dx^2} = \frac{d}{dx} \left(2x - \frac{1}{2} \right) = 2 - \frac{1}{2} = \frac{3}{2}$$

$$= -\frac{1}{2} \frac{d}{dx} \left(\frac{1}{x} \right) = \frac{1}{2} \frac{1}{x^2} = \frac{1}{2x^2}$$

1.1.

$$f(x) = x^x$$

$$I_1 = \int_0^1 x^x dx = \int_0^1 e^{x \log x} dx = \int_0^1 e^{x \log x} dx$$

$$= \int_0^1 e^{x \log x} dx = \int_0^1 e^{x \log x} dx$$

$$= \frac{e^{x \log x}}{\log x} = \frac{e^{x \log x}}{\log x} = \frac{e^{x \log x}}{\log x}$$

II).

$$= -\frac{1}{2} \frac{d}{dx} \left(\frac{1}{x} \right) + \frac{1}{2} \frac{d}{dx} \left(\frac{1}{x} \right)$$

$$= -\frac{1}{2} \frac{d}{dx} \left(\frac{1}{x} \right) + \frac{1}{2} \frac{d}{dx} \left(\frac{1}{x} \right) = -\frac{1}{2} \frac{d}{dx} \left(\frac{1}{x} \right) + \frac{1}{2} \frac{d}{dx} \left(\frac{1}{x} \right)$$

$$1.1. f(x) = a^x$$

$$e^x = 1 + \frac{x}{1} + \frac{x^2}{2} + \dots$$

$$\frac{d^2 f}{dx^2} = a^x \cdot \frac{a-1}{a}$$

$$a^x = e^{x \log a} = 1 + \frac{x \log a}{1} + \frac{x^2 (\log a)^2}{2} + \dots$$

$$= a^x \log a, \frac{1}{2}$$

154

$$312 \quad x + \frac{1}{x} - \frac{1}{x^2} = \frac{1}{x} - \frac{1}{x^2} - \frac{1}{x^3}$$

$$= \frac{1}{x} \left(\frac{1}{x} - \frac{1}{x^2} - \frac{1}{x^3} \right) = \frac{1}{x^2} - \frac{1}{x^3} - \frac{1}{x^4}$$

$$= \frac{1}{x^2} \left(\frac{1}{x} - \frac{1}{x^2} - \frac{1}{x^3} \right) = \frac{1}{x^3} - \frac{1}{x^4} - \frac{1}{x^5}$$

= 77

$$\frac{1}{x^2} = \int \frac{1}{x^2} dx = \int x^{-2} dx = -\frac{1}{x} + C$$

$$\frac{1}{x^3} = \int \frac{1}{x^3} dx = \int x^{-3} dx = -\frac{1}{2x^2} + C$$

$$\frac{1}{x^4} = \int \frac{1}{x^4} dx = \int x^{-4} dx = -\frac{1}{3x^3} + C$$

Summe der ...

III 1 2 3 4 5 6 7 8 9 10 11 12

IV 1 2 3 4 5 6 7 8 9 10 11 12

V 1 2 3 4 5 6 7 8 9 10 11 12

502
17

29=91

 $a, \Delta = b$ $\delta \sim \delta_1 \sim \delta_2$ $\sim \text{width}$

$$= \frac{n(n-1)}{2} h + \dots$$

$$u_2 = \frac{\dots}{\dots}$$

$$\int = \dots + \frac{u_1 u_2}{\dots}$$

$$f_2 = \int_{-\infty}^{\infty} \frac{e^{-x}}{1+x} dx = \frac{e^{-x}}{1+x} \Big|_{-\infty}^{\infty} + \int_{-\infty}^{\infty} \frac{e^{-x}}{1+x} dx$$

$$= \lim_{x \rightarrow \infty} \frac{e^{-x}}{1+x} - \lim_{x \rightarrow -\infty} \frac{e^{-x}}{1+x} + \int_{-\infty}^{\infty} \frac{e^{-x}}{1+x} dx$$

$$= 0 - \lim_{x \rightarrow -\infty} \frac{e^{-x}}{1+x} + \int_{-\infty}^{\infty} \frac{e^{-x}}{1+x} dx$$

$$= 0 - \lim_{x \rightarrow -\infty} \frac{e^{-x}}{1+x} + \int_{-\infty}^{\infty} \frac{e^{-x}}{1+x} dx$$

$$= \int_{-\infty}^{\infty} \frac{e^{-x}}{1+x} dx = \int_{-\infty}^{\infty} \frac{e^{-x}}{1+x} dx$$

11. ... - x dx ...

$$+ \int_{-\infty}^{\infty} \frac{e^{-x}}{1+x} dx = + \frac{e^{-x}}{1+x} \Big|_{-\infty}^{\infty}$$

$$= \frac{e^{-x}}{1+x} \Big|_{-\infty}^{\infty} = \frac{e^{-x}}{1+x} \Big|_{-\infty}^{\infty}$$

$$= \frac{e^{-x}}{1+x} \Big|_{-\infty}^{\infty} = \frac{e^{-x}}{1+x} \Big|_{-\infty}^{\infty}$$

... ..

$$\Phi_1 \Phi_2 = \frac{1}{2} \left[\frac{e^{-x}}{1+x} \right]_{-\infty}^{\infty}$$

...the ... of the ...
... ..
... ..

... ..
... ..

... .. 34
... .. 43

... ..
... ..

... ..
... ..

... ..
... ..

... ..
... ..

... ..
... ..

... ..
... ..

... ..
... ..

Handwritten text, mostly illegible due to fading. Some words like "The", "and", "is", "of" are visible.

↓

$\frac{1}{x}$

$$f(x) = \frac{1}{x}$$

$$f'(x) = -\frac{1}{x^2}$$

$$\int \frac{1}{x} dx = \ln|x| + C$$

V

$$+ \frac{1}{x} \ln|x| + \frac{1}{x^2} \ln|x| + \dots$$

$$\frac{H_0}{11}$$

$$x^2 + 10x + 25 = (x+5)^2$$

$$x^2 + 10x + 25 = (x+5)^2$$

$$x^2 + 10x + 25 = (x+5)^2$$

$$x^2 + 10x + 25 = (x+5)^2$$

$$x^2 + 10x + 25 = (x+5)^2$$

$$x^2 + 10x + 25 = (x+5)^2$$

$$x^2 + 10x + 25 = (x+5)^2$$

$$x^2 + 10x + 25 = (x+5)^2$$

$$x^2 + 10x + 25 = (x+5)^2$$

$$x^2 + 10x + 25 = (x+5)^2$$

$$x^2 + 10x + 25 = (x+5)^2$$

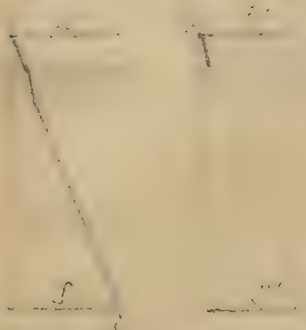
$$= \frac{1}{2} \left(\frac{1}{x} + \frac{1}{x} \right)$$

$$x^2 + 10x + 25 = (x+5)^2$$

$$x^2 + 10x + 25 = (x+5)^2$$

$$x^2 + 10x + 25 = (x+5)^2$$

Suppose that the body is fixed to the wall and the force is applied at the end of the lever. The force is applied at the end of the lever. The force is applied at the end of the lever.



The force is applied at the end of the lever. The force is applied at the end of the lever. The force is applied at the end of the lever.

$$F \cdot l = S \cdot L \quad \text{or} \quad F = \frac{S \cdot L}{l}$$

The force is applied at the end of the lever. The force is applied at the end of the lever. The force is applied at the end of the lever.

The force is applied at the end of the lever. The force is applied at the end of the lever. The force is applied at the end of the lever.

The force is applied at the end of the lever. The force is applied at the end of the lever. The force is applied at the end of the lever.

1882

1883

1884

1885

1886

1887

1888

1889

1890

1891

1892

1893

1894

1895

1896

1897

1898

1899

1900

1901

1902

1903

1904

1905

1906

1907

3

4 =

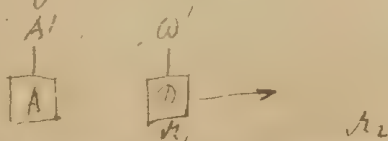
? Liebe pag 55! ?

Wir denken uns folgenden umkehrbaren Kreisprozess:

2 Körper A und B, vollkommen schwarz, mit 2 anderen A' und B', vollkommen strahlungslos, (als Wärme Reservoirs) so verbunden dass sie von diesen (durch Leitung etc.) Wärme aufnehmen, oder ihnen abgeben können.

A sei fix

B von derselben Temp. beweglich



Nun werde B mit der Leichtigkeit von R_1 nach R_2 gebracht.

Während der Bewegung: 1. Wird ohne Temperaturveränderung der Vorder- und Hinterrfläche von B einstrahlung, welche von ~~seiner~~ ^{der} ~~seiner~~ ^{seiner} Wellen allein (ohne A) kommt? Wird abhängen von Conventions-Coeff. des Strahls; jedenfalls können wir sie vernachlässigen, wenn B als so dünne Platte gedacht wird, wegen der Leitung.

2). Die Emission dauert bei B ungestört fort, dagegen keine Absorption der Strahlen von A

10. ~~Wird~~ Hier müsste der Einfluss der Umgebung in Betracht gezogen werden; davon können wir uns frei machen, wenn wir uns nur die einander zugewandten Flächen von A und B (unbegrenzt) strecken denken, das übrige vernachlässigen.

Während der Bewegung von B wird A abgekühlt (ebenso B) und zwar um

$$Q_1 = \tau c \int_{\lambda=0}^{\infty} f(\theta_1, \lambda) d\lambda \quad \text{wird aber durch den Einfluss dieser Wärmemenge aus A' auf gleicher Temp. θ_1 erhalten; ebenso B}$$

Nun verleihe durch Einfluss der Wärmemengen Q_2 (einschliessl. des mit Temp.

(10. durch mechanische Arbeit) auf die Temp. θ_2 gebracht, und B wieder an A herangebracht

dabei Gewinn an Wärme $Q_3 = \tau c \int_{\lambda=0}^{\infty} f(\theta_2, \lambda) d\lambda$; nun wieder Temp. erniedrigung durch

Wegnahme der Wärme $Q_4 = Q_1$ auf θ_1 ; daraus wieder folgen $f(\theta_1) = f(\theta_2)$?

Was ist falsch?!

Kinetische Energie einer Wellenbewegung Wellenlänge



$$E = c \int_0^\lambda a^2 \cos^2 \left(2\pi \left(\frac{t}{\tau} - \frac{x}{\lambda} \right) \right) dx$$

~~$$y = a \sin \left(2\pi \left(\frac{t}{\tau} - \frac{x}{\lambda} \right) \right)$$~~

~~$$y = a \sin \left(2\pi \left(\frac{t}{\tau} - \frac{x}{\lambda} \right) \right)$$~~

$$y = a \sin \left(2\pi \left(\frac{t}{\tau} - \frac{x}{\lambda} \right) \right)$$

$$y' = a \cos \left(2\pi \left(\frac{t}{\tau} - \frac{x}{\lambda} \right) \right) \cdot \frac{2\pi}{\lambda}$$

$$= c a^2 \frac{4\pi^2}{\tau^2} \int_0^\lambda \cos^2 \left(2\pi \left(\frac{t}{\tau} - \frac{x}{\lambda} \right) \right) dx$$

$$= c a^2 \frac{4\pi^2}{\tau^2} \int_0^\lambda \frac{1 + \cos 4\pi \left(\frac{t}{\tau} - \frac{x}{\lambda} \right)}{2} dx$$

$$= \left[\frac{\lambda}{2} - \frac{\lambda \sin 4\pi \left(\frac{t}{\tau} - \frac{x}{\lambda} \right)}{8\pi} \right]_0^\lambda = \frac{\lambda}{2}$$

$$= c a^2 \frac{2\pi^2}{\tau^2} \lambda$$

$$\frac{\lambda}{\tau} = v \quad \tau = \frac{\lambda}{v}$$

$$= c a^2 2\pi^2 \frac{v^2}{\lambda}$$

Seien kinetische Energie einer Strecke Wellenbewegung also eines

$$\text{Amplituden} \sim \frac{a^2}{\tau^2} = \frac{v^2}{\lambda^2}$$

Wenn sich der Körper mit Geschwindigkeit u bewegt, so werden nach Doppler die Wellenlängen vergrößert in (und τ verkleinert)

$$\lambda' = \frac{\lambda}{1 - \frac{u}{v}}$$

$$\lambda' = n \lambda = \frac{v}{f'}$$

also kin. Energie aufnehmen

$$E' = \sim \frac{v^2}{\lambda'^2} \left(1 - \frac{u}{v} \right)^2$$

Wenn er sich mit derselben Geschwindigkeit herab bewegt, so entsteht $E'' \sim \frac{v^2}{\lambda^2} \left(1 + \frac{u}{v} \right)^2$

$E' + E''$ ist aber nicht $= 2E$ wie man erwarten würde !!! [Der Longitudinalwellen wäre die Interpretation falsch, weil ~~noch~~ die Änderung der Geschwindigkeit schon bei 2. ordnung kommt, aber bei Transversalwellen entfällt keine Komponente in die Richtung! Noch zu untersuchen!]

$$\underbrace{E' + E'' - 2E}_{\Delta E} = \sim 2 \frac{v^2}{\lambda^2} \frac{u^2}{v^2} \text{ also so, als ob umkehrbare Wellenbewegung mit Geschwindigkeit } u \text{ bestanden hätte!}$$

$$\frac{\Delta E}{E} = \frac{u^2}{v^2} \text{ unabhängig von } \lambda$$

Folgerung -

Nun also A Transverschellen aussendet, und ein dieselben beobachtender Körper B eine schwingende Bewegung mit der Geschwindigkeit u in der Richtung A ausführt, so verbraucht er dazu eine Energiemenge E , so dass

$$E : E_0 = u^2 : v^2$$

Umgekehrt wird auch die Bewegung von B eine Wellenbewegung hervorrufen, welche A affiziert.

Beispiel. Wie verhält eine harmonische Schwingung? Löst sich nicht ein umgekehrter

Schluss ziehen auf Wellenbew. von -

[Faint handwritten notes]

[Faint handwritten notes]

[Faint handwritten notes]

$$\frac{d\omega}{d\lambda} \text{ find} = 0.00910104 = 0.0087$$

$$1m \quad 0.0040 : 0.424 = 0.0094$$

$$2m \quad 0.0010 : 0.527 = 0.0019$$

$$3m \quad 0.0008 : 0.251 = 0.0032$$

$$4m \quad 0.0007 : 0.95 =$$

$$1m \text{ ist Formel im } 1. \text{ Teil } m = \lambda^2 + \frac{M}{\lambda} \quad \cdot R \cdot \lambda^2$$

$$\lambda = 5.721258$$

$$\lambda = 2.9218$$

$$\lambda_1 = 1.9100$$

$$\frac{d\omega}{d\lambda} = 2M \lambda \frac{1}{(\lambda^2 - \lambda_1^2)^2}$$

$$\frac{d\omega}{d\lambda} = \frac{F(\lambda)}{G(\lambda)} = \frac{dF}{d\lambda} \cdot \frac{\lambda}{F}$$

$$= \frac{F'(\lambda) - F(\lambda) \frac{\lambda'}{\lambda}}{G(\lambda)}$$

2000	1000	1000	1000	1000
1000	1000	1000	1000	1000
1000	1000	1000	1000	1000
1000	1000	1000	1000	1000
1000	1000	1000	1000	1000
1000	1000	1000	1000	1000
1000	1000	1000	1000	1000
1000	1000	1000	1000	1000
1000	1000	1000	1000	1000
1000	1000	1000	1000	1000

400	100	100	100	100
100	100	100	100	100
200	100	100	100	100
100	100	100	100	100
100	100	100	100	100
100	100	100	100	100
100	100	100	100	100
100	100	100	100	100
100	100	100	100	100
100	100	100	100	100

The following is a list of the names of the persons who have been
 admitted to the office of the Secretary of the Board of Education
 since the last meeting of the Board. The names are given in the
 order in which they were admitted.



Wird für $\theta = 0$ die totale ...

$$n \sin \theta_i = 1$$

$$\frac{n \sin \theta_i}{\sin \theta_t} = \frac{1}{\sin \theta_t} \quad \text{für } \theta_i = 0 \quad \text{mit } \theta_t = \theta_c$$

Der Winkel θ_c ist so groß, dass das Licht ...
 bei θ_c ...

Es tritt der Lichtstrahl p' bei θ_c ein ...
 und ...

$$Q_p = \frac{\epsilon}{2} \sin \theta_p \, d\theta$$

$$= \frac{\epsilon}{2} \cos \theta_p \frac{1}{\sin \theta_p} = \frac{\epsilon}{2} \frac{1}{\sin \theta_p}$$

Wird in der ... und ...

Gesamte ...

$$E = \int S \sin \theta \, d\theta \, d\phi \quad \text{mit } S = \text{Strahlungsstärke}$$

2017-0 ...

$$F = \int S \sin \theta \, d\theta$$

[Faint, mostly illegible handwritten text at the top of the page, possibly a letter or a list of items.]

31.	n_A	M	Σ	M	Σ
32.	n_A		Σ		
33.	n_A		Σ		
34.	n_A		Σ		
35.	n_A		Σ		
36.	n_A		Σ		
37.	n_A		Σ		
38.	n_A		Σ		

The first part of the paper is devoted to a discussion of the
 general principles of the theory of the ϕ -function. It is shown that
 the function $\phi(x)$ is defined by the equation

$$\phi(x) = \frac{1}{2\pi i} \int_{-\infty}^{\infty} \frac{e^{ixt}}{t} dt$$
 and that it satisfies the differential equation

$$\phi'(x) = -\phi(x)$$
 The second part of the paper is devoted to a discussion of the
 properties of the function $\phi(x)$. It is shown that the function
 is periodic with period 2π and that it is an even function.
 The third part of the paper is devoted to a discussion of the
 asymptotic behavior of the function $\phi(x)$ as $x \rightarrow \infty$. It is shown
 that the function approaches zero as $x \rightarrow \infty$.

The fourth part of the paper is devoted to a discussion of the
 properties of the function $\phi(x)$ as $x \rightarrow -\infty$. It is shown
 that the function approaches zero as $x \rightarrow -\infty$. The fifth part
 of the paper is devoted to a discussion of the properties of the
 function $\phi(x)$ as $x \rightarrow 0$. It is shown that the function
 approaches a finite limit as $x \rightarrow 0$. The sixth part of the paper
 is devoted to a discussion of the properties of the function
 $\phi(x)$ as $x \rightarrow \infty$. It is shown that the function approaches
 zero as $x \rightarrow \infty$. The seventh part of the paper is devoted to a
 discussion of the properties of the function $\phi(x)$ as $x \rightarrow -\infty$.
 It is shown that the function approaches zero as $x \rightarrow -\infty$.

The energy of the electric field is not a constant but varies
from point to point. It is stronger near the positive plate and
weaker near the negative plate. The electric field is represented
by lines of force which point from the positive plate to the
negative plate. The density of these lines is greater near the
positive plate and less near the negative plate.

The electric field is a vector quantity. It has both
magnitude and direction. The direction of the electric field
is the same as the direction of the force on a positive charge.

The electric field is represented by the symbol E . The
unit of electric field is the volt per meter. The electric field
is a vector quantity. It has both magnitude and direction.
The direction of the electric field is the same as the direction
of the force on a positive charge. The electric field is
represented by the symbol E . The unit of electric field is
the volt per meter.

The electric field is a vector quantity. It has both
magnitude and direction. The direction of the electric field
is the same as the direction of the force on a positive charge.
The electric field is represented by the symbol E . The unit
of electric field is the volt per meter.

$$E = \frac{F}{q}$$
$$E = \frac{1}{4\pi\epsilon_0} \frac{Q}{r^2}$$
$$E = \frac{1}{4\pi\epsilon_0} \frac{Q}{r^2}$$
$$E = \frac{1}{4\pi\epsilon_0} \frac{Q}{r^2}$$

The electric field is a vector quantity. It has both
magnitude and direction. The direction of the electric field
is the same as the direction of the force on a positive charge.
The electric field is represented by the symbol E . The unit
of electric field is the volt per meter.

...
...
...
...
...
$$\frac{d^2 y}{dx^2} + p \frac{dy}{dx} + q y = r$$
...

...
...
$$y' = C$$
...
...
$$y = Cx$$
...
...
$$y = \frac{1}{2} x^2$$
...
...
$$\int x^2 dx = \frac{1}{3} x^3$$
...
...
$$\int x dx = \frac{1}{2} x^2$$
...
...
$$\int dx = x$$
...

...
...
...
...
...
...
...
...
...
...

in the morning of the 1st of August 1861
the day of the 1st of August 1861

the day of the 1st of August 1861
the day of the 1st of August 1861

the day of the 1st of August 1861
the day of the 1st of August 1861

the day of the 1st of August 1861
the day of the 1st of August 1861

the day of the 1st of August 1861
the day of the 1st of August 1861

the day of the 1st of August 1861
the day of the 1st of August 1861

the day of the 1st of August 1861
the day of the 1st of August 1861

the day of the 1st of August 1861
the day of the 1st of August 1861

the day of the 1st of August 1861
the day of the 1st of August 1861

the day of the 1st of August 1861
the day of the 1st of August 1861



$$\int_A \frac{1}{x} dx = \ln x + C$$

$$\int_A \frac{1}{x^2} dx = -\frac{1}{x} + C$$

$$\int_A \frac{1}{x^3} dx = -\frac{1}{2x^2} + C$$

$$\int_A \frac{1}{x^4} dx = -\frac{1}{3x^3} + C$$

$$\int_A \frac{1}{x^5} dx = -\frac{1}{4x^4} + C$$

$$\int_A \frac{1}{x^6} dx = -\frac{1}{5x^5} + C$$

$$\int_A \frac{1}{x^7} dx = -\frac{1}{6x^6} + C$$

$$\int_A \frac{1}{x^8} dx = -\frac{1}{7x^7} + C$$

$$\int_A \frac{1}{x^9} dx = -\frac{1}{8x^8} + C$$

$$\int_A \frac{1}{x^{10}} dx = -\frac{1}{9x^9} + C$$

$$\int_A \frac{1}{x^{11}} dx = -\frac{1}{10x^{10}} + C$$

$$\int_A \frac{1}{x^{12}} dx = -\frac{1}{11x^{11}} + C$$

$$\int_A \frac{1}{x^{13}} dx = -\frac{1}{12x^{12}} + C$$

$$\int_A \frac{1}{x^{14}} dx = -\frac{1}{13x^{13}} + C$$

$$\int_A \frac{1}{x^{15}} dx = -\frac{1}{14x^{14}} + C$$

$$\int_A \frac{1}{x^{16}} dx = -\frac{1}{15x^{15}} + C$$

$$\int_A \frac{1}{x^{17}} dx = -\frac{1}{16x^{16}} + C$$

$$\int_A \frac{1}{x^{18}} dx = -\frac{1}{17x^{17}} + C$$

$$\int_A \frac{1}{x^{19}} dx = -\frac{1}{18x^{18}} + C$$

$$\int_A \frac{1}{x^{20}} dx = -\frac{1}{19x^{19}} + C$$

$$\int_A \frac{1}{x^{21}} dx = -\frac{1}{20x^{20}} + C$$

$$\int_A \frac{1}{x^{22}} dx = -\frac{1}{21x^{21}} + C$$

$$\int_A \frac{1}{x^{23}} dx = -\frac{1}{22x^{22}} + C$$

$$\int_A \frac{1}{x^{24}} dx = -\frac{1}{23x^{23}} + C$$

$$\int_A \frac{1}{x^{25}} dx = -\frac{1}{24x^{24}} + C$$

$$\int_A \frac{1}{x^{26}} dx = -\frac{1}{25x^{25}} + C$$

$$\int_A \frac{1}{x^{27}} dx = -\frac{1}{26x^{26}} + C$$

$$\int_A \frac{1}{x^{28}} dx = -\frac{1}{27x^{27}} + C$$

$$\int_A \frac{1}{x^{29}} dx = -\frac{1}{28x^{28}} + C$$

$$\int_A \frac{1}{x^{30}} dx = -\frac{1}{29x^{29}} + C$$

$$\int_A \frac{1}{x^{31}} dx = -\frac{1}{30x^{30}} + C$$

$$\int_A \frac{1}{x^{32}} dx = -\frac{1}{31x^{31}} + C$$

$$\int_A \frac{1}{x^{33}} dx = -\frac{1}{32x^{32}} + C$$

$$\int_A \frac{1}{x^{34}} dx = -\frac{1}{33x^{33}} + C$$

$$\int_A \frac{1}{x^{35}} dx = -\frac{1}{34x^{34}} + C$$

$$\int_A \frac{1}{x^{36}} dx = -\frac{1}{35x^{35}} + C$$

$$\int_A \frac{1}{x^{37}} dx = -\frac{1}{36x^{36}} + C$$

$$\int_A \frac{1}{x^{38}} dx = -\frac{1}{37x^{37}} + C$$

$$\int_A \frac{1}{x^{39}} dx = -\frac{1}{38x^{38}} + C$$

$$\int_A \frac{1}{x^{40}} dx = -\frac{1}{39x^{39}} + C$$

$$\int_A \frac{1}{x^{41}} dx = -\frac{1}{40x^{40}} + C$$

$$\int_A \frac{1}{x^{42}} dx = -\frac{1}{41x^{41}} + C$$

$$\int_A \frac{1}{x^{43}} dx = -\frac{1}{42x^{42}} + C$$

$$\int_A \frac{1}{x^{44}} dx = -\frac{1}{43x^{43}} + C$$

$$\int_A \frac{1}{x^{45}} dx = -\frac{1}{44x^{44}} + C$$

$$\int_A \frac{1}{x^{46}} dx = -\frac{1}{45x^{45}} + C$$

$$\int_A \frac{1}{x^{47}} dx = -\frac{1}{46x^{46}} + C$$

$$\int_A \frac{1}{x^{48}} dx = -\frac{1}{47x^{47}} + C$$

$$\int_A \frac{1}{x^{49}} dx = -\frac{1}{48x^{48}} + C$$

$$\int_A \frac{1}{x^{50}} dx = -\frac{1}{49x^{49}} + C$$

$$\int_A \frac{1}{x^{51}} dx = -\frac{1}{50x^{50}} + C$$

$$\int_A \frac{1}{x^{52}} dx = -\frac{1}{51x^{51}} + C$$

$$\int_A \frac{1}{x^{53}} dx = -\frac{1}{52x^{52}} + C$$

$$\int_A \frac{1}{x^{54}} dx = -\frac{1}{53x^{53}} + C$$

$$\int_A \frac{1}{x^{55}} dx = -\frac{1}{54x^{54}} + C$$

$$\int_A \frac{1}{x^{56}} dx = -\frac{1}{55x^{55}} + C$$

$$\int_A \frac{1}{x^{57}} dx = -\frac{1}{56x^{56}} + C$$

$$\int_A \frac{1}{x^{58}} dx = -\frac{1}{57x^{57}} + C$$

$$\int_A \frac{1}{x^{59}} dx = -\frac{1}{58x^{58}} + C$$

$$\int_A \frac{1}{x^{60}} dx = -\frac{1}{59x^{59}} + C$$

$$\int_A \frac{1}{x^{61}} dx = -\frac{1}{60x^{60}} + C$$

$$\int_A \frac{1}{x^{62}} dx = -\frac{1}{61x^{61}} + C$$

$$\int_A \frac{1}{x^{63}} dx = -\frac{1}{62x^{62}} + C$$

$$\int_A \frac{1}{x^{64}} dx = -\frac{1}{63x^{63}} + C$$

$$\int_A \frac{1}{x^{65}} dx = -\frac{1}{64x^{64}} + C$$

$$\int_A \frac{1}{x^{66}} dx = -\frac{1}{65x^{65}} + C$$

$$\int_A \frac{1}{x^{67}} dx = -\frac{1}{66x^{66}} + C$$

$$\int_A \frac{1}{x^{68}} dx = -\frac{1}{67x^{67}} + C$$

$$\int_A \frac{1}{x^{69}} dx = -\frac{1}{68x^{68}} + C$$

$$\int_A \frac{1}{x^{70}} dx = -\frac{1}{69x^{69}} + C$$

$$\int_A \frac{1}{x^{71}} dx = -\frac{1}{70x^{70}} + C$$

$$\int_A \frac{1}{x^{72}} dx = -\frac{1}{71x^{71}} + C$$

$$\int_A \frac{1}{x^{73}} dx = -\frac{1}{72x^{72}} + C$$

$$\int_A \frac{1}{x^{74}} dx = -\frac{1}{73x^{73}} + C$$

$$\int_A \frac{1}{x^{75}} dx = -\frac{1}{74x^{74}} + C$$

$$\int_A \frac{1}{x^{76}} dx = -\frac{1}{75x^{75}} + C$$

$$\int_A \frac{1}{x^{77}} dx = -\frac{1}{76x^{76}} + C$$

$$\int_A \frac{1}{x^{78}} dx = -\frac{1}{77x^{77}} + C$$

$$\int_A \frac{1}{x^{79}} dx = -\frac{1}{78x^{78}} + C$$

$$\int_A \frac{1}{x^{80}} dx = -\frac{1}{79x^{79}} + C$$

$$\int_A \frac{1}{x^{81}} dx = -\frac{1}{80x^{80}} + C$$

$$\int_A \frac{1}{x^{82}} dx = -\frac{1}{81x^{81}} + C$$

$$\int_A \frac{1}{x^{83}} dx = -\frac{1}{82x^{82}} + C$$

$$\int_A \frac{1}{x^{84}} dx = -\frac{1}{83x^{83}} + C$$

$$\int_A \frac{1}{x^{85}} dx = -\frac{1}{84x^{84}} + C$$

$$\int_A \frac{1}{x^{86}} dx = -\frac{1}{85x^{85}} + C$$

$$\int_A \frac{1}{x^{87}} dx = -\frac{1}{86x^{86}} + C$$

$$\int_A \frac{1}{x^{88}} dx = -\frac{1}{87x^{87}} + C$$

$$\int_A \frac{1}{x^{89}} dx = -\frac{1}{88x^{88}} + C$$

$$\int_A \frac{1}{x^{90}} dx = -\frac{1}{89x^{89}} + C$$

$$\int_A \frac{1}{x^{91}} dx = -\frac{1}{90x^{90}} + C$$

$$\int_A \frac{1}{x^{92}} dx = -\frac{1}{91x^{91}} + C$$

$$\int_A \frac{1}{x^{93}} dx = -\frac{1}{92x^{92}} + C$$

$$\int_A \frac{1}{x^{94}} dx = -\frac{1}{93x^{93}} + C$$

$$\int_A \frac{1}{x^{95}} dx = -\frac{1}{94x^{94}} + C$$

$$\int_A \frac{1}{x^{96}} dx = -\frac{1}{95x^{95}} + C$$

$$\int_A \frac{1}{x^{97}} dx = -\frac{1}{96x^{96}} + C$$

$$\int_A \frac{1}{x^{98}} dx = -\frac{1}{97x^{97}} + C$$

$$\int_A \frac{1}{x^{99}} dx = -\frac{1}{98x^{98}} + C$$

$$\int_A \frac{1}{x^{100}} dx = -\frac{1}{99x^{99}} + C$$

... does not ...
 ...
 ...
 ...

470.

0

2

Handwritten text at the top of the page, possibly a title or header.

Second line of handwritten text.

Third line of handwritten text, possibly a signature or date.

Main body of handwritten text, consisting of several lines.

Bottom section of handwritten text, possibly a conclusion or signature.

... das, also ~~das~~ ^{off} - ...



$$= \frac{1}{2} \int \sin \theta \, d\theta = \frac{1}{2} \int$$

Bildet man die Summe: $\int \frac{\eta}{4\pi} \int_0^\infty e^{-\alpha r} d\omega$, so wird dies: $= 4\pi \frac{\eta}{4\pi} = \frac{\eta}{2}$
 = Gesamt durchstrahlung

Daraus folgen demnach: die Größe $\delta =$ Winkel dichtigkeit des Energiestromes $= \frac{\eta}{4\pi}$
 (Kyl.?)
 da denken wir uns als Stück eines ∞ Prismas $= df \, dx$ in der Richtung desselben
 also Gesamt Strahlendichte $= \int_0^\infty \delta e^{-\alpha x} = \frac{\eta \, df}{4\pi \alpha}$

auf dem Stücke dx wirkt davon die Druckkraft $\frac{dx}{\gamma n}$ oberwärts = $\gamma \frac{df}{\gamma n} dx$
 dasselbe Stück stößt in diese Richtung aus: $\gamma \frac{dv}{\gamma n}$ diese Größen müssen
gleich sein, was thatsächlich der Fall ist; also kein Widerstand gegen Erhohg d. S.
 Es mögen jetzt zwei Körper mit verschieden d. unveränderter Stoff,
 wenn die Temp. die gleiche ist, muss hindereits durch df aus dem einen
 Halbraum in den anderen die gleiche Menge fließen also

$$\frac{\eta}{\eta_a} = \frac{\eta'}{\eta'_a} = \text{const.} = f_{\eta}(\theta) = \frac{\eta}{\eta_a}$$

Wenn aber n verschieden ist, so findet theilweise totale Reflexion statt

$$\frac{\eta_1 \alpha_1 V_1}{\sin \varphi_1} = \frac{\eta_2 \alpha_2 V_2}{\sin \varphi_2} \quad V_2 > V_1 \quad \text{dann geht die Strahlung aus der Halbkugel ~~aus~~ in den Kegelwinkel φ_2 !$$

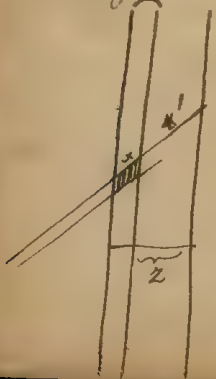
über, wo $\sin \varphi_1 = \frac{v_1}{v_2}$; und umgekehrt geht nur dieser Theil der Strahlung von ~~der~~ 1 nach 2 über, das andere wird total reflectirt.

$$\text{Also } \frac{y_1}{4x_1} \sin^2 \phi_1 = \frac{y_2}{4x_2} = \frac{y_1}{4x_1} \frac{v_1^2}{v_2^2}$$

Somit $\frac{\eta_2}{\alpha_2} v_2^2 = \frac{\eta_1}{\alpha_1} v_1^2 = \text{constant} = f_2(t) \# \text{WR}$

das auch ~~$\frac{\eta}{\alpha n^2} = \text{const.}$~~ $\frac{\eta}{\alpha n^2} = \text{const} = l$

Ad pag 68: Abwärtsleitung des Rammes links:



$$\int_0^{\frac{\pi}{2}} (1 - e^{-ax}) 2\pi \sin \varphi d\varphi df \cos \varphi \frac{\eta}{4\pi \alpha} \quad \alpha = \frac{\eta}{\cos \varphi}$$

Abgekürzte Steckung des Rammes rechts
n

$$\int_0^{\frac{\pi}{2}} (1 - e^{-\alpha y}) 2\pi \sin \varphi dy \, df \cdot \cos \varphi \frac{\eta}{4\pi} \left[\frac{e^{-\alpha y}}{1 - e^{-\alpha y}} \right]_{y=0}^{y=\frac{2}{\cos \varphi}}$$

$$= \frac{\gamma}{4\pi} \int_0^{\frac{\pi}{2}} d\varphi \frac{2\pi}{\alpha} \underbrace{(1-e^{-\alpha x})}_{\downarrow} (1-e^{-\alpha x'}) \sin \varphi \cos \varphi d\varphi$$

$$x = \frac{\delta}{\cos \varphi}$$

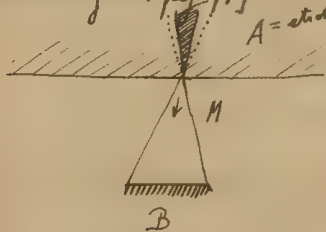
$$= \frac{2\pi \gamma d\varphi}{4\pi \alpha} \frac{\alpha \delta}{\cos \varphi} \int_0^{\frac{\pi}{2}} \left[1 - e^{-\frac{\alpha \delta}{\cos \varphi}} \right] \sin \varphi \cos \varphi d\varphi$$

$$\int_0^1 \left[1 - e^{-\frac{\alpha \delta}{x}} \right] dx = 1 - \int_0^1 e^{-\frac{\alpha \delta}{x}} dx$$

$$\frac{\alpha \delta}{x} = \frac{1}{2} \frac{\alpha \delta^2}{x^2} + \frac{1}{6} \frac{\alpha \delta^3}{x^3} + \dots$$

$$\text{Diese Energienungen} + k \delta \frac{\partial \mathcal{H}}{\partial z^2} d\varphi = \gamma \delta d\varphi$$

[Fortsetzung von pag. 71]



A = Stahl. Körper

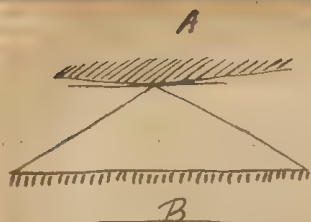
Wirkung des Stoßkegels von ~~Wirkung~~ A auf B
da ~~die~~ wirksame Kegel ist

Nach pag. 65 ist also die Wirkung nur $\frac{1}{n^2}$ von
dem ~~Geraden~~ Schrägkegel; $n = \frac{v_M}{v_A}$ also $W = \left(\frac{v_A}{v_M} \right)^2 \frac{\gamma d^2}{\alpha_A}$

Nun ist aber $\frac{\gamma_A}{\alpha_A} v_A^2 = \text{const}$; also Wirkung prop. $\frac{1}{v_M^2}$ also prop. dem

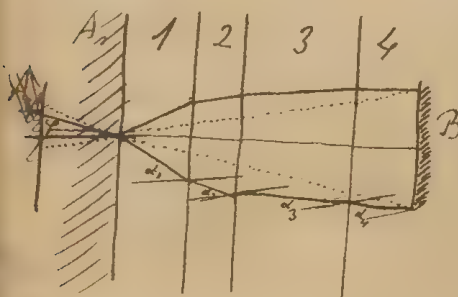
(Brechungsexp.)² des Mediums.

Wenn dagegen $\frac{n_M}{n_A} = \frac{v_M}{v_A} < 1$ so kann vom Kegelschnitt Schrägkegel groß
wird, eventuell totale Refl. stattfinden



73
Ist es gleichgültig ob der Winkel $\angle A$ noch größer wird.

Allgemeiner Fall: verschiedene Zwischenschichten im Medium



idealer Schrägungswinkel φ
wirklicher innerer Schrägungswinkel φ

$$\frac{\sin \alpha_4}{v_4} = \frac{\sin \alpha_3}{v_3} = \frac{\sin \alpha_2}{v_2} = \frac{\sin \alpha_1}{v_1} = \frac{\sin \varphi}{v_A}$$

Wirkung wird prop. $\left(\frac{\sin \varphi}{\sin \varphi}\right)^2$

$$\delta_1 \tan \alpha_1 + \delta_2 \tan \alpha_2 + \delta_3 \tan \alpha_3 + \delta_4 \tan \alpha_4 = \delta \tan \varphi$$

$$\delta_1 \frac{v_1 \sin \varphi}{\sqrt{v_A^2 - v_1^2 \sin^2 \varphi}} + \delta_2 \frac{v_2 \sin \varphi}{\sqrt{v_A^2 - v_2^2 \sin^2 \varphi}} + \dots = \delta \frac{\sin \varphi}{\sqrt{1 - \sin^2 \varphi}}$$

$$\sum \delta_i v_i \left[1 + \frac{1}{2} \frac{v_i^2}{v_A^2} \sin^2 \varphi + \frac{3}{8} \frac{v_i^4}{v_A^4} \sin^4 \varphi + \dots \right] \cdot \sin \varphi = \delta v_A \left[1 + \frac{1}{2} \sin^2 \varphi + \dots \right] \sin \varphi$$

wenn φ resp. φ klein sind, vernachlässigen die ersten Glieder:

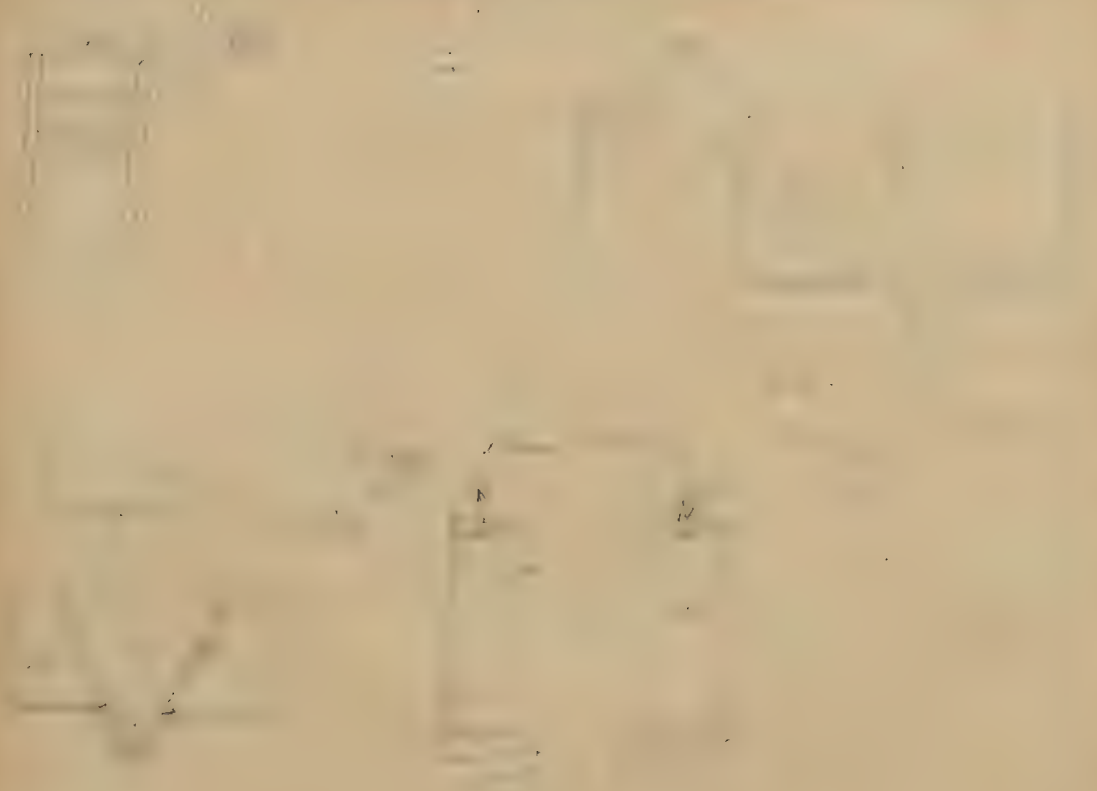
$$\sin \varphi \sum \delta_i v_i = \sin \varphi \delta v_A$$

$$\left(\frac{\sin \varphi}{\sin \varphi}\right)^2 = \left[\frac{\delta v_A}{\sum \delta_i v_i} \right]^2$$

$$\text{Wirkung} = \frac{\eta_A}{\alpha_A} \left(\frac{\sin \varphi}{\sin \varphi}\right)^2$$

also wenn $\frac{\delta_i}{\delta} = m$, den Bruchteil der Entfernung angibt, welcher durch das Medium erfüllt wird

$$= \text{prop.} \frac{1}{\left[\sum m_i v_i \right]^2} = \text{prop.} \frac{1}{\left(\sum \frac{m_i}{m_i} \right)^2}$$



... ..
... ..
... ..

φ

$$I_2 = 0 \text{ by}$$

$$n_A \sin \varphi = n_B \sin \theta$$

... since ...

... intensity ...

... for ...

... for ...

... for ...

0

$\Delta \varphi$

... for ...

... for ...

... for ...

... for ...

... for ...

... for ...

$$= \frac{1}{2} \dots$$

$$\sin \varphi \cos \theta \frac{dx}{\cos \theta} e^{-\frac{dx}{\cos \theta}}$$

$$= -\frac{1}{2} A \dots$$

$$\frac{dx}{\cos \theta} = \frac{2A}{2n} \dots$$

$$\frac{\sin \varphi}{\sin \theta} = \frac{n_B}{n_A} = \frac{v_A}{v_B}$$

$$\frac{\cos \varphi \Delta \varphi}{v_A} = \frac{\cos \theta \Delta \theta}{v_B}$$

$$1 - e$$

$$- 2\pi \iint \sin \varphi \cos \varphi \, d\varphi \, dr'' \frac{\eta_A}{4\pi} e^{-\alpha(r'' - \frac{r_b''}{2}) - \alpha_A r_b}$$

$$r' = \frac{b}{\cos \varphi} + \frac{x}{\cos \varphi}$$

$$\frac{r_b'' \cdot d\varphi}{\cos \varphi} = \frac{d\varphi \cdot r_b}{\cos \varphi}$$

$$\frac{\cos \varphi \cdot d\varphi}{v_A} = \frac{\cos \varphi \, d\varphi}{v_B}$$

$$\frac{r_b'' \cdot v_B}{\cos^2 \varphi} = \frac{r_b \cdot v_A}{\cos^2 \varphi} = \frac{b}{\cos \varphi} \cdot v_A$$

$$r'' = r_b'' + \frac{x}{\cos \varphi}$$

$$dr'' = dr_b''$$

$$\int_B = \frac{2\pi \eta_A}{4\pi} \iint \sin \varphi \cos \varphi \, d\varphi \, dr''$$

$$r_b'' = \frac{b}{v_B} \frac{\cos \varphi}{v_A} \left[1 - \left(\frac{v_A}{v_B} \right)^2 \sin^2 \varphi \right]$$

$$dr_b'' = \frac{b}{v_B} \frac{v_A}{v_A} \left[\frac{-2 \left(\frac{v_B}{v_A} \right)^2 \sin \varphi \cos \varphi}{\cos^3 \varphi} - \frac{1 - \left(\frac{v_B}{v_A} \right)^2 \sin^2 \varphi}{\cos^2 \varphi} \sin \varphi \right] d\varphi$$

$$\sin \varphi \cdot 2 \sin \varphi = 1 - 3 \sin^2 \varphi$$

$$\cos \varphi = 2$$

$$= \frac{b}{v_B} \frac{v_A}{v_A} \left[\frac{1 - \left(\frac{v_B}{v_A} \right)^2}{\cos^2 \varphi} - 3 \left(\frac{v_B}{v_A} \right)^2 \right] \sin \varphi \, d\varphi$$

$$\int_B = 2\pi \iint$$

das dr'' ist bei constantem φ zu nehmen also einfach:

$$dr'' = \frac{dx}{\cos \varphi}$$

$$\int_D = 2\pi \frac{\eta_A}{4\pi} \int_{x=0}^{\infty} \int \sin \varphi \, d\varphi \, \frac{dx}{\cos \varphi} e^{-\alpha \frac{x}{\cos \varphi} - \alpha_A \frac{b}{\cos \varphi}}$$

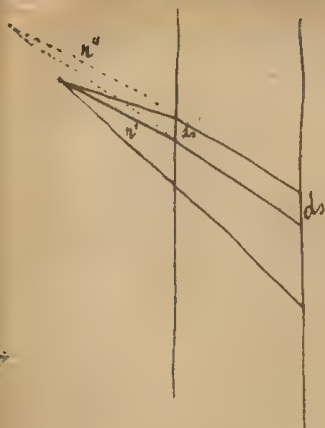
folgt!

=

$$\frac{\sin \varphi}{v_A} = \frac{\sin \varphi}{v_B}$$

$$\frac{\cos \varphi}{v_A} \, d\varphi = \frac{\cos \varphi}{v_B} \, d\varphi$$

$$\sin \chi \, d\chi \, r \, dr = \frac{dx}{\cos \chi} \cdot r^2 \omega \chi \cdot \frac{n \, dr \cdot n \sin \chi}{r^2}$$



$$ds' = \frac{\eta}{4\pi} dy dr$$

$$= \frac{\eta}{4\pi} \frac{ds'}{r'^2} \cos \phi dr$$

$$= \frac{\eta}{4\pi} \frac{ds}{r'' + \frac{b}{\cos \phi}} \frac{\cos \phi}{r'^2} dr$$

$$\frac{r' dy}{\cos \phi} = \frac{r'' dy}{\cos \phi} = ds'$$

$$ds' : ds = r'' : r' + \frac{b}{\cos \phi}$$

$$\frac{\cos \phi}{r'^2} dr = \frac{r''}{r'} \frac{dr}{r''} = \frac{r''}{r'} \frac{dr}{r''} = \frac{dr}{r''}$$

$$\frac{r' r''}{\cos^2 \phi} = \frac{r'' r_A}{\cos^2 \phi} dr$$

$$= \frac{\eta ds}{4\pi} \frac{\cos \phi}{r'^2} \frac{1}{1 + \frac{b}{\cos \phi} \frac{r_A}{r''} \frac{\cos^2 \phi}{\cos \phi} \frac{1}{r'}} dr$$

$$S_0 = \frac{\eta_0}{4\pi} ds$$

$$- \frac{1}{r''} r' = - \frac{1}{r''} \frac{b}{\cos \phi}$$

$$\frac{\cos \phi}{r'^2} \frac{1}{1 + \frac{b}{\cos \phi} \frac{r_A}{r''} \frac{\cos^2 \phi}{\cos \phi} \frac{1}{r'}} dr$$

$$\frac{2n \sin \chi}{r''} d\chi r'' dr$$

$$r^2 = r'^2 + b^2(1 + \sin^2 \phi) + 2r'b(\cos \phi + \sin \phi \sin \phi)$$

$$\frac{r^2}{r' \cos \phi} = \frac{r' \sin \phi + b \sin \phi}{r' \cos \phi + b}$$

$$r \cos \phi = r' \cos \phi + b = x + b = r''$$

$$r \sin \phi = r' \sin \phi + b \sin \phi = x \sin \phi + b \sin \phi$$

$$r^2 dr = r' dr + b^2 \sin \phi \cos \phi d\phi + b(\cos \phi + \sin \phi \sin \phi) dr' + r'b(\cos \phi \sin \phi d\phi + d\phi(\sin \phi \cos \phi - \sin \phi))$$

$$\frac{r^2 dy}{r' \cos \phi} = \frac{\sin \phi dr' + b \sin \phi + r' \cos \phi d\phi + b \cos \phi d\phi}{r' \cos \phi + b} \frac{dr' \cos \phi - r' \sin \phi d\phi}{(r' \cos \phi + b)^2} (r' \sin \phi + b \sin \phi)$$

$$r^2 dy = [\sin \phi dr' + r' \cos \phi d\phi + b \cos \phi d\phi][r' \sin \phi + b \sin \phi] - [dr' \cos \phi - r' \sin \phi d\phi][r' \sin \phi + b \sin \phi]$$

$$= \sin \phi \sin \phi r' dr' + r'^2 \cos^2 \phi d\phi + b r' \cos \phi \cos \phi d\phi + b \sin \phi dr' + b r' \cos \phi d\phi + b^2 \cos \phi d\phi -$$

$$- r' dr' \sin \phi \cos \phi + r'^2 \sin^2 \phi d\phi - b dr' \sin \phi \cos \phi + b r' \sin \phi \sin \phi d\phi$$

$$= r'^2 d\phi + b \cos \phi d\phi + b r' [\cos \phi \cos \phi d\phi + (\cos \phi + \sin \phi \sin \phi) d\phi] + b^2 \sin \phi d\phi + b dr' [\sin \phi - \sin \phi \cos \phi]$$

Integrale sehr schwer auswertbar, jedenfalls eben nicht

$$\int A + \int B' = f_c(\alpha_A, r_A, \alpha_B, r_B, b) = \int D \text{ sein muss}$$

und zwar, da b beliebig ist, ~~da~~ muss sie von b unabhängig sein

$$\text{d.h. } \frac{\partial f_c}{\partial b} = 0$$

$$\int B = \frac{\gamma_0 ds}{4\pi} \iint e^{-\alpha_0 r' - \alpha_A \frac{b}{\cos \varphi}} \frac{\cos \varphi}{r'^2} \frac{1}{1 + \frac{b}{\cos \varphi} \frac{r_A}{r_0} \frac{\cos \varphi}{\cos \varphi} \frac{1}{r'}} dv \varphi \quad n = \frac{r_A}{r_0}$$

$n \sin \varphi = \sin \varphi$

$$x' \cos \varphi + b = z$$

$$r' \sin \varphi + b \tan \varphi = y$$

$$\tan \varphi = \frac{\sin \varphi}{\cos \varphi} = \frac{\sin \varphi}{\sqrt{1 - \sin^2 \varphi}} = \frac{n \sin \varphi}{\sqrt{1 - n^2 \sin^2 \varphi}}$$

$$(2-b) \tan \varphi + b \tan \varphi = y$$

$$= \frac{r_A \sin \varphi}{\sqrt{r_0^2 - r_A^2 \sin^2 \varphi}}$$

$$\frac{b^2 \frac{r_A^2 \sin^2 \varphi}{r_0^2 - r_A^2 \sin^2 \varphi}}{r_0^2 - r_A^2 \sin^2 \varphi} = y^2 + (2-b)^2 \tan^2 \varphi - 2y(2-b) \tan \varphi$$

z mit $\cos \varphi$ als Variable einführen!

$$z' = \frac{2-b}{x}$$

$$\cos \varphi = x \quad \cos \varphi = \sqrt{1 - \left(\frac{r_A}{r_0}\right)^2 \sin^2 \varphi}$$

$$\cos \varphi = \sqrt{1 - \left(\frac{r_A}{r_0}\right)^2 (1-x^2)}$$

$$dv = 2\pi dz y dy$$

$$y = \frac{2-b}{x} + b \frac{r_A \sqrt{1-x^2}}{\sqrt{r_0^2 - r_A^2 (1-x^2)}} = \frac{2-b}{x} + b \frac{1}{\sqrt{\frac{r_0^2}{r_A^2 (1-x^2)} - 1}}$$

$$dy = \frac{dz}{x} - \frac{2-b}{x^2} dx - b \frac{1}{\left[\sqrt{\frac{r_0^2}{r_A^2 (1-x^2)} - 1}\right]^{3/2}} \left(\frac{r_0}{r_A}\right)^2 \frac{x dx}{(1-x^2)^2}$$

$$S_D = \frac{q_0 ds}{4\pi} \int e^{-\alpha_1 \frac{z-b}{x} - \alpha_1 \frac{b}{\sqrt{1-(\frac{z}{b})^2(1-x^2)}}} \frac{x^3}{(z-b)^2} \frac{1}{1 + b \frac{1}{b} \frac{x^2}{[1-(\frac{z}{b})^2(1-x^2)]^{3/2}}} \frac{dx}{2-b}$$

γ = Schwächungsfactor infolge Brechung; muss hier in Brechungsgesetz nach dem Brechungsindex ?

Kann die allgemeine Brechung durch das Snelliussche Brechungsgesetz ausgedrückt werden?



$$S' = \frac{q_0 ds}{4\pi} \int \sin \alpha \, dy \, dz$$

$$= \frac{q_0 b}{4\pi} \int \frac{\cos \theta}{x^2} \, dx$$

$$= \frac{q_0 b}{4\pi} \int \frac{x}{x^3} \, dx$$

$$= \frac{1}{4\pi} \int \frac{\partial}{\partial x} \left(\frac{b}{x} \right) \, dx$$

Ende

side pg 87

[Faint, mostly illegible handwritten text follows, appearing to be a list or series of entries.]

Ad. diff. ... such felch! Is the pag 87

Many things to be done in the future. The first thing to be done is to get a better understanding of the problem. This can be done by studying the literature on the subject. The next thing to be done is to design a system that can solve the problem. This can be done by using a combination of the following techniques:

1. Linear Programming - This is a technique for finding the optimal solution to a problem that can be expressed as a linear equation. It is used in many applications, such as scheduling and resource allocation.

$$\int_{x=0}^{\infty} \frac{1}{x} dx = \ln x$$

$$= \frac{1}{2} \ln \frac{x}{y}$$

$$x = R_{max} \quad dx = dR_{max}$$

$$x = R_{min} \quad dx = dR_{min}$$

$$\eta = \eta_0 + x \epsilon$$

7 13

11 11

11 11

11 11

11 11

$$h_1 = \frac{1}{2} \frac{1}{\sqrt{1 - \frac{v^2}{c^2}}} \frac{1}{1 - \frac{v^2}{c^2}}$$

$$h_1 = \frac{1}{2} \frac{1}{\sqrt{1 - \frac{v^2}{c^2}}} \frac{1}{1 - \frac{v^2}{c^2}} = \frac{1}{2} \frac{1}{\sqrt{1 - \frac{v^2}{c^2}}} \frac{1}{1 - \frac{v^2}{c^2}}$$

$$h_1 = \frac{1}{2} \frac{1}{\sqrt{1 - \frac{v^2}{c^2}}} \frac{1}{1 - \frac{v^2}{c^2}} = \frac{1}{2} \frac{1}{\sqrt{1 - \frac{v^2}{c^2}}} \frac{1}{1 - \frac{v^2}{c^2}}$$

$$h_1 = \frac{1}{2} \frac{1}{\sqrt{1 - \frac{v^2}{c^2}}} \frac{1}{1 - \frac{v^2}{c^2}} = \frac{1}{2} \frac{1}{\sqrt{1 - \frac{v^2}{c^2}}} \frac{1}{1 - \frac{v^2}{c^2}}$$

$$h_2 = x^2 + y^2 + \frac{1}{2} \frac{1}{\sqrt{1 - \frac{v^2}{c^2}}} \frac{1}{1 - \frac{v^2}{c^2}} = x^2 + y^2 + \frac{1}{2} \frac{1}{\sqrt{1 - \frac{v^2}{c^2}}} \frac{1}{1 - \frac{v^2}{c^2}}$$

$$= \frac{x^2}{1 - \frac{v^2}{c^2}}$$

[Faint, mostly illegible handwritten text at the top of the page]

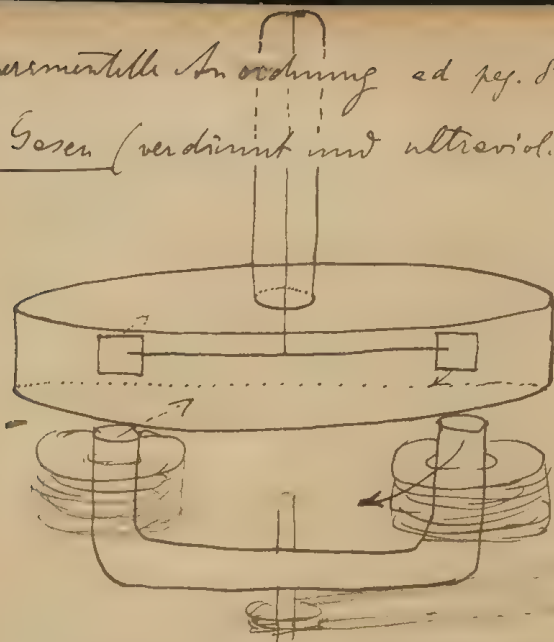
ist die Kunst der Darstellung der Charaktere / Leben und
der besten Vorkommnisse der menschlichen Daseinsweise

[Faint handwritten text, possibly a definition or introductory sentence]

Statt Eigenschaft & Tugendverhältnisse sollen die Eigenschaften und
Verhältnisse selbst vorkommen; ist dies in allen Fällen dasselbe?

Der Zusammenhang mit *Stenogram* ist nicht festzustellen.

Experimentelle Anordnung ad pag. 80-81 behufs Messung der Leitfähigkeit
von Gasen (verdünnt mit ultraviolett. Licht)



Falls Gas leitend wird, wird sich der
 Strom solange mitbewegen, bis Torsionskraft
 dem mittleren Luftdruck ausgleichend wirkt.

Daraus angenäherte Berechnung

(In Böden könnte nur die
 Vorschlags-Ströme gemessen
 werden)

Allgemeine Gleichungen der ponderomotorischen Kräfte von bewegten Leitern (ohne Ströme)

Ad Hall'sches Phänomen:

Für die elektrische ~~Formulierung~~ Formulierung offenbar ganz gleichgültig, und unentscheidend
 ob Widerstand, ob elektr. Kraft. Denn

$$\frac{dL}{dt} = \frac{d\varphi}{d\tau} - \frac{dR}{dt} + 4\pi L (P + X)$$

wenn $X = aP$, so kann ebensoviele gesetzt werden $X=0$, $I = I_0 (1+a)$

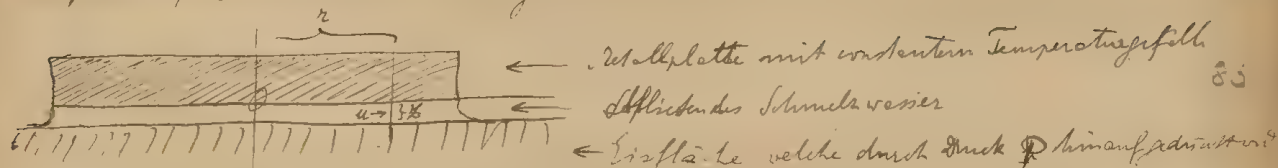
vollends hier bei rotatorischen Widerst. Änderung der Fall.

Zunächst Untersuchung des thermomagn. Effectes; da die elektr. Kraft eine
 Arbeit leistende ist, muss auch Umkehrung gelten; bei hohen Temp. verschwindet
 und diese könnten willkürliche Ursache des H.E. sein.

Auf die Temp. Unterschiede dieselbe Argumentation anwendbar, wie bei thermoelectr.
 pro. abs. Temp.

[Faint, illegible handwritten text, likely bleed-through from the reverse side of the page.]

Temperatur, welche durch Eiskristallisation erreicht wird.



I. z. ~~Abfließen~~ Totale abfließende Wassermenge = abgeschmolzene Menge
 l = latente Schmelzwärme

$$\int_0^z 2\pi r u dz = -\frac{2\pi r}{l} \int_0^z \left(\frac{d\theta}{dz} \right) K r dz$$

in den soll
 muss überall gleich groß sein, wenn sich die Form der Eiskrystalle nicht

$$= -\frac{2\pi r^2 K}{l} \left(\frac{d\theta}{dz} \right)_{z=z}$$

$$d) \int_0^z u dz = -\frac{2\pi r K}{l} \left(\frac{d\theta}{dz} \right)_{z=z}$$

$$\left[\text{Gesammtwärme} \quad R^2 \pi K \frac{d\theta_0}{dz} \right] = R^2 \pi K \left(\frac{d\theta}{dz} \right)_{z=z} + 2\pi R \int_0^z u_R c \rho dz \cdot \theta_R$$

$$b) K \frac{d\theta_0}{dz} - K \left(\frac{d\theta}{dz} \right)_z = \frac{2}{R} c \rho \int_0^z u_R \theta_R dz$$

$$u \frac{\partial u}{\partial x} + v \frac{\partial u}{\partial y} + w \frac{\partial u}{\partial z} = -\frac{1}{\rho} \frac{\partial p}{\partial x} + \frac{\mu}{\rho} \nabla^2 u$$

Einfachere Annahme: V-Dimensionen

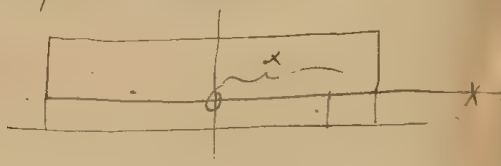
$$u \frac{\partial u}{\partial x} + w \frac{\partial u}{\partial z} = -\frac{1}{\rho} \frac{\partial p}{\partial x} + \frac{\mu}{\rho} \nabla^2 u$$

$$I) \frac{\partial u}{\partial x} + \frac{\partial w}{\partial z} = 0$$

Grenzbedingungen: für $x=0$: $u=w=0$

$$\text{für } z=z: u=0, w = \text{const.} = \frac{K}{l} \left(\frac{\partial \theta}{\partial z} \right)_z$$

$$\text{für } x=X: p=0$$



Lösung mittels I und II;
 Umwandlung der Koordinaten auf Zylinder

$$II) \frac{\partial \theta}{\partial x} u + \frac{\partial \theta}{\partial z} w = \frac{K}{\rho c} \nabla^2 \theta$$

z ist gegeben für $\theta=0$

Grenzbedingungen: für $z=0$: $K \left(\frac{d\theta}{dz} \right)_0 = K \frac{d\theta_0}{dz} = \text{const.}$

$$z=z: K \left(\frac{d\theta}{dz} \right)_z = \text{const.} = \frac{l}{X} \int_0^z u_x dz$$

Let $\psi = \psi(x, y, z, t)$ be a scalar field. The wave equation is given by

$$\nabla^2 \psi = \frac{1}{c^2} \frac{\partial^2 \psi}{\partial t^2}$$

$$\nabla^2 \psi = \frac{1}{c^2} \frac{\partial^2 \psi}{\partial t^2}$$

$$\psi = \psi_0 + V$$

Let ψ_0 be a particular solution of the wave equation. Then V satisfies the homogeneous wave equation

$$\nabla^2 V = \frac{1}{c^2} \frac{\partial^2 V}{\partial t^2}$$

$$\psi = \psi_0 + V$$

Let ψ_0 be a particular solution of the wave equation. Then V satisfies the homogeneous wave equation

$$\nabla^2 V = \frac{1}{c^2} \frac{\partial^2 V}{\partial t^2}$$

Let ψ_0 be a particular solution of the wave equation. Then V satisfies the homogeneous wave equation

$$\nabla^2 V = \frac{1}{c^2} \frac{\partial^2 V}{\partial t^2}$$

Let ψ_0 be a particular solution of the wave equation. Then V satisfies the homogeneous wave equation

$$\nabla^2 V = \frac{1}{c^2} \frac{\partial^2 V}{\partial t^2}$$



$$E\lambda - R = \eta(x - \lambda) \quad | \quad \lambda = \frac{\eta x - R}{E + \eta} = \frac{\eta x - F}{E + \eta}$$

$$\eta x - \lambda + 2x = F$$

$$x = \frac{E + \eta}{\eta} \lambda + \frac{F}{\eta}$$

$$\lambda = \frac{E + \eta}{\eta(E + \eta) + 2E} F$$

$$X = \eta \frac{E + \eta}{\eta(E + \eta) + 2E} \lambda + \frac{F}{\eta}$$

$$= \frac{2F}{\eta(E + \eta) + 2E} - \frac{R(\eta(E + \eta) + 2E)}{E + \eta}$$

~~$$F_1:$$

$$F_1 = \frac{E + \eta}{\eta(E + \eta) + 2E} F$$~~

$$x = \frac{F}{100}$$



When Σ ...

... $\frac{F}{100}$...

$$\int_0^{\frac{F}{100}} \frac{E + 7}{100} dx + C \frac{F}{100}$$

$$= \frac{(E+7) F E_{100}}{100} - \frac{7}{100} \frac{F^2}{200} + C \frac{F}{100}$$

The ...

V. ...



$$V(t) = \frac{1}{2} \left(\frac{1}{t} + \frac{1}{t} \right)$$

$$= \frac{1}{2} \left(\frac{1}{t} + \frac{1}{t} \right) = \frac{1}{t}$$

$$\int_0^1 \frac{1}{t} dt$$

Es ist, dem negative Polchen machen dieselbe Bewegung; Stromlinien haben gerade



Obstehende Theorien der anomalen Dispersion etc. behandelte die obstruierende Medien als aus isolierten zusammengefasst, welche grosser Dispersionen fähig sind; richtiger wäre voranzusetzen, dass sie dieselben auch wirklich ausführen (wenigstens theilweise als Wärmestrahlung); die Reflexionen derselben infolge ihrer Bestrahlung! Würde die Erwärmungen der Fluoreszenz und Phosphoreszenz.

Die Wärmestrahlung übt auf Phosphoreszenz eine auslösende Wirkung aus (infolge Erwärmung schneller Ablauf). Vielleicht würde man viel mehr phosphoreszirende Substanzen finden indem man sie auf tiefe Temperaturen bringt und vor gewöhnlicher Wärmestrahlung schützt.

Ad Turbulenz: Wie wirkt die Reaction des Dampfes infolge Strömung, geschwindigkeit auf den Druck zurück? Arbeit infolge davon.

Ausführung der Äquivalenz zwischen Zerstörung und Convection.

Convection vom Standpunkt der kinetischen Gastheorie; Stromwärme = $\rho c_p \Delta T$

~~Wird~~ Erfordert dass in Convection Strom auch durch Kraftlinienveränderung dynamoelektr. Ströme induziert werden; Entstehung derselben?

Wird die Leitungs-fähigkeit von Flüssigkeiten beeinflusst durch ultraviolette Durchstrahlung?

Kann nichtleitende Flüssigkeiten gemischt werden, wird Leitungs-fähigkeit gestärkt
" " feste Körper " " " elect. Rückstandbildung "

Ist da kein Zusammenhang?

ist nicht der Unterschied zwischen + und - ~~off.~~ Ladung in Gas R.
grötentheils erklärbar durch Druckdifferenz der Luft analog wie
Stromungs-Ströme in engen Röhren? Gibt es elektrische Endosmose
bei Gasen?!

Wenn magnetische Kurven nicht zwischen ^{über B} $H = +a$ und $-a$ sondern
zwischen $b+a$ und $b-a$ durchgeführt wird ~~was~~ bleibt bei Wiederholg.
die Curven dieselben? Wenn ja, entspricht jedem Punkte im
magnetischen Diagramm ein Paar von Curven, eine für aufsteigende, ^{die} ~~ein~~
^{zweite} ~~erste~~ für abnehmende Magnetisierung (sothwendigerweise?).

Momenten- oder magnetischen Zustand und äußeres Feld somit ausdrückbar
durch ^{die} 2 Parameter der Curvenschearen. ~~ist~~

Höchstens nur annähernd richtig, weil entschieden von Zeit abhängige lang-
same Änderung. Messung derselben! Abhängigkeit von der Änderungsgeschw. von H !

Mathematische Darstellung der Hypothese Jäger: Molec. = Flüssigkeitstropfen
 Elasticitätskräfte des Stoffs würden ersetzt durch Capillaritätskräfte; diese
 wieder durch innere Attraction? Was würde die Schwingungsdauer dieser
 Tröpfchen sein? [Vergleiche auch: L. Rayleigh Proc Roy Soc. 196 95 79]

Werden Schallbewegungen bei hinreichender Verdünnung episodisch infolge
 innerer Reibung? Oder würde Körper?

Electrisierung von Dielectrisis analog L. Kelvin's Versuche über
 Reibung der Luft.

Opt. erscheinung: Licht Unterschied zwischen + und - Pol in Gasen Röh-
 ren auf innerem Druck unterschied der Luft

Schwingungen von Membranen (resp. Platten) in ihrer Ebene

Kugelförmige Membran (Platten)

$$v = \alpha i + \beta j + \gamma k$$

$$\xi = \xi_1 i + \xi_2 j + \xi_3 k$$

I. Wenn Punkte auf Linien etc. glidentend gedacht werden, somit thut

Bestimmung der Richtungsgrößen

Bewegung kann dargestellt werden
Maximal beliebige Punktlagen

1. Punkt. 1 belieb. Punkt

2. Linie 2 " "

3. Fläche 3 " "

(Wenn Anfangs lag ξ_0)

ergibt

Minimale ~~größen~~ zur Bestimmung nötige
Translation (nötige ^{Bew.} α, β, γ)

1. ~~Minimale~~ α, β, γ

1 Translation ^{kleinste Entfernung} in der Richtung zweier
folgender windschiefen Geraden α, β, γ

1 Drehung um diese Entfernung α, β, γ

1 Drehung um eine Achse in ihrer Ebene

α, β, γ

Starre Schilde (begeunte)

1. Punkt	1 ^{bel.} Punkt	1 Transl. 1/2 a α β
2. Strecke	2 Punkte mit 1 Bedingungsst.	2 Transl. a b α 1 Drehung ξ x
3. Flächenstück	3 Punkte mit 3 "	1 Transl. 2 Drehungen
4. Körperstück	4 " " 6 "	

daher gibt es Kräftesysteme die den Körper in Ruhe lassen obwohl Kräfte $\neq 0$ sind

Elastische Schilde

1. Punkt	1 bel. Punkt	1 Transl.
2. Strecke	2 " "	2 Transl. 1 Drehung 1 Scherung
3. Flächenstück	3 bel. Punkte	1 Transl. 2 Drehungen 2 Scherungen 1 Scherung
4. Körperstück	4 bel. Punkte	1 Transl. 2 Drehungen 3 Scherungen 3 Scherungen

ein Elementortetraeder eines
ein ~~Flächenstück~~ eines

Damit also ein elast. Körper in Ruhe bleibt sind 12 Bedingungsgrößen
zwischen den ⁴ wirkenden Kräften nöthig (indgen) eine
daher diese vollständig bestimmt; müssen $\neq 0$ sein

Speziellfall: $\text{Compress.} = 0$ Tordierbarkeit $= \infty$

$\text{Compress} = 0$ Tordierbarkeit $= 0$

$\text{Compress} = \infty$ Tordierbarkeit $=$

Fliehkraft

starke Körper

Körper in welchen durch elektr.
Strom Wärme erzeugt wird

Wärmefluss kann unter Umständen Vorzeichen haben

nämlich wenn $\frac{\partial}{\partial x} \left(K \frac{\partial u}{\partial y} \right) \geq \frac{\partial}{\partial y} \left(K \frac{\partial u}{\partial x} \right)$

also wenn $\frac{\partial K}{\partial x} \geq \frac{\partial K}{\partial y}$

Wenn man eine Lösung von $\Delta V = 0$ in zweidimensionalen Gebieten weiss, kann
man nicht daraus eine solche für Rotationskörper ableiten?

Potenzreihen, geordnet nach: $x^m \quad x^{\frac{m}{2}} \quad x^{\frac{m}{3}} \quad x^{\frac{m}{4}} \dots$

und Fourier's Reihe nach: $1 \quad \frac{1}{2} \quad \frac{1}{3} \quad \frac{1}{4} \dots$!

Ist es nachgewiesen, dass irgendwelche Körper (jedenfalls nur Dielektrika möglich,
eine Volumendichte der elektr. Ladung annehmen können? ~~Zunächst~~

Es scheint, dass Gase sich nicht laden lassen (?), beruht das auf ihrer
Nichtleitbarkeit für schwache Potentialdifferenzen (?); auch umgekehrt. ?
Was ist mit anderen Dielektrika?

Untersuchung folgender Fälle: ^{im elektr. Felde}

Elektrische Flächenladung entsteht an der Grenzfläche eines Conductors gegen Isolator; offenbar auch wenn letzterer nicht vollkommen isoliert, so lange bis Ausgleich stattfindet. Somit auch bei plötzlicher Feldänderung an jeder Grenzfläche von Conductoren mit verschiedener Leitfähigkeit, somit auch im Inneren von Conductoren mit continuirlich wechselnder Leitfähigkeit.

An der Grenzfläche zweier Körper z.B. Dielectrica (nicht vollkommen) lassen sich Ladungen entstehen; wenn diese nun in einander diffundieren, was geschieht? Einfluss auf Capillarität? Umkehrung??

Prinzip zur Erklärung von Linienspectren etc.

Es ist nicht nöthig anzunehmen, dass ^{jedes} ein Molec. resp. Atom an sich nur die betreffenden ~~sehr~~ Wellenlängen aussenden kann. Viel wahrscheinlicher dass alle bei Schwingungen stattfinden, dass aber bei genügender Freiheit und Zeit denen zur Ausbildung dieser Erscheinung eine gegenseitige Einwirkung herbeizuführen Molec. auf einander stattfindet so dass nur gewisse ^{vorherrschende} Töne durch Resonanz verstärkt werden, also gegenseitige Fluorescenz im Inneren des ~~festen~~ Körpers. Analogie: ~~kleine~~ Pendeluhren welche nur geringe Unterschiede in Say haben, werden ganz synchron wenn sie einander gestellt. Versuchsall.

J. J. Thomson zeigt dass ~~die~~ electrostatische Schwingung auf einer gut leitenden Kugel sehr rasch gedämpft werden; was wenn Kugel ausserdem

transitorische Vibrationen ausfüllt (den Parallelen in einfachen Verhältnissen).

Berechnung der Eigenschaften ~~und~~ des Feldes etc. erzeugt durch a).
eine in Kreise bewegte geladene Kugel ρ . Vibrationen derselben
b). ein entgegengesetzt geladenes Kugelpaar, rotierend um Mittelpunkt.
Wäre letzteres nicht verwendbar als Grundlage zur Theorie des Magnetismus
anstatt der Ampère'schen Molekularströme. Des letzteren müsste
Energie durch Zittern verbraucht werden (da Strom Verwirrung von L. voraus-
setzt). Bei erstem durch Erzeugung von electr. Wellen. Könnte dies
nicht als (Wärmestrahlung) interpretiert werden? (Sicherung der P. Eben)

Die Maxwell'schen Gleichungen enthalten H ; da aber umgekehrter Magnetismus
nicht ~~ist~~ bestehen kann ist die Einführung einer Kraft welche
~~ist~~ durch Einheitspole definiert ist, inactionell. Kann dafür etwas
besseres substituiert werden? Am besten H eliminieren und bleibt
 E, K, μ behalten; dann erst ^{nach} diese electrischen Gleichungen ~~zu~~ eine Theorie
des Magn. aufstellen?

W. Thomson behauptet, die kinet. Energie von ~~electrischen~~ Bewegungen
electrischer Atome müsste mit der Zeit in rein vibratorische übergehen;
beweise dies; Rechnung!

Temperatureinfluss auf μ der schwach magnetischen Körper.

Haben magnetische Kräfte keinen Einfluss auf Spectrum v. von Gitter R?

Wenn es schon Magnetismus gibt so müsste ein magnetischer Convec-tionsstrom herstellbar sein, welcher electrost. Feld erzeugt, müsste.

Lorentz und Rowland'sche Versuch mit electr. rotirenden Platten:
Rotationsachse parallel zu Inclinationsrichtung; - denn die Isolirung
Trennungsstücke in den Platten nicht nöthig.

Unipolare Induction: Was wenn Magnet ersetzt durch Solenoid
mit Eisen oder Kupferkern, verschiedene Art von Φ Rotation.

Die ponderomotorischen electromagnetischen Kräfte sind genau geprüft
nur für statische Zustände; sind ~~in~~ ⁱⁿ ~~genau~~ die Formeln genau richtig für
gegenseitige und sonstige Bewegung:

Übertragung der Behandlungsweise ~~von~~ mittelst Kraft- und Inductions-
Linien etc. auf Wärmeströmung! An Grenze zweier Körper; gilt es auch
Thermoelectr.?

Energie Prinzip ist nur Scalar Gleichg.; Entropie-Prinzip ebenfalls?

Was ist volle Dimension von T ; warum wird es mit ^{der transl. Beweg.} lebendige Kraft
identifiziert?

Gilt es Wärme-Fluorescenz?

Ein Theil der Abweichungen von der Van der Waals'schen ^{Formel} ~~Gleichung~~ kann durch Einfluss des Körpers erklärt werden, in welchem das untersuchte Gas sich befindet; bisher immer Glas, wie auch Öl etc.?

Einfluss von Magnet auf Entladung, besonders in Gas mit Pol

Probleme aus Elastizitätstheorie etc.; auf äussere Oberfläche müssen wirken

1. ~~Drucke~~ Drücke in der Richtung der Normale
2. Scherungen senkrecht darauf (ist jede flächige Kraft darauf ^{Torsion} senkrecht)
3. Torsionende Kräfte (Normale als Rotationsachsen)

ist 3. realisierbar?

Beliebiger Körper; in welchem Punkt ist Torsionsmoment am geringsten, und von welcher Art?

Thomson's Idee: Für Suspensionen welche geringe Torsion im Verhältnis zur Tragkraft erfordern ~~welcher~~ ist Kreisquerschnitt ungünstig; welcher ist ^{am} besten?

Analogie zwischen Magnetismus und Elastizität: Erving erklärt die Remanenz und Hysteresis ohne Resonanzkräfte etc.; wie würde sich eine dementsprechende Erklärung von elastischer Nachwirkung gestalten?

Ein Polarisationspolares ... in ...

Energietransport = \vec{P} (als Vektor in Richtung $\vec{E} \times \vec{B}$)

gründet sich darauf dass keine E-Menge verschwinden kann.

Geben: Zu oder Abnahme (in jedem Volumenelement als \vec{P})
der skalaren Energie

$$\operatorname{div} \vec{P} = -\frac{dE}{dt} = \frac{l^2 m t^{-3}}{l^{-1} m t^{-3}} \quad \vec{P} = m l^3 t^{-3} \quad \vec{P} = m l^0 t^{-3}$$

Es gibt noch keine eindeutige sondern ∞ vieldeutige Lösung weil über

$\operatorname{curl} \vec{P}$ nichts ~~aus~~ ausgesagt wird. Somit:

$$E = \int \vec{P} d\vec{y} dz$$

$$\vec{P} = \nabla \frac{1}{4\pi} \int \frac{dE}{dt} \frac{d\vec{r}}{r} + \operatorname{curl} \vec{A} \quad \text{Vektorpotential}$$

Spezieller Fall: Wärmeleitung

Einsteilen wohl auch noch
 integrieren!

$$\frac{dE}{dt} = c \frac{d\theta}{dt} = \frac{\partial}{\partial x} (k_1 \frac{\partial \theta}{\partial x}) + \frac{\partial}{\partial y} (k_2 \frac{\partial \theta}{\partial y}) + \frac{\partial}{\partial z} (k_3 \frac{\partial \theta}{\partial z})$$

bei $k_1 = k_2 = k_3 = \text{const}$

$$= \operatorname{div} [k \nabla \theta] = k \nabla^2 \theta (?)$$

Wenn 2D. $\frac{d\theta}{dt} = f(t) = 0$ so hat man Lösung

$$\vec{P} = \nabla A + \operatorname{curl} \vec{A} \quad \text{wobei } A \text{ eine Lösung der Gleichung sein}$$

$$= k \nabla \theta =$$

muss: $\nabla^2 A = 0$; A aber unbestimmt ist

wenn man k als Skalar auffasst, dann ist die übliche Annahme $\vec{A} = 0$
 berechtigt; nicht aber wenn k ein Vektor ist! (Beschreiben also \vec{A} !)
immer

$$\operatorname{curl} k \cdot \nabla \theta + k \operatorname{curl} \nabla \theta = \operatorname{curl} \nabla A + \operatorname{curl}^2 \vec{A} = (\nabla \operatorname{div} \vec{A}) - \nabla^2 \vec{A}$$

$$\vec{A} = \frac{1}{4\pi} \int \operatorname{curl} k \cdot \frac{\nabla \theta}{r} d\vec{r}$$

$$P = \frac{1}{4\pi} \frac{d}{dt} \int \nabla E \frac{dw}{r} + \text{and } R$$

32

$$\rightarrow \frac{d}{dt} \int_{-\infty}^{\infty} E dw = \int \text{div } P dw = 0$$

I Wenn bloß kinetische Energie merklich ist

$$P = \rho \frac{v^2}{2} \cdot v \quad (v \text{ constant}) = \text{convective Energiefluss}$$

W. Ein Körper bewege sich von A nach B

Dann ist durch jeden einen beliebigen Querschnitt zwischen A und B

$$\text{die Energiemenge } E = \int \text{div } P dV = \int \frac{\partial P}{\partial x} dV = \int \frac{\partial P}{\partial x} dV \quad \text{hindurch fließen}$$

~~Angenommen dass~~

$\frac{\partial P}{\partial x}$ hat nur an der Oberfläche des Körpers einen von 0 verschiedenen Wert

$$\int \frac{\partial P}{\partial x} dV = \int \frac{1}{v} \frac{\partial P}{\partial x} dx dy dz$$

$$\int \frac{\partial P}{\partial x} dx = \frac{P_e - P_i}{\delta x} \quad \int P_i dV = \dots$$

II Bei Flüssigkeiten an Stellen wo keine äußeren Kräfte wirken kommt

dazu = Druck Energiefluss:

$$P_2 = \frac{1}{2} \rho v^2$$

$$\text{Wenn } v = \frac{x}{t}$$

$$\int P_2 dV = \int \frac{1}{2} \rho \frac{x^2}{t^2} dV =$$

$$= \frac{1}{2} \rho \frac{x^2}{t^2} \text{Vol.}$$

$$= \frac{1}{2} \rho \frac{x^2}{t^2} \frac{L}{t}$$

Nach Ewing's molekularer Theorie des Magnetismus muss auch die
Geschwindigkeit mit welcher der Zuwachs der magnetisierenden Kraft erfolgt,
auf die ~~am~~ dissipirte Energiemenge von Einfluss sein, insbesondere wenn
 $\frac{dH}{dt}$ so ~~gross~~ gross ist, dass die lebendige Kraft der Drehung der Spirale in Betracht
kommt. Schätzung der Grösse der magnet-~~ischen~~ ^{ischen} Arbeit. (C)

Untersuchungen über torsions-Elasticität. - Nachwirkung analog magnet.
Kreislauf. Im Allgemeinen drücken ~~aus~~ Körper auch Volums Nachwirkung
zeigen, ausgenommen ~~vielleicht~~ ^{der asymmetrischen Systeme} Kristalle des ~~entischen~~ ^{entischen} Systems.

Ist Wärmeausdehnung fester Körper ein umkehrbares Vorgang? - Glauke nicht.
Es muss auch eine thermische Nachwirkung geben.

Der Haupt Unterschied zwischen beiden besteht in der Flüssigkeit =
(falls μ nicht sehr groß ist) besteht in den Grenzbedingungen. Wie würde
Hydrodynamik unter Annahme des Haftens an den festen Körper
Körper zu entwickeln sein? 93

Lässt sich Elastizität erklären durch die Annahme (\pm) Atome?

Die Vorgänge in konservativen Systemen sind im Allgemeinen nicht
umkehrbar falls das System mehrere Gleichgewichtslagen besitzt (siehe
Lange's Theorie). Aufschlüsselung Entwicklung!

Hydrodynamik für Systeme aus mehreren Flüssigkeiten, insbesondere
unter Berücksichtigung der Reibung. [rd. Luft-Wasser (Wind Wellen)]

In some examples of hydrodyn. of viscous fluids the stream lines
are independent of μ ; is that a general law? 2 such cases:-

A general theory of Resonance-phenomena! In which cases
are produced similar motions by motion of one of similar bodies?

If we form a closed circuit consisting of ~~German~~

$\begin{array}{c} \text{Pb} - \text{Fe} \\ \quad \diagdown \quad \diagup \\ \quad \text{Hg} \end{array}$ the Pb is being dissolved in Hg but not the Fe;
will there be produced a current?

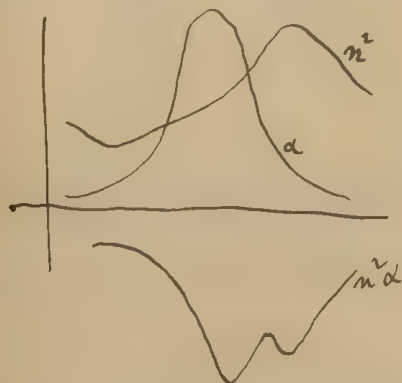
Have flames magnetic effects?

Are there fluorescent gases? Vapours?

are liquids not made fluorescent when current is passing through them?

Electric Oscillations produced by ^{mechanical} oscillations of charged spheres.
_{and reverse}

Können Spektellinien ~~als~~ wenn doppelt und dreifach, nicht aus der
Fundamentalgleichung abgeleitet werden: ~~1~~ $y \propto e \alpha n^2$



Das würde nur die Annahme der einfachen Absorptionsstreifen erfordern

Zur Frage of Temperatur Steigerung verursacht im Spectroscopie zu
zeigen: Platinrohr erhitzt durch Strom oder Lössen auf Verdampf-
^{Retorte}
wand (Gase durchgeführt).

Durchscheinend dünne Nickelplättchen erhitzt durch Strom;
Emissions spectrum! * Absorptions spectrum!

Dequard'sche Uranium-Strahlen können ihren Ursprung haben nur
in einer Fluorescenz erzeugt durch gewöhnliche Wärmestrahlung.

Wann das so ist muss:

- 1). Das Wärmespektrum im gelben Reich viel schwächer sein als das eines schwarzen Körpers
- 2). Bei Abkühlung des Gl. und der umliegenden Körper müsste die Fluoreszenz durch Abschattung der Wärmestrahlung verschwinden.

Kann man die im Strom ~~in stat.~~ Wärme umgesetzte Arbeit nicht auffassen als herorgebracht durch Reibung der Rohre wenn sie ~~sehr~~ Kräfte ~~ausüben~~ ~~haben~~ welche nicht verhilflos vertheilt sind. Was würde daraus für ponderomotorische Kraft folgen?

Umkehrbarkeit von Randenspektr.

Umkehrbarkeit von Spectral Linien

Schicht von Dicke x Temperatur θ ~~ist~~ ^{ist} unthät.

$$\eta \int_0^x e^{-\alpha x} dx = \frac{\eta}{\alpha} [1 - e^{-\alpha x}] = \epsilon_0 [1 - e^{-\epsilon_0 x}]$$

wo ϵ_0 = Emission eines schwarzen Körpers

Sie absorbiert von der dahinter emittierten Menge $\epsilon_{\theta'}$ eines schwarzen Körpers von ^{anderer} ~~höherer~~ Temperatur θ' eine Quantität $\epsilon_{\theta'}$ und lässt $\epsilon_{\theta'} (1 - e^{-\epsilon_0 x})$ durch; dies ~~ist~~ ^{ist} somit relativ

dunkler erscheinen sobald $\varepsilon_0' > \varepsilon_0$ d. h. sobald die Temperatur
 des kontinuierlich strahlenden rückwärtigen Körpers höher ist.

(Kleine Correction vgl. Danvers)

Wenn also theoretisch in einem Spectrum ~~Entstehen~~ verschiedene
 Umkehrbarkeit vorkommen, so müssen entweder:

- 1). die dieselben ausser den den Wellenlängen verschiedene Temperatur haben
 oder
- 2). die ganze Betrachtungsweise unanwendbar sein, indem das eine
 Fluoreszenz Erscheinung bildet.

Versuche mit Gläser Röhren und dahinter gehaltenen electrisch
 erhiteten Platinblech!

Folgt nicht aus Strahlungstheorie! bei kontinuierlich
 variablen Brechungsindex auch eine Abschwächung stattfinden
 muss?

Einfluss der Gestalt der Electroden auf die Entladung im Gläser
 Röhren. Wie wirken Spitzen-Electroden? ~~Wieso~~ Was ist der Einfluss
 der Plinischel's Glührohr Entladungen?

Glührohr's Plinischel; Spectrum?, in allen Gasen anstehend?
 Was kommt auf Rechnung der Ozonisierung der Luft?

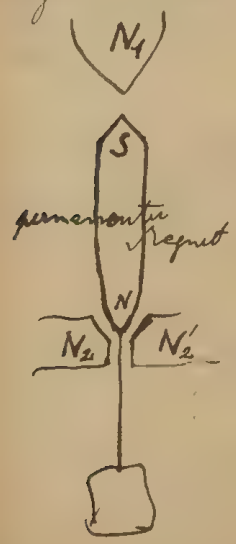
Ionisierungs - Phosphoreszenz Spectrum; ~~ist~~ ist Ionisierung
erklärbar als $H\beta$ (nur umgekehrt) von Elektrolyse? Wird dabei Elektro-
gebunden? Energie verbraucht? Schirmwirkung?

Einfluss von Röntgen Strahlen auf Ionisierung in Siemens Apparat

Ist elektrochemisches Äquivalent ganz unabhängig von Temperatur?

Dämpfungen im elektrostatischen oder magnetischen Felde
welche scheinbar dielektrischer oder mag. Nachwirkung
aufgezeichnet würden, müssen infolge der elektischen Nach-
wirkung der mechanischen Kräfte entstehen!

Magnetische Aufhängung frei im Räume



Diese Form ist stabil, wenn $N_1 = N_2 + N_2'$ und $S = N$.

Anwendung: ersetzt isolieren der Stützen (z.B. bei
Experimenten über Dampf elektrolyse etc.)

Bei genauer Ausführung ~~ist~~ als torsionsfrei
Suspension. Giddichte.

Dampfelectrolyse bei Stromdurchgang infolge Röntgen Strahlen

Gegen Einseitigkeit von Hg Dampf spricht: dessen Spectrum welches aus 2 Serien zusammengesetzt ist dessen ~~electr.~~ ^{electr.} Leitungs-fähigkeit ^{im Vakuum} bei höherer Temper. ~~seiner~~ kinetischen Gastheorie ist falsch. Selbst wenn Oltmann-Hofers Rechnung richtig ist, folgt aus dem Verhältnis $\frac{c}{c_0} = 1.66$ nur dass das Molekül in Dampf auf alle drei Seiten gleich gestreut ist!

Ponderomotive Forces acting on bodies moving in a electric field. ~~Conductors~~ Waste of energy in conductors; how great is the effect? The attraction of two electrified spheres must depend on the motion which they have already.
Waste of energy by electric deficiency of the ... | belong to Faraday's disc!

Can electrolysis not be considered as special case of electric diffusion? See also Outlet. for. France d. l. n. III p. 233 on base and acid colours.

Die Versuche an gewöhnlichen amorphen Körpern sind für die Theorie der Elasticität wertlos, da sie aus einem inhomogenen Gemische von Kristallen bestehen. Die gefundenen Electr. Potent.

hängen ab von der Elastizität der Krystalle selbst und der Reibung zwischen den Grenzflächen derselben. Je größer letztere desto vollkommen elastisch ist der Körper und desto geringer werden die permanenten Deflectionen sein. Haben Krystalle elastische Nachwirkung?

Nachmachung von Dystrophia etc. in fest zusammengepackten Eisenspänen.

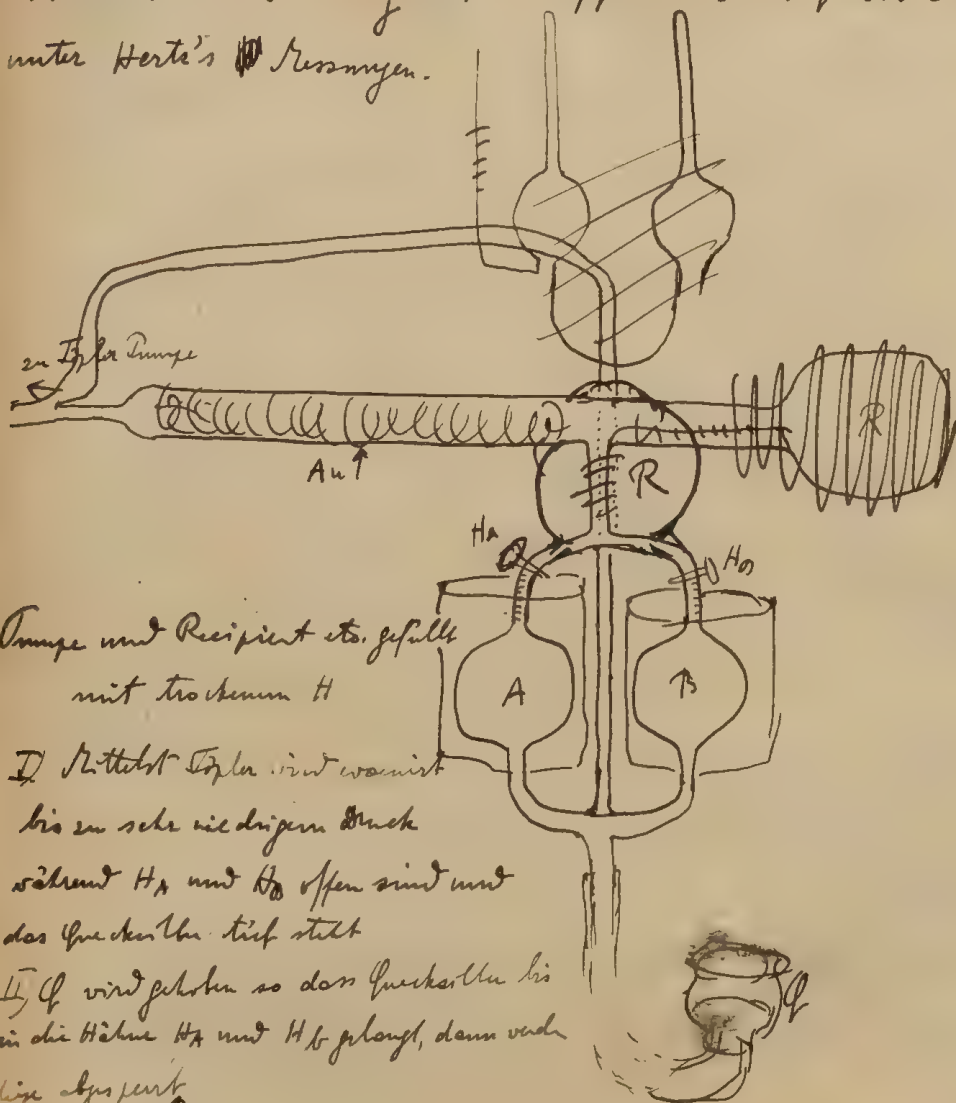
Das durch dünne Metallmembranen hindurchgehende Licht, ebenso wie das von Metallflächen ausgestrahlte, muss - ebenso wie das schon bekannt reflectirte - elliptisch polarisirt sein. Für verschiedene Farben!

Ist es keine elektrische Drehung der Polarisations Ebene?

Wenn Eisen gerade beginnt glühend zu werden, muss dies (analog Zinnem) festgesetzt werden - ohne Änderung der Temperatur - wenn es im magnetischen Felde ist.

Werden die Absorptionsstreifen von Eisen durch Lösung im magnetischen Felde verbreitert? Eisenspannen? Messung der Abs. mit Heliumstrahl.

Methode zur Messung des Dampfdruckes des Quecksilbers bis weit unter Hertz's Messungen.



Pumpe und Recipient etc. gefüllt mit trockenem H

I) Mittels Exler wird verwirrt bis zu sehr niedrigem Druck während H_A und H_B offen sind und das Quecksilber tief steht

II) H_Q wird gehoben so dass Quecksilber bis in die Höhe H_A und H_B gelangt, dann wieder diese absperrt

Nun wird A auf $+20^\circ$, B auf -30° gebracht

III). Dann werden H_A und H_B geöffnet und das Quecksilber heruntergelassen ^(bis bei gleicher Temperatur) bis die beiden Kolben wieder comprimiert bis ^{zur} Druckdifferenz γ ist dann γ ^{ist dann} γ ; Es seien dann in A p_A mm Hg in B p_B bei p_0 Druck

So werden Druck in A denselben Gas als es das Guss-Essen A, C, erfüllt

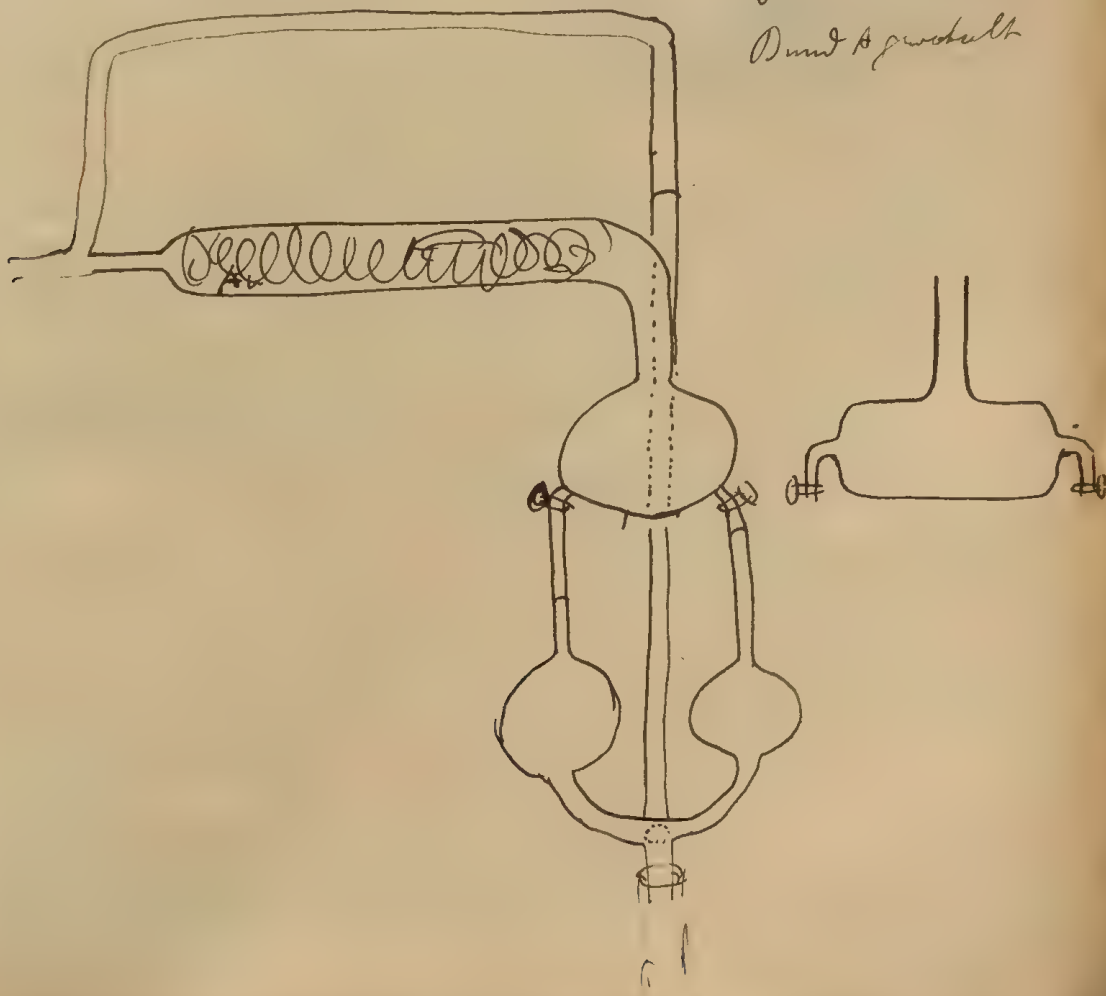
67

$$= \frac{\mu_A \cdot p_s}{v_A} \quad || \quad = \frac{\mu_B \cdot p_s}{v_B}$$

die Differenz dieser Drücke gibt sofort auch die Differenz der Dampfdrucke des Hg bei $+20^\circ$ und -30° !

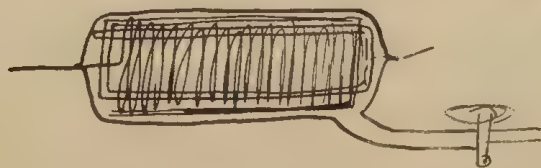
Dabei also am besten wenn der Druck in R beinahe gleich ist p_{s0}
(aber ja nicht kleiner!)

Gem. vint natürlich
Dampf A gewohlt



Bemerkung des Argon als einatomigen Gases zu Verändern über kinetische Gastheorie, besonders ~~der~~ Temperatur Coefficient der Wärmeleitung.

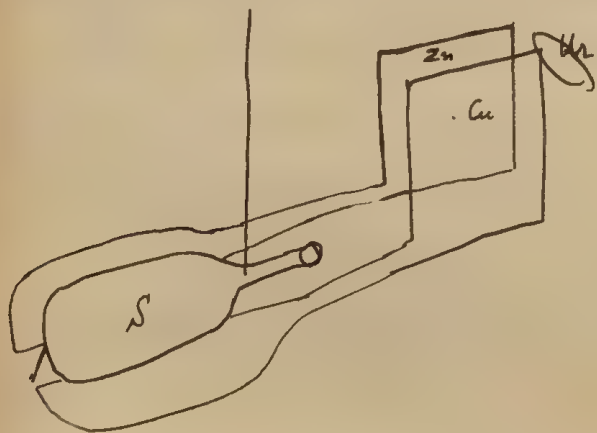
Nessung der Intensität von Röntgen- und eventuell auch Uranstrahlen auf bolometrischem Wege. Gewöhnliches Bolometer unbrauchbar, weil es ~~sehr~~ wenig absorbierend und viel Luft leitend wird.



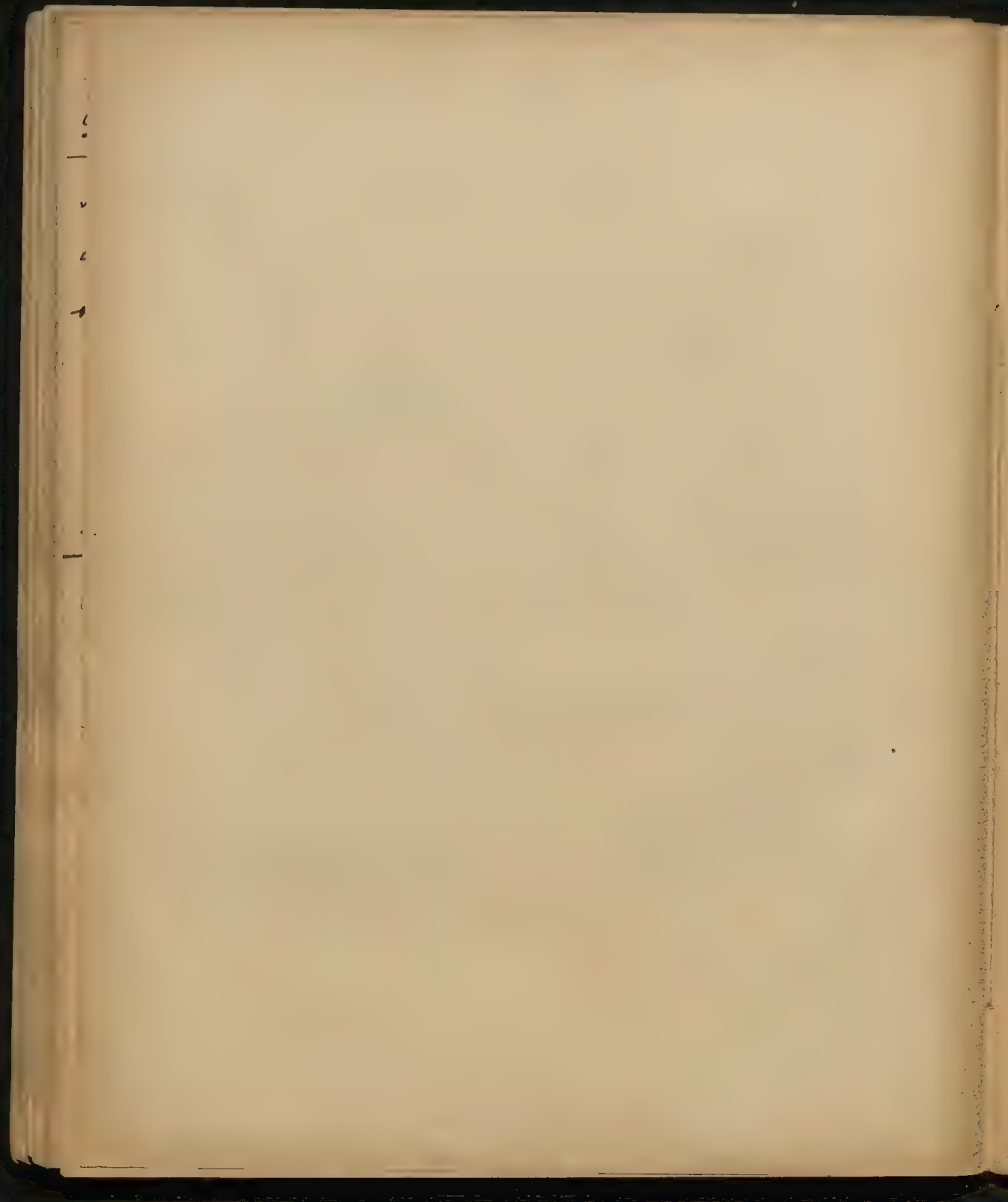
Körper des Sittes aus sehr dünnem
Platinblechstreifen, oder auch langer,
zusammengelegter Platinblech-
streifen (noch besser) in ein Glasrohr

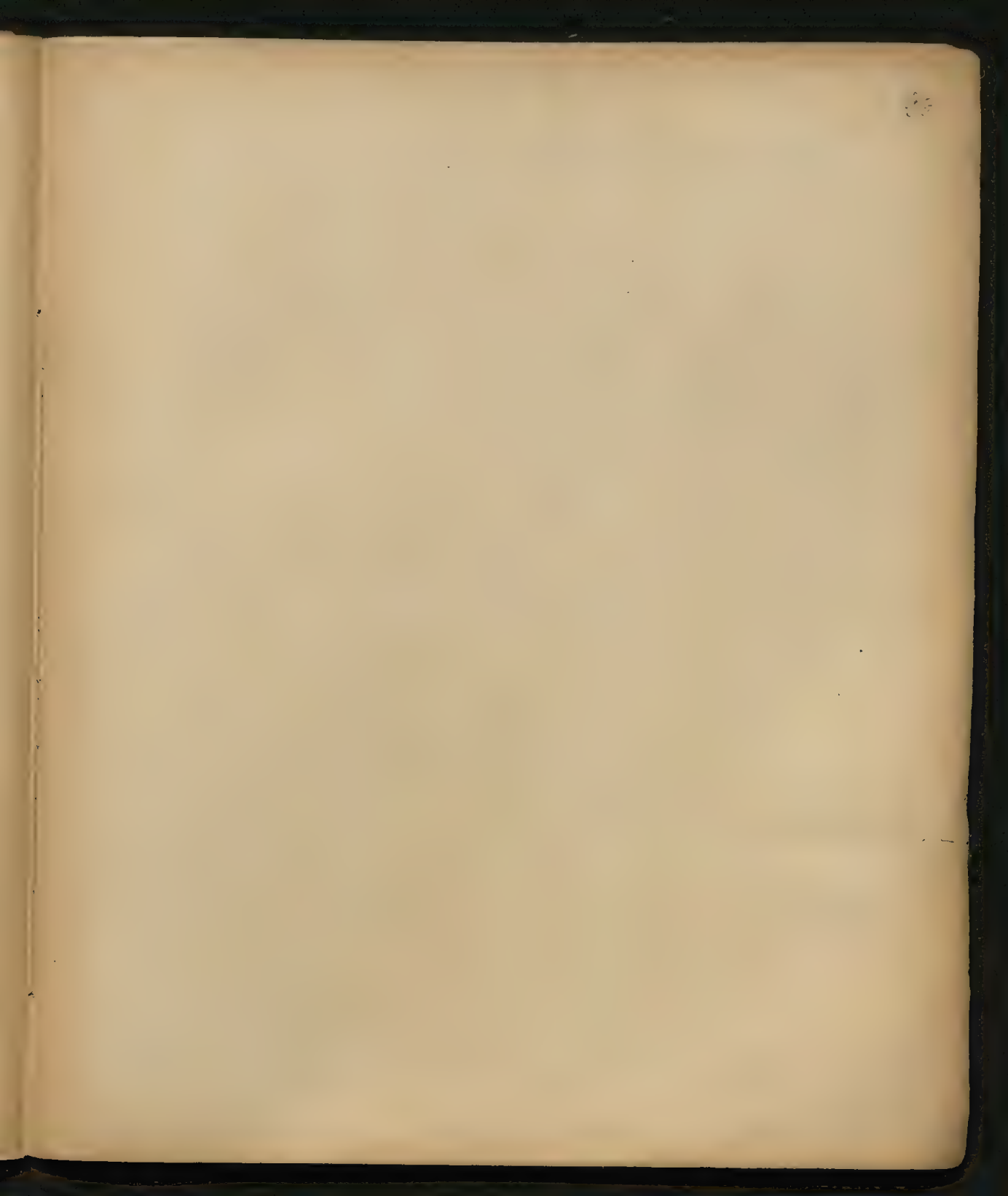
einer wasserichten Glasröhre eingeschmolzen.

Uranium-Perpetuum mobile:

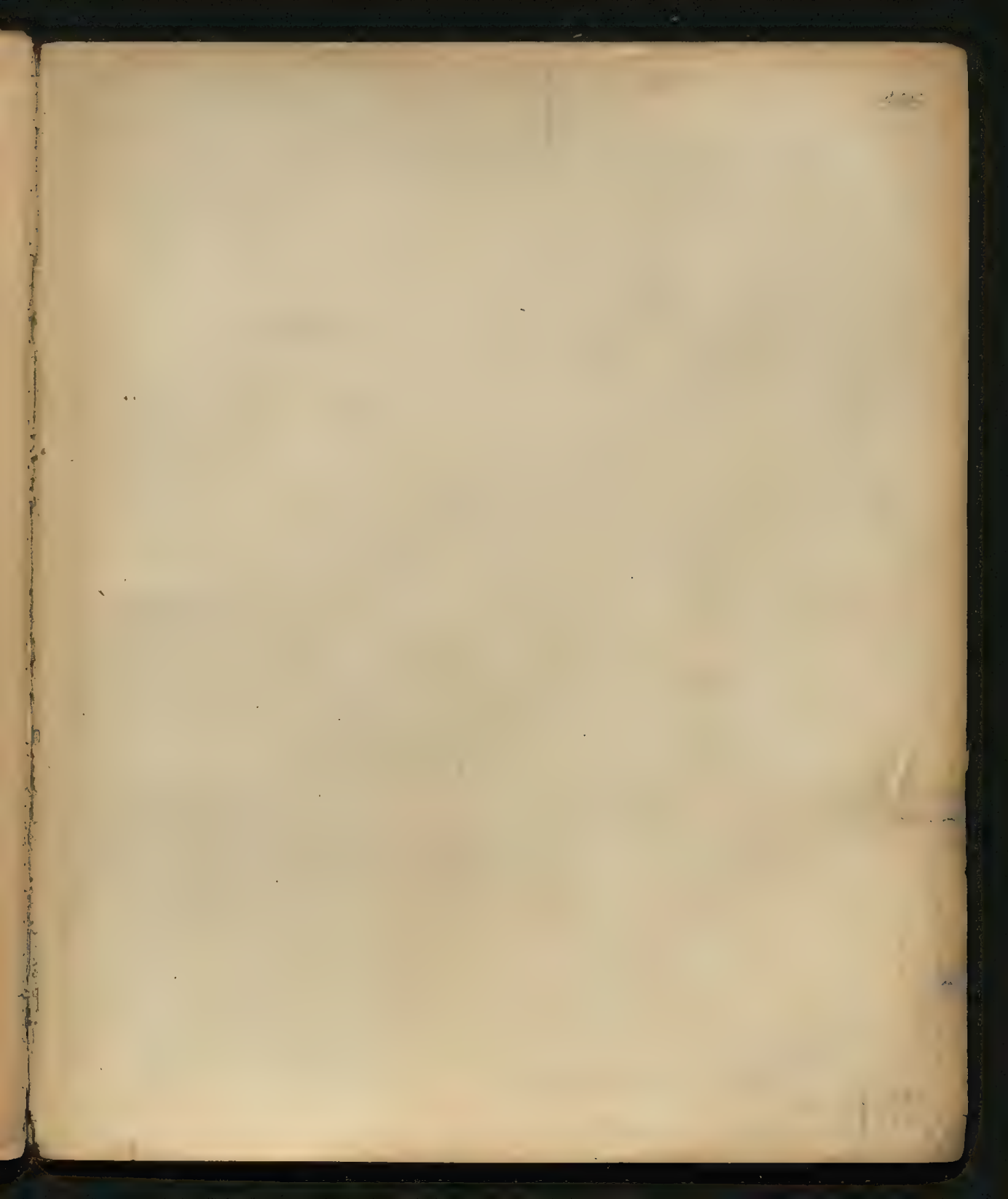


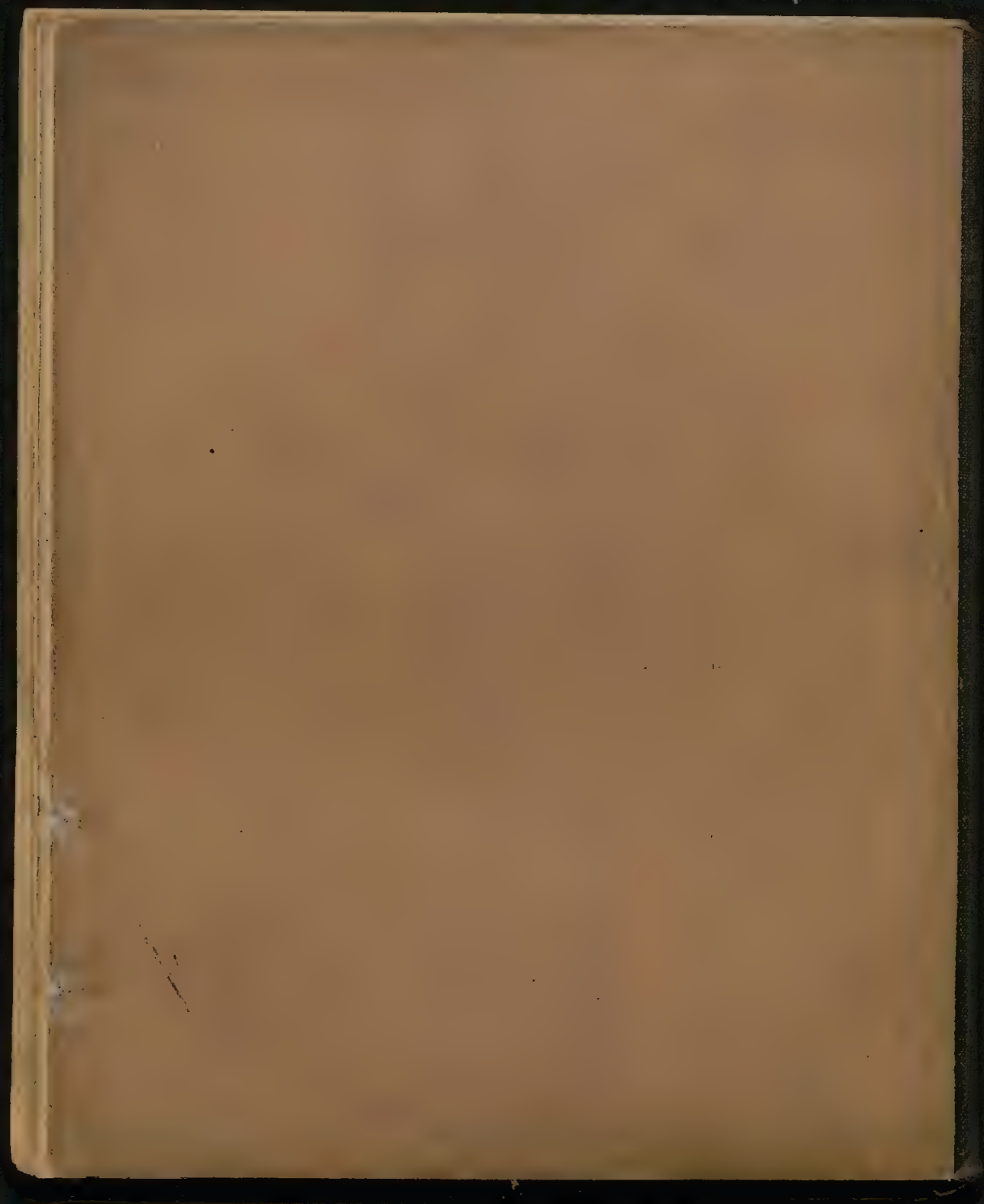
Scheibe S wird zwischen den beiden
unteren Platten hin und herwackeln
nach Art des electr. Glockenspiels.





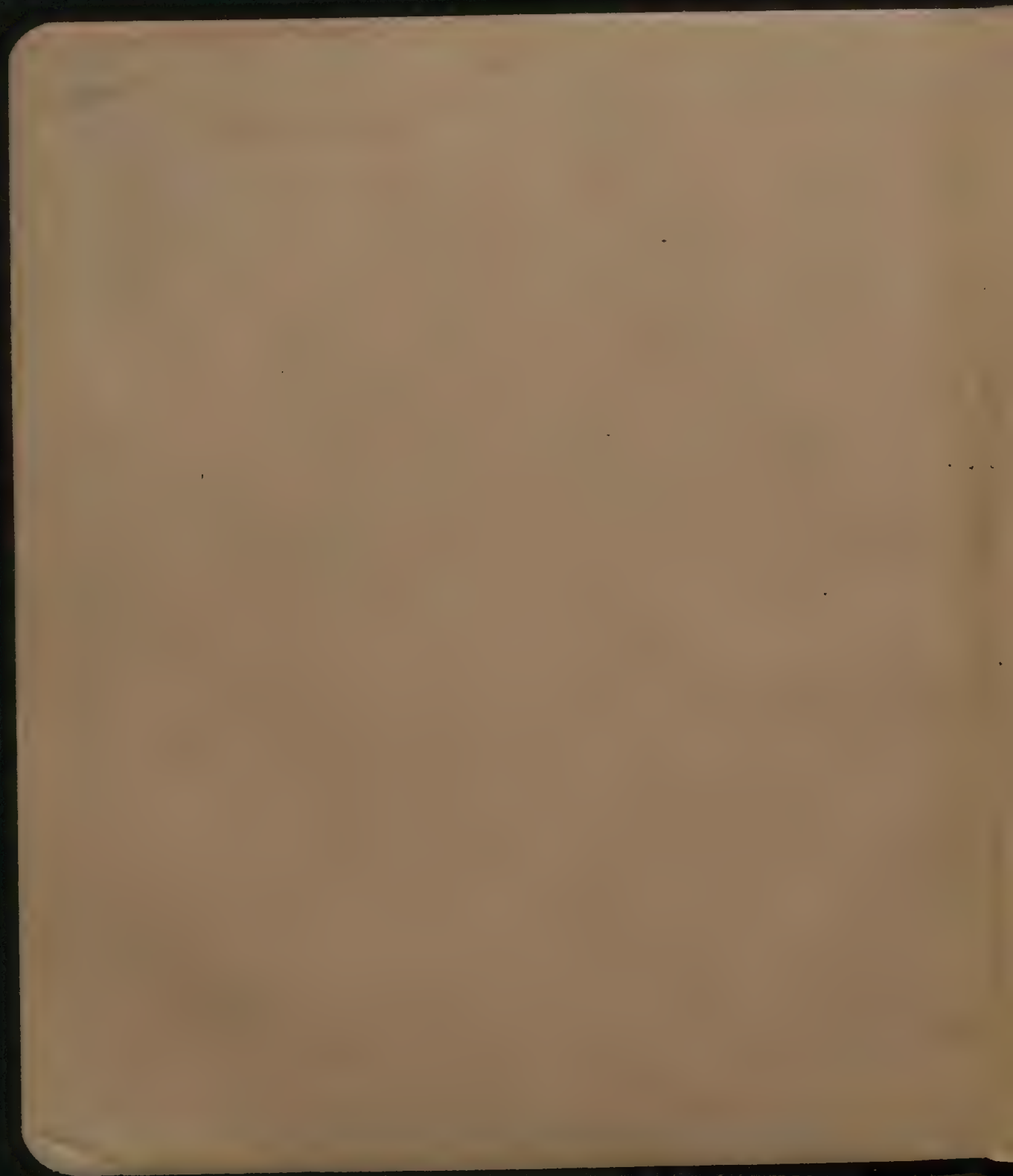
[Faint, illegible handwriting, possibly bleed-through from the reverse side of the page.]



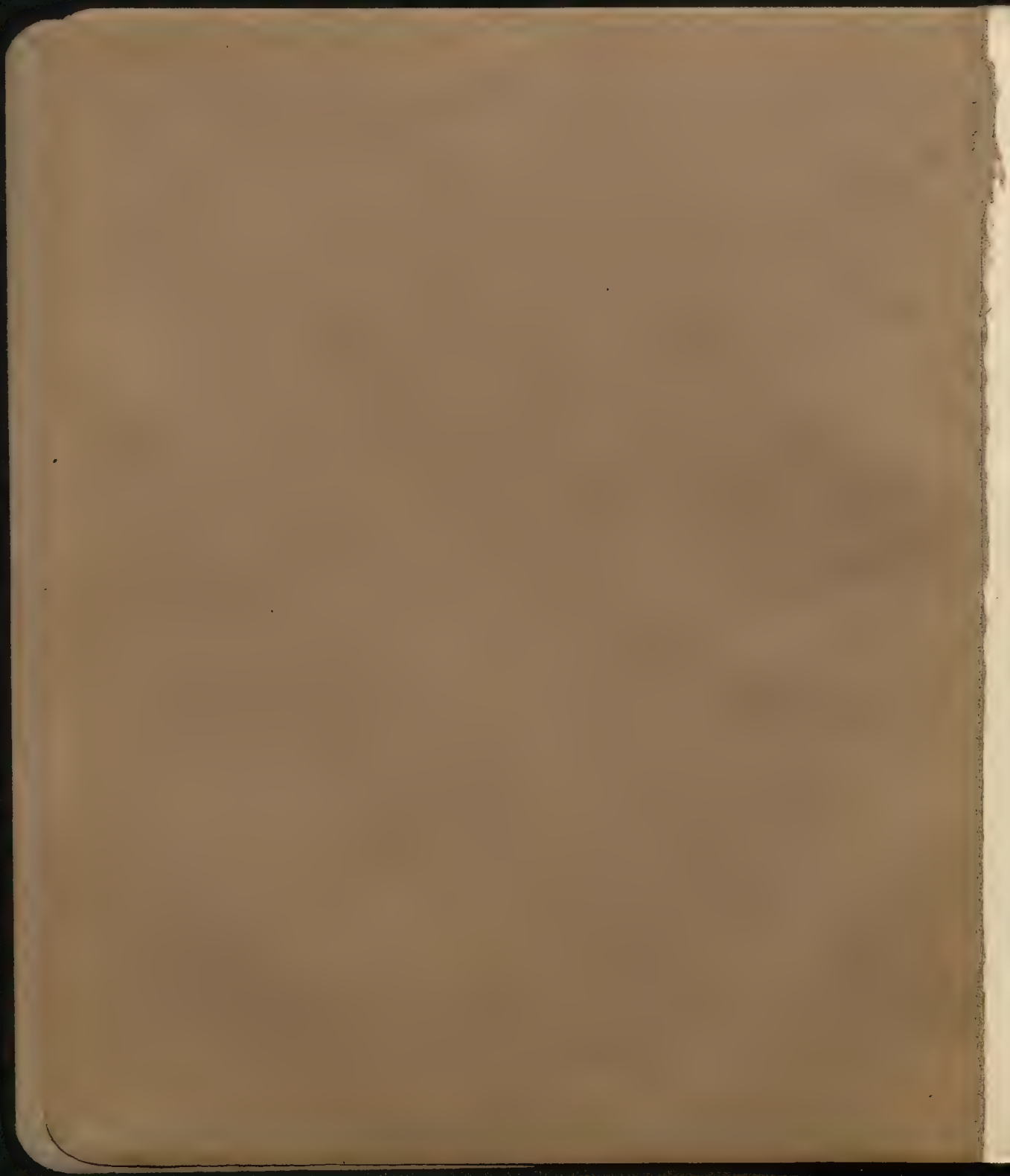


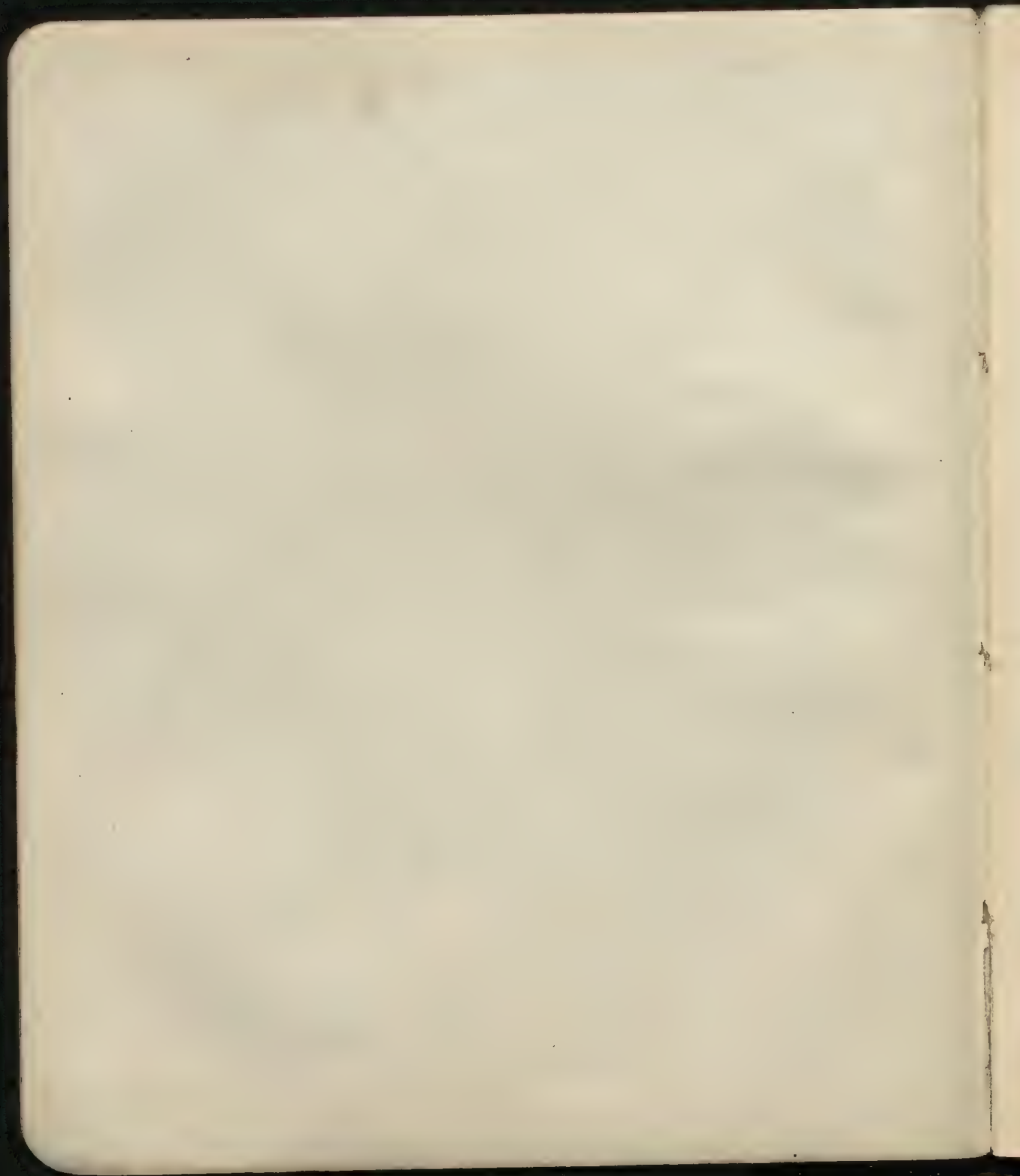
9409

II









the most of it
at the same time
the most of it

the most of it
at the same time
the most of it

the most of it
at the same time
the most of it

the most of it
at the same time
the most of it

the most of it
at the same time
the most of it

the most of it
at the same time
the most of it

the most of it
at the same time
the most of it

the most of it
at the same time
the most of it

the most of it
at the same time
the most of it

the most of it
at the same time
the most of it

the most of it
at the same time
the most of it

Red hat like that is not very good, even the shape of it
 + it plays with my hat & it is not stable

My own idea of a cap

- I think the shape is better, I like the shape of it
 to the ^{head} _{shape}

From: I think of the hat as a whole, with the crown

the shape of my hat is different from the shape of my hat

the shape of my hat is different from the shape of my hat (the shape)

the shape of my hat is different from the shape of my hat

the shape of my hat is different from the shape of my hat

$$\frac{1}{2} \times \frac{1}{2} = \frac{1}{4}$$

the shape of my hat is different from the shape of my hat

the shape of my hat is different from the shape of my hat

the shape of my hat is different from the shape of my hat

$$\frac{1}{2} \times \frac{1}{2} = \frac{1}{4}$$

the shape of my hat is different from the shape of my hat

the shape of my hat is different from the shape of my hat

the shape of my hat is different from the shape of my hat

... ..

... ..

... ..

... ..

... ..

... ..

... ..

... .. $eX = \text{length of } X$

... ..

... ..

... ..

... ..

... ..

... ..

... ..

... ..

$$\frac{d}{dt} = \dots \frac{1}{2}$$

$$p = 10^{-20} \text{ g cm}^{-3} \times 2 \times 10^{-5} \text{ cm}^3$$

Radius of the sphere is 10 cm

Volume of the sphere is

If the sphere is filled with water, the mass of the water is



Since the sphere is filled with water, the mass of the water is

which is greater than the mass of the sphere, so it will sink

If the sphere is filled with oil, the mass of the oil is

which is less than the mass of the sphere, so it will float



Since the sphere is filled with oil, the mass of the oil is

which is less than the mass of the sphere, so it will float

up to the level of the oil

Since the sphere is filled with oil, the mass of the oil is

which is less than the mass of the sphere, so it will float

If the sphere is filled with water, the mass of the water is

which is greater than the mass of the sphere, so it will sink

Therefore, the sphere will sink in water and float in oil

Let ρ_1 be the density of water and ρ_2 be the density of oil



Let V be the volume of the sphere and V_1 be the volume of the sphere submerged in water

$$\rho_1 V_1 = \rho_2 V$$

$$\frac{V_1}{V} = \frac{\rho_2}{\rho_1} = \frac{1}{2}$$

V_1 = vol of sphere submerged in water

V = vol of sphere

Since the sphere is partially submerged in water, the mass of the sphere is equal to the mass of the water displaced

Let $u = \frac{1}{\sqrt{1 - \frac{v^2}{c^2}}}$: then $\frac{du}{dv} = \frac{v}{1 - \frac{v^2}{c^2}}$

Let $\gamma = \frac{1}{\sqrt{1 - \frac{v^2}{c^2}}}$

Then $\frac{d\gamma}{dv} = \frac{v}{1 - \frac{v^2}{c^2}}$

Let $\beta = \frac{v}{c}$: then $\frac{d\gamma}{d\beta} = \frac{\beta}{1 - \beta^2}$

Let $\beta = \frac{v}{c}$: then $\frac{d\gamma}{d\beta} = \frac{\beta}{1 - \beta^2}$

Let $\beta = \frac{v}{c}$: then $\frac{d\gamma}{d\beta} = \frac{\beta}{1 - \beta^2}$

Let $\beta = \frac{v}{c}$: then $\frac{d\gamma}{d\beta} = \frac{\beta}{1 - \beta^2}$

Let $\beta = \frac{v}{c}$: then $\frac{d\gamma}{d\beta} = \frac{\beta}{1 - \beta^2}$

Let $\beta = \frac{v}{c}$: then $\frac{d\gamma}{d\beta} = \frac{\beta}{1 - \beta^2}$

Let $\beta = \frac{v}{c}$: then $\frac{d\gamma}{d\beta} = \frac{\beta}{1 - \beta^2}$

Let $\beta = \frac{v}{c}$: then $\frac{d\gamma}{d\beta} = \frac{\beta}{1 - \beta^2}$

Let $\beta = \frac{v}{c}$: then $\frac{d\gamma}{d\beta} = \frac{\beta}{1 - \beta^2}$

Let $\beta = \frac{v}{c}$: then $\frac{d\gamma}{d\beta} = \frac{\beta}{1 - \beta^2}$

Let $\beta = \frac{v}{c}$: then $\frac{d\gamma}{d\beta} = \frac{\beta}{1 - \beta^2}$

Let $\beta = \frac{v}{c}$: then $\frac{d\gamma}{d\beta} = \frac{\beta}{1 - \beta^2}$

$$\sum_{n=1}^{\infty} \frac{1}{n^2} = \frac{\pi^2}{6}$$

1. ...

$$+ \dots + 3 \dots = 547 \frac{2}{3}$$

$$= \dots \frac{2}{3} \dots$$

2. ...

3. ...

4. ...

5. ...

6. ...

7. ...

8. ...

$$2 \times 10^2 = \dots = \frac{1}{2} \dots$$

... ..

... ..

9. ...

10. ...

11. ...

12. ...

13. ...

14. ...

then: $m = \frac{2}{3} \frac{e^2}{a}$; $a = \frac{2}{3} e \frac{e}{m} = \frac{2}{3} 10^{-20} 10^7 = \frac{2}{3} 10^{-13}$

$$\frac{2}{3} \frac{e^2}{a} \approx u \therefore$$

The following points are to be noted:

1. The shape of the shell is not uniform, but varies in different parts of the same shell.

2. The shape of the shell is not uniform, but varies in different parts of the same shell.

3. The shape of the shell is not uniform, but varies in different parts of the same shell.

4. The shape of the shell is not uniform, but varies in different parts of the same shell.

5. The shape of the shell is not uniform, but varies in different parts of the same shell.

6. The shape of the shell is not uniform, but varies in different parts of the same shell.

7. The shape of the shell is not uniform, but varies in different parts of the same shell.

8. The shape of the shell is not uniform, but varies in different parts of the same shell.

9. The shape of the shell is not uniform, but varies in different parts of the same shell.

10. The shape of the shell is not uniform, but varies in different parts of the same shell.

11. The shape of the shell is not uniform, but varies in different parts of the same shell.

12. The shape of the shell is not uniform, but varies in different parts of the same shell.

13. The shape of the shell is not uniform, but varies in different parts of the same shell.

14. The shape of the shell is not uniform, but varies in different parts of the same shell.

15. The shape of the shell is not uniform, but varies in different parts of the same shell.

16. The shape of the shell is not uniform, but varies in different parts of the same shell.

17. The shape of the shell is not uniform, but varies in different parts of the same shell.

... of ... \rightarrow ...
 ... \rightarrow ...

1. the ... \rightarrow ...
 ... \rightarrow ...

~~...~~

... \rightarrow ...

... \rightarrow ...

... \rightarrow ...

... \rightarrow ...

... \rightarrow ...

... \rightarrow ...

... \rightarrow ...

... \rightarrow ...

... \rightarrow ...

$$h = \frac{m \omega^2}{2}$$

velocity of light in the medium

$$h = \frac{m \omega^2}{2} \frac{1}{\epsilon}$$

constant

frequency of vibration

the energy of the light is in
continuous distribution of energy in response of vibration
moment of light is $\hbar \omega$ then $V \propto \sqrt{f}$

$$f \propto \frac{1}{\lambda}$$

$$h \omega = m \omega^2 \int \frac{m v^2}{2} + \frac{1}{2} \left(\frac{dv}{dt} \right)^2 dt = \hbar \omega \int dx$$

$$m \omega \frac{dv}{dt} = \frac{d}{dt} \left(\frac{m v^2}{2} \right) \Rightarrow \frac{d}{dt} \left(\frac{m v^2}{2} \right) = \hbar \omega \frac{d}{dt} \int dx$$

$$\frac{d}{dt} \left(\frac{m v^2}{2} \right) = \hbar \omega \frac{d}{dt} \int dx$$

and by using this, it can be proved that for light - energy and
momentum are very much proportional to each other.

the matter is clear, energy of light is proportional to its frequency and
momentum is proportional to its frequency.

Part 6. Energy of light

$$v^2 = \frac{1}{\epsilon \mu}$$

or

$$\frac{1}{\epsilon \mu} = \frac{1}{\epsilon_0 \mu_0}$$

$$3 \times 10^8 \frac{m \omega^2}{2} = \text{Energy of light} \Rightarrow \text{Energy of light} = \frac{3}{2} \times 10^8 \frac{m \omega^2}{2}$$

How many children?

70 200

$$1 = \frac{2}{3} \frac{V}{\omega}$$

$$p = 11^3$$

$$= 1 \frac{1}{2} \frac{1}{\omega}$$

$$1.5 \times 10^3$$

$$- 1.11 \frac{1}{\omega}$$

of many other things like this

the number of children

the number of children

the number of children

the number of children

the number of children



the number of children

the number of children

the number of children

the number of children

the number of children

the number of children

the number of children

the number of children

n=1	1	1
2	2	2
3	4	7
4	17	10
5	55	13
6	127	15

... ..

$$\frac{1}{2} \sim \frac{1}{2} \quad \frac{1}{2} \sim \frac{1}{2}$$

$$2 \times \frac{1}{2} \sim 1$$

... .. $k \sim 10^2$

$$n \sim 10^2 \quad (k \sim 10^2) \sim 10^4$$

!!

Station built ...
 My

Find the area of the region

bounded by the curves $y = \sqrt{x}$ and $y = x^2$ from $x = 0$ to $x = 1$

$$\text{Area} = \int_0^1 (\sqrt{x} - x^2) dx = \left[\frac{2}{3}x^{3/2} - \frac{1}{3}x^3 \right]_0^1 = \frac{2}{3} - \frac{1}{3} = \frac{1}{3}$$

Find the area of the region bounded by the curves $y = \sqrt{x}$ and $y = x^2$ from $x = 0$ to $x = 1$

The region is bounded by the curves $y = \sqrt{x}$ and $y = x^2$ from $x = 0$ to $x = 1$



The region is bounded by the curves $y = \sqrt{x}$ and $y = x^2$ from $x = 0$ to $x = 1$

$$\text{Area} = \int_0^1 (\sqrt{x} - x^2) dx = \left[\frac{2}{3}x^{3/2} - \frac{1}{3}x^3 \right]_0^1 = \frac{2}{3} - \frac{1}{3} = \frac{1}{3}$$

$$\text{Area} = \int_0^1 (\sqrt{x} - x^2) dx = \left[\frac{2}{3}x^{3/2} - \frac{1}{3}x^3 \right]_0^1 = \frac{2}{3} - \frac{1}{3} = \frac{1}{3}$$

The region is bounded by the curves $y = \sqrt{x}$ and $y = x^2$ from $x = 0$ to $x = 1$

The region is bounded by the curves $y = \sqrt{x}$ and $y = x^2$ from $x = 0$ to $x = 1$



$$\text{Area} = \int_0^1 (\sqrt{x} - x^2) dx = \left[\frac{2}{3}x^{3/2} - \frac{1}{3}x^3 \right]_0^1 = \frac{2}{3} - \frac{1}{3} = \frac{1}{3}$$

Area = 1/3

The region is bounded by the curves $y = \sqrt{x}$ and $y = x^2$ from $x = 0$ to $x = 1$

The region is bounded by the curves $y = \sqrt{x}$ and $y = x^2$ from $x = 0$ to $x = 1$

The region is bounded by the curves $y = \sqrt{x}$ and $y = x^2$ from $x = 0$ to $x = 1$

1892

$$f(x) = \frac{2}{e^x} = 2e^{-x} \quad \Rightarrow \quad f'(x) = -2e^{-x} = -\frac{2}{e^x} = -f(x)$$

4/11, 1871. Nov. 1871. Nov. 1871.

3. 11 p. 1000. 1000.

$$= \frac{2.1}{10} \text{ e.v.}$$

$$\frac{3}{5} \frac{4e^2}{5}$$

$\frac{1}{6} \cdot 2 = \frac{1}{3}$

1. Fraction of double down requires more work to handle, i.e., double of more than 1. Two simple down bets before

Amey's 2000

7. $\frac{1}{2} \pi - \theta_1 + \theta_2$ remains constant (a consequence) $c = 6\sqrt{2} = 8.485, 8$

[illegible]

$$A^{\sim} = s(A)$$

1990

more than 1000 in 1880, 1881, 1882, 1883, 1884, 1885, 1886, 1887, 1888, 1889, 1890, 1891, 1892, 1893, 1894, 1895, 1896, 1897, 1898, 1899, 1900, 1901, 1902, 1903, 1904, 1905, 1906, 1907, 1908, 1909, 1910, 1911, 1912, 1913, 1914, 1915, 1916, 1917, 1918, 1919, 1920, 1921, 1922, 1923, 1924, 1925, 1926, 1927, 1928, 1929, 1930, 1931, 1932, 1933, 1934, 1935, 1936, 1937, 1938, 1939, 1940, 1941, 1942, 1943, 1944, 1945, 1946, 1947, 1948, 1949, 1950, 1951, 1952, 1953, 1954, 1955, 1956, 1957, 1958, 1959, 1960, 1961, 1962, 1963, 1964, 1965, 1966, 1967, 1968, 1969, 1970, 1971, 1972, 1973, 1974, 1975, 1976, 1977, 1978, 1979, 1980, 1981, 1982, 1983, 1984, 1985, 1986, 1987, 1988, 1989, 1990, 1991, 1992, 1993, 1994, 1995, 1996, 1997, 1998, 1999, 2000, 2001, 2002, 2003, 2004, 2005, 2006, 2007, 2008, 2009, 2010, 2011, 2012, 2013, 2014, 2015, 2016, 2017, 2018, 2019, 2020, 2021, 2022, 2023, 2024, 2025, 2026, 2027, 2028, 2029, 2030, 2031, 2032, 2033, 2034, 2035, 2036, 2037, 2038, 2039, 2040, 2041, 2042, 2043, 2044, 2045, 2046, 2047, 2048, 2049, 2050, 2051, 2052, 2053, 2054, 2055, 2056, 2057, 2058, 2059, 2060, 2061, 2062, 2063, 2064, 2065, 2066, 2067, 2068, 2069, 2070, 2071, 2072, 2073, 2074, 2075, 2076, 2077, 2078, 2079, 2080, 2081, 2082, 2083, 2084, 2085, 2086, 2087, 2088, 2089, 2090, 2091, 2092, 2093, 2094, 2095, 2096, 2097, 2098, 2099, 2100, 2101, 2102, 2103, 2104, 2105, 2106, 2107, 2108, 2109, 2110, 2111, 2112, 2113, 2114, 2115, 2116, 2117, 2118, 2119, 2120, 2121, 2122, 2123, 2124, 2125, 2126, 2127, 2128, 2129, 2130, 2131, 2132, 2133, 2134, 2135, 2136, 2137, 2138, 2139, 2140, 2141, 2142, 2143, 2144, 2145, 2146, 2147, 2148, 2149, 2150, 2151, 2152, 2153, 2154, 2155, 2156, 2157, 2158, 2159, 2160, 2161, 2162, 2163, 2164, 2165, 2166, 2167, 2168, 2169, 2170, 2171, 2172, 2173, 2174, 2175, 2176, 2177, 2178, 2179, 2180, 2181, 2182, 2183, 2184, 2185, 2186, 2187, 2188, 2189, 2190, 2191, 2192, 2193, 2194, 2195, 2196, 2197, 2198, 2199, 2200, 2201, 2202, 2203, 2204, 2205, 2206, 2207, 2208, 2209, 2210, 2211, 2212, 2213, 2214, 2215, 2216, 2217, 2218, 2219, 2220, 2221, 2222, 2223, 2224, 2225, 2226, 2227, 2228, 2229, 2230, 2231, 2232, 2233, 2234, 2235, 2236, 2237, 2238, 2239, 2240, 2241, 2242, 2243, 2244, 2245, 2246, 2247, 2248, 2249, 2250, 2251, 2252, 2253, 2254, 2255, 2256, 2257, 2258, 2259, 2260, 2261, 2262, 2263, 2264, 2265, 2266, 2267, 2268, 2269, 2270, 2271, 2272, 2273, 2274, 2275, 2276, 2277, 2278, 2279, 2280, 2281, 2282, 2283, 2284, 2285, 2286, 2287, 2288, 2289, 2290, 2291, 2292, 2293, 2294, 2295, 2296, 2297, 2298, 2299, 2300, 2301, 2302, 2303, 2304, 2305, 2306, 2307, 2308, 2309, 2310, 2311, 2312, 2313, 2314, 2315, 2316, 2317, 2318, 2319, 2320, 2321, 2322, 2323, 2324, 2325, 2326, 2327, 2328, 2329, 2330, 2331, 2332, 2333, 2334, 2335, 2336, 2337, 2338, 2339, 2340, 2341, 2342, 2343, 2344, 2345, 2346, 2347, 2348, 2349, 2350, 2351, 2352, 2353, 2354, 2355, 2356, 2357, 2358, 2359, 2360, 2361, 2362, 2363, 2364, 2365, 2366, 2367, 2368, 2369, 2370, 2371, 2372, 2373, 2374, 2375, 2376, 2377, 2378, 2379, 2380, 2381, 2382, 2383, 2384, 2385, 2386, 2387, 2388, 2389, 2390, 2391, 2392, 2393, 2394, 2395, 2396, 2397, 2398, 2399, 2400, 2401, 2402, 2403, 2404, 2405, 2406, 2407, 2408, 2409, 2410, 2411, 2412, 2413, 2414, 2415, 2416, 2417, 2418, 2419, 2420, 2421, 2422, 2423, 2424, 2425, 2426, 2427, 2428, 2429, 2430, 2431, 2432, 2433, 2434, 2435, 2436, 2437, 2438, 2439, 2440, 2441, 2442, 2443, 2444, 2445, 2446, 2447, 2448, 2449, 2450, 2451, 2452, 2453, 2454, 2455, 2456, 2457, 2458, 2459, 2460, 2461, 2462, 2463, 2464, 2465, 2466, 2467, 2468, 2469, 2470, 2471, 2472, 2473, 2474, 2475, 2476, 2477, 2478, 2479, 2480, 2481, 2482, 2483, 2484, 2485, 2486, 2487, 2488, 2489, 2490, 2491, 2492, 2493, 2494, 2495, 2496, 2497, 2498, 2499, 2500, 2501, 2502, 2503, 2504, 2505, 2506, 2507, 2508, 2509, 2510, 2511, 2512, 2513, 2514, 2515, 2516, 2517, 2518, 2519, 2520, 2521, 2522, 2523, 2524, 2525, 2526, 2527, 2528, 2529, 2530, 2531, 2532, 2533, 2534, 2535, 2536, 2537, 2538, 2539, 2540, 2541, 2542, 2543, 2544, 2545, 2546, 2547, 2548, 2549, 2550, 2551, 2552, 2553, 2554, 2555, 2556, 2557, 2558, 2559, 2560,

4 in. corner of laboratory
in p. 100.

Don't tell me for the first time in a long while that I'm right.



... of my ...

2. Δt is small enough so that $\Delta t \ll \tau$ and $\Delta t \ll \tau_c$.

X₂ full of fish

1894

Am 1. d. d. 1861. 1861. 1861. 1861. 1861.

1. d. d. der H. H.

$$2x = \dots + 1 + 1 + \dots = Xb^3$$

Def. 1. Let f be a function on $[a, b]$. The area under the curve $y = f(x)$ is defined to be $\int_a^b f(x) dx$.

= my estimate very low

The same expression is used of the downy scale beetle too!

Visit of students. [23/11/1911]

$$T_{\text{rot}} = \frac{2\pi}{\omega} = \frac{2\pi}{\frac{2\pi}{3} \cdot 10^{-15}} = 3 \cdot 10^{-15} \text{ s}$$

$$\frac{e^2}{B^3} = n^2 \text{ (obstruction)}$$

St. magy: $\frac{n^2 x^2}{2}$

$$\frac{d}{dt} \left(\frac{m^2 x^2}{2} \right) = - \frac{1}{V} \dots$$

$$m \frac{dx}{dt} = - \dots$$

$$\int \frac{1}{x^2} dx = - \frac{1}{x} + C$$

... in ... the ...

$$-\frac{1}{3} \frac{d^3 x}{dt^3} + \dots + x^2 x = 0$$

... pt

$$\frac{1}{3} \frac{d^3 x}{dt^3} + m \frac{dx}{dt} + x^2 = 0$$

supp small value

$$\frac{1}{3} \frac{d^3 x}{dt^3} + m \frac{dx}{dt} + x^2 = 0$$

$$\frac{d^3 x}{dt^3} + \dots = 0$$

$$q = \dots$$

$$q = \frac{1}{6} \frac{d^2 x^2}{dt^2}$$

$$\dots = \frac{m}{m^2} - \frac{1}{6} \frac{d^2 x^2}{dt^2}$$

... the ...

... of ...

... the ...

... of ...

... of ...

... of ...

Wm = ...

... of ...

... of ...

... of ...

... of ...

... of ...

... of ...

4" ...

5" ...

6" ...

... of ...



... of ...

... of ...

... of ...

1	2	3	4	5	6	7	8	9	10	11	12	13	14	15	16	17	18	19	20	21	22	23	24	25	26	27	28	29	30	31	32	33	34	35	36	37	38	39	40	41	42	43	44	45	46	47	48	49	50	51	52	53	54	55	56	57	58	59	60	61	62	63	64	65	66	67	68	69	70	71	72	73	74	75	76	77	78	79	80	81	82	83	84	85	86	87	88	89	90	91	92	93	94	95	96	97	98	99	100
---	---	---	---	---	---	---	---	---	----	----	----	----	----	----	----	----	----	----	----	----	----	----	----	----	----	----	----	----	----	----	----	----	----	----	----	----	----	----	----	----	----	----	----	----	----	----	----	----	----	----	----	----	----	----	----	----	----	----	----	----	----	----	----	----	----	----	----	----	----	----	----	----	----	----	----	----	----	----	----	----	----	----	----	----	----	----	----	----	----	----	----	----	----	----	----	----	----	----	-----

37 mg. in water in 44 minutes

Then ...

Then ...

... ..

... .. +

21

... .. less electric part

13 less electric part

... ..

for number

inside

for keep

P

24 - number of

... ..

... ..

ON - 412 - 44 - 44 -

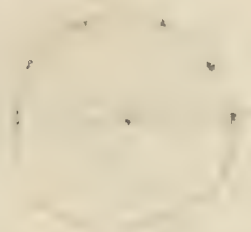
ON

N

for

The number of states is given by the number of states of the system.

Let us consider a system of particles.



Let us consider a system of particles.

If the system is in a state of equilibrium, the number of states is given by the number of states of the system.

The number of states is given by the number of states of the system.

$$\frac{E}{k} = \frac{\sum_{k=1}^n \omega_k \theta_k}{ABC = f(n, k)}$$

$$(A + m g^2(0) - m g^2(0) - m \omega g)^2$$

The number of states is given by the number of states of the system.

Let us consider the system.

The number of states is given by the number of states of the system.

only when the system is in a state of equilibrium.

Let us consider the system.

The number of states is given by the number of states of the system.

Let us consider the system.

Let us consider the system.

The number of states is given by the number of states of the system.

$$\begin{cases}
 m \frac{d^2 x}{dt^2} + \frac{e^2 x}{a^3} = -H e \frac{dz}{dt} \\
 m \frac{d^2 z}{dt^2} + \frac{e^2 z}{a^3} = H e \frac{dx}{dt} \\
 m \frac{d^2 y}{dt^2} + \frac{e^2 y}{a^3} = 0
 \end{cases}$$

$y = b e^{i\omega t}$
 $a(\frac{d^2}{dt^2} - m\mu^2) = -H e i \mu b$
 $b(\frac{d^2}{dt^2} - m\mu^2) = H e i \mu a$

$p^2 \pm 1 = 0$
 $p = \pm \frac{1}{2} \frac{1}{n} \pm \dots$

If $x = a \cos pt$ then $\begin{cases} z = a \sin pt & \text{anticlockwise motion} \\ z = -a \sin pt & \text{clockwise} \end{cases}$ circularly polarized in opp. dir.

(If line of sight = dir. of force)
 Besides y component of motion in line of sight; unwin the, particles do not radiate along line of motion.

If we look \perp dir. of force then triplet, plane polar. $||$

Atom consisting of series of concentric rings:

I). Not subject to magn. force

n = number of wgs. in ring p = numb. to be placed inside, for stability

$$S = \frac{1}{\sin \frac{\pi}{n}} + \frac{1}{\sin \frac{2\pi}{n}} + \frac{1}{\sin \frac{3\pi}{n}} + \dots$$

$$I_K = \frac{e^2}{8a^3} \left\{ \omega \frac{2kn}{n} \left(\frac{1}{\sin \frac{\pi}{n}} + \frac{1}{\sin \frac{3\pi}{n}} \right) + \right.$$

$$\left. + \omega \frac{4kn}{n} \left(\frac{1}{\sin \frac{2\pi}{n}} + \frac{1}{\sin \frac{4\pi}{n}} \right) + \omega \frac{6kn}{n} \left(\frac{1}{\sin \frac{3\pi}{n}} + \frac{1}{\sin \frac{5\pi}{n}} \right) + \dots \right\}$$

$$N_k = \frac{e^2}{4a^3} \left\{ \cos \frac{2kn}{n} \left(\frac{\cos^2 \frac{n}{n}}{\sin^3 \frac{n}{n}} + \frac{1}{2 \sin \frac{n}{n}} \right) + \cos \frac{4kn}{n} \left(\frac{\cos^2 \frac{2n}{n}}{\sin^3 \frac{2n}{n}} + \frac{1}{2 \sin \frac{2n}{n}} \right) + \dots \right\}$$

$$M_k = \frac{e^2}{8a^3} \left\{ \sin \frac{2kn}{n} \left(\frac{\cos \frac{n}{n}}{\sin^2 \frac{n}{n}} + \dots \right) \right.$$

a = radius of ring:

$$\left[\frac{3}{4} \frac{e^2 N^2}{a^3} + 3 \frac{e^2}{a^3} - (L_0 - L_k) - m g \right] [N_0 - N_k - m g] = [M_k - 2 m g]^2$$

If n very large, L_k very large, prop to n^3 . M prop. to n^2 , N to n^3 .

Thus approx. roots by putting right h. side = 0

We get the periods of tangential vbr. by equating ~~first~~ ^{second} bracket = 0
 " " radial " " first "

$k=0$ $g=0$, no period

$k=1$ (as eye & body parall. to x etc.)

with higher values of k greater complexity, frequency higher (towards blue)

In radial vibrations opposite effect, small k blue, great k red (g gets smaller by increasing k and would get negat/ve (reason for putting in g for stability)).

Tangential vbr. ? consp. in spectrum to?

Approximately $N_k = \frac{e^2}{4a^3} \cos \frac{2kn}{n} \cdot \frac{1}{\sin^3 \frac{n}{n}}$

$$N_0 = \frac{e^2}{4a^3} \frac{1}{\sin^3 \frac{a}{n}}$$

$$m g^2 = N_0 - N_k = \frac{e^2}{4a^3} \frac{1}{\sin^3 \frac{a}{n}} \times 2 \sin^2 \frac{kn}{n}$$

For k small in comp. with n : $\sin \frac{k\pi}{n} = \frac{k\pi}{n}$

frequency prop. n (Frequency of higher harmonics prop. to n^3 , so do not come into spectrum at same time.)

If n even, highest harmonic when $k = \frac{n}{2}$

then $m q^2 = \frac{e^2}{4a^3} \frac{1}{\sin^3 \frac{n}{2}}$ cor. to line furthest to v. end blue end.

Generally: $k = \frac{n}{2} - s$

$$m q^2 = \frac{e^2}{2a^3} \frac{\cos^2 \frac{s\pi}{n}}{\sin^3 \frac{n}{2}} \quad \text{for } \frac{s\pi}{n} \text{ small: } q = \cos \frac{s\pi}{n} \sqrt{\frac{e^2}{2a^3 m} \frac{1}{\sin^3 \frac{n}{2}}}$$


Putting $s = 0, 1, 2, 3 \dots$ successive lines

$$= \left(1 - \frac{s^2 \pi^2}{2n^2}\right) \sqrt{\frac{e^2}{2a^3 m} \frac{1}{\sin^3 \frac{n}{2}}}$$

It has been shown that frequency of sp. lines ~~is~~ $q = N_0 \pm a n^2$

where m is an integer

Difference between 2 successive ~~lines~~ frequencies in series with s

$$\text{red} \quad q_{s+1} - q_s = B(2s+1) \quad \text{blue}$$


band sharply defined towards blue, shading off towards red

Each ray would give a band.

Frequency not altered by magn. field; would not show Zeem. eff.

Radiated vibrations:

$$\frac{3}{4} \frac{e^2 \hbar^2}{a^3} + \frac{3}{4} \frac{e^2 \hbar^2}{a^3} - (L_0 - L_k) - m q^2 = 0$$

p (the ^{number of q. d.p.} neg. charge inside) is chosen so as to fit real values of q for highest harmonic which is the one which makes it unstable. p is the smallest which will make period of

7. $f_i > 0$ in Ω

$$= \frac{1}{\sin^{3/2} \frac{\pi}{4}} = \frac{2^2}{1} = 4$$

H. v. p. m. l. e !

$$\frac{1}{2} + \frac{1}{3} = \frac{5}{6}$$

— — — — — ↗↘

1. $\frac{1}{2}$ = 0.5

$\therefore \frac{d}{dt} \left(\frac{1}{r^2} \right) = -\frac{2}{r^3} \frac{dr}{dt}$

There is another thing I want to say. I want to say

So that we are not in the same economic position as before!

Number of hours spent ^{on} the job.

Ans the 10th 1891

$$f(x) = \frac{1}{2} \left(1 + \frac{x}{\sqrt{1+x^2}} \right) \quad \text{for } x \in \mathbb{R}$$

which is a very large number of very large numbers.

Form of \mathcal{L} is $\mathcal{L} = \frac{1}{2} \dot{\phi}^2 - \frac{1}{2} \phi^2$ \mathcal{L} is a function of ϕ and $\dot{\phi}$ only.

... ..

3. α - have the same worded term A!

$\lambda + \mu$ is the number of lines in $\mathcal{L}_{\lambda+\mu}$. This corresponds to red and blue lines in $\mathcal{L}_{\lambda+\mu}$.

but similar expression for τ_{α} , but α, β .

$\frac{1}{N} \sum_{i=1}^N \log \frac{1}{p_i}$ is the entropy of the distribution p .

promises made as

the same as in the

is very common of the same kind to the same

is the same as in the same way, being by the same way to the

the same way to the same way, being by the same way to the

on 1911

on 1911

on 1911

on 1911

to 1911

cannot escape the above rule, it is not possible to

Therefore there will be no such thing as a

Thus the same rule will be

to 1911

to 1911

to 1911

to 1911

Thus by groups the

itself a group

to 1911

July 2nd - 1891

1750

1011-21

ad. 11. 11. 11. on current day and 11. 11. 11.

the number of my letters about the same, but only the following:

... and in 1880. The ... of ...

... .. The

2. *Salix humilis* L. var. *glauca* (L.) Link.

an additional portion of the same material may easily be obtained

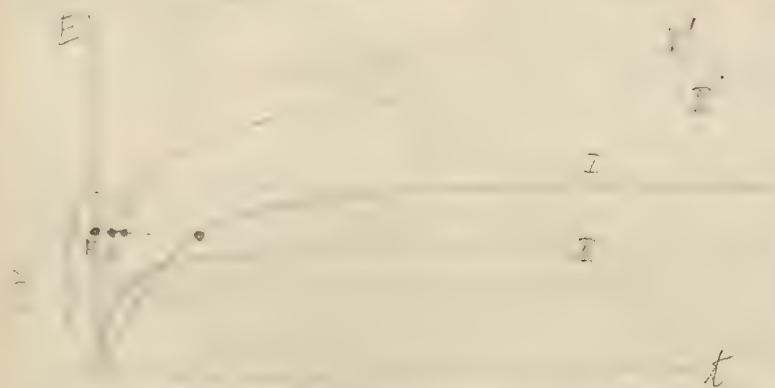
... I have been with you for some time and I have been very much interested in your work.

... ..

... ..

$$\frac{dE}{dt} = \alpha' - \beta E$$

$$E = \frac{1}{\beta} (1 - e^{-\beta t})$$



... ..

... ..

... ..

... ..

... ..

... ..

... ..

... ..

... .. 188

... ..

... ..

... ..

... ..

... ..

... ..

...the ... of lines are longer and
other ...

by putting on a good to please.

Depth of some of the lines is $\frac{1}{2}$ inch or more.

When a new body is being added to a system, it will not
 be apparent to most of the field.

luminosity, it is not due to the displacement. The displacement seen is only
apparent from the time before the system became luminous.

be unobtrusive.

These shock systems are known. The idea of this will be just the reverse. Graphs are charged, not graphs - charged.

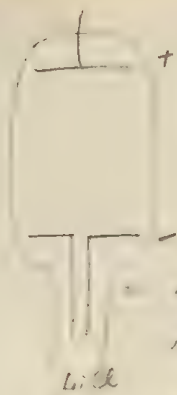
Two double forms: primary series not displaced, one to stem
first x-series not displaced: to rows.

the problem of identity is much more complex than it seems.

Sept. 4th 1881, ^{to} now these systems probably could give out carbon

specimen. This may be the cause of the continuous background spectrum.

Two ways: moment of exp. moment of + inv.



as we can be thrown by rays falling only upon it + ions running down on LiCl; therefore not a system of anode light.

If coil around so as to make $\bar{\pi}$, then cathode rays falling on LiCl, now blue light not Li but phosphorescence!

Much easier to prod. Li by bombarding LiCl than Li itself!

Na + K bombarded give out little blue light like blue oxygen, but more red + white.

Much easier to do than match the other.

So far interest, now focus chemical construction.

Molecules may be regarded as number of systems held together by mutual forces. Considerable stability. Problem of equilibrium of mutually attractive forces. But even for

Water has the conditions for equilibrium & stability, not yet known completely. Thomson's:

Carnahan: system of n bodies with only forces $\frac{1}{r^2}$ cannot be in stable equl. But perhaps stable under possible?

Conditions for stability of motion are very stringent. 3 Bodies: in order to get stable motion conditions must be quite exceptional. I. x. Hall equl: if equilibrium, with unstable common attraction, is stable equl. But this is unstable!

They will
 stay, will for 3 equal bodies.

120

For the 3 we may make the other.

Another case: Maxwell Saturn rings. Number of satellites in the same orbit.
 To be stable the mass of central planet must be enormously greater
 than of satellites: $P > 543 \cdot n^3$ ← mass of satell.

↑ ↑
 mass of planet number of satell.

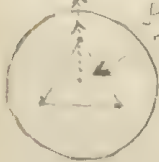
planet can be "retained" with n satellites

supp. $\frac{P}{s} = 100$ $n < 7$

If some of forces repulsive instead attractive much more stringent conditions.
 Thus eqn. is impossible if satell. repelling or other but attr. by central.

Thus this law does not seem to give much stability.

Condition for stable: force must increase, when distance between bodies increases.
 (for certain distance) can be shown by our atom.



charge for nothing: then neutral but

n. d. of one charge up with down on -

in l. of first attr. then neutral point? then up.

but point P is unstable position for neg. part. but stable for + elects

Thus 3 directions in which stable eqn. is for + particles possible.

Such an atom thus could hold 3 other + charges in stable equilibrium.

Remarks: For between center of eye - no report for small dist. 1st line
length 1. 2. 3. 4. 5. 6. 7. 8. 9. 10. 11. 12. 13. 14. 15. 16. 17. 18. 19. 20. 21. 22. 23. 24. 25. 26. 27. 28. 29. 30. 31. 32. 33. 34. 35. 36. 37. 38. 39. 40. 41. 42. 43. 44. 45. 46. 47. 48. 49. 50. 51. 52. 53. 54. 55. 56. 57. 58. 59. 60. 61. 62. 63. 64. 65. 66. 67. 68. 69. 70. 71. 72. 73. 74. 75. 76. 77. 78. 79. 80. 81. 82. 83. 84. 85. 86. 87. 88. 89. 90. 91. 92. 93. 94. 95. 96. 97. 98. 99. 100. 101. 102. 103. 104. 105. 106. 107. 108. 109. 110. 111. 112. 113. 114. 115. 116. 117. 118. 119. 120. 121. 122. 123. 124. 125. 126. 127. 128. 129. 130. 131. 132. 133. 134. 135. 136. 137. 138. 139. 140. 141. 142. 143. 144. 145. 146. 147. 148. 149. 150. 151. 152. 153. 154. 155. 156. 157. 158. 159. 160. 161. 162. 163. 164. 165. 166. 167. 168. 169. 170. 171. 172. 173. 174. 175. 176. 177. 178. 179. 180. 181. 182. 183. 184. 185. 186. 187. 188. 189. 190. 191. 192. 193. 194. 195. 196. 197. 198. 199. 200. 201. 202. 203. 204. 205. 206. 207. 208. 209. 210. 211. 212. 213. 214. 215. 216. 217. 218. 219. 220. 221. 222. 223. 224. 225. 226. 227. 228. 229. 230. 231. 232. 233. 234. 235. 236. 237. 238. 239. 240. 241. 242. 243. 244. 245. 246. 247. 248. 249. 250. 251. 252. 253. 254. 255. 256. 257. 258. 259. 260. 261. 262. 263. 264. 265. 266. 267. 268. 269. 270. 271. 272. 273. 274. 275. 276. 277. 278. 279. 280. 281. 282. 283. 284. 285. 286. 287. 288. 289. 290. 291. 292. 293. 294. 295. 296. 297. 298. 299. 300. 301. 302. 303. 304. 305. 306. 307. 308. 309. 310. 311. 312. 313. 314. 315. 316. 317. 318. 319. 320. 321. 322. 323. 324. 325. 326. 327. 328. 329. 330. 331. 332. 333. 334. 335. 336. 337. 338. 339. 340. 341. 342. 343. 344. 345. 346. 347. 348. 349. 350. 351. 352. 353. 354. 355. 356. 357. 358. 359. 360. 361. 362. 363. 364. 365. 366. 367. 368. 369. 370. 371. 372. 373. 374. 375. 376. 377. 378. 379. 380. 381. 382. 383. 384. 385. 386. 387. 388. 389. 390. 391. 392. 393. 394. 395. 396. 397. 398. 399. 400. 401. 402. 403. 404. 405. 406. 407. 408. 409. 410. 411. 412. 413. 414. 415. 416. 417. 418. 419. 420. 421. 422. 423. 424. 425. 426. 427. 428. 429. 430. 431. 432. 433. 434. 435. 436. 437. 438. 439. 440. 441. 442. 443. 444. 445. 446. 447. 448. 449. 450. 451. 452. 453. 454. 455. 456. 457. 458. 459. 460. 461. 462. 463. 464. 465. 466. 467. 468. 469. 470. 471. 472. 473. 474. 475. 476. 477. 478. 479. 480. 481. 482. 483. 484. 485. 486. 487. 488. 489. 490. 491. 492. 493. 494. 495. 496. 497. 498. 499. 500. 501. 502. 503. 504. 505. 506. 507. 508. 509. 510. 511. 512. 513. 514. 515. 516. 517. 518. 519. 520. 521. 522. 523. 524. 525. 526. 527. 528. 529. 530. 531. 532. 533. 534. 535. 536. 537. 538. 539. 540. 541. 542. 543. 544. 545. 546. 547. 548. 549. 550. 551. 552. 553. 554. 555. 556. 557. 558. 559. 560. 561. 562. 563. 564. 565. 566. 567. 568. 569. 570. 571. 572. 573. 574. 575. 576. 577. 578. 579. 580. 581. 582. 583. 584. 585. 586. 587. 588. 589. 590. 591. 592. 593. 594. 595. 596. 597. 598. 599. 600. 601. 602. 603. 604. 605. 606. 607. 608. 609. 610. 611. 612. 613. 614. 615. 616. 617. 618. 619. 620. 621. 622. 623. 624. 625. 626. 627. 628. 629. 630. 631. 632. 633. 634. 635. 636. 637. 638. 639. 640. 641. 642. 643. 644. 645. 646. 647. 648. 649. 650. 651. 652. 653. 654. 655. 656. 657. 658. 659. 660. 661. 662. 663. 664. 665. 666. 667. 668. 669. 670. 671. 672. 673. 674. 675. 676. 677. 678. 679. 680. 681. 682. 683. 684. 685. 686. 687. 688. 689. 690. 691. 692. 693. 694. 695. 696. 697. 698. 699. 700. 701. 702. 703. 704. 705. 706. 707. 708. 709. 710. 711. 712. 713. 714. 715. 716. 717. 718. 719. 720. 721. 722. 723. 724. 725. 726. 727. 728. 729. 730. 731. 732. 733. 734. 735. 736. 737. 738. 739. 740. 741. 742. 743. 744. 745. 746. 747. 748. 749. 750. 751. 752. 753. 754. 755. 756. 757. 758. 759. 760. 761. 762. 763. 764. 765. 766. 767. 768. 769. 770. 771. 772. 773. 774. 775. 776. 777. 778. 779. 780. 781. 782. 783. 784. 785. 786. 787. 788. 789. 790. 791. 792. 793. 794. 795. 796. 797. 798. 799. 800. 801. 802. 803. 804. 805. 806. 807. 808. 809. 810. 811. 812. 813. 814. 815. 816. 817. 818. 819. 820. 821. 822. 823. 824. 825. 826. 827. 828. 829. 830. 831. 832. 833. 834. 835. 836.

廿二

Not done

v. j.

11. 11. 1915. 1915.

Thus the two surfaces T and T' are \mathbb{R}^2 and \mathbb{R}^2 can be determined

where α is some - there one maxim
arises from one reversal in the law
of the α function.

thus we get a Non-relativistic universe in this direction.

There is a portion of the river where ^{the} the water is still that

regions with equal.

Stability for longitudinal displacement by analyzing the system in response
if magnetic force arising with magnetic rotation

ignoring the magnetic force ^{rotational} from the static state

This force will not affect the static solution, but longitudinal motion is limited to a small

by magnetic force, proper to the static state

$$m \frac{dx}{dt} = -kx + H_e \frac{dx}{dt}$$

$$\frac{x}{y} = \frac{H_e}{k}$$

$$m \frac{dy}{dt} = -ky - H_e \frac{dy}{dt}$$

stable if γ real roots

$$-x \text{ and } y = -\gamma \gamma$$

$$-y \text{ and } x = -\gamma \gamma$$

$$\gamma^2 + \gamma = H^2 e^2 / m^2$$

$$\gamma^2 + \gamma = H^2 e^2 / m^2$$

$$\gamma = \frac{1}{2} \left(\frac{H_e}{m} \pm \sqrt{\left(\frac{H_e}{m} \right)^2 - \frac{4}{m}} \right)$$

$$\frac{H_e}{m} > \sqrt{\frac{4}{m}} \quad \text{condition for stability}$$

$$\text{if } > 0$$

the stable

system stable for γ real roots, stable for γ complex roots, must be stable by magnetic force

until now we considered the system in static equilibrium

but magnetic force also has a dynamic effect

response of magnetic (magnetic force)



thus stable equilibrium is a magnetic force

$$\frac{1}{2}$$

? If from a crystal type, uniaxial type

There may be of one, one of the other type.

Hydrogen from crystal. Two types. The first, hydrogen of crystal, is H₂,
by replacing the stone by other ^{with same type} that stone will not be altered in the

Two of H type, in the crystal, will deposit entirely in the solid structure of
the stone. Then by replacing them by other stone, that will be changed,
is likely available. | ? If stone is not changed?

There is water, water, seen to many things.

Rotation of plane of polarization (light) is easily explained if the stone
is uniaxial.

Carbon stone has only in ^{small} quantities.



If, during the same time, the same
amount of light is put into the same
medium, the same amount of light is put into the same

But if the same amount, then it is not equal.

distortion of water and so as uniaxial stone is altered

Some affect

2. To see what happens when the day is a mixture of day & night, i.e. when the day is 122

Stable equilibrium, only if number of days is even, as in the case of 122 days. They are equal, and stable. Thus it is not likely that each of these regions will be stable. and may change the stability of the system. This can be seen only if we start with a large number of days, say 150, and then reduce it to 122. (Because 122 is not a multiple of 150)

From change of 150 to 122, the system will change. The number of days of night will change. 1. 150 days of day, 150 days of night. 2. 122 days of day, 122 days of night. 3. 122 days of day, 122 days of night.

Point of equilibrium brought in

If the ratio of day to night is large then the point of equilibrium is high. Thus there is not a limit of day for the whole system.

2. The system cannot be filled up by 40 days because central day is not stable. The right day is not stable. The left day is not stable. The system is not stable.

but possibly the day itself cannot have the change of night amount. Large change of day is not possible. This is because the system is not stable.

Atom may be unable from its nature to have more than certain number of corp.

Change of day may have low high temper

↓ = really change of atom of proportion

I.e. the energy of the system

5. Energy rate \propto rate of change = number of times in unit time \propto energy rate

The other condition is by the fact it is at equilibrium with

Energy Loss of energy is the rate of change of energy

It is the way to find the energy rate

Some other papers are at my disposal from these papers in this way

Some give off the total maximum amount of energy. This is the case for a gas which is at the end of the energy! This would be some source of energy some change taking place. The 2nd. Nobel Prize have measured the radiation coming off from the 2nd. Nobel Prize

Energy, from this change a small part of radiation. Some change is

Energy rate \propto rate of change of energy

Energy rate \propto rate of change of energy

Energy rate

Energy rate

Energy rate

Energy rate

Energy rate

Energy rate

of 2 free electrons

133



only to ≈ 2 with
~~microscopic~~ ^{microscopic} ~~metals~~ ^{metals} ~~atoms~~ ^{atoms} also a number of free electrons and corresponding
 number of + ions.

When the free electron the left of + ion and a negative ion.

Now the free electron is captured, mean kinetic energy =

is given all over the electron's mass.

time that it takes to get between the encounter = τ

$\frac{X_0}{m} \tau$ = vel. gain in time of electron 2 cases:

$$\text{Mean velocity} = \frac{1}{2} \frac{X_0}{m} \tau$$

This may be a small comp. with the drift velocity.

i.e. τ can be a comp. with τ

τ = very approx. $\frac{1}{\nu}$

$$\frac{1}{2} \frac{X_0}{m} \frac{1}{\nu} = \text{average drift}$$

$$\frac{Ne^2 X_0}{2m \nu} = \text{current} = J$$

$$\frac{Ne^2}{2m \nu} = \text{conductivity} = \frac{1}{\rho}$$

if we consider these comp. not only a number of el. but also of the impurity.

Thermal conductivity of copper $k = \frac{1}{3} \times 1.5 \times 10^{-3} \frac{1}{m}$

$\rho =$ resistivity

the avg. of collisions

for elastic phenomena

$$\frac{1}{\rho} = \frac{3}{8} \frac{e^2}{m \nu v^2} \text{ with } \nu \text{ in every metal}$$

$$\text{distance } k \text{ travel} = \frac{1}{10^8}$$

and thus we have the drift velocity and mobility as a function

$$\frac{2}{m} = 10^7$$

$$\lambda = 3000$$

$$v = \frac{c}{\lambda}$$

$$v = \frac{c}{\lambda}$$

$$v = \frac{c}{\lambda}$$

go under the same as well time - number of exp. (1900)

$\frac{1}{\lambda} =$ number of waves of length λ (1900)

$$p = \frac{2}{\lambda} = \frac{2v}{\lambda}$$

$$p = \frac{2}{\lambda}$$

$$\frac{1}{\delta} = \frac{2v}{\lambda} \frac{\lambda^2}{m v^2}$$

λ varying p. itself is a comp. of expansion by temp. slowly

$m v^2$ prop. to temp

if p not dependent on temp then $\delta \propto \text{Temp}$

if there are due to thermal pressure, p would depend on temp

if higher temp, it may be that p incr. more rapidly than v itself

could reach a maximum, then rapidly decreasing. \rightarrow the resistance of oxide?

If vol. percent is comp. with v

$$\frac{m v^2}{\lambda} = X \lambda$$

$$v = \sqrt{\frac{X \lambda}{m}}$$

then percent could not obey this law as in above part is metals

attempt to fit n, λ separately:

High field & el. field:

1841

curvature of path depends only on σ & not on n
But if this the only effect produced then Hall effect must have the same
sign in all metals which is not the case.

Using very thin films of metal

σ thickness $\ll \lambda$ σ must be greater uniquely than in bulk

Spec. resistance is greater in fact, and

but these deposits may ^{contain} ~~holes~~ holes, surface resistance may vary

Influence of free corp. on optical properties of metals

n seems to be a number comparable with number of atoms

Compressive pressure, & tension in various metals, produce by contact - el. & for-
contact electricity.

The subject of the paper is the question of the
 ...
 ...
 ...

By ...

...

...

...
 ...

...
 ...

...
 ...

...

...

$$T \approx \frac{1}{2} \quad \dots \quad \dots$$

...

...

...
 ...
 ...

$\rho = \frac{m}{V}$

$\rho = \frac{m}{\frac{4}{3}\pi r^3}$

$\rho = \frac{m}{\frac{4}{3}\pi r^3} \Rightarrow r^3 = \frac{m}{\frac{4}{3}\pi \rho} \Rightarrow r = \sqrt[3]{\frac{m}{\frac{4}{3}\pi \rho}}$

Now we can find the radius of the nucleus if we know the mass and the density.

Volume: $\frac{4}{3}\pi r^3$

Number of nucleons = mass / mass of nucleon

Radius of nucleus = $r = \sqrt[3]{\frac{A}{4\pi \rho}}$

$= \sqrt[3]{\frac{A}{4\pi \rho}}$

For lead, $A = 208$, $\rho = 2.3 \times 10^{17} \text{ kg/m}^3$

$= \frac{3 \cdot 10^6}{4 \cdot 10^{19}} = 7.5 \cdot 10^{-14} \text{ m}$

$r = \sqrt[3]{\frac{A}{4\pi \rho}}$

Now we can find the radius of the nucleus

$r = 7.5 \cdot 10^{-14} \text{ m}$

$r = 7.5 \cdot 10^{-14} \text{ m}$

= 10 times diameter of nucleon

Therefore, the radius of the nucleus is 10 times the radius of the nucleon.

We can also find the mass of the nucleus if we know the radius and the density.

For lead, $r = 7.5 \cdot 10^{-14} \text{ m}$, $\rho = 2.3 \cdot 10^{17} \text{ kg/m}^3$

Volume: $\frac{4}{3}\pi r^3$

$\frac{4}{3}\pi (7.5 \cdot 10^{-14})^3$

Mass = $\rho \cdot V = 2.3 \cdot 10^{17} \cdot \frac{4}{3}\pi (7.5 \cdot 10^{-14})^3$

And the mass of the nucleus is 208 times the mass of the nucleon.

15

The first effect is a change in the energy of the system
 This work is done by the work of the forces of the system
 The work is done by the forces of the system

2. The second effect is a change in the energy of the system
 This work is done by the work of the forces of the system
 The work is done by the forces of the system

3. The third effect is a change in the energy of the system
 This work is done by the work of the forces of the system
 The work is done by the forces of the system

4. The fourth effect is a change in the energy of the system
 This work is done by the work of the forces of the system
 The work is done by the forces of the system

5. The fifth effect is a change in the energy of the system
 This work is done by the work of the forces of the system
 The work is done by the forces of the system

6. The sixth effect is a change in the energy of the system
 This work is done by the work of the forces of the system
 The work is done by the forces of the system

7. The seventh effect is a change in the energy of the system
 This work is done by the work of the forces of the system
 The work is done by the forces of the system

8. The eighth effect is a change in the energy of the system
 This work is done by the work of the forces of the system
 The work is done by the forces of the system

... ..

... ..

$$C_2 = \frac{1}{1.25} = 0.8$$

$$f_{avg} = \frac{1}{1.25} = 0.8$$

10

$$f_{avg} = \frac{1}{1.25} = 0.8$$

$$f_{avg} = \frac{1}{1.25} = 0.8$$

$$f_{avg} = \frac{1}{1.25} = 0.8$$

$$f_{avg} = \frac{1}{1.25} = 0.8$$

$$f_{avg} = \frac{1}{1.25} = 0.8$$

$$f_{avg} = \frac{1}{1.25} = 0.8$$

$$f_{avg} = \frac{1}{1.25} = 0.8$$

$$f_{avg} = \frac{1}{1.25} = 0.8$$

$$f_{avg} = \frac{1}{1.25} = 0.8$$

$$f_{avg} = \frac{1}{1.25} = 0.8$$

$$f_{avg} = \frac{1}{1.25} = 0.8$$

$$f_{avg} = \frac{1}{1.25} = 0.8$$

$$f_{avg} = \frac{1}{1.25} = 0.8$$

$$f_{avg} = \frac{1}{1.25} = 0.8$$

$$f_{avg} = \frac{1}{1.25} = 0.8$$

$$f_{avg} = \frac{1}{1.25} = 0.8$$

... ..

2)

... ..

$$f_{avg} = \frac{1}{1.25} = 0.8$$

$$f_{avg} = \frac{1}{1.25} = 0.8$$

$$f_{avg} = \frac{1}{1.25} = 0.8$$

11/12 - 18/12

1870 + 1871

from the left side - the right side - the same - the same

— 12 —

[Faint handwritten notes at the bottom of the page]

$$[X - \mu, X - \mu] = \sigma^2$$

五

number of birds per the number of segments with the same

2000

also, if we integrate the force applied to a mass m $\therefore \propto \frac{1}{r^2}$ the velocity v is given by

2. The

Let us suppose the degree of the polynomial is n
 the sum of the roots is $-a_{n-1}/a_n$

Let us suppose the roots are r_1, r_2, \dots, r_n

Let us suppose the roots are r_1, r_2, \dots, r_n

Let us suppose the roots are r_1, r_2, \dots, r_n

Let us suppose the roots are r_1, r_2, \dots, r_n

	r_1	r_2	r_3	r_4	r_5	r_6
r_1	1	2	3	4	5	6
r_2	2	3	4	5	6	7
r_3	3	4	5	6	7	8
r_4	4	5	6	7	8	9
r_5	5	6	7	8	9	10
r_6	6	7	8	9	10	11

Let us suppose the roots are r_1, r_2, \dots, r_n

Let us suppose the roots are r_1, r_2, \dots, r_n

Let us suppose the roots are r_1, r_2, \dots, r_n

Let us suppose the roots are r_1, r_2, \dots, r_n

Let us suppose the roots are r_1, r_2, \dots, r_n

Let us suppose the roots are r_1, r_2, \dots, r_n

$$\frac{1}{r_1} + \frac{1}{r_2} + \dots + \frac{1}{r_n} = \frac{a_1}{a_n}$$

$$\frac{1}{r_1} + \frac{1}{r_2} + \dots + \frac{1}{r_n} = \frac{a_1}{a_n}$$

$$\frac{1}{r_1} + \frac{1}{r_2} + \dots + \frac{1}{r_n} = \frac{a_1}{a_n}$$

$$\frac{1}{r_1} + \frac{1}{r_2} + \dots + \frac{1}{r_n} = \frac{a_1}{a_n}$$

Let us suppose the roots are r_1, r_2, \dots, r_n

$$\frac{1}{r_1} + \frac{1}{r_2} + \dots + \frac{1}{r_n} = \frac{a_1}{a_n}$$

Let us suppose the roots are r_1, r_2, \dots, r_n

$$\frac{1}{r_1} + \frac{1}{r_2} + \dots + \frac{1}{r_n} = \frac{a_1}{a_n}$$

Let us suppose the roots are r_1, r_2, \dots, r_n

It appears to be the same as the one for the first part of the problem.

we can use the same method as before.

Let us assume that the system is in equilibrium at temperature T .

Then the probability of finding the system in a state with energy E is given by

$$P(E) = \frac{e^{-\beta E}}{Z}$$

$$Z = \sum_i e^{-\beta E_i} = e^{-\beta \langle E \rangle} e^{\frac{\beta^2}{2} \langle E^2 \rangle}$$

$$\ln Z = -\beta \langle E \rangle + \frac{\beta^2}{2} \langle E^2 \rangle$$

Therefore, the average energy is given by

$$\langle E \rangle = -\frac{1}{\beta} \ln Z$$

$$T = \frac{1}{k_B \beta}$$

$$\beta = \frac{1}{k_B T}$$

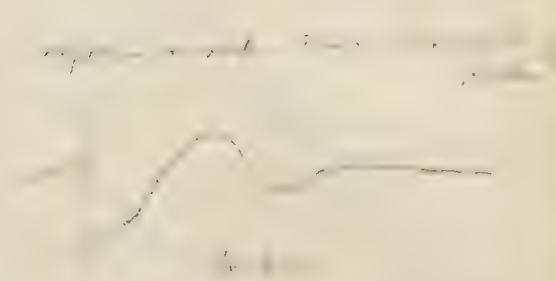
$$\ln Z = -\beta \langle E \rangle + \frac{\beta^2}{2} \langle E^2 \rangle$$

if the system is in the ground state, then

2. $\frac{1}{2} \log \frac{1}{2}$

1. $\frac{1}{2} \log \frac{1}{2}$ is the entropy of a fair coin.
 2. $\frac{1}{2} \log \frac{1}{2}$ is the entropy of a fair coin.
 3. $\frac{1}{2} \log \frac{1}{2}$ is the entropy of a fair coin.

$= \frac{1}{2} \log \frac{1}{2} - \frac{1}{2} \log \frac{1}{2}$



... of the ...
 ... of the ...
 ... of the ...
 ... of the ...

then I of that up to the ...
 of ...
 ...
 ...

The ...
 ...
 ...

Let ...
 ...
 ...
 ...

...
 ...
 ...



...
 ...
 ...

...

$$\frac{1}{2\pi} \left[\frac{1}{2} \right]^2$$

 ...
 ...

However, it is necessary to take the whole system into account
 looking at the whole system, it is looking at the whole system
 and not just the individual parts.

The system is a complex system, and it is not possible to understand it by looking at the individual parts.

The system is a complex system, and it is not possible to understand it by looking at the individual parts.

The system is a complex system, and it is not possible to understand it by looking at the individual parts.

The system is a complex system, and it is not possible to understand it by looking at the individual parts.

The system is a complex system, and it is not possible to understand it by looking at the individual parts.

The system is a complex system, and it is not possible to understand it by looking at the individual parts.

The system is a complex system, and it is not possible to understand it by looking at the individual parts.

The system is a complex system, and it is not possible to understand it by looking at the individual parts.

The system is a complex system, and it is not possible to understand it by looking at the individual parts.

where $\delta = \dots$

... difference of ...

... the ...

... of the ...

... of ...

... = ...

... of ...

... of ...

if ...

... = ...

$n_1 = \dots$

$n_2 = \dots$

$$\frac{dX}{dt} = i\omega_p(n_1 - n_2) \dots$$

$$i = k_1 n_1 + k_2 n_2 \dots$$

$$\frac{d^2}{dx^2} = 0$$

... of ...

... of ...

$$X + \dots = k_1 X_0 - \int k_2 X_2 dx$$

$$\frac{\partial}{\partial x} (k_1 X_2) dx = \dots$$

... of ...

... of ...

$$g - n_1 n_2 = \frac{\partial}{\partial x} (k_1 X_2)$$

$$g - n_1 n_2 = \dots$$

$$\frac{1}{k_1} g - n_1 n_2 = \frac{\partial}{\partial x} X_2$$

$$\frac{1}{k_1} \dots = \dots$$

$$\int_{-\infty}^{\infty} \delta(x - x_0) dx = 1$$

$$= \frac{1}{8\pi^2} \int_{-\infty}^{\infty} \frac{1}{x^2} dx$$

this does even if ϵ is negative, with ϵ
 $\epsilon = 0$ is a case of some interest, as for it

$$X_2 \ddot{x}_2 = i - \epsilon \omega^2$$

$$g - \epsilon \omega^2 = 0$$

$$\frac{d^2 x}{dt^2} = \epsilon \omega^2 (x - x_0)$$

$$x_1 = \frac{i}{\epsilon} \frac{d^2 x}{dt^2}$$

$$x_2 = \frac{i}{\epsilon \omega^2}$$

$$X \frac{dX}{dt} = -2\epsilon \left(\frac{g \epsilon k_1 X^2}{\alpha i} - \frac{i}{\epsilon k_2} \right)$$

$$\frac{dX^2}{dt} = \epsilon \left(\frac{g \epsilon k_1 X^2}{\alpha i} - \frac{i}{\epsilon k_2} \right)$$

$$1 - \frac{X^2}{X_0^2} = e^{-\frac{2\epsilon}{g} t}$$

$$X^2 = \frac{\alpha i^2}{g \epsilon^2 k_2} + c e^{-\frac{2\epsilon}{g} t}$$

for x for $t \rightarrow \infty$ $x = 1 - x$

$$X^2 = \frac{\alpha i^2}{g \epsilon^2 k_2} + c e^{-\frac{2\epsilon}{g} t}$$

$$X = \frac{i}{\epsilon \omega^2}$$



$$(1 - \frac{1}{2} \frac{1}{x})^{\frac{1}{2}} - 1 = \frac{1}{2} \frac{1}{x}$$

1) ~~g = 1~~ ...

... ..

$$f(x) = \int_{-\infty}^{\infty} \frac{e^{ikx}}{k} dk$$

$$= \frac{1}{2\pi i} \int_{-\infty}^{\infty} \frac{e^{ikx}}{k} dk$$

$$= -\frac{1}{2\pi i} \int_{-\infty}^{\infty} \frac{e^{ikx}}{k} dk$$

$$C = \frac{2\pi i}{2\pi i}$$

... ..

... ..

$$V = \frac{1}{2} \sqrt{\frac{2}{\pi}}$$

$$V = \frac{1}{2} \sqrt{\frac{2}{\pi}}$$

$$\Delta X = \frac{1}{2} \sqrt{\frac{2}{\pi}}$$

$$\Delta X = \frac{1}{2} \sqrt{\frac{2}{\pi}}$$

$$\Delta X = \frac{1}{2} \sqrt{\frac{2}{\pi}}$$

... ..

low end of it would not make good water, and probably good land
but would make them too small

July 1881: I went out at 11.

I found the water level

is much higher than of 1880

It is much higher than of 1880

I also found the water

$$i = T - \frac{1}{2} v H_0 = T - \frac{1}{2} \frac{v}{\lambda H_0}$$

$$\frac{1}{\lambda} = \frac{1}{\lambda_0} \frac{1}{1 - \epsilon}$$

$$\lambda \approx \lambda_0 (1 + \epsilon)$$

$$\lambda = \lambda_0$$

$$\lambda \approx \lambda_0: \quad \lambda \approx \lambda_0 \approx \frac{2\pi c}{\omega}$$

$$\lambda = \frac{2\pi c}{\omega}$$

$$\lambda = \frac{2\pi c}{\omega}$$

$$\lambda = \frac{2\pi c}{\omega}$$

the speed of light is constant, but the wavelength is not

$$\lambda > \lambda_0$$

$$\lambda = \frac{2\pi c}{\omega}$$

$$\lambda = \frac{2\pi c}{\omega}$$

$$\omega = \frac{2\pi}{T} = \frac{2\pi}{\frac{1}{f}} = 2\pi f$$

$$\lambda = \frac{2\pi c}{\omega}$$

$$V = \frac{2\pi c}{\omega} \frac{1}{\lambda} = \frac{2\pi c}{\omega} \frac{1}{\frac{2\pi c}{\omega}} = 1$$

1894

[illegible]

$\frac{1}{p_1} \frac{d p_1}{d t} = \frac{1}{p_2} \frac{d p_2}{d t} = \frac{1}{p_3} \frac{d p_3}{d t} = \dots$

[illegible]

Very different in the little white flowers the small green leaves.

Ad. Irides — red; feet black. Length 90 mm., wing 68, no complete.

Received of Mr. J. H. [illegible] the sum of \$100.00

21. 12. 1900

7

2. Not a full time activity. The same

For example: $\sin^{-1} \sin \theta = \theta$ only in case with θ in $[-\frac{\pi}{2}, \frac{\pi}{2}]$.

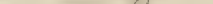
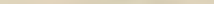
...the

... ..

The
 The

how will the world be improved by representation of a small class?

[illegible]

2000

3. the velocity of the other spheres:

at (a) $\gamma = 0$

val of $\bar{u} = \frac{293}{1000}$

Let's not

$$u - \bar{u} = u - \frac{m_1}{m_1 + m_2} u = \frac{m_2}{m_1 + m_2} u$$

if $\theta = 0$



or let $u = u \cos \theta$

$$\frac{m_1 u}{m_1 + m_2} = \frac{m_2 u}{m_1 + m_2} \cos \theta$$

$$\text{Let's let } u - \bar{u} = \frac{m_2 u}{m_1 + m_2} \cos \theta = \frac{m_2 + m_1 \cos \theta}{m_1 + m_2} u$$

$$\frac{m_1 u}{m_1 + m_2} = \frac{m_2 u}{m_1 + m_2} (\cos 2\theta - 1)$$

if $\theta = 0$

$$u' = u - \frac{m_2 u}{m_1 + m_2}$$

$$v' = \frac{m_2 u}{m_1 + m_2}$$

$m_1 u^2$

$$= \frac{1}{2} m_1 u^2 \left(1 - 2 \cos \theta \frac{m_2}{m_1 + m_2} \right)$$

$$= \frac{m_1 u^2}{2} \left(1 - 4 \cos \theta \frac{m_2}{m_1 + m_2} + 4 \cos^2 \theta \frac{m_2^2}{(m_1 + m_2)^2} \right)$$

$$= \frac{m_1 u^2}{2} \left(1 - 4 \cos \theta \frac{m_2}{m_1 + m_2} + \frac{m_2^2}{(m_1 + m_2)^2} \right)$$

$$T' = T \left(1 - 4 \cos \theta \frac{m_2}{m_1 + m_2} + \frac{m_2^2}{(m_1 + m_2)^2} \right)$$

$$\Delta T = -4T \cos \theta \frac{m_2}{m_1 + m_2}$$

Let's let $u = u \cos \theta$



if $\theta = 0$
no loss of energy

$$\frac{1}{2} m_1 u^2 = \frac{1}{2} m_1 u'^2$$

$\frac{1}{2} m v^2$

$\frac{1}{2} m v^2 = \frac{1}{2} m \frac{h^2}{m^2 \lambda^2}$

$$\lambda = \frac{h}{m v}$$

$$\frac{1}{2} m v^2 = \frac{1}{2} m \frac{h^2}{m^2 \lambda^2}$$

$$\frac{1}{2} m v^2 = \left[\frac{1}{2} m \frac{h^2}{m^2 \lambda^2} + \frac{1}{2} m \frac{h^2}{m^2 \lambda^2} \right] \frac{1}{2} = \frac{1}{2} m \frac{h^2}{m^2 \lambda^2}$$

$$\frac{1}{2} m v^2 = \frac{1}{2} m \left[\frac{1}{2} \frac{h^2}{m^2 \lambda^2} + \frac{1}{2} \frac{h^2}{m^2 \lambda^2} \right] = \frac{1}{2} m \frac{h^2}{m^2 \lambda^2}$$

$$\frac{1}{2} m v^2 = \frac{1}{2} m \frac{h^2}{m^2 \lambda^2}$$

$$\frac{1}{2} m v^2 = \frac{1}{2} m \frac{h^2}{m^2 \lambda^2}$$

$$\int \frac{1}{\sqrt{1-x^2}} dx = \sin^{-1} x$$

Let $x = \frac{v}{c}$

$$\frac{1}{\sqrt{1-x^2}}$$

$$\frac{dx}{\sqrt{1-x^2}} = \frac{dv}{\sqrt{1-\frac{v^2}{c^2}}}$$

$$\int \frac{dx}{\sqrt{1-x^2}} = \sin^{-1} x$$

$$\frac{1}{\sqrt{1-x^2}} = \frac{1}{\sqrt{1-\frac{v^2}{c^2}}}$$

1. \bar{u} only function of x ;

if \bar{u} is a function of x only, then \bar{u} is a function of x only.

Suppose $\bar{u} = \frac{1}{\rho}$

if \bar{u} is a function of x only, then \bar{u} is a function of x only. $\frac{1}{\rho}$

$\bar{u} = \frac{1}{\rho}$

$\bar{u} = \frac{1}{\rho} \frac{1}{\rho}$ is instead of $\frac{1}{\rho}$

if \bar{u} is a function of x only, then \bar{u} is a function of x only.

$\bar{u} = \frac{1}{\rho}$

if \bar{u} is a function of x only, then \bar{u} is a function of x only.

$\bar{u} = \frac{1}{\rho}$

$$\alpha = \frac{m}{\rho} \left[\frac{m}{\rho} \frac{1}{\rho} \right] \left(\frac{1}{\rho} \right)^{\frac{1}{\rho}}$$

$$= \frac{1}{\rho} \frac{m}{\rho} \frac{1}{\rho}$$

if \bar{u} is a function of x only, then \bar{u} is a function of x only.

if \bar{u} is a function of x only, then \bar{u} is a function of x only. $\frac{1}{\rho}$

if \bar{u} is a function of x only, then \bar{u} is a function of x only.

$\bar{u} = \frac{1}{\rho} \frac{1}{\rho} \frac{1}{\rho}$

$$k \frac{dy}{dx} = -x \frac{dy}{dx} \quad \frac{m_1, m_2}{m_1, m_2} \left(\frac{1}{x} - \frac{2}{x^2} \right)$$

$$S_1 = - \frac{m_1, m_2}{m_1, m_2} \frac{1}{x^2} \frac{dx}{dx} \left(\frac{1}{x} - \frac{2}{x^2} \right) = \int \frac{m_1, m_2}{m_1, m_2} \frac{1}{x^2} \frac{dx}{dx}$$

$$S_2 = -$$

3) is particular solution to the homogeneous equation
 20) and if it is not a particular solution, then it is a particular solution to the homogeneous equation.

$$y = \frac{1}{x^2} \quad n=5 \quad u = \frac{1}{x^2}$$

$$\frac{dy}{dx} = -\frac{1}{x^3}$$

$$\frac{dy}{dx} = -\frac{1}{x^3} \quad \frac{m_1, m_2}{m_1, m_2} = \frac{1}{x^3}$$

are independent of each other; then we have the same result for the homogeneous equation.

$$S_2 = \text{const} = -C$$

Therefore, the particular solution is $\frac{1}{C}$
 and the general solution is $y = \frac{1}{C} + C_1 x^2 + C_2 x^3$

the homogeneous solution is $y = C_1 x^2 + C_2 x^3$

$$\frac{k}{m_1, m_2} \quad \frac{1}{x^2} = \frac{1}{x^2}$$

Suppose p is a prime

$p \equiv 1 \pmod{4}$ then -1 is a square

Let a be a square mod p then $-a$ is not a square

Let a be a square mod p then $-a$ is not a square

k can be substituted for a depending on the value of a mod p

$$4_1 = \sqrt{N} \sqrt{1 + \frac{1}{N}} = \frac{1}{2} \sqrt{N} \sqrt{1 + \frac{1}{N}} = \frac{1}{2} \sqrt{N} \left(1 + \frac{1}{2N} - \frac{1}{8N^2} + \dots \right) = \frac{1}{2} \sqrt{N} + \frac{1}{4} - \frac{1}{16\sqrt{N}} + \dots$$

or

Let a be a square mod p then $-a$ is not a square

Let a be a square mod p then $-a$ is not a square

Let a be a square mod p then $-a$ is not a square

Let a be a square mod p then $-a$ is not a square

Let a be a square mod p then $-a$ is not a square

Let a be a square mod p then $-a$ is not a square

$$\frac{1}{2} \sqrt{N} = \frac{1}{2} \sqrt{N} \left(1 + \frac{1}{2N} - \frac{1}{8N^2} + \dots \right) = \frac{1}{2} \sqrt{N} + \frac{1}{4} - \frac{1}{16\sqrt{N}} + \dots$$

Let a be a square mod p then $-a$ is not a square

Let a be a square mod p then $-a$ is not a square

Let the function $f(x)$ be defined by

$$f(x) = \frac{1}{x^2} \pm x^2$$

Find the derivative of $f(x)$ at $x = 1$.
 The derivative of $f(x)$ at $x = 1$ is $f'(1)$.

the rate of change of the function $f(x)$ at $x = 1$ is $f'(1)$.

the value of the derivative of $f(x)$ at $x = 1$ is $f'(1)$.

$$\frac{dy}{dx} = \frac{1}{x^2} \pm 2x$$

the value of the derivative of $f(x)$ at $x = 1$ is $f'(1)$.

The value of the derivative of $f(x)$ at $x = 1$ is $f'(1)$.



the value of the derivative of $f(x)$ at $x = 1$ is $f'(1)$.

the value of the derivative of $f(x)$ at $x = 1$ is $f'(1)$.

now we have

$$= \int_0^1 \frac{dx}{\sqrt{1-x^2 - \frac{2x}{x^2}}} = \arcsin \frac{x}{1+x^2} \Big|_0^1 = \frac{\pi}{4}$$

1. The first is the fact that the number of particles, N , is constant. This is expressed by the equation

2. The second is the fact that the total energy, E , is constant. This is expressed by the equation

3. The third is the fact that the total momentum, P , is constant. This is expressed by the equation

4. The fourth is the fact that the total angular momentum, L , is constant. This is expressed by the equation

$$N = \frac{4\pi m}{h^3} \int_0^\infty \frac{e^{-\beta E}}{1 + e^{-\beta E}} dE$$

$$E = -2n \ln \frac{h^3}{4\pi m} \int_0^\infty \frac{e^{-\beta E}}{1 + e^{-\beta E}} dE$$

$$P = \frac{4\pi m}{h^3} \int_0^\infty \frac{e^{-\beta E}}{1 + e^{-\beta E}} dE$$

$$L = \frac{4\pi m}{h^3} \int_0^\infty \frac{e^{-\beta E}}{1 + e^{-\beta E}} dE$$

$$\frac{1}{N} = \frac{4\pi m}{h^3} \int_0^\infty \frac{e^{-\beta E}}{1 + e^{-\beta E}} dE$$

$$\ln N = \ln \left(\frac{4\pi m}{h^3} \int_0^\infty \frac{e^{-\beta E}}{1 + e^{-\beta E}} dE \right)$$

$$\frac{1}{N} = \frac{4\pi m}{h^3} \int_0^\infty \frac{e^{-\beta E}}{1 + e^{-\beta E}} dE$$

$$\frac{1}{N} = \frac{4\pi m}{h^3} \int_0^\infty \frac{e^{-\beta E}}{1 + e^{-\beta E}} dE$$

$$\frac{1}{N} = \frac{4\pi m}{h^3} \int_0^\infty \frac{e^{-\beta E}}{1 + e^{-\beta E}} dE$$

f from ∞ to $\frac{1}{p}$, $\frac{1}{p}$ distance of $\frac{1}{p}$
 $f' = 1$

$\frac{1}{p} = 240 \frac{1}{\text{mm}} \times \frac{1}{1000} = 0.24$

distance of the $\frac{1}{p}$ part of all work done because if the work
 was infinite the $\frac{1}{p}$

with the ability of the work done the work done is a function of the work done
 by the function of the work done

and the work done is the work done

and the work done is the work done

the work done is the work done

the work done is the work done

the work done is the work done

the work done is the work done

the work done is the work done

the work done is the work done

For any $f(x)$ and $g(x)$ having the same period p , the function $f(x) + g(x)$ has the same period p .

For any $f(x)$ and $g(x)$ having the same period p , the function $f(x) - g(x)$ has the same period p .

For any $f(x)$ and $g(x)$ having the same period p , the function $f(x) \cdot g(x)$ has the same period p .

Any function $f(x)$ having the same period p as $g(x)$ has the same period p .

For a function $f(x)$ having the same period p as $g(x)$.

$$f(x) = \dots$$

$$g(x) = \dots$$

$$f(x) + g(x) = \dots$$



$$\Delta f = \frac{1}{2} k (x^2 - 1) L x$$

$$= \frac{1}{2} k L x$$

$$\frac{\partial f}{\partial x} = \frac{1}{2} k (x^2 - 1) L$$

$$\frac{\partial^2 f}{\partial x^2} = \frac{1}{2} k L (2x) = k L x$$

$$f(x) = e^{ix} \quad k = b e^{ix}$$

$$a f = \frac{1}{2} k (x^2 - 1) L x$$

$$f(x) = e^{ix} \quad k = b e^{ix}$$

$$f(x) = e^{ix}$$

$$J = I_0$$

$$R = 0$$

$$A = I_0$$

$$A_1 = I_0$$

$$A = I_0$$

$$A = I_0$$

$$J = \frac{A}{2} \frac{1 + \cos(1 - 2\lambda)}{1 - \cos(1 - 2\lambda)}$$

$$J = \frac{1}{2} \frac{1 + \cos(1 - 2\lambda)}{1 - \cos(1 - 2\lambda)}$$

$$A = J_0$$

$$R = \frac{1 - \cos(1 - 2\lambda)}{1 + \cos(1 - 2\lambda)}$$

$$R = 0$$

$$R = \frac{1 - \cos(1 - 2\lambda)}{1 + \cos(1 - 2\lambda)}$$

$$R = J_0$$

$$R = J_0$$

$$R = J_0$$

$$R = J_0$$

Let the circle be Γ .

Let Γ be a circle of radius r .

Let Γ be a circle of radius r .

Let Γ be a circle of radius r .

$$\Gamma = \frac{1}{2\pi} \int_{\Gamma} \frac{1}{z} dz$$

Let Γ be a circle of radius r .

$\therefore k \gg 1$ we can say that the circle is

much smaller than the circle Γ .

$$r \ll R$$

$$r \ll R$$

$$r \ll R$$

Let Γ be a circle of radius r .

Let Γ be a circle of radius r .

$$r \ll R$$

Let Γ be a circle of radius r .



Let Γ be a circle of radius r .

$$r \ll R$$

Let Γ be a circle of radius r .

Let Γ be a circle of radius r .

given $\lambda = 2.5 \times 10^{-10}$ m
 wavelength $\lambda = 2.5 \times 10^{-10}$ m
 distance $d = 1.5 \times 10^{-10}$ m

$$\frac{d \sin \theta}{\lambda} = m$$

$$\sin \theta = \frac{m \lambda}{d}$$

$$\sin \theta = \frac{1 \times 2.5 \times 10^{-10}}{1.5 \times 10^{-10}}$$

$$\sin \theta = 1.67$$

But $\sin \theta$ can't be greater than 1
 so $\theta = 90^\circ$

$$\lambda = k + 1$$

then assuming the number of slits is small
 if $\lambda > d$ then the wave is passing through
 without being diffracted. In other words, it's just straight through.



If $\lambda > d$, the wave is not diffracted
 it's just straight through.

If $\lambda < d$, the wave is diffracted
 it's bent around the edges.

The angle of diffraction is given by

The first two relations are very much to be expected from the general theory of the

Y-axis and the general theory of the X-axis.

R₁₁ is the first relation.

R₂₂ is the second relation.

$$\frac{d^2}{dt^2} = \frac{d}{dt} - \frac{1}{2} \mu_0 \frac{d}{dt} - \frac{1}{2} \mu_0 \frac{d}{dt}$$

$$\frac{d^2}{dt^2} = \frac{d}{dt} - \frac{1}{2} \mu_0 \frac{d}{dt} - \frac{1}{2} \mu_0 \frac{d}{dt}$$

R₃₃ is the third relation.

R₄₄ is the fourth relation.

It is now to be expected that the R₁₁ and R₂₂ relations are very much to be expected from the general theory of the Y-axis and the general theory of the X-axis. The R₃₃ and R₄₄ relations are very much to be expected from the general theory of the Y-axis and the general theory of the X-axis.

Found ^{interesting} that the first two relations are very much to be expected from the general theory of the Y-axis and the general theory of the X-axis.

primary 4-66% secondary 2-4%

the first two relations are very much to be expected from the general theory of the Y-axis and the general theory of the X-axis.

Chapter 1. The Algebra of Sets

1117

Suppose that S is a set of elements.

Let A and B be subsets of S .



The region of A which does not overlap with B is the region of A which is disjoint from B .

Let A and B be subsets of S .

The region of A which does not overlap with B is the region of A which is disjoint from B .

Let A and B be subsets of S .

$$n(A \cup B) = n(A) + n(B) - n(A \cap B)$$

$$\frac{A}{B} = \frac{n(A)}{n(B)}$$

Let A and B be subsets of S .

Let A and B be subsets of S .

Let A and B be subsets of S .

Let A and B be subsets of S .

Let A and B be subsets of S .

Let A and B be subsets of S .

$$d = \log(X \cdot d)$$

$$\text{number of points} = \frac{n(A)}{n(B)}$$

Let A and B be subsets of S .

$$\frac{1}{x} + \frac{2}{y} = \frac{2}{3} \quad x = \frac{2}{3} - \frac{2}{y}$$

$$\frac{1}{2} - \frac{1}{2} = 0$$

$$m = \frac{1}{2} \left(\frac{1}{\sqrt{1 - \frac{v^2}{c^2}}} - 1 \right) m_0$$

100 = 6.1

When we are in the land of the living, we are in the land of the living.

1 - 62

$$a = 1$$

... $C = i_0 + \dots$...

11. 12. 13.

current world is not so much a new world as it is a new way of seeing the old world.

[Faint handwritten notes:]

... ..
... ..
... ..

(Stable) u.v.s.

To the same end, I have been very busy
in the study of the history of the country.

[Faint handwritten notes at the bottom of the page]

but ...

$\frac{d}{dt} \left(\frac{1}{r^2} \right) = -\frac{2}{r^3} \frac{dr}{dt}$

Every thing is possible

If the degree of freedom is high enough, it is possible to find a function which satisfies the boundary conditions, the initial conditions, and the differential equation.

Example

$$\frac{nu}{x} = \dots \quad \frac{nu}{x} = \dots \quad \frac{nu}{x} = \dots$$

$$\frac{nu}{a+bx} = a+c$$

$$\frac{nu}{a+bx} = c$$

$$nu = \frac{ac}{1-bx}$$

from

$$Y = \frac{a}{1-bx} \quad x = \frac{Y}{a+bY} \quad nu = a \frac{Y}{a+bY}$$

function of x depends on the boundary conditions

the initial condition if $b \neq 0$, e^{ax} .

Let $\frac{du}{dx} = \dots$ (166) $n = \text{order of eq.}$
 $n = \text{number of } x$

Let $\frac{du}{dx} = \dots$

$$= a nu + b u'$$

$$\text{alternation } \frac{f(x)}{x} = a \quad \frac{f(x)}{x} = b$$

Suppose temperature is constant
and the volume is constant

Pressure is constant

$$\frac{dP}{P} = \frac{1}{\gamma} \frac{dV}{V} + \frac{1}{\gamma} \frac{dT}{T}$$

$$0 = -\frac{1}{\gamma} \frac{dV}{V} + \frac{1}{\gamma} \frac{dT}{T}$$

$$e^{-\frac{1}{\gamma} \ln(2\lambda - 1)}$$

$J_0 =$ solution count without the ...

... of ...

$$\frac{J_0}{\lambda} = \frac{1}{\lambda} \frac{dJ_0}{d\lambda} + \dots$$

... of ...

$$\frac{J_0}{\lambda} = \frac{1}{\lambda} \frac{dJ_0}{d\lambda} + \dots$$

$$\frac{J_0}{\lambda} = \frac{1}{\lambda} \frac{dJ_0}{d\lambda} + \left[\frac{J_0}{\lambda} + \frac{1}{\lambda} \frac{dJ_0}{d\lambda} \right] e^{-\frac{1}{\gamma} \ln(2\lambda - 1)}$$

$$\frac{J_0}{\lambda} = \frac{1}{\lambda} \frac{dJ_0}{d\lambda} + \frac{1}{\lambda} \frac{dJ_0}{d\lambda} = \frac{2}{\lambda} \frac{dJ_0}{d\lambda}$$

... of ...

... of ...

$$\lambda = \frac{1}{2} \left(1 + \frac{1}{\gamma} \right)$$

$$\lambda = \frac{1}{2} \left(1 + \frac{1}{\gamma} \right) = \frac{1}{2} \left(1 + \frac{1}{\gamma} \right)$$

... of ...

$$\lambda = \frac{1}{2} \left(1 + \frac{1}{\gamma} \right)$$

$$\lambda = \frac{1}{2} \left(1 + \frac{1}{\gamma} \right)$$

... of ...

... of ...

$$\therefore \frac{1}{\lambda} = f_c(X\lambda) = f_c\left(\frac{V\lambda}{\epsilon}\right)$$

... of ...

$$\therefore V = f_c\left(\frac{\lambda}{\epsilon}\right) = f_c(l_f)$$

... of ...

... of ...

... of ...

$$\therefore X = \dots$$

... of ...

... of ...

V

lf

+ volume ...

1. The first part of the paper is devoted to the study of the properties of the function $f(x)$ defined by the equation

The following are the results of the analysis of the soil samples taken from the site of the proposed development. The results are given in the following table.



in case of soil of low (10%)
 depth only 1/2 ft. of soil

The soil is a fine sand, which is very dry and hard. It is not suitable for the proposed development. The soil is very dry and hard, and it is not suitable for the proposed development. The soil is very dry and hard, and it is not suitable for the proposed development.

In case of soil of low (10%)
 depth only 1/2 ft. of soil

In case of soil of low (10%)
 depth only 1/2 ft. of soil

K ₁ (kN/m ²)	PL	1/2	1/2	K
1.2	1.2	1.2	1.2	1.2
1.2	1.2	1.2	1.2	1.2
1.2	1.2	1.2	1.2	1.2
1.2	1.2	1.2	1.2	1.2

then ... in steady state ...

$$i - T(V_0 - V_0) = \text{energy gain } \dots$$

$$K(i - T(V_0 - V_0)) = \dots \quad \frac{1}{1+K} = \dots$$

$$\sum \frac{1+K}{1+K} = \dots = \dots + \sqrt{1-K} \dots + \dots$$

$$V_0 \text{ linear function} = \dots$$

expansion

Result: ... ρ, λ ... \dots

$$V = \dots$$

cost

that for any ... $>$...

If ... then ...

$$\dots = 1$$

$$\dots = 1 - \dots$$

... the energy ...

$$\dots = \dots$$

$$i - T(V_0 - V_0) = \dots$$

$$\sum \frac{V_k}{1+K} = \dots$$

$$\frac{1}{1+K} = \dots$$

Result: ...

$$1 - \dots = \dots$$

$$\text{for } l=0 \quad V = \infty$$

$$V_k = \dots$$

1/10 1/2 amp on (NA 200)
200

240
430

NA 200

Zero

54

564

100

350

300

100

100

400

550

100

100

100

100

100 = 100 = 200

100

100

3/11

16000 on tube

310

337

317

348

320

401

401

508

503

102

715

750

750

750

750

750

750

750

750

750

750

750

750

750

750

750

750

750

750

750

750

750

2000 53

8000

1000

8000

1000

8000

1000

8000

1000

8000

1000

8000

1000

8000

1000

8000

1000

8000

1000

8000

1000

8000

1000

8000

1000

8000

1000

8000

1000

8000

1000

53 2000

53 2000

53 2000

53 2000

53 2000

53 2000

53 2000

53 2000

53 2000

53 2000

53 2000

53 2000

53 2000

53 2000

53 2000

53 2000

53 2000

53 2000

53 2000

53 2000

53 2000

53 2000

53 2000

53 2000

53 2000

53 2000

53 2000

53 2000

53 2000

53 2000

53 2000

53 2000

53 2000

53 2000

53 2000

53 2000

53 2000

53 2000

53 2000

53 2000

53 2000

53 2000

53 2000

53 2000

53 2000

53 2000

53 2000

53 2000

53 2000

53 2000

53 2000

53 2000

53 2000

53 2000

53 2000

53 2000

53 2000

53 2000

53 2000

53 2000

53 2000

53 2000

53 2000

53 2000

53 2000

53 2000

53 2000

53 2000

53 2000

53 2000

53 2000

53 2000

53 2000

53 2000

53 2000

53 2000

53 2000

53 2000

53 2000

53 2000

53 2000

53 2000

53 2000

53 2000

53 2000

53 2000

53 2000

53 2000

53 2000

53 2000

53 2000

53 2000

821 4 28

some 4 lamp on

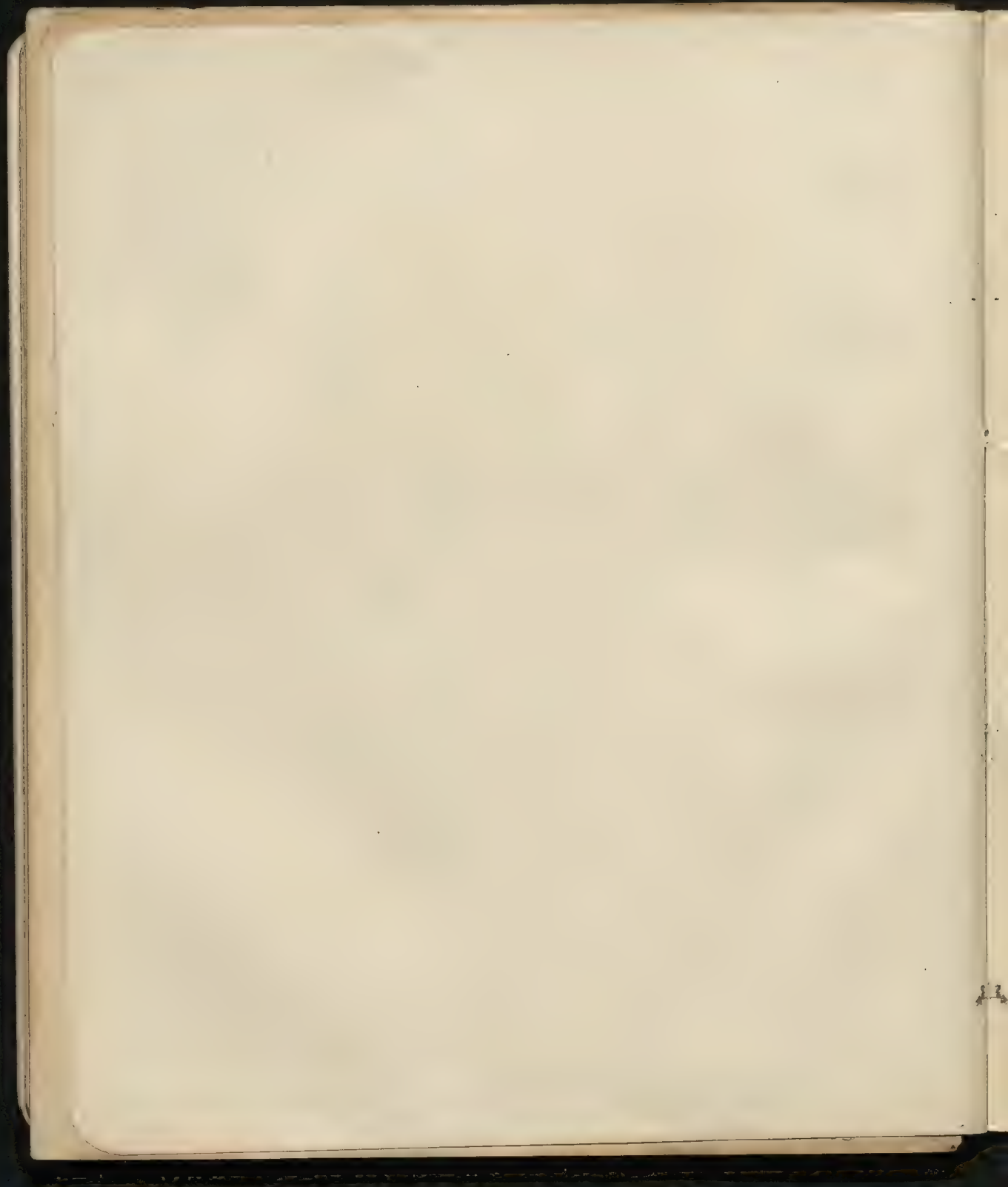
1000 400

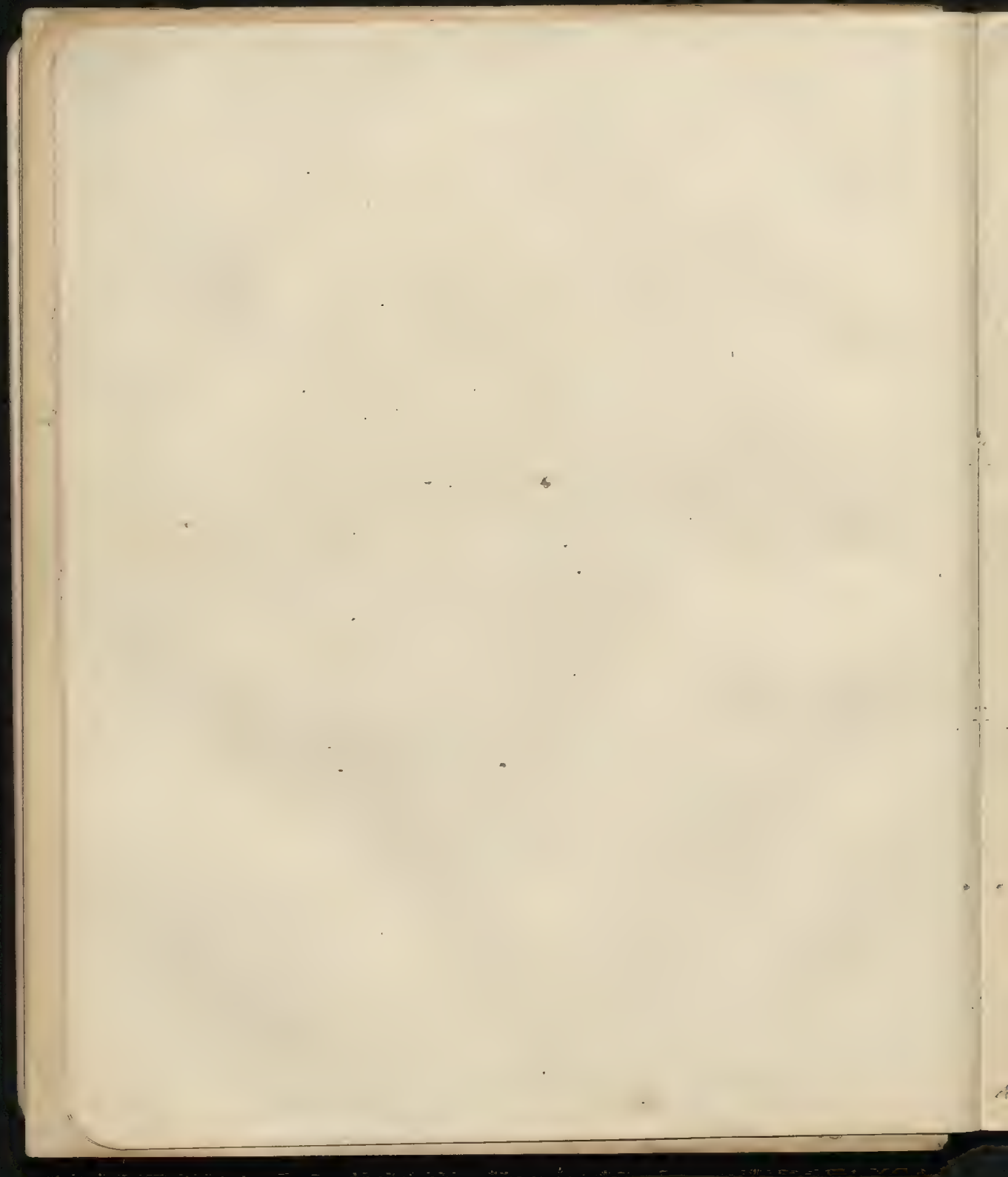
1000 400

1000 400

1000 400

1000 400





next
 4th 42nd
 1st 40

170	100
200	200
270	270
340	
410	
480	
550	
620	

next 400
 1st 0

100	100
200	200
300	300
400	400
500	500
600	600
700	700
800	800
900	900

1st 400
 2nd 400
 3rd 400
 4th 400
 5th 400
 6th 400
 7th 400
 8th 400
 9th 400
 10th 400

1st 400
 2nd 400
 3rd 400
 4th 400
 5th 400
 6th 400
 7th 400
 8th 400
 9th 400
 10th 400

1st 400
 2nd 400
 3rd 400
 4th 400
 5th 400
 6th 400
 7th 400
 8th 400
 9th 400
 10th 400

Chap. 4:10 (S. L. L. 4)

711

21-5
16

118
254
164
380
117
613
117
122
819
421
519
510
116
117
525
215

513
516
510
111
411
711
411
411
411

- 1111 1111
111
111
111
532
480
471
411
411

2000

1111
111
111
111
111
111
111
111

- 1114

x 7
111
111
111
111
111
111
111

X
 2/11/11
 657 12
 645 31
 619 42
 572 53
 519 54
 460 63
 387 60
 331 68
 263

8
 352 1.8
 406 2.6
 445 3.1
 475 4.1
 500 5.1
 525 6.1
 545 7.1
 565 8.1
 585 9.1
 598 7
 598

fresh machine
 2/11/11 620 29
 593 42
 554 48
 517 53
 480 55
 395 57
 308 57
 281 54
 227

8

X
 dark 580
 590

Amerson
 594 7
 560 30
 511 40
 452 50
 385 67
 313 72
 240

8

330 60
 370 46
 430 40
 476

1/11/11 650
 520
 460
 410
 325
 280
 453
 440
 430
 407

309
 280

[illegible]

ground 1

502	21
548	1
545	4
578	41
light	04
in case	71
dist. 14m	43
325	13
312	7
305	
527	
560	
570	
580	25
X dark	539
535	12
563	12
501	41
492	17
485	13
462	7
453	5
443	5
443	5

Shore Lighton 200	598	92
7	506	77
	429	25
	347	44
	200	
X	448	25
	619	21
	587	27
	581	12
	564	
	568	
	611	
	6308	
	628	131
glorification X	407	25
same date	342	141
	180	
light 100	607	87
	515	57
	450	60
	348	17
	315	11
	276	

479

480

481

482

250

251

252

253

254

255

256

257

258

259

260

Page 407

261

262

263

264

265

266

267

268

269

270

271

272

273

274

275

276

277

278

279

280

281

282

283

284

285

286

287

288

289

290

291

292

293

294

295

296

falling water 310

falling water 311

falling water 312

476

377

382

357

351

349

3485

30

311

312

313

320

411

2

551

1 56

571

6

531

1

511

511

511

511

16

11

445

457

401

311

464

211

40

210

211

212

111

214

310

111

410

411

611

131

Change in ... 11 1/2

... 400%

1) 12 24

...

...

...

...

...

...

...

...

...

...

...

...

...

...

...

...

...

...

...

...

...

...

55

35

25

...

...

48

7

1

1

1

...

...

51

...

...

...

...

...

...

...

...

85

50

13

46

48.5

8

1.5

-1

52

1

...

95

25

4

2

...

15

13

...

...

...

...

...

...

...

...

...

...

1000

1000

100

100

100

100 448

100

100 450

100

-200

100

100 462

100

100

100 474

100

100

100 486

100

100

100 498

100

100

100 510

100

100

100 522

100

100 534

100

100

100

100

100

100

501

513

100

+200

540

100 565

100 575

516 } 2415.25

100 592

20 600

100 590

40 600

3.5 = 1.1

20 592

10 600

100

100

30

290

2875

400

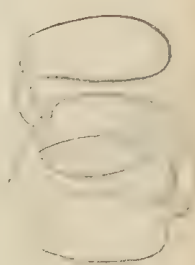
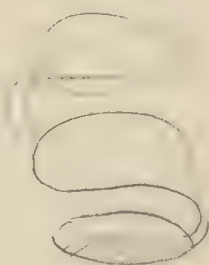
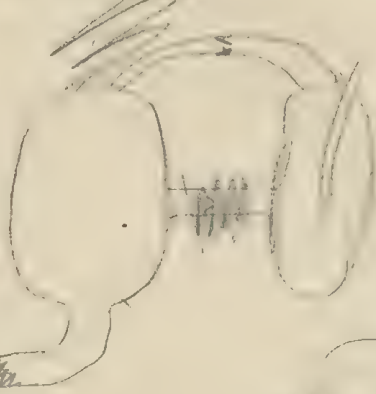
450

290

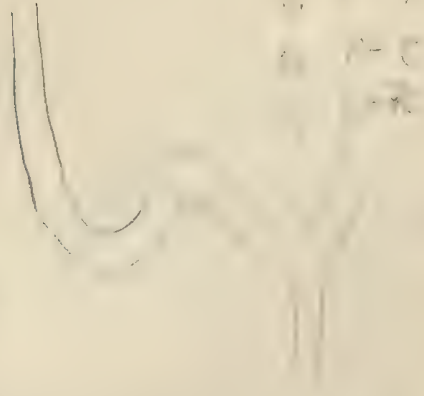
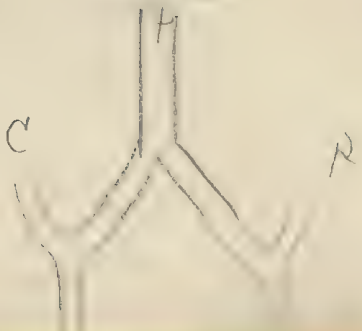
72

4725

4775



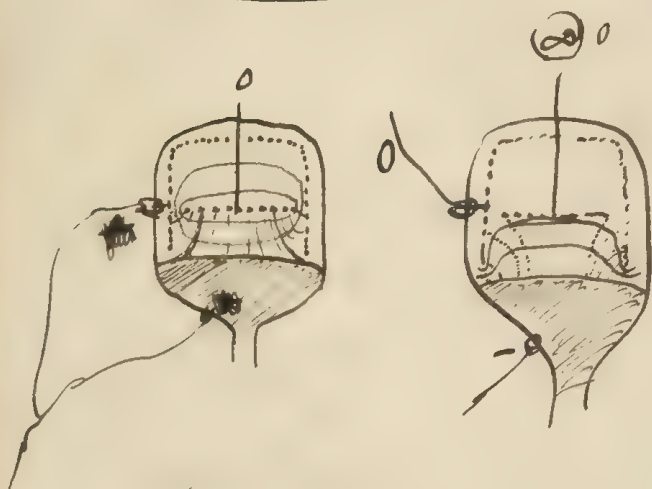
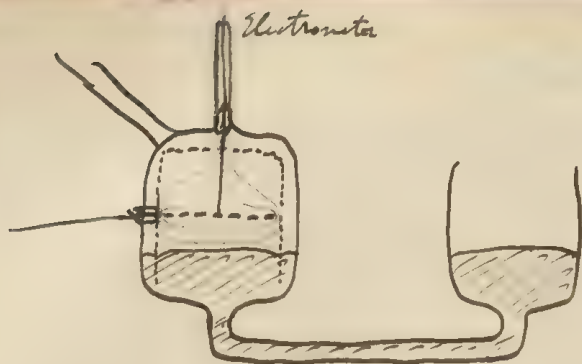
(1)

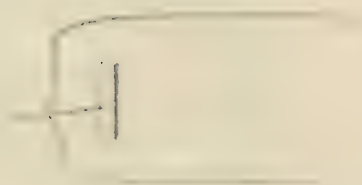
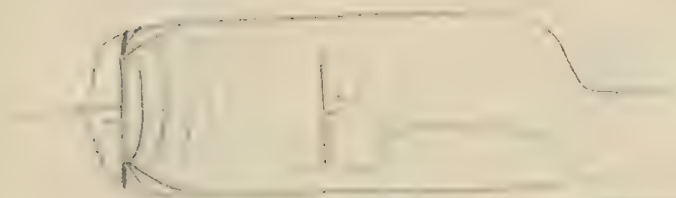
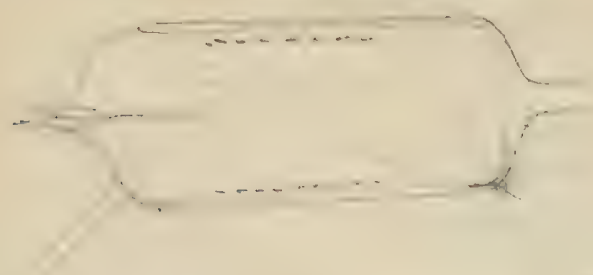


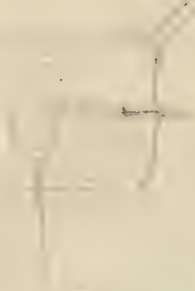
1 - R

1 - C

1 - R







$$\frac{1}{2} \cdot \frac{1}{2} = \frac{1}{4}$$

2

$$\frac{1}{2} \cdot \frac{1}{2} = \frac{1}{4}$$

$$\frac{1}{2} \cdot \frac{1}{2} = \frac{1}{4}$$

$$\frac{1}{2} \cdot \frac{1}{2} = \frac{1}{4}$$

$$\frac{1}{2} \cdot \frac{1}{2} = \frac{1}{4}$$

$$\frac{1}{2} \cdot \frac{1}{2} = \frac{1}{4}$$

$$\frac{1}{2} \cdot \frac{1}{2} = \frac{1}{4}$$

$$10^{-9} \text{ m} \rightarrow 10^{-10} \text{ m}$$

$$e = 3.15 \times 10^{-19} \text{ C}$$

$$n = 10^{20} \text{ m}^{-3}$$

$$p = 3.0 \text{ Pa}$$

$$\frac{\frac{2}{3} \frac{e^2 \epsilon^4}{V \epsilon^2}}{\frac{1}{2} \frac{e^2 \epsilon^4}{V \epsilon^2}} = \frac{2}{3} \frac{e^2 \epsilon^2}{V \epsilon^2} = \frac{2}{3} \frac{e^2}{V}$$

$$i = 10^{-20} \text{ A}$$

$$j_{\text{max}} = V$$

$$\frac{2}{3} \frac{e^2}{m} \frac{1}{V}$$

$$\frac{e}{m} = 10^{-18} \text{ C/kg}$$

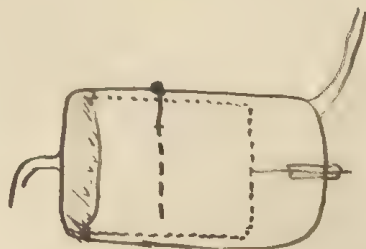
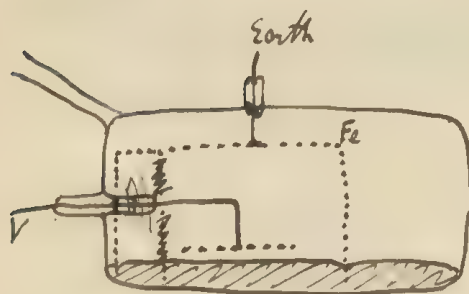
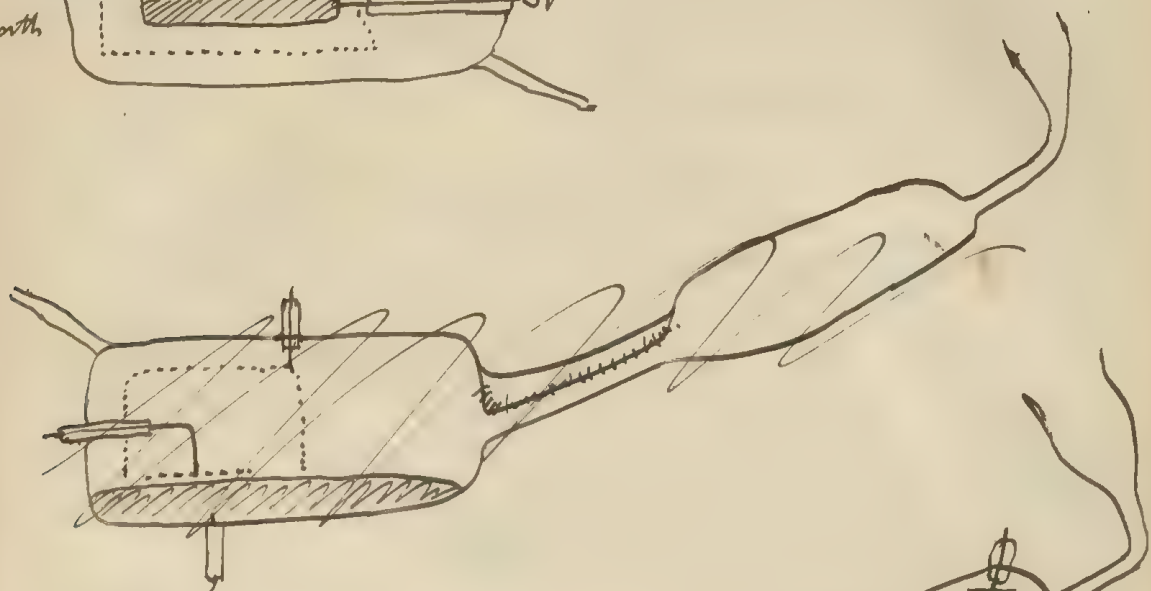
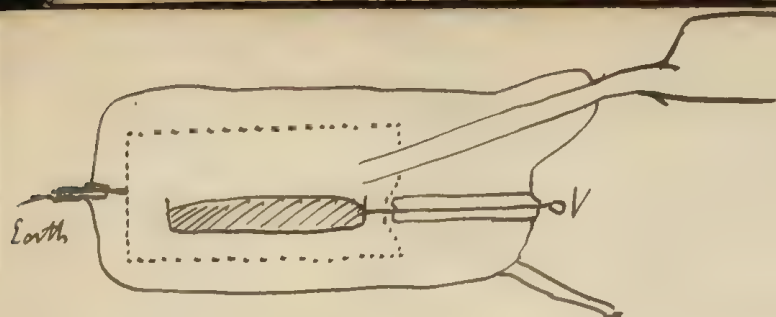
$$1.0 \cdot 10^{-18} \cdot \frac{1}{1.0 \cdot 10^{-10}} = 1.0 \cdot 10^{-8} \text{ C/kg}$$

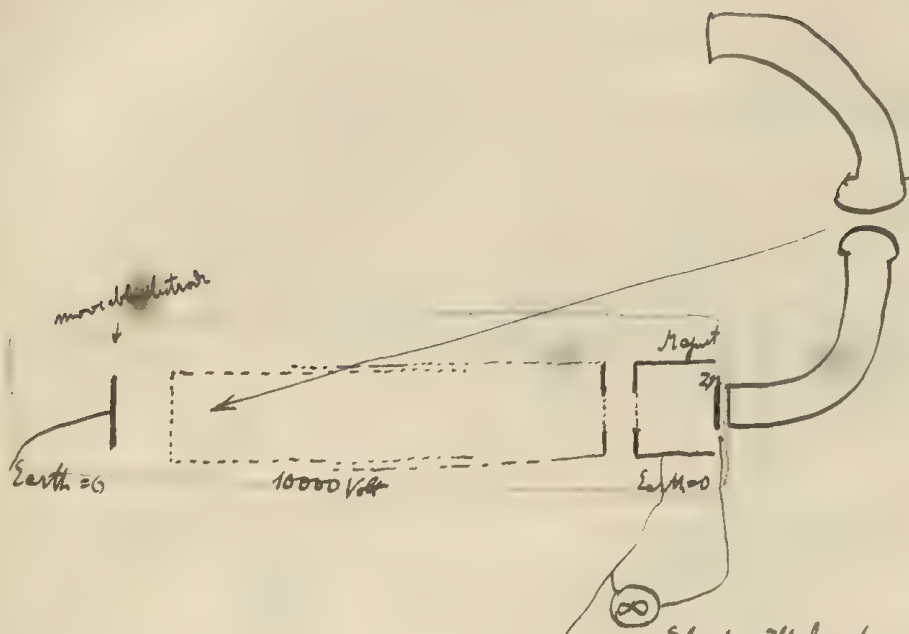
$$n = \frac{1}{V}$$

$$\frac{2}{3} \frac{e^2 \epsilon^2}{m^2 V} = \frac{2}{3} \left(\frac{e}{m} \right)^2 \frac{1}{V}$$

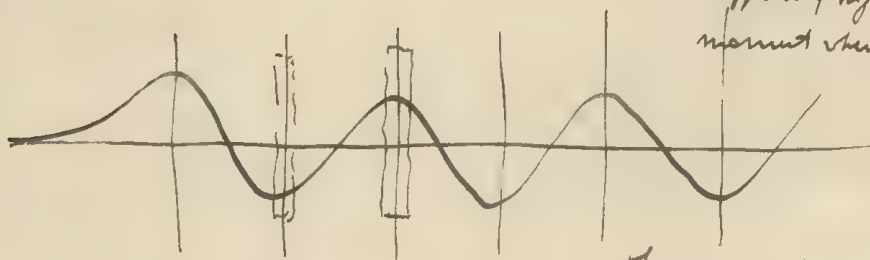
$$= \frac{2}{3} \frac{e^2}{m^2} \frac{1}{V} = \frac{2}{3} \frac{e^2}{m^2} \cdot 10^{-20} \text{ m}^3$$

$$\frac{e^2 \epsilon^2}{m^2 V} = \frac{2}{3} \frac{e^2}{m^2} \frac{1}{V} = \frac{2}{3} \frac{e^2}{m^2} \frac{1}{V} = \frac{2}{3} \frac{e^2}{m^2} \frac{1}{V}$$





Elect. will be charged only if Zn has
a sufficiently high positive potential in the
moment when the corpuscles reach it.

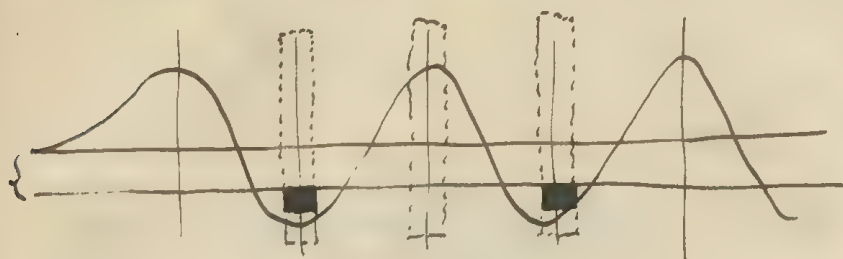


The zero points of wave are not favourable
for charging, will be minima.

Observation of maxima & minima of effect

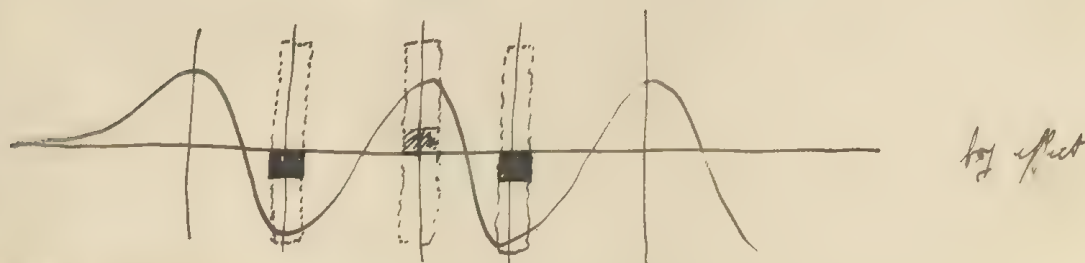
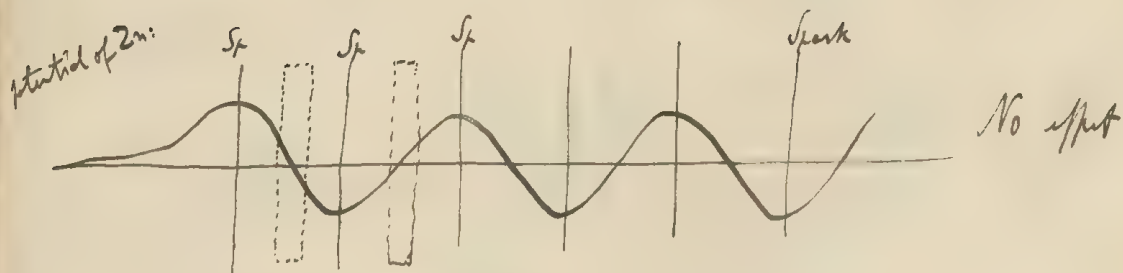
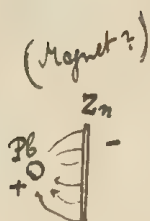
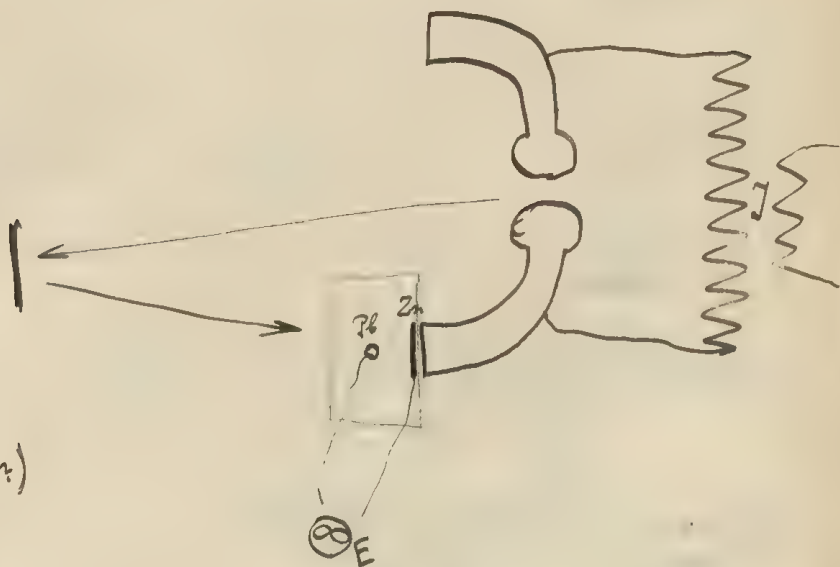
Wave length of vibrator

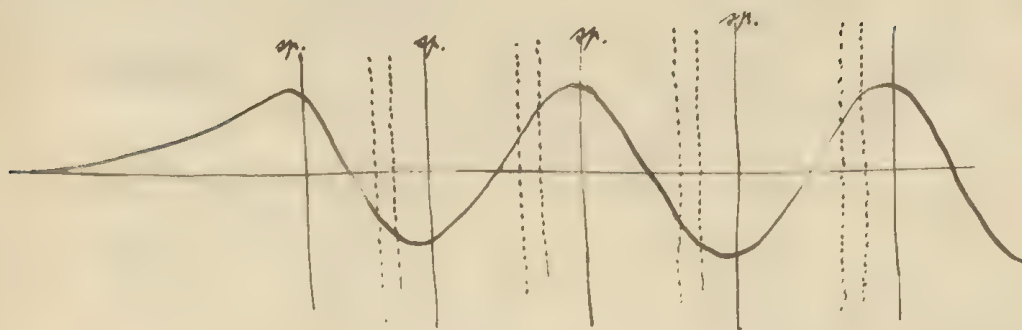
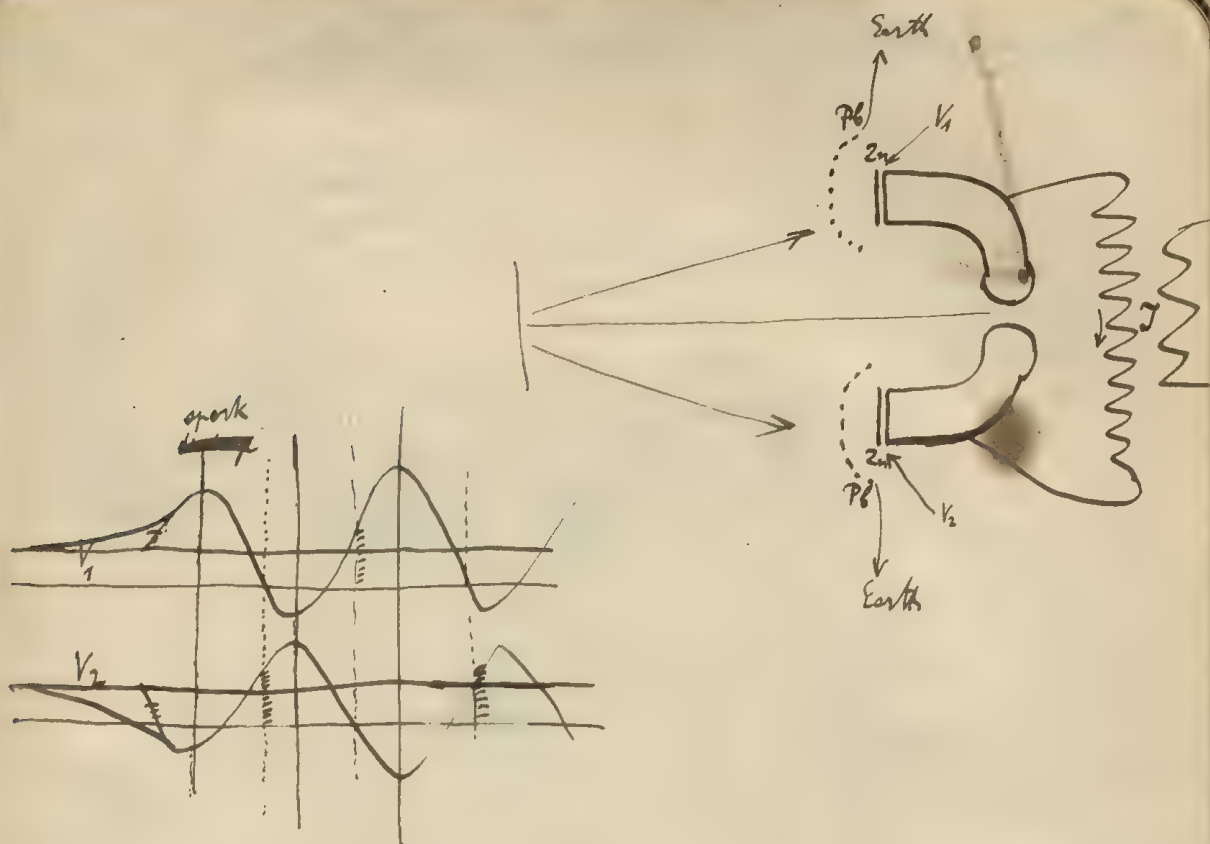
More accurately by adding an electrometer force between $2n$ and E :



Residual effect

If emission of cathode rays is only temporary while light acting





Kay

$$M \frac{dx}{dt} = -\alpha x - \beta \frac{dx}{dt}$$

$$\frac{dx}{dt} = -\frac{\alpha}{M-\beta} x$$

$$x = e^{-\gamma t} \cos \omega t$$

$$\frac{dx}{dt} = -e^{-\gamma t} [\gamma \cos \omega t + \omega \sin \omega t]$$

$$a \frac{dx}{dt} = e^{-\gamma t} [\gamma \cos \omega t - \omega \sin \omega t]$$

$$\gamma^2 - \omega^2 = \frac{\alpha^2}{M^2} + \frac{\beta^2}{M^2}$$

$$2\alpha\beta = +\frac{\beta}{M} \alpha$$

$$\frac{\alpha^2}{4M^2} + \frac{\beta^2}{M^2} - \frac{\gamma^2}{4M^2} = \alpha^2$$

$$\alpha = \sqrt{\frac{\gamma^2}{M} - \frac{\beta^2}{4M^2}}$$



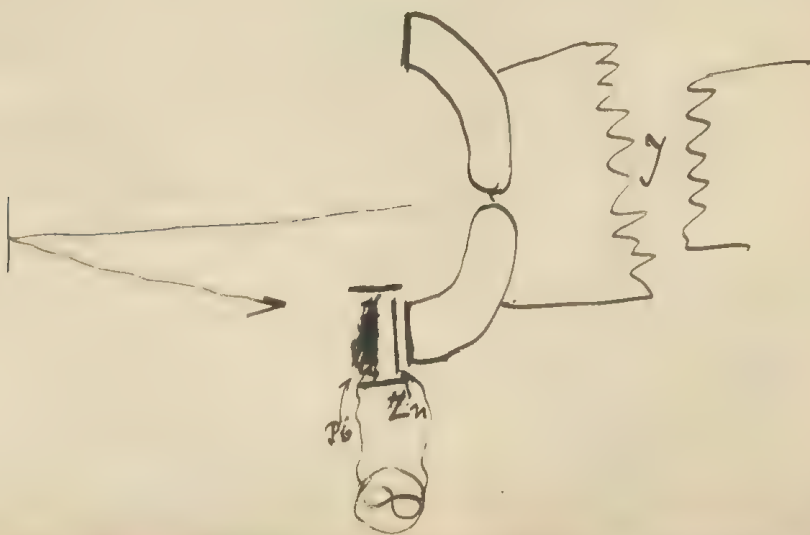
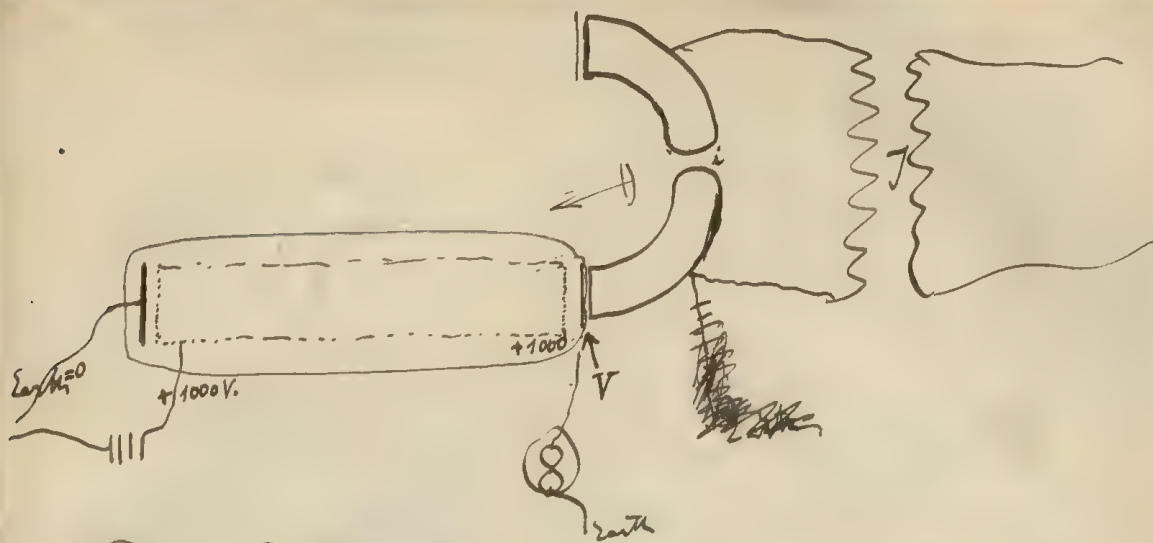
$$e^{-\gamma t} \cos \omega t$$

$$-\gamma e^{-\gamma t} \sin \omega t + \omega e^{-\gamma t} \cos \omega t$$

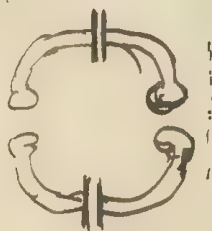
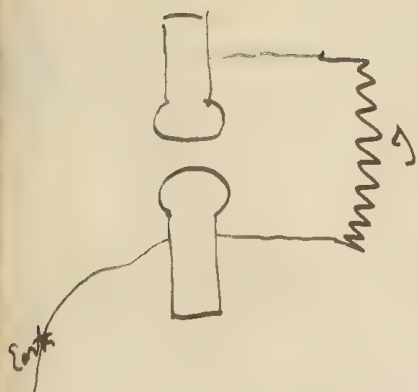
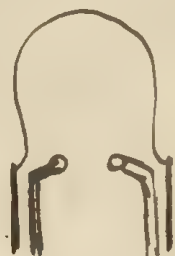
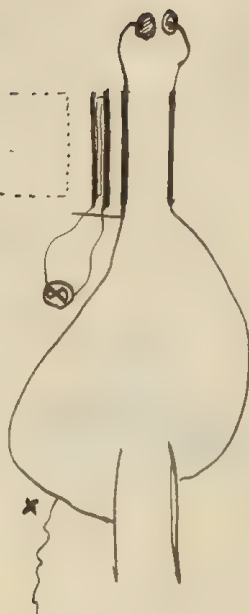
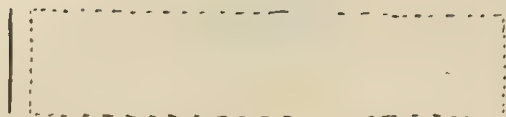
$$\gamma e^{-\gamma t} \cos \omega t - \omega e^{-\gamma t} \sin \omega t$$

$$\gamma = \frac{\alpha}{2M}$$

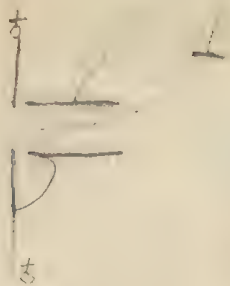
$$\omega = \sqrt{\frac{\beta^2}{4M^2} - \frac{\alpha^2}{M^2}}$$



+ → -
-



significant double layer of ...
must ...



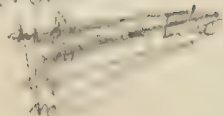
$$m \frac{dy}{dt} = e E = n \frac{dy}{dx} \frac{dx}{dt} = m c \frac{dy}{dx} \quad \text{...}$$

$$\dots = m c \dots$$

$$m \frac{dy}{dt} = e c H = \frac{m c^2}{R}$$

$$\frac{c H}{E} = \frac{R}{a}$$

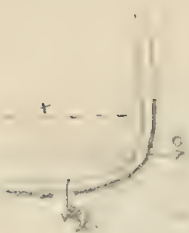
... ..



$$\frac{m c^2}{2} = \angle E \dots$$

$$\angle E = \frac{c^2}{2} \frac{m}{a}$$

$$\dots = \angle E \dots$$



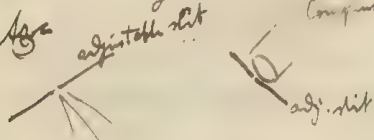
If really the optical constants are altered, (and probably most for those rays which are efficacious in production of cathode rays) then they must depend on the strength of the incident light itself!

This would be demonstrated easier by measuring the ellipticity with strong.

2 weak light.

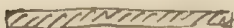
fig

adjustable slit



Comparison with Mich

adj. slit



Does UVL produce a change in the optical contents of metals?

- a). generally, by increasing the number of free electrons and conductivity therefore (very small?)
- b). by spluttering several kinds of atoms, of certain vibrations, probably the same, which have corresponding frequency of vibration

Index of refraction, ^{1).} absorption, ^{2).} ellipticity, ^{3).} (angle of principal ~~is~~ principal element)
^{4).} reflective power

Only relative measurements with & without rays.

~~the~~ 1). Unprotected

2).

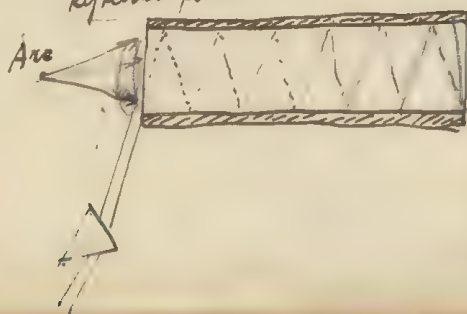
transparent layer →



Photometer (or photophotometer)
with ~~adjustable~~ adjustable slit,
upper part of slit exposed to U.V.L.
lower not " "

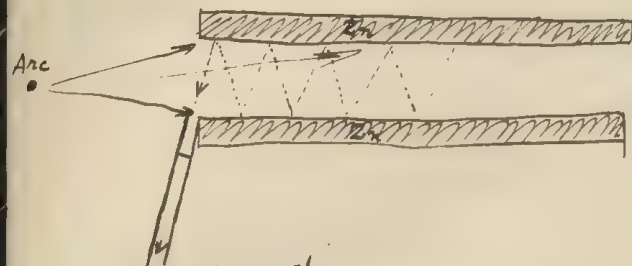
(Probably most sensitive method:
Reflection power

4).



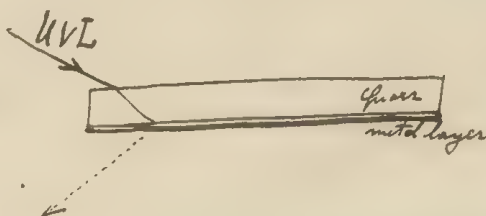
source
of light (to be measured)

Is Phosphorescence produced by UVL on metals?

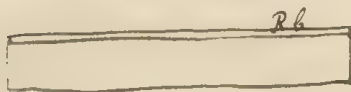
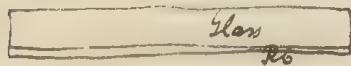


eye or thermopile
phosph. screen, (bolometer)

In transparent light:



It is with Rb in vacuo



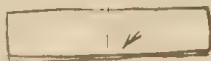
4.

Optical constants.

Ellipticity (^{exp. of} independent, assumed principal)

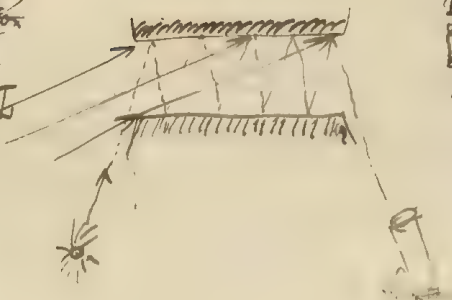
Direct measurements of n (index of refraction) and k (absorption) in thin layers
unpractical

Absorption | WVL

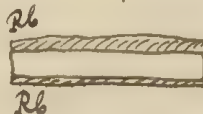


~~Index of refraction~~
~~Index of absorption~~
 Reflective power

WVL



Q. thin: Quare plate, covered with metal?



WVL

but absorption of WVL in the thin layer!

Superficial changes of metals, while emitting cathode rays under action of UVL.


Conductivity of transparent metallic layers, is it changed by UVL?

Free Surface (in air) may change rapidly by the action of UVL

But metallic layer deposited on quartz plate and shone on from behind?

(Thomson's theory of metallic conduction: Reports Congress II p. 138)

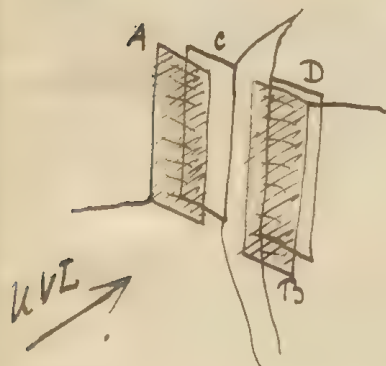
When UVL produces cathode rays, there ought to be produced Röntgen rays too.

 transparent layer of Rb or other metal
UVL

To Au-glass (Goldrubin) (with ultra-microscopical particles of Au; not undergoing chemical change in UVL? or phosphorescence?)

The emission of cathode rays by WL, does it depend on strength of electric field outside or not?

1. If not, then the ^{quantity of electricity carried away by WL} ~~deposition of electric charge~~ in vacuum must be independent of difference of potential [except contrary EMF sufficient to throw them back]
throwing out
2. Then the amount of work necessary for ~~tearing~~ ^{throwing out} the particles would be calculated from measurements of ^{their} velocity at different strengths of field (Lenard).
3. If, on the contrary, the strength of electric field has an influence on the amount of particles torn off ~~then~~ ^{extended} (what can be shown by (1)), then the work required to tear off the particles can be shown by the following arrangement



~~WL~~
WL falls through the two similar metallic
nets A B on the similar ^{metal} plates C D the resistance
of which is measured by bridge method (like bolometer)
A has the same potential as C
B has a possibly great difference of pot. versus D
All in vacuo

Will there arise any diff. of temp. in C, D (cooling of the
plate D)

$$\frac{0.017}{100} \frac{\text{g cal}}{\text{sec}} = \text{radiation } 1^\circ \text{ against } 0^\circ$$

$$= 7 \cdot 10^3 \text{ Erg}$$

$$v = \sqrt{2 \frac{e}{m} V}$$

$$\frac{e}{m} = 10^7 \text{ (cm)}$$

$$V = \frac{1}{2} \frac{m}{e} v^2$$

$$v = 10^{10}$$

$$e = 3 \cdot 10^{-10} \text{ (stat)}$$

$$V = \frac{1}{2} 10^{-7} \cdot 10^{20} = \frac{1}{2} 10^{13} = \frac{10^5}{2} \text{ V}$$

$$= 50,000 \text{ V}$$

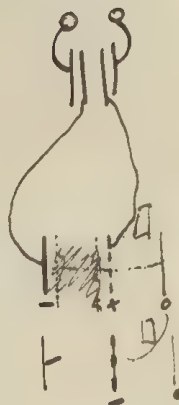
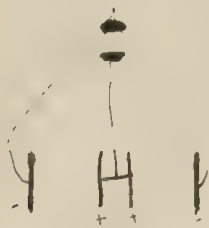
$$= 10^{-20} \text{ (cm)} = 10^{-19} \text{ Coulomb}$$

$$10^6 \text{ Amp.} = n e$$

$$n = 10^{13}$$

$$\text{if } v = 10^9$$

$$\frac{1 \text{ cm}}{10^9}$$



$$\frac{g^3}{x^2 g} \Big/ \frac{g c}{g c} t = \tau$$

$$\frac{e}{m} = 10^7$$

$$\frac{e^2}{V m} = \frac{10^{-20} \cdot 10^7}{3 \cdot 10^{10}} = \frac{10^{-23}}{3}$$

$$10^6 \text{ Amp.} = 3 \cdot 10^3 \text{ (stat)} = i$$

$$E = i \tau$$



alternating
intermittent current 10^6 Amp.

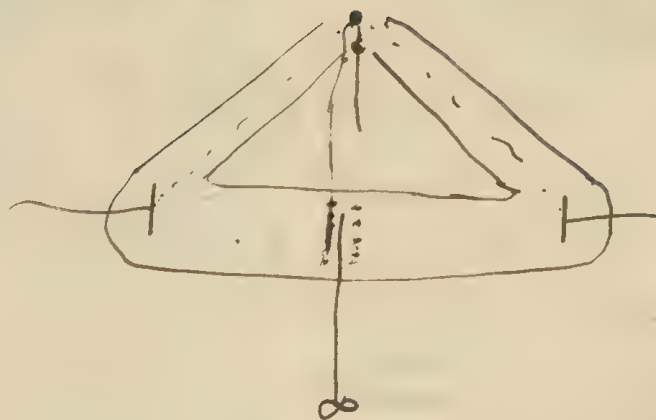
1 m

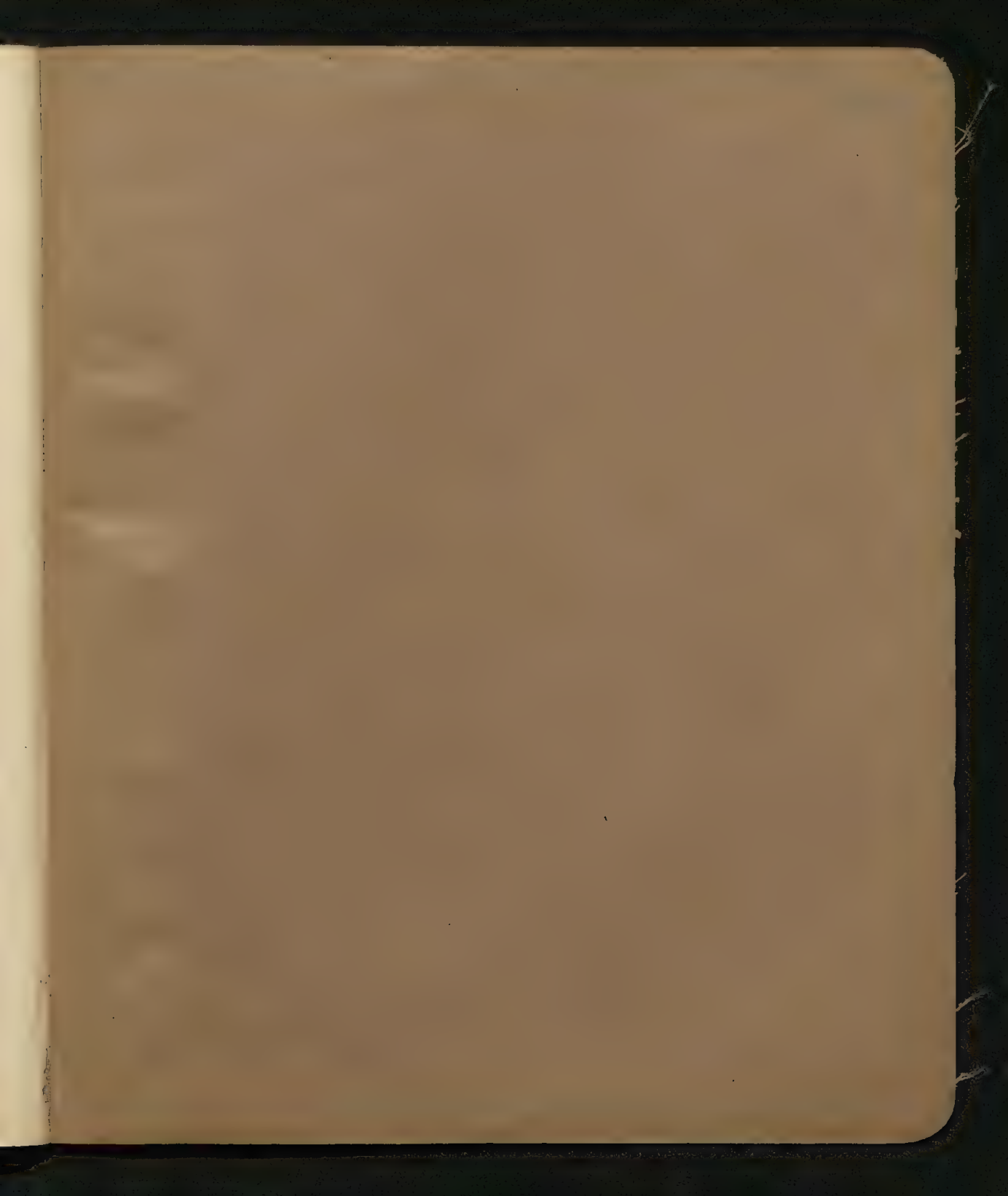
10⁻¹⁴ Gm

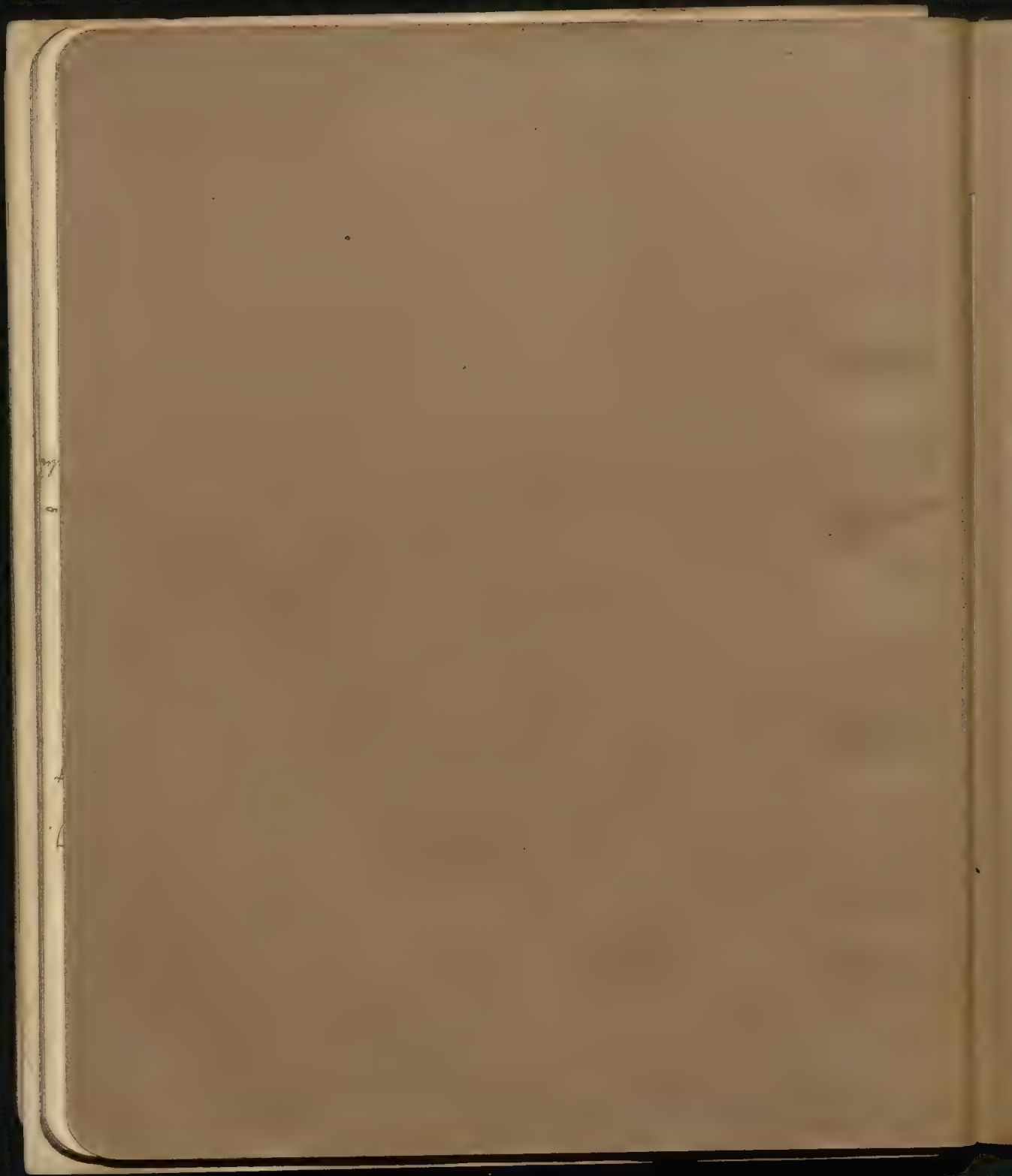
$$1000 \times 10^2 = 10^{-14}$$

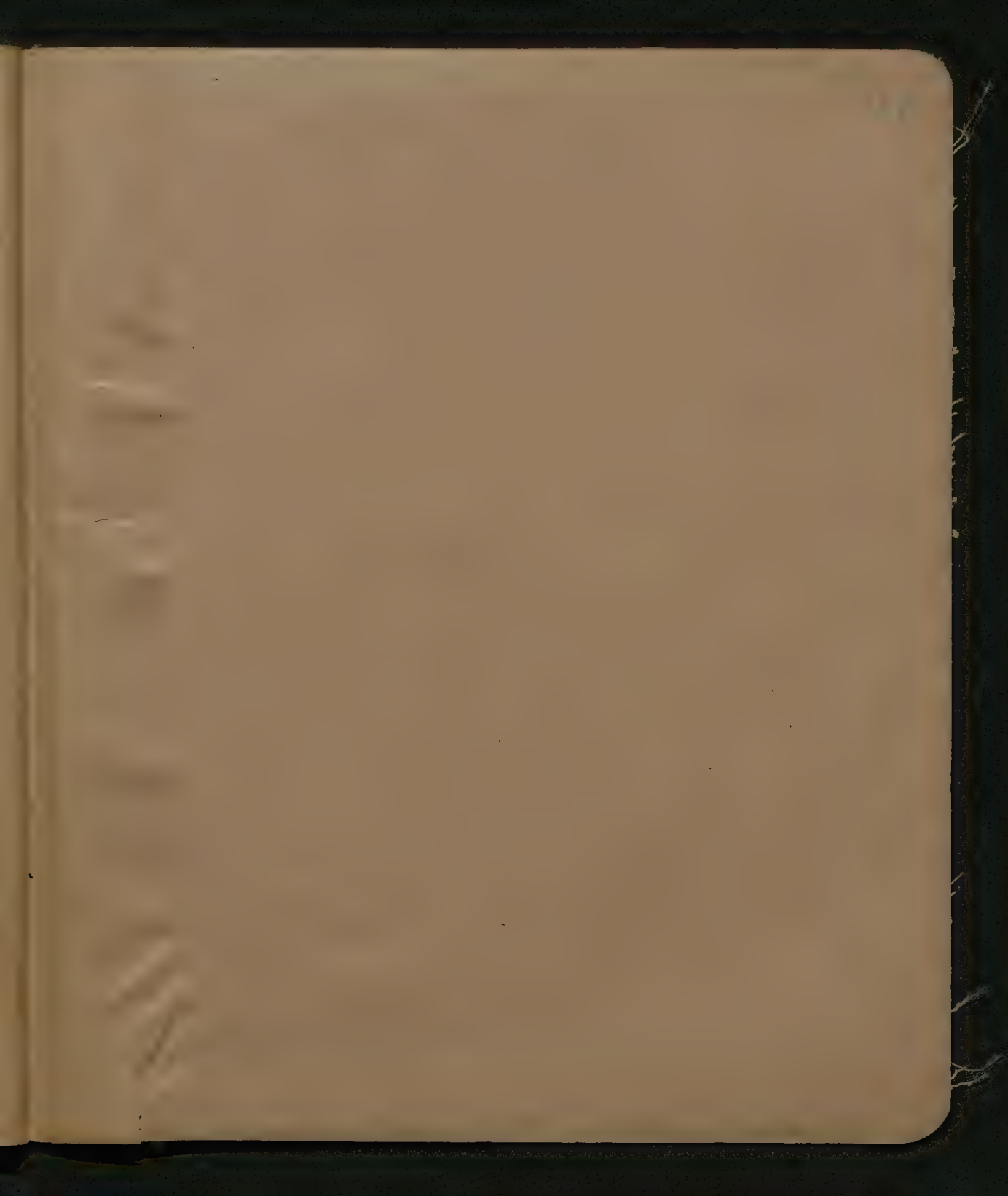
$$10^{-14} \times 10^{-14} = 10^{-28}$$

10⁻¹⁴ Gm









(PAT) Sekretar...
venol zapowiedzia...
a. Przybędzie on 10 grudnia...
I odbynie 4 dni, w czasie k...
wczepujące rozmowy z cz...
wyjaskiego. Dzienniki przewidyj...
on rozmów będzie m. in. kw...
nia Ligi Narodów.

nie Reichstagu.

...m z Hamburga i Holmann z Królewca u...
apelując wywoły Hellera przytracając dla...
instruowania całego sztafru rewolucyjnych...
wystąpien komunistów wszystkie wydatzenia...
okalne. Daje to Dymitrowi powód do nowych...
asłych ataków pod adresem władz śledczych...
przeżyciem stwierdza jednocześnie, że nie ko...
namiżan winien rozruchom, lecz napastników...
należy szukać w szereżach wojujących narno...
dowych socjalistów. Torgler: Czy świadekowi...
znane są wypadki z 6, względnie 7 listopada...
1932 roku, jakie wydarzyły się w Królewcu...
podczas których zabici zostali na ulicy dawaj...
wybitni przywódcy komunistyczni. Pytam się...
dalego, że panowie stale obciążacie komuni...
stów, podczas gdy faktycznymi sprawcami...
byli narodziwi socjaliści. Świadek Holmann

auer.
Warbu...
sno, w...
sko-amer...
osiągnie...
niez, że 3...
wypowiedzi...
międzynarod...
że w Kongres...
przewidujące...
go senatorowi...
podają projekt...
tów za unję. Rozw...
krycia srebrni emi...

Nie będzie dals.

(PAT) Daily Telegr...
korespondenta wr...
że już od 6 dni cen...
je niezmieniona. Ta...
wania złota przez rz...

9409

II

167

$$m(c_p - c_v) = C = 1.96 = m c_p (1 - \frac{1}{\gamma})$$

$$CO_2: m = 44$$

Willner: $\gamma_0 = 1.311$ $\frac{1.1760}{88240}$ $\frac{10857}{89143}$

$\gamma_{100} = 1.284$ $\frac{1}{\gamma} = 0.7628$ 0.7788

$\frac{1}{\gamma} = 0.2372$ 0.2212

$$\begin{array}{r} 0.878 \cdot 1.311 \\ 5634 \\ 188 \\ 18 \\ \hline 0.2462 \end{array}$$

$$c_p = \frac{1.96}{m(1 - \frac{1}{\gamma})} = \frac{0.49}{11} \cdot \frac{1}{1 - \frac{1}{\gamma}}$$

$$0.878 : 1.311 = 0.6696$$

$$\begin{array}{r} 5670 \\ 426 \\ 33 \\ 7 \end{array}$$

$$\begin{array}{r} 69020 \\ 04139 \\ \hline 64881 \\ 37511 \\ \hline 27370 \end{array} \quad \begin{array}{r} 64881 \\ 34479 \\ \hline 30402 \end{array}$$

$$\alpha_{\gamma_0} = 0.1878$$

$$c_{p100} = 0.2014$$

Willner berechnet

$$2014 \cdot 1284 = 1569$$

$$\begin{array}{r} 730 \\ 88 \\ 11 \end{array}$$

$$c_p \sim \frac{1}{1 - \frac{1}{\gamma}} = \frac{\gamma}{\gamma - 1}$$

$$c_v = c_{v0} (1 + \frac{\alpha t}{100})$$

$$c_v \sim \frac{1}{\gamma - 1} \quad \left(\frac{c_{100} - c_0}{c_0} \right)_v = \alpha \left(\frac{t}{100} \right)$$

Willner: $\frac{49276}{50724}$ $\frac{45332}{54668}$ $\frac{48572}{-50724}$

$\frac{3215}{3215}$ $\frac{3521}{3215}$ $\frac{9785}{306}$

$$\alpha = 95.2\%$$

Willner

Reynold: $c_p = \frac{m c_p - C}{m} = c_p - \frac{C}{m}$

$$\frac{C}{m} = \frac{1.96}{44} = 0.04455$$

$$\frac{0.1870}{0.1425} = 1.311$$

$$(c_{100} - c_0)_v = (c_{100} - c_0)_p$$

$$\begin{array}{r} 2145 \\ 1870 \\ \hline 0275 \\ 1425 \end{array} \quad \begin{array}{r} 2169 \\ 1952 \\ \hline 0217 \\ 1507 \end{array} \quad \begin{array}{r} 43933 \\ 15381 \\ \hline 28552 \\ 193 \end{array} \quad \begin{array}{r} 33646 \\ 17811 \\ \hline 15835 \\ 144 \end{array}$$

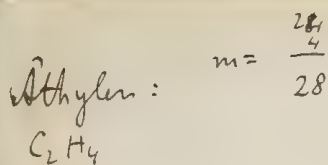
$$\alpha = 19.3\%$$

Reynold

$$\alpha_{\text{Wiedem.}} = 14.4\%$$

$$\frac{0.1952}{0.1507} = 1.295$$

Wied



Wälker: $f = 1.245$
 1.189

$$\begin{array}{r} 38917 \\ 61083 \\ \hline 54082 \end{array} \quad \begin{array}{r} 27646 \\ 72354 \\ \hline 65291 \\ 4082 \\ \hline 01209 \end{array}$$

$$\begin{array}{r} 18243 \\ 61083 \\ \hline 47160 \end{array}$$

$\alpha = 29.62\%$

Wiedner: $c_f = 0.3364$
 0.4189

$$\begin{array}{r} 0825 \\ 2664 \\ \hline \end{array} =$$

$1.96 : 28 = 0.49 : 7 = 0.070$
 2664

$$\begin{array}{r} 91645 \\ 42553 \\ \hline 49092 \end{array}$$

$\alpha = 30.97\%$

Reibungs Coefficient: 0.000

168

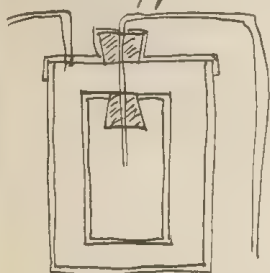
Graben - OE Meyer K_u W_i
(17.50) (15.0)

Luft	[191]	179
O ₂	212	
N ₂	184	
H ₂	0.93	92.3
CO ₂	160	152
CO	184	
CH ₄	120	
NH ₃	108	
H ₂ O	97.5	97.5
C ₂ H ₄	109	

Literatur über Wärmeleitung

Winkelmann Pogg. Ann. 156, p. 497

Benutzt Apparate von Stefan's Form:



Ressing cylindrisch durch Kanten des Klotzes geschützt mit
Glas Röhre als Vertikal; Luftthermometer

↓
dickwandig; $w_{\text{el}} = 15-2 \text{ mm}$ pag 504

Strahlungsdimensionen nicht nach Nav's Methode durch

Ausspannen der Luft, weil nicht genügend dicht, sondern durch Berechnung
s. Apparate vgl. Dimension

Apparat

	I	II	III	IV	V
$n =$	1.8327 cm	←	1.384	←	1.8282
$n =$	10.043	←	9.057	←	9.996
$R =$	2.1467	3.3947	2.155	3.403	2.155
$R_{\text{el}} =$	267.31 gr.	←	182.85	←	105.739

$$H = h + 2(R - r)$$

Einfluss der Strömungen: Luft

$\lambda =$	749 mm	138	2.93 mm	
I: $v_{\text{hge}} =$	0.000509	501	480	
	751	49.6	5	
II	239	155	155	
	748	43.3	13.1	1
III	277	260	260	259
	735	4		
IV		161		

163

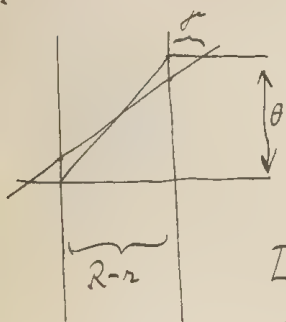
IV 722

simp!

Vitruv's Corollary in Bezug nicht eingebracht, byzantinisch Abt. v. vorausgesetzt
Zuschluss Vergleich mit Clausen's & Nozwick's Theorie; Resultate werden besprochen.

Bemerkung:
In Bezug auf Temperatursprung:

H:



~~μ wird in $\frac{L^* - L}{L}$ eingesetzt wie:~~

$$\frac{R-r}{L} = \frac{R-r}{L^*}$$

$$L^* \propto \frac{\theta}{R-r}$$

$$L \propto \frac{\theta}{R-r+2\mu} \quad \text{also} \quad \frac{L^*}{L} = \frac{R-r+2\mu}{R-r} = 1 + \frac{2\mu}{R-r}$$

Somit $\mu = \frac{R-r}{2} \left[\frac{L^* - L}{L} \right]$ da L nicht aber proportional $\propto \theta$

$$R-r = 0.314 \text{ cm}$$

$$\mu = 4.7: \quad \mu = 0.157 \cdot \frac{32}{258} = \frac{0.157 \cdot 16}{129} = \frac{1054}{129} = 0.01948$$

$$3.0: \quad \mu = 0.157 \cdot \frac{45}{245} = 0.157 \cdot \frac{9}{49} = 0.0288$$

$$1.92: \quad \mu = 0.157 \cdot \frac{74}{246} \cdot \frac{37}{108} = 0.0538$$

Probe: $\mu = 0.0916$
 $\begin{array}{r} 864 \\ 0.1033 \\ \hline 2813 \end{array}$ } Mittel: 0.0928

Somit $\mu = 0.000122 \text{ cm} \cdot \frac{760}{T}$

Was ~~hier~~ bis auf 6% mit dem von mir

gefundenen Werte übereinstimmt!

Luft: $\frac{21}{480} \cdot 0.157 \cdot \frac{293}{760}$

475

Berechnung ungenau; nichtberücksichtigung der Veränderung von k mit Temp.
ungenauere Berechnung des Wärmeflusses (siehe Kuntze)

Wurde der Kartschukstempel hier benutzt?

Skizzen bildet eine sehr große Fehlerquelle, wenn man $\rho = 0.4$ cm annimmt, bis zu 10%!
etc.

Zur Vermeidung der Temperatur-Abhängigkeit wurden Glasapparate benutzt


$$R - r = 0.318$$

II 1.294

IV 1.247 cr.

0.142

1' 109

8/22/12
 858664
 158464

Interakt. wurde Mäßig. $\alpha = 7.5$ $180 - 80$ [Dad=0] und $118 - 108$ [Dad=100] $\alpha =$

Apparatus I: CO_2 in H_2O		Luff		H			
$P = 750$	5	750	2	750	98	2	065
$r_{\text{H}_2\text{O}} = 0.0003265$	3186	4380	4328	0001952	1924	1588	1322

in solid form:

$x = 100$	$- 100$	98
6312	7550	2748

Danke.

171

Die Berechnung der Temperatur Coefficienten ist ganz iustitios
 stützt sich auf die unbedingten Voraussetzungen der Gleichheit für Luft und Wasser
 Glasleistung enorm groß
 Resultate der verschiedenen Apparate stimmen schlecht
 zur Wärme-Menge des Hg unbekannt etc

Zu Beginn auf Temperaturerhöhung:

Apparat I:

für H: $\gamma = 2$ $\gamma = 0.159 \frac{346}{1588} = 0.0346$

$\gamma = 0.65$ $\gamma = 0.159 \frac{612}{1322} = 0.0736$

γ
0.0692
0.0478

~~Das~~ Das geht nicht so einfach weil bei γ noch sehr viel Störfaktor

Angenäherte Rechnung: $\frac{19340 - x}{4328 - x} = 6.33$ eigentlich noch mehr nach Winkel 19538

$19340 - x = 6.33 \cdot 4328 = 6.33x$

$5.33x = \frac{25968}{12984}$

27396

19340

$x = \frac{8056}{2726} \cdot 5.33 = 1511$

Somit:

$\gamma = 2$ $\gamma = 0.159 \frac{346}{1437} = 0.0383$

$\gamma = 0.65$ $\gamma = 0.159 \frac{612}{1071} = 0.0831$

γ
0.0766
0.0540

stimmt also recht schlecht
 allerdings ist R-z sehr unklar
 ebenso auch L selbst

Apparat II

$$\frac{228}{224} = \frac{4}{4}$$

$$\rho = 0.555 \cdot \frac{4}{224} = \frac{1.11}{112} = 0.0100$$

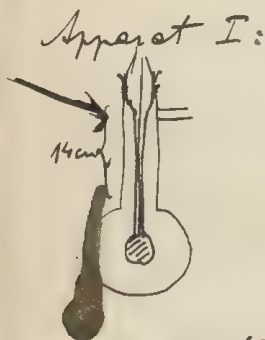
$$\rho_f = 1.036$$

Im ^{Fig. 550} linken Teil des Füllers in Kunt & Warburg ausgefüllt, und durch

$$\frac{k_H}{k_{\text{Luft}}} = 6.54 \text{ nach K \& W. und nicht 7.1 wie sie angegeben}$$

(die Werte für H wurde nicht auf 0 reduziert)

Kunt & Warburg Fig. 8 Nr. 156 p. 177



Apparat I:

$$r = 0.461 \text{ cm}$$

$$p = 1 \text{ mm}$$

$$R = 2.972$$

$$P = 0.55$$

Ia

} Zylinder Gefäß

II

$$r =$$

$$p = 2.5 \text{ mm}$$

$$R = 3.1 \text{ cm}$$

III

Wille & Theng.

Resultats: I

Luft: $\rho = 760$	$t = 171$
148	234
19.5	277
9	277
4	278
0.5	280

II

760	225
154	313
9.8	363
4	369
1.3	364

III

760	219
154	223
9.8	225
4	226
1.26	225

Silt immer für Abkühlung von 59.3° auf 19.6°

CO₂:

I

760	203
155	274
77	349
150	350
0.5	355

II

760	277
150	380
9.5	460.5
4.5	459
1.26	470

III

760	261
150	300
9.5	306.5
4.5	295
1.26	302

H₂:

760	59.5
154	66
8.8	68
3	72

760	81.5
150	90.5
9.2	92
5	95
0.9	105.5

760	46
150	45.5
8.3	49.5
4.4	51
1.26	66.5

Herstellung des besten Vacuums:

App. II: $\lambda = 9.3$ 263

4.0 369

1.2 364

30 (vac.) 444

50 " 555

on 1/1000 abdruck 602

150 auf 200 abdruck

712.5

CO₂

708

App. I Luft			Wasserdampf			CO ₂	
Ia	Ia		I			Vac.	
760	171	114	760	60	25	588	578
155	234	114	154	66	25		
9.5	270	116	8.8	68	30		
0.5	280	154	Vac.	586	578		
Vac.	576	576					

Lagen selbst: pag. 209

$$k_0 = 0.000048$$

Stefan fand

55

"Neben d. Unschärfe in d. Bestimmung von C liegt in d. Abschätzung meines Fehls von d. Stefan'schen Konstante kein Defizit bei".

Außerdem: Thermometer auch mit Normalthermometer verglichen (pag. 190), aber wie es scheint nur einmal; unbedingt nötig wäre die Vergleichsgewässer nach d. Erhitzen auf 200° !

Quantige Kugelapparate überhaupt nicht gut verwendbar, weil der Einfluss des Strahles viel zu groß und zu schwer abzuschätzen ist.

Ob wirklich ein genügendes Vakuum erreicht wurde, ist nicht erwiesen. Es wäre Vorstellung nötig gewesen.

Daher sind die angegebenen Zahlen: nur rohe Annäherungen

Relative Werte: $CO_2: 0.59$

$H_2: 7.1$ [zu vergleichen nach Winkler pag. 654]

In Bezug auf Temperaturmessung:

Nur die Beobachtung bei H_2 können

Probe besser umgekehrt:

$$k = \frac{L_x}{L^x} = \frac{\frac{1}{t} - \frac{1}{R}}{\frac{1}{t} - \frac{1}{R} + p\left(\frac{1}{t} + \frac{1}{R}\right)} \quad \left[\text{Formel (9) in meiner Abh.} \right] = \frac{1}{1 + p \frac{\frac{1}{t} + \frac{1}{R}}{\frac{1}{t} - \frac{1}{R}}}$$

$$\frac{\frac{1}{t} - \frac{1}{t_s}}{\frac{1}{t^x} - \frac{1}{t_s}} = \frac{\frac{1}{t} - \frac{1}{t_s}}{\frac{1}{t^x} - \frac{1}{t_s}}$$

$$\begin{aligned} \frac{1}{t^x} &= k \frac{1}{t} - \frac{1}{t_s} [k-1] \\ &= k \left[\frac{1}{t} - \frac{1}{t_s} \right] + \frac{1}{t_s} \end{aligned}$$

$$\frac{1}{\lambda} = 1 : 0.461 = 2.17$$

$$\frac{1}{R} = 1 : 2.972 = \frac{0.33}{1.84}$$

$$\frac{1}{\lambda} = 4.70$$

$$= \frac{0.11}{4.81}$$

$$\frac{\frac{1}{\lambda} + \frac{1}{\lambda}}{\frac{1}{\lambda} - \frac{1}{\lambda}} = 2.61$$

173

$$p = \frac{0.0130}{p_{\text{in mm}}} \text{ für Luft!}$$

$$p = 3$$

$$p = 0.0043$$

$$\frac{1}{1 + \frac{0.0043 \cdot 2.61}{\frac{86}{258}}} = \frac{1}{1.011} =$$

$$0.0112$$

$$\frac{M}{x} = 67$$

$$\frac{1}{x} = 149.2$$

$$132 : 1.01 =$$

$$t_s = 580$$

$$= \frac{172}{132}$$

$$= 1\%$$

Also bei der ~~ganzen~~ Größe des Versuchsfehlers [siehe von II Luft, III CO₂]

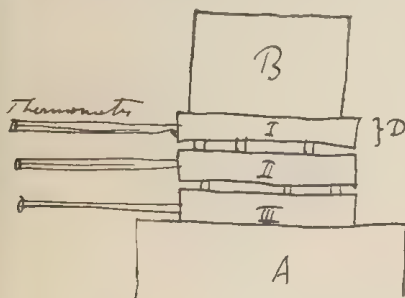
~~ist~~ ist dies viel zu wenig um eine Änderung ev. gestatten.

[Übrigens stehen auch sehr viele Druckfehler voran: vD. Luft I für $\lambda = 9.5$
II für $\lambda = 9.3$
etc.]

Für den Apparat II, welcher eine deutliche Einwirkung zeigt, sind wieder die Dimensionen nicht angegeben, daher in diesem Bruchteil unbrauchbar.

Wed. Am. 14

Christiansen p 23 *Wp 8023*



$$2R = 13.13$$

$$D = 0.9$$

$P =$ 975 994 991 gr.
I II IV

$A^C \sim C_2 \times CO_{12} [= 26/p]$

13 $c \sim C n$ ✓

I]. $T_0 = 10.6$			$\delta_1 = \delta_2 = 0.0214 \text{ cm}$ $T_0 = 12.0$			$T_0 = 13.0 = T_{\text{emp. ex.}}$		
T_1	T_2	T_3	T_1	T_2	T_3	T_1	T_2	T_3
19.54	12.88	6.29	21.73	20.58	7.27	48.68	28.77	8.39
unterschiedet weil gleichzeitig mit A stationär (Abkühlung um 0.3° für alle Platten in 12 min.)								
$T_0 = 11.8$			$\delta_1 = \delta_2 = 0.0754$ $T_0 = 13.9$					
25.86	15.66	5.44	47.69	26.60	5.21			

Berechnung: $\frac{1}{2}(T_1 - T_2) + \frac{1}{2}(T_2 - T_3) = 1 \quad \text{= 16 km}$

Dann folgt mit Berücksichtigung des äußeren Wärmestroms:

$$\delta + \alpha (s^2 + \delta T_2) = \frac{h A_c}{k_s} (T_2 - T_0) \quad \left(\begin{array}{l} A_c = \text{surface} \\ h = \text{heat transfer} \end{array} \right)$$

Die Veroniden lassen sich gut darstellen durch:

$$\alpha = 0.001504$$

$$\frac{h_A}{h_B} = 0.9931$$

$$\frac{h}{k} = 1.43$$

179

$$A = 6.6^\circ \quad \delta = +0.07$$

20.1 - 0.47

$$10^2 \quad -0.02$$

21.2 - 0.30

Abweichung ~~ist~~ sind die Konstante sehr unsicher, da ein minimaler Fehler in δ (z.B. eine kleine Durchbiegung etc.) einen riesigen Einfluss hat.

Bemerkung zu der 2te 11.

1) $\hbar^{-1} \epsilon^2$ is const. $\sim 10^{-12}$ s or 10^{-10} s

2). - γ (19.7.202) 1. part - to ASK, C₃ - part

all the way down; then 2 $\frac{1}{2}$ in. further

Grätz pag. 232

Apparate skizziert in K. & W. [siehe Skizzen 11 p. 913]

I

$$R = 2.9775$$

II

$$2.8698$$

Daraus folgt:

I

II

$$n = 0.4230$$

$$0.4092$$

$$C_0 = 0.13205$$

$$0.11717$$

$$\lambda = 15.6$$

$$14.7 \text{ (Skizze)}$$

$$C_{100} = 0.13311$$

$$0.11900$$

$$\rho = 0.1853$$

$$0.1808$$

$$C_{182} = 0.13475$$

$$0.12054$$

$$\rho_{\text{Luft}} = 0.0142$$

$$P_{\text{Hg}} = 2.2641$$

$$1.8979$$

$$\text{wobei } e_{\text{Hg}} = \text{wert} = 0.00332 \text{ angenommen}$$

$$P_{\text{Gas}} = 0.3171$$

$$0.3060$$

$$\text{und } e_{\text{Gas}} = 0.177$$

$$0.183$$

$$0.188$$

$$0.188$$

$$0.188$$

} Dulong's Regel

$$I_a R = 3.0041$$

"Die Thomson's korrigiert s. Skizze v. 2 Normalther. & Temp. y c Luft the. reduciert p. 238"

Resultate (abgelesen)

Apparat I Luft:

$$p = 760 \quad 260^* \quad 68 \quad 19^* \quad 9^*$$

$$t = 164 \quad 211 \quad 256 \quad 265 \quad 267$$

H₂:

$$p = 760 \quad 250^* \quad 64^* \quad 22^*$$

$$t = 57 \quad 64 \quad 65 \quad 66$$

CO₂:

$$p = 760 \quad 250 \quad 66 \quad 21 \quad 6.5^*$$

$$195 \quad 252 \quad 308 \quad 337 \quad 336$$

$$\text{Kamm: } t = 587$$

$$\text{von } v = 63.0$$

$$\text{auf } 21.2$$

in Eis

Luft:

$p = 760$	260	98	33 [*]	9 [*]
105	129	139	141	141

$H_2: p = 760$	240 [*]	103 [*]	CO_2 ... [*]	6.5 [*]
$t = 43$	46	46	66	22
			158	161

Vacuum 224

von 163.6 auf 124.0

in Eis \bar{z}

Luft:

$p = 720$	340	120	64	20	4
-----------	-----	-----	----	----	---

$t = 67$	72	75	77	78	81
----------	----	----	----	----	----

H_2 :

$p = 760$	260	110	94	64
-----------	-----	-----	----	----

$t = 26$	26	27	29	32
----------	----	----	----	----

CO_2 :

$p = 760$	220	191	62	14	12
-----------	-----	-----	----	----	----

$t = 68$	76	77	85	87	88
----------	----	----	----	----	----

Stahl: 128

von 235 auf 220

~~in Eis~~

Apparat II:

Luft:

$p = 745$	400	100	35 [*]	5 [*]
-----------	-----	-----	-----------------	----------------

$t = 154$	172	221	233	231
-----------	-----	-----	-----	-----

Vacuum: 517

60.6 - 20.5

7.

H_2 :

$p = 740$ 300 85 20

$t = 525$ 56.5 56.5 58

} 60.6 - 20.5

CO_2 :

$p = 740$ 350 70 10* 1*

$t = 178$ 198.5 272 290 291

Lup.: $p = 745$ 400 100 35* 5*

$t = 107$ 118 138 140 144

H_2 : $p = 740$ 300 85 20

41 42.5 42 42.6

CO_2 : $p = 740$ 350 70* 10* 1

113 125 154 157 160

} $Stohly = 219$

~~160 - 1~~

} 161.7 - 121.1

Lup.: $p = 70$ 20

79 80

H_2 : $p = 300$ 120

26 28

CO_2 : $p = 80$ 20

92 93

} 223.3 - 202.5

$Stohly = 112$

Für die Strahlung allein berechnet er daraus pag 243:

von 63-24.2: $\alpha_s = 0.001559$ $\rho = 0.0051$ } I
 163.6-124.0 3756 39

60.6-20.5 $\alpha_s = 0.001727$ $\rho = 0.0060$ } II
 161.7-124.2 3858 67

wobei aber Differenzen bis zu 3.8 sec vorkommen!

Ebens wird für Strahlung + Leiter eine solche Formel berechnet

$$\left[\vartheta \log e = \frac{1}{\alpha} \log \left(\frac{1+\beta \frac{t}{t_0}}{1+\beta t_0 \frac{t}{t_0}} \right) \right]$$

~~der~~ Luft:
 Apparat I (mittel) $\alpha = 0.003832$ $\alpha_s = 0.001559$
 wovon: $k_s = 0.00004844$
 II $\alpha = 0.004200$ $\alpha_s = 0.001727$
 $k_s = 0.00004831$

Analog $k_{100} = 0.00005739$ wovon $\rho = 0.00185$

Bemerkungen von W. W. W. am 2. Aug., dass obige Rechenart ganz
 wertlos ist, indem die beiden Apparate ~~stark~~ ganz verschiedene Resultate
 geben; enorme Fehlergrenzen, betreff ρ , da insbesondere ρ nicht mehr bestimmt
 $0.00159 - 0.0017$

Es geht selbst:

pag 542: Und wie oben angeführte Oheuptz. muss dahin modifiziert werden,
 dass für ρ sich die Werte zwischen 0.0010 und 0.0018 darstellen lassen [Bei
 Apparat I allein]

pag 543: Es scheint jedoch in der That die Beobachtungen am Apparat II

Try coeff. δv (!!!)

note pg. 541

Stabilität. kann 10% betragen (wenn derselbe Querschnitt vorausgesetzt)
wie bei Seite

seiner eignen Form Recht]

und den schweren Son, erst aber nicht].

Wie groß ist das Thermometerfeld angenommen?

$$s_{H_0} = 13.596$$

$$s_{H_2} = 1.0036 \cdot 13.596 = 1.0033 \cdot 13.6408$$

$$s_{\text{Ag}_2\text{O}} = 13.555$$

$$\sqrt[3]{\frac{2.2641}{13.555} \cdot \frac{3}{4\pi}} = r_{Hg}$$

$$\frac{0.3171}{2.6} \frac{1}{4\pi n^2} = \epsilon_{\text{glass}}$$

$$\begin{array}{r} 35488 \\ 47212 \\ \hline 83200 \\ 23131 \end{array}$$

AP 60069-2

0.533 56 - 1

$$0.3416 = 2Hg$$

$$\begin{array}{r} 34 \\ 42 \\ \hline 76 \end{array} \quad \begin{array}{l} 1 \\ 1 \end{array} \quad 38.2$$

14

Ref 921: 10-12 Aug 86 N Hg 1 W e l o b s d y f m n p s b p r n o z

0.3171	49715	50120	
	60206	67830	$\Sigma = 0.06651$
2.6 . 4.2. (0.382)	16412	82290	3416
	41497		0.9081
	67830		

besser folgendermaßen:

$$\frac{2.2641}{13.555} + \frac{0.3171}{2.6} = \frac{0.16703}{12196} + \frac{0.12196}{12196}$$

35490	50120
13210	41497
22280	08623

$$0.28899$$

$$\sqrt[3]{\frac{0.28899}{4\pi}}$$

46090
47712
93802
- 09921
1.83881 - 3
0.61294

$$r_2 = 0.41015 \text{ cm}$$

Somit ~~wäre~~ würde aus dem vor Braet gemessenen Gewicht noch ein kleinerer Kugelradius folgen als er selbst angibt, während die Kugel jedenfalls noch um den Stielansatz zu vergrößern gewesen wäre. Daher dürfte jedenfalls das Glasgewicht zu gering angegeben sein, daher C zu klein und ebenso K zu klein.

Die Differenz beträgt 3% in r, also 9% in Vol. und ~~fast~~ ungefähr ebensoviel in C

Stöckung beträgt in den Versuchen mit Luft fast ebensoviel wie Leistung!

Stiel ist viel zu dick; wenn er bis an die ^{Kugel} Wand ~~reichte~~ würde, würde er bei stehendem Gas nicht mehr wogeln als das Gas!

Wied. Ann. XI p. 474

Winkelmann: $\gamma_{\text{O}} \approx 0.1 \text{ e } 20 \text{ } \gamma_{\text{O}} \approx 0.1$

Darlegung e. relat. $\sqrt{p \cdot n} \propto \frac{C}{\sqrt{p}}$; d. h. d. r. : Winkelmann 4 p. 321
Waller 5 p. 92

Waller $\rho' \approx \gamma_{\text{O}} \text{ e } 10 \text{ } \rho' \approx 10 \text{ } \rho' \approx 10$ - / $\rho' \approx 2$ atomigen

$\rho' \approx \gamma_{\text{O}} \text{ e } 10 \text{ } \rho' \approx 10 \text{ } \rho' \approx 10$ [ihre Temp. entspricht s. relat. Luft]

Deshalb schien es wünschenswert die Abhängigkeit der Verrindstg. von Druck näher zu untersuchen, da die $\rho' \approx 10 \text{ } \rho' \approx 10 \text{ } \rho' \approx 10$

Apparat: ähnlich wie frühere Gasapp.; $r = \text{ca } 2 \text{ cm}$, $R - r = \text{ca } 0.15 \text{ cm}$

Vorg.: Luft

	740 mm	10 mm
$\rho = 7.93$	0.000000	
	0.00074200	0.00074220
mittl. Abw.	0.08%	0.13%

$\rho = 107690$	0.0011245	0.0011277
	0.2%	0.2%

Äthylen

	740	10
$\rho = 8.10$	0.00061776	0.00061984
	0.05%	0.09%

$\rho = 107.78$	0.0010905	0.0010988
	0.3%	0.2%

$\rho = 10769$

pag 487: Daraus folgt dass d. Unterschrede zw. Th & Sefebz nicht ihr Oegrund
 darin finden können, dass die Ob. vermind. Druck d. Sefebzpunkte

Er hält es aber doch für wahrsh., dass k mit wachsender p etwas
 abnimmt und stellt Hypoth. dachon vor dies zu erklären von

- 1). durch Abhängigkeit von k vom Druck
- 2). Zupolge ~~intramolekulare~~ ^{Bruchungs} Kräfte (nach Van d. Waals)

5. Diese minimalen Unterschrede könnten aber auch einfach in
 einer ^{theor.} Absorption der Strahlung durch das dichten Gas begründet sein.
 Siehe vorher Gröte p. 915

pag 489 überbek: $C \propto \sqrt{p} \propto \sqrt{\text{Temp.}}$!

pag 913 Gröte & / e r l e s e ab. Emis. i o r o

Apparate nach K & W; Gessler'sche Appare mit 2 Böden

I mit Cylinderglas

H ₂ :	45mm	$\sigma = 107$	Luft:	12mm	343
31 Evac.		209			
1002 162 2011		452		15:	410
8 Evac. 162 2		509		8:	526
6 "		619		10:	603
0.16 "		671			682
116 "		625		14 "	678

pag 919: "ff 5 11 222 Evac. p r o g 7 2 Temp. Inter. d. , ~ e Int. 5 p p r o g 7 2
 ff 5 11 222 Evac. p r o g 7 2 Temp. Inter. d. , ~ e Int. 5 p p r o g 7 2

pag 921 Therm. Capill. calibrirt, mit ~~therm. Capill.~~ (Kohlrausch p. 68)
 hierauf:

Apparat 6-8 Stunden lang bis über 300° in Sandbad erhitzt

	H_2	Luft	
235.6 - 201.4°	: 128	128	} Abkühlung in 1827 stud. Antik
163.6 - 124.0	: 224	219	} " " 100° nied. Wärm.

63.0 - 21.2° : 587 581

pag 922:

"Der Einfluss des Sticks, da bei 2. dicken Stiel wohl bemerkt, dass man sich bei dicken St. nicht getraut, die Luten haben dieselben unabhängig davon wie tief das Gefäß eingetaucht wurde"

Sagt pag. 928: Der Wasserdampf des Th. & K. W. = $\frac{H}{L} \cdot \frac{1}{L} \cdot \frac{1}{L}$; p.c
 Wdhf $c_0 = 0.15663$ " 12.5 / 0.1 m Wdhf $c_0 = 20 / 1.25$ f. f. = "

Ann. Bd 19 pag. 649

Winkelmann: $\frac{K}{L} \cdot \frac{1}{L} \cdot \frac{1}{L}$ temp.

Methode: Glas Apparat von beiden Form

Wenn derselbe Thermometer bei T und t in H_2 und Luft in einem Behälter mit Rad. R , abgelesen wird

$$C_T v_1 = K_T f(r, R_1) + C_T \gamma(r) \quad C_T v_2 = K_T f(r, R_2) + C_T \gamma(r)$$

$$C_T V_1 = K_T f(r, R_1) + C_T \gamma(r) \quad C_T V_2 = K_T f(r, R_2) + C_T \gamma(r)$$


Woraus ohne Kenntnis der Dimensionen folgt:

$$A = \frac{K_T}{C_T} = \frac{C_T (V_1 - V_2)}{C_T (v_1 - v_2)}$$


Desto genauer je verschiedenen R_1 und R_2 mit
 und je kleiner δ ist, [dabei sind Theile
 vertheilt]

8) Diese Methode konnte aber die facts nicht angewendet werden, da engw. ^{mit der Abz. bei H₂ zu rasch}
 Fülle infolge Stillsetzung; daher bleibt es bei Winkelmann's früherer
 Methode, welche Gleichheit von ρ für Luft und H₂ voraussetzt.

Apparate: (ungefähre Dimensionen)

a)	I	II		III
		I	II	
	P_{H_2}	38	59	26
	r	0.46	0.95	0.93
	R_1	2.98	3.00	2.98
	R_2	0.70	0.90	0.73
	λ	18.00	19.00	19.00
	$P =$	0.67	0.73	0.73
	$P_{\text{mineralöl}}$	0.09		
	anther	0.4		
	anwachsende	0.03		
	sonst Querschnitt	0.1		
	oder Radius	0.32	0.28	0.21
		H ₂ Stiele		meniv

c) Winkelmanns Form: $r = 1.6$
 $R = 2.1$

d)	V		VI
	V		
	$r = 0.8$		0.94
	$R = 1.45$		1.6
	$\lambda = 5.0$		5.4
	$H = 7.0$		7.2

Es folgen:	für Luft:		für Luft und H_2		Mittel = 0.00166
	unversilbert	versilbert	nicht vers.	versilbert	
App I	0.00227	189	162	138	
II	128	170	174	184	
III		148		137	
IV	0.00243				} 0.00243
V	250				
VI	236				

Der Unterschied stellt sich in der Skala bei I-III von viel größer und unregelmäßigen Einflüssen ist.

Die Erwärmung beweist es theoretisch und dann auch durch folgende Versuche
(da der Stahl mit rotem Stahl versilbert war)

I) Abkühlzeit ist anfangs kleiner als später:

IR, bis 25° erwärmt: 0.001453 ... 0.001512

Wenn dagegen bis 50° erwärmt, ^{Unterwind} so wirkt mehr merklich 1594 - 1599

Dagegen war es für Apparate IV-VI gleichgültig wie hoch sie anfangs erwärmt wurden.

Noch auffallender bei versilberten Kugel:

erwärmt bis 25°: Abkühlungszeit von 18.6 - 8.6: 346 } !!!
50°: " " " : 217.5

Über Apparat III_R: versilbert

25°: 335
50°: 313

208.166
243
208
1248
1248
34528:243 = 142
1023
51

Wiedem Ann. p. 68

Winkelmann ist δ $\sqrt{\frac{8 \cdot 10^{-8}}{2 \cdot 10^{-8} \cdot 10^{-8}}}$ temp.

Methode von Christrausen

Obere Platte durch Wasserdampf geheizt, untere durch kalten Wasserstoff abgekühlt.

Plattenabstand 14.375 cm

Dicke 0.922 mm , 2.269 cm

Abstände (mittels Glaszylinder) 0.0474 cm
 $1-2 \text{ mm}^2$ 0.1026 cm

Temp Messung mittels
Thermometer

Berechnung I) Mittels Elimination der äußeren Wärmeverluste h
aus Messungen mit verschiedenen Plattenabstand

I a). Nachdem die mittlere Platte umgelegt war, wenn man
annimmt dass sie etwas gewölbt war

II) Platten neu abgeschleift und Umdrehen des ganzen Platten-
Systems (ebenfalls 2 Abstände)

III) Nach direkter Bestimmung von h mittels Abkühlung von
Platten in freier Luft

Resultate: Luft

Dir. I.	168	I a	149	II	169	III	180
Non	267		244		304		232
Mittel	223		204		252		206

Jedesmal 4 Werthe (verschiedene Combination der Messungen behufs Berechnung)

cor:

$$\begin{array}{r} I \text{ und } I_a \\ 263 \\ \underline{406} \\ 343 \end{array}$$

$$\begin{array}{r} II \\ 288 \\ \underline{537} \\ 430 \end{array}$$

$$\left. \begin{array}{l} \text{Dabei das Verhältnisse} \\ \text{Cor} \\ \text{Luft} \end{array} \right\} = \frac{164}{177} \frac{177}{170}$$

$$\begin{array}{r} III \\ 313 \\ \underline{411} \\ 966 \end{array}$$

H_2 (nur bei größeren Plattenabstand) (ohne verschied Plattendicke)

$$\alpha = 000247$$

$$\begin{array}{r} III \\ 199 \\ \underline{222} \\ 206 \end{array}$$

Die dabei durchgeführten Versuche III ergeben ein verschiedenes λ für horizontale und vertikale Platten, wobei letzteres proportional der Temp. differenz; Exponent bei horiz. ca 1.123
vertik. 1.181 } sehr ungefähr

Wied. Am 40 p. 697

Lichtorn 8.11.1885 20.12.1885 temp.

Nach dem kürzigen Versuche sehr unbedeutend, wurde nach Winkeln an 20
I. Methode die Untersuchung wiederholt, Jenaer Glas, daher etwaige
Thermometerfehler ausgeschlossen.

$r_1 = \text{ers. 1 cm}$

App.	Hg 1'	ff. Th. 3 m	r. 1. P. 1 cm	R. 1. P.
I	5.19 g	1 cm	1 cm	3 mm
II	5.37	0.5	0.5	3
III	6.02	1	2.5	2.5
IV	5.95	0.5	2	2.5
V	5.40	0.25	2	2.5

~~Therm.~~ $\vartheta = \text{temp.} \approx \text{Nachr.}$

$\tau_0 =$ erste Ablesung

$\tau =$ Mittel temp. für welche ϑ zugehört

Luft

Apparat	μ	ϑ	τ_0	τ	ϑ v. Lage	$\Sigma t = 10 \text{ min}$
I	3 mm	99.72	119.14	107.28	0.00 26.52	876.11
	3 "	0.0	200	7.88	16.79	1328.26
II	9.5	99.71	119.86	107.69	0.00 30.93	710.31
	20	99.71	"	"	31.00	708.61
	9.5	0	20.36	80.5	20.08	1083.55
	20	0	"	"	20.04	1085.60
III	4	99.71	120.52	107.95	24.27	874.46
	8	99.83	"	"	24.21	880.43
	4	0	19.73	8.07	14.75	1264.04
	8	0	"	"	14.75	1271.30

(ϑ 15.58)
(τ H 4.15)

IV	4	99.78	120.97	108.23	0.00 2850	722.90
	8	"	"	"	2870	717.76
	4	0	20.06	8.46	1823	1218.00
	8	"	"	"	1826	1215.50
V	3	99.72	120.25	107.82	0.003848	558.98
	3	0	20.17	7.92	2513	879.91
						182

Wasserstoff

I	48			106.82	0.009092	144.12
	48			8.32	6944	321.05
II	52			107.36	0.011518	
	26			"	11583	
	52			7.92	8912	
	50 50			"	8922	
III	40			107.74	0.008611	
	70			"	8626	
	40			7.85	6543	
	70			"	6550	
IV	40			107.75	0.011058	
	70			"	11148	
	40			7.75	8641	
	70			"	8669	
V	48			108.12	0.015874	
	48			7.66	12372	

App.	p	T	v_{Ly} CO_2		Äthyl		
I	0.10	108.0	0.002340	II	10	108.55	0.002977
		8.05	1358		5	"	2978
II	5	108.78	2641		10	7.94	1699
		8.19	1556		5	"	1697
III	4	108.27	2301	III	10	100.25	2463
		7.90	1297		5	"	2465
IV	4	108.33	2726		10	9.21	1348
		8.05	1605	I	5	"	1349
V	4	108.10	3261		10	107.93	2595
		7.81	1945		5	"	2655
					10	7.86	1470
					5	"	1474
				V	10	108.17	3730
					10	7.81	2098

Berechnung nach der Formel:

$$A = \frac{k_{\text{L}}}{k_{\text{T}}} = \frac{v_{\text{L},T} - v_{\text{L},T}}{v_{\text{L},T} - v_{\text{L},T}} \quad \text{für Luft und } \text{H}_2$$

$$\text{Ansatz: } B = \frac{v_{\text{L},T} - v_{\text{L},T}}{v_{\text{L},T} - v_{\text{L},T}} \quad \text{für } \text{CO}_2 \quad \text{C} = B + (A-B)m$$

$$m = \frac{k_{\text{H}}}{k_{\text{CO}_2}} = 10.495$$

Uebers für C_2H_4 : $m = 8.03$

Daraus folgen:

	Luft & H_2	CO_2	C_2H_4
I	0.002133	0.003517	0.004649
II	2095	3508	4797
III	2072	4013	4850
IV	1903	3748	—
V	2021	3884	4362
mittel	2045	3732	4774

Natürlich benutzt die ganze Rechnung wieder auf der Voraussetzung, dass K_2 und Luft gleiche Temp. Coeff. haben.

Die zweite von Winkelmann vorgeschlagene Methode, unter Benützung der Wassermenge ist nicht anwendbar, da die Wassermenge zu unvollständig bestimmt ist [Entgegen Willner p. 347] und da die Strahlkraft zu groß ist [beträgt 10. $\frac{1}{6}$ der Strahlkraft]; letztere hat aber jedenfalls eine andere Temperaturabhängigkeit als die Strahlkraft.

Folgt sehr interessante Kritik der Schleiermacher'schen Versuche, welche durch die Existenz des Temperatursprungs vollständig hinfällig gemacht wird.

Er meint Schleiermachers Einwand betrifft Zurückbleiben der Thermometer nicht stichhaltig, da V und II dieselben Werte ergeben.

An den schließlichen Werten müssen noch Correctionen angebracht werden wegen Veränderlichkeit der γ W. des Lsg und Glases, dadurch

wird

Luft: 0.00199

H_2 : .

CO_2 : 0.00367

C_2H_4 : 0.00445

Wied. Ann. 44 p. 177

Winkelmann 8 u 8 p 20

I $2r_1 = 10$ mm	III $2r_1 = 7$	} cylind.	$2r_1 = 10$	VI $2r_1 = 10$
$\lambda = 45$ "	$L = 16$		$\lambda = 28$	$\lambda = 35$
$2p = 1.7$ "	$\lambda = 35$		$2p = 2$	$2p = 2.1$
$2R = 28$ "	$2p = 1.7$		$2R = 29$	$2R = 16$
¹ angeschnitten $2R_2 = 16$ "	$2R_1 = 30$	} cylind.		
	$2R_2 = 13$			

Einfluss des Druckes ; dabei wurde eine erste Reihe die Verschiebung des Einsenkpunktes in Folge der Komprimierung berücksichtigt

W. Apparat 5:

r	Σt	ohne	vorge mit Correctur	Apparat zeit in Eis
50 mm	618.1	5002519	2519	+ 0.84
105	617.9	2520	2522	85
250	618.8	2512	2520	88
500	621.8	2507	2524	93

Also innerhalb sehr weiten Druckgrenzen constant

Ebenso ist auch die Tiefe des Einsenkens gleichgültig, falls die Normwerte angegeben berücksichtigt werden.

Berechnung wie in Winkels 19, p. 649

durch Combination von 4 Beobachtungen (Luft & H_2

Schwerköse Resultate bestimmt aus

	Apparate				
	$I_{1,2}$	$III_{1,2}$	Mittel	V_{III_2}	VI_{I_2}
Luft	0.00206	0.00174	0.00190	0.00166	0.00178
H_2	185	164	175	146	188
CO_2	442	360	401	379	424

Es zeigt sich also ein constanten Unterschied zwisch I und III , welcher nicht in Beobachtungsfehlern zu suchen ist. Vielleicht waren doch Colirfehler in ^{den} Thermometern vorhanden. Wenn 20. bei CO_2 in jeder der 4 Beobachtungen ein Fehler von nur 0.2 % angenommen wird, so dass sie sämmtlich in demselben Sinne wirken, so würde das schon

$d = 360$ in $\alpha = 390$ verwenden (!!)

Drucke waren immer ziemlich groß (Luft 180-25 mm

H_2 100-200 mm

CO_2 10-43 —

CO_2

Beobachtungsmethod.

$P_{\text{Luft}}/P_{\text{H}_2} = 2t$

Temperaturen
ca 20-8° in Ei
119-157°
in 100°

Apparat	I_1	I_1	I_1	I_1	I_1	I_1
Druck	19	40	40	10	40	40
Temp.	782	782	782	107.64	107.72	107.74
α bzgl	0.001087	1096	1096	2178	4026.1	1029.8
III_1	19	40	40	10	40	40
	798	—	—	107.15	107.23	107.26
	0.001213	1217	1212	2366	2363	2361

V	19	40	10	10	19
	790	-	-	10702	10712
	0'001205	1207	1202	2336	2341
	¹²⁰⁰ (18305)	^{1828.4} (1828.4)	^{1836.3} (1836.3)	²⁵⁴⁵ (1023.4)	^{1035.0} (1035.0)

I ₂	43	43	19
	749	10745	10749
	0001647	2983	2984
	^{1421.0} (1421.0)	^{755.8} (755.8)	^{760.4} (760.4)

III ₂	43	43	19
	819	10720	10720
	0001875	3262	3265
	¹⁸⁶⁵ (1122.3)	³²⁶⁸ (717.7)	^{78.3} (78.3)

H ₂ :I ₁	200	20	200	III, 200	200	100
	740	10723	10727	770	10650	10686
	0'006518	8765	8765	7058	9262	9264
	⁸⁷⁷⁰ (496.2)	^{562.46} (562.46)	^{564.92} (564.92)	⁴ (437.90)	⁹²⁸³ (388.8)	^{377.5} (377.5)

V	100	200	100	200	200
	751	751	10668	10676	10666
	7038	7064	9364	9392	9364
	^{1451.4} (1451.4)	^{449.76} (449.76)	^{374.42} (374.42)	^{378.7} (378.7)	^{375.05} (375.05)

I ₂	100	200	200	200
	755	755	10703	10700
	0'01202	1205	1541	1539
	¹²⁰⁰ (144.92)	^{142.21} (142.21)	¹⁵¹³ (118.52)	^{118.54} (118.54)

III ₂	100	200	200
	742	742	10680
	1396	1397	1742
	¹²⁹⁰ (125.26)	^{125.14} (125.14)	^{174.4} (108.55)

Bestimmung der absoluten Werte mittels Apparats analog wie das
frühere Rubellapp, aber ~~Thermometer~~ kein Kontakt mit Innen

II	I	III	
$r = 1.4050$		1.9038	
$R = 1.7505$	cca 2.4	2.2590	cca 2.8
$h = 6.3160$		6.3066	
$H = 7.0070$	cca 9	7.0170	cca 9

$$P = 331.48$$

$$C_{675} = 0.0913 \text{ (Ride)}$$

$$\left. \begin{array}{l} \text{HH} \nearrow \\ \text{daraus } W = 30.264 \\ \text{II} \end{array} \right\} W_I \text{ fast genau gleich } 0.036 \text{ zu } 2.8$$

Innen vergoldet; Verbindung = dünnwandiges Glasrohr ($D = 1 \text{ cm}$)

Thermoelement: Cu 0.2 mm
Ni-Mn 0.3 mm } also

Resultate:

Luft

I	$r = 9.2$	p^2	40.9	-	-	
	$r_{hce} = 0.031157$	1152	1146	1151	1146	1150 $\tau = 6.76$

II	$r = 9.2$	-	-	40.9		
	0.032077	2072	2083	2070	2078	2076 6.36

H₂:

I	$r = 150$	75	-	-		
	0.036601	0.036596	6564	6620	6595	6595 6.75

II	$r = 75$	150				
	0.0213135	12963	12723	12940		6.19

Nach Reduktion auf 6.75 folgt

Apparat I $\overset{\text{Luft}}{0.031150}$ $\overset{H_2}{0.036595}$

II 0.032078 0.0312954

$$\frac{25}{f} = 6.854$$

$$l = 0.04552$$

$$w = 0.031785$$

Berechnung: Verhältnis der k_2 zu k_1 lässt sich ohne Kenntnis der Dimensionen bestimmen: $\frac{w}{l} = \frac{V_2 - V_1}{v_2 - v_1} = n$

Daraus dann, sobald die Dimension eines Apparats bekannt sind:

$$l = \frac{(V_2 - v_2)}{206(n-1)} \cdot \frac{W}{f_2}$$

$$f_2 = \frac{(h - 2r)2n}{2 \log \frac{R_2(1+h)}{r(2R_2 + h - 2r)}}$$

Die thermoelektr. Beobachtungen waren aber sehr ungenau wegen variabler Drucklage des Salvanon, Differenzen bis 1%, daher auch direkte Messung mit Thermometern

Thermometer: $2r = 0.6 \text{ cm}$

$$l = 1.5$$

$$2p = 0.15 \leftarrow \text{um die Skalenlücke abzugraben}$$

$$\lambda = 5.0 \text{ cm}$$

$$r \approx 2p = 6 \text{ mm}$$

$$P = 324.63 \text{ gr (C} \rightarrow 2.5 \text{ (C} \sqrt{\text{)}} \text{ o. lyfiden) } \left. \begin{array}{l} \text{II} \\ \text{III} \end{array} \right\} W_{\text{II}} = 30.426 \left[\begin{array}{l} \text{denn } W = 0.156 \\ \text{für Thermometer} \end{array} \right]$$

$$P_{\text{bz eingefüllt}} = 18.97$$

$$W_{\text{II}} = 56.869 \quad W_{\text{III}} = 56.849$$

Wie groß ist der Fehler infolge Ungleichmäßigkeit der Temp. innerhalb der Thomson. Kugel?

$$-cs r^2 \frac{\partial \theta}{\partial t} = k \frac{\partial}{\partial r} \left(r^2 \frac{\partial \theta}{\partial r} \right)$$

$$-\frac{cs}{k} \frac{\partial r}{\partial t} = \frac{\partial^2}{\partial r^2} (r\theta)$$

$$r\theta = e^{-\alpha t \pm \beta r}$$

$$+\frac{cs}{k} \alpha = \beta^2$$

$$r\theta = \sum_{\alpha} A_{\alpha} e^{-\alpha t \pm r \sqrt{\frac{cs}{k}} \alpha}$$

$$M = \int_0^r r \theta dr = \frac{e^{-\alpha t}}{r^3} A \int_0^r r^2 e^{\pm \beta r^2} dr$$

$$\pm r \frac{e^{\pm \beta r^2}}{2\beta} \Big|_0^r \mp \frac{1}{\beta} \int_0^r e^{\pm \beta r^2} dr$$

$$= \frac{\beta e^{-\alpha t}}{\beta r^3} \left[\pm r e^{\pm \beta r^2} \mp \frac{e^{\pm \beta r^2}}{\beta} \right]$$

$$= \mp \frac{\beta e^{-\alpha t}}{\beta^2 r^3} \left[1 - (1 + \beta r^2) e^{-\beta r^2} \right]$$

Zur Zeit $t=0$: $\theta = \theta_0$

$$r\theta_0 = \sum_{\alpha} A_{\alpha} e^{r \sqrt{\frac{cs}{k}} \alpha}$$

$$A + D = 0$$

$r=0$:

$$0 = \sum A$$

$$\theta_0 = \sum_{\alpha} A_{\alpha} \frac{e^{r \sqrt{\frac{cs}{k}} \alpha}}{r}$$

Somit:

$$k \left(r \frac{\partial \theta}{\partial r} \right)_r = h \theta_r$$

$$k e^{-\alpha t + \beta r} \left(\beta r - \frac{1}{r} \right) = h e^{-\alpha t + \beta r}$$

$$\sum_{\alpha} e^{-\alpha t + \beta r} A_{\alpha} \left[k \left(\beta - \frac{1}{r} \right) - h \right] = 0$$

für beliebige t
daher jedes Glied für sich

Zur Zeit $t=0$:

$$k \left[A e^{\beta r} \left(\beta - \frac{1}{r} \right) - B e^{\beta r} \left(\beta + \frac{1}{r} \right) \right] = h \left[A e^{\beta r} - B e^{\beta r} \right]$$

$$k \left(\beta - \frac{1}{r} \right) = h$$

$$\text{Somit: } r\theta = e^{-\alpha t} A (e^{\beta r} - e^{-\beta r})$$

$$\theta_0 = \sum A \frac{e^{\beta r} - e^{-\beta r}}{r}$$

$$= \sum A 2\beta \left[1 + \frac{\beta^2 r^2}{3!} + \frac{\beta^4 r^4}{5!} + \dots \right] \left[\beta r + \frac{\beta^3 r^3}{3!} + \dots \right]$$

$$e^{\beta r} = 1 + \beta r + \frac{\beta^2 r^2}{2!} + \frac{\beta^3 r^3}{3!} + \dots$$

$$e^{-\beta r} = 1 - \beta r + \frac{\beta^2 r^2}{2!} - \dots$$

Jedochfalls muss (für $r=0$): $\theta_0 = \sum 2\beta A$

Somit:

$$\kappa \left(\frac{\partial \theta}{\partial r} \right)_r = h \theta_r$$

$$\kappa \sum A e^{-\alpha t} \left[\frac{e^{\beta r}}{r} \left(\beta - \frac{1}{r} \right) - \frac{e^{-\beta r}}{r} \left(-\beta - \frac{1}{r} \right) \right] = h \sum A e^{-\alpha t} \left[\frac{e^{\beta r}}{r} - \frac{e^{-\beta r}}{r} \right]$$

$$\sum A e^{-\alpha t} \left[e^{\beta r} \left(\kappa \beta - \frac{\kappa}{r} - h \right) + e^{-\beta r} \left(\kappa \beta + \frac{\kappa}{r} + h \right) \right] = 0$$

Was für beliebige t nur möglich wenn für $r \rightarrow 0$

Derbachtyn:

Lup

I) 8 - 40 8
 2t 8085 8094 8069 8088 | 8084 $v_{ly} = 0.0_3 1104$

II) 40 - 8.7
 4357.0 4353.5, 4356.5 | 4353.7 $v_{ly} = 0.0_3 2048$

III) 10 -
 11724 11757 | 11737 $v_{ly} = 0.0_4 7596$

IV) 10
 6127 6139 6121 | 6129 $0.0_3 14546$

H₂

I) 28 38 - 78
 1389.6 1387.0 1389.6 1382.9 | 1387.3 | 0.0₃ 6427

II) 38 40 80
 687.7 687.7 688.0 688.7 686.5 686.3 686.1 686.9
 $v_{lly} = 687.2$ $0.0_2 12973$

III) 40 - - -
 1875.3 1875.7 1867.4 1865.4 1870.5 | 1870.9 | 0.0₃ 47653

IV) 40
 936.4 936.3 935.7 935.7 935.8 | 935.0 | 0.0₃ 95352

CO₂:

I). 2.1 2.8 - 6 -
 11724 11760 11776 11702 11715 | 11735 0.047597

II). 6
 6771 6795 6801 6764 | 6783 0.0310144

III). 6
 17804 17884 | 17894 0.044982

IV). 6
 9701 9693 | 9697 0.049194

Aus I und II folgt $\frac{H}{L} = 6.934$ also $l = 0.04550$, $v = 0.033811$

III IV 6.863 0.04564 0.033869

CO₂ { I II $\frac{k}{L} = 0.588$ $k = 0.04323$
 { III IV 0.606 0.04342

Es ist aber noch eine Correction vorzunehmen da der Querschnitt des Verbindungs Rohres von der wirklichen Fläche zu subtrahieren ist.
 Dann folgt:

	II	IV	Nittel rechnet auf 6% rechnet auf 0°
Luft	0.04555	568	561
H ₂	0.033849	3896	3872
CO ₂	0.04326	344	335

Probe der Rechnung: Die P_{th} + Gasdruck rückwärts bestimmt

$\alpha = \frac{C}{W} \log e =$ 0.04205 0.04204 0.04232 $\frac{\text{Spreit II}}{\text{IV}}$
 0.05764 746 842
 aus Luft H₂ CO₂

Beobachtungen:

Luft: $\rho = 17 \quad 17 \quad 25 \quad 25 \text{ mm}$
 $6399 \quad 6409 \quad 6394 \quad 6395 \quad | \quad 6399 \quad 0.0_3 1390$

$H_2: \mu = 40$

			42	80	
982.8	986.5	985.8	983.6	985.0	983.9

0.03 9040

CO₂: $\lambda = 6$ 7 13 -

10079 10093 10060 10094 | 10081

Bei Druck von 710 mm:

Luft 0.03 1396

6A₂ 8127

CO₂ 893

0.04 PF2

all in Temp. 6.1°

n und n wird aus der früheren Notiz zu herangezogen

$n = \frac{2872}{561} = 6.902$ } dann folgt $l = 5827$ } Mittel 5747
 $m = \frac{336}{561} = 0.597$ } 5668 }
 reduziertes $\sigma = 0.04568$

$$m = \frac{316}{561} = 0.5971$$

reduct of $\sigma = 0.04568$

Wid. Ann. 45 p. 298 Gato x v. 320

Kritisch die Berechnung der Strömung zwischen den 2 Gliedern von Winkel

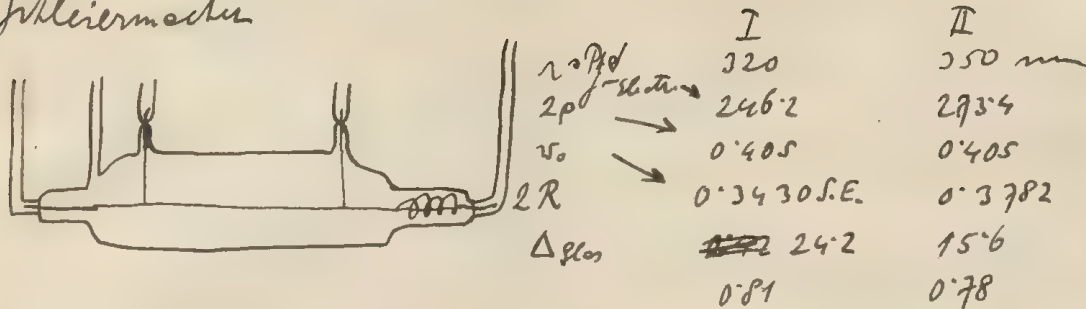
ebens die Fehler machen in Methode wegen Verstärkung

June 46 p. 323 Winkler. J. May 24th. - - -

Zeigt dass ~~die~~ ^{die} ~~erste~~ ^{erste} Resultate für d. Temp. Coeff nicht mit den vorigen
übereinstimmen, da in den ult. unbedeutend Fehler sind
und dass die Fehler in seiner eignen Berechnung nur geringe sind

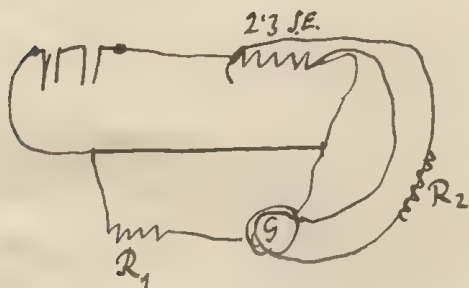
Wid. Am 34 p. 623

Stilleiermacher



In einem Eisenblechkasten von 6 l Inhalt

Temperatur des Gases sinkt auf 0.02°C pro m



Stromkreis I und II gehen in entgegengesetzte
wirkende Rollen von S

- I). Der schwachen Hauptstrom (ca 0.03 Amp) $C_2 R_2 \int E_0^2 dt / e S = 0$
 II). Der starken (bei $p \approx p_d$ temp. W) $g = I E_0^2 \int dt / e S$

für compens

$$t = \text{temp. } ^\circ \text{C} / e$$

$$t' = \text{ } ^\circ \text{C}$$

$$t - t' = \frac{(1 + \alpha t') r}{\alpha R_1}$$

$$E_0^2 p S \text{ Galvanon } \sim I = 280 \text{ SE}$$

Galvanon: 0.1 Teil = $7 \cdot 10^{-10} \text{ Amp}$. (stark ansteigt, 5 sec. p_y es,
 2-3 p_y es)

$\Delta g_{\text{los}} \approx 10^5 0.1 \text{ SE}$, p_d Δg_{los} Temp.

Intens. ° Hampton. δ 0 ~ f Gals. 120 G 2 njo ~ 2 R G d/s
 [V Silberholz control]

1 Versuch δ 9003 2 E⁶ Gals. 5, 2 Str. Gals.

25. δ 5 gr ~ 5. 2 njo G. 0.6 Str. ~ ~ P d ~ ~ 2 R, 2 R
 d/s d/s

Temp. Luft:

Die schwache A. Ström. kompensiert v δ R₂

denn Erhöht. auf 100° S "

R₁

192 h

Stunde bei 50° (G₁ h)

I	0-100°		0-50°	
	0.00	2218	2228	
		22	27	
		18	19	
		<u>2219</u>	<u>2225</u>	

II	0-100°		0.0002200	
	0.00	2219	2222	
		17	2222	
		08	2222	
		<u>2215</u>	<u>2218</u>	

Somit Mittelwert. : $\alpha = 0.002227 - 0.061 t$

Stoßlings beob. I

$S = \delta R \text{ cm} - \text{gr. Cal.}$

$t' = 0$		$t' = 98.8$		$t' = 0$		$t' = 99.3$	
$t = 18.5$	$\delta = 0.00144$	$t = 117.1$	0.00105	9.4	0.00109	110.3	251
32.5	286	129.4	629	14.8	166	126.5	302
44.6	296	139.0	776	19.2	232	146.6	1234
62.0	553	170.9	1738	25.4	306	199.3	3088
102.1	1054	216.2	2634	33.0	420		
174.9	2563			46.3	602		
				64.4	834		
				117.6	1799		
				161.2	2991		

$\alpha \approx 1.4 \times 10^{-2}$ $\sim 1.2 \times 10^{-2}$ μ $\approx 200-250$ m^2 , Si H_2O Ca Mg Fe Mn .
 $\rho \approx 1.4 \times 10^3 \text{ kg/m}^3$. sed $10-15 \text{ km}$ sed δ station top $\sqrt{1.2}$.

$\rho \approx 1.2 \times 10^3$ $\sim 1.4 \times 10^3$ μ $\approx 200-250$ m^2 , Si H_2O Ca Mg Fe Mn .

Lup:

Apparatus I

θ	$\theta' = 0$		$\theta' = 99^\circ$	
	$A - \theta'$	$\frac{L_0}{\theta - \theta'}$	$\theta - \theta'$	$\frac{L_{99}}{\theta - \theta'}$
680 ⁽¹⁾	6.53	0.002448		
265 ⁽²⁾	6.86	2172		
190 ⁽³⁾	7.43	2170		
91 ⁽²⁾	7.01	2138		
46 ⁽¹⁾	7.50	2163		
22 ⁽²⁾	7.11	2121		
11 ⁽²⁾	7.55	2145	6.43	0.002822
—	4.89	2153	4.18	2816
10 ⁽³⁾	6.14	2102	—	—
5.2 ⁽¹⁾	8.48	2067	6.43	2612
—	5.85	2075	4.23	2623
—	4.00	2071	—	—
2.5 ⁽¹⁾	7.43	1995	6.55	2603
—	4.84	1989	4.32	2572
1.2 ⁽²⁾	7.20	1867	6.33	2427
—	4.66	1882	4.20	2396
0.3 ⁽²⁾	7.80	1544	—	—
0.07 ⁽²⁾	15.7	497	—	—

$\rho \approx 1.4 \times 10^3$ kg/m^3 Si H_2O Ca Mg Fe Mn .
 $\sqrt{1.2}$

H₂ Apparat I

p	$L_0/t-t'$	$L_{99}/t-t'$
181①	0.01503	0.01972
-	1540	-
43①	1458	1891
-	1480	1897
40②	1565	2028
-	1600	2013
34③	1513	1957
-	1550	2011
10④	1292	1657
-	1301	-
8.5⑤	1473	1877
-	1488	1841

Apparat II

215①	0.01987	1998	0.02609
-	1989		2618
214②	2004		2587
-	2006	1922	-
41①	1941		2513
-	1935		2371
40②	1907	1660	2438
-	1906		2439
72②	1629		2009
-	1626	1660	2037
68①	1685		2017
-	1680		2046

CO₂

I

46①	0.001289	0.001914
-	1290	
15③	1275	
-	1272	
5②	1248	
-	1243	
28①	1236	
-	1239	1918

II

13①	0.001580	0.002369
-	1581	
5②	1549	
-	1553	
2.5①	1510	
-	1521	284
		402

Left Apparat II

35①	0.002682	0.003291
-	2702	
10②	2625	
-	2619	
5③	2572	
-	2585	
-	2604	

II

2.5②	2476	3140
-	2488	3157
-	2518	-
1.2③	2321	-
-	2349	-

Nittelwerte:	Luft	H ₂	CO ₂	
I	0.002137	0.01557	0.001242	
II	2630	1922	1533	sonst

ko:			
I	0.0000565	0.000411	0.0000328
II	559	409	326
Nittel:	562	410	327

für die Temperatur coefficienten folgt:

Apparat I

p	Luft	p
11 ①	0.00318	
—	316	
5.2 ②	277	
—	268	
2.5 ③	108	
—	296	
1.2 ④	303	
—	286	
Nittel	296	

	H ₂
181 ①	0.00315
—	300
43 ①	285
—	299
4.0 ②	261
—	296
34 ③	300
—	277
10 ④	273
8.5 ⑤	240
—	285

	CO ₂
5 ①	0.00539
—	568
2.6 ②	537
—	553
	549

Apparat II

10 ①	256
—	260
5 ③	263
—	271
2.5 ④	271
—	272
	266

215 ①	316
—	319
214 ②	294
—	298
41 ③	220
—	281
4.0 ④	283
—	236
7.2 ⑤	256
—	200
6.8 ⑥	206
	265
	275

5 ②	539
—	485
2.5 ③	584
—	584
	547

Also im Nittel: 281

548

Für die Dichtenden hat Thomson Proc. R.S. 37 p. 187. 1889
eine Formel berechnet, diese hier nicht angewendet

Erwärmungen ohne Einfluss

Die Zahlen für A sind um 0.5% corrigiert angegeben, wegen Temp. unterschied
an den Oberflächen des Glasbells.

Bemerkungen über Winkeln aus Ablesen (nur die 1. -)

Historische Bemerkungen:

Obermayer fand für $\mu = 0.0279$ Luft Schumann
 0.0257 H_2 0.02364
 0.02348 CO_2 0.02388

Die Werte Obermayer's stimmen mit obigen überein, auch für CO_2 wenn noch berichtigt,
denn $\frac{C_{100}}{C_0}$ von Willner bestimmt wurde, dann ergibt sich theoretisch
 0.02511 0.02560 für μ

Zusammenstellung der beobachteten k_0 , η_0 nach Obermayer, c_0 nach Ray,

Wied. und Bontj	k_0	η_0	c_0	$\frac{k_0}{\eta_0 c_0}$	relat. k	
					theor.	ber.
Luft	0.02562	0.031678	0.16902	1.982	1	1
H_2	0.02410	861	2.261	1.935	7.47	7.30
CO_2	0.02327	1383	0.14886	1.589	0.726	0.581

Nachdem $\frac{k_0}{\eta_0 c_0}$ für verschiedene Gase verschieden ist, können die bisherigen
Berechnungen von Rayn, Poltz. etc. nicht genügen.

Ad Winkel. 48 p. 180

191

Wenn Glasröhre massiv wäre so würde die Glasleitung = $\frac{1}{5}$ des ganzen Wärmeverlustes

$$\text{betrogen } 0.594 : 3.14 = 0.189 \quad \sqrt{0.189} = 0.435 = 2 \quad 2z = 0.87 \text{ cm}$$

$\frac{280}{29}$ $\frac{290}{83}$

Wenn man die Dicke der Glasröhre annimmt zu 0.5 mm (schon sehr dick)

$$\text{so wird der Querschnitt } \frac{0.087 \cdot 3.14}{2} = \frac{87.457}{2} = 43.7285$$

$$0.1366 = \frac{1}{7.32} \text{ des Querschnittes}$$

Somit Glasleitung = 5%

den kommt Thermometerstiel

$$\frac{0.15^2}{4} \cdot 3.14 = \frac{0.28}{628} = \frac{1570}{7065} = 0.222$$

$$\frac{0.1366}{0.155} = \frac{0.8813}{0.9375} = 0.94 \text{ des ganzen Querschnittes}$$

Andererseits hätte zu W noch der Wasserverlust des unter eingesetzten Stückes der Glasröhre hinzugefügt werden sollen.

Bei direkter Berechnung aus den gegebenen Werten für W und v by x, y- würde folgen $k_{61} = 0.0606$ somit $\frac{3}{60} = 5\%$ theoretisch
für $k = 0.04575$

auf die Glasleitung entfallen, wenn Strahlung = 0 angenommen

$$z\vartheta = \left(A_0 + \right) A_1 e^{-\alpha_1 t + \beta_1 z} + A_2 e^{-\alpha_2 t + \beta_2 z} + \dots \\ + B_1 e^{-\alpha_1 t - \beta_1 z} + B_2 e^{-\alpha_2 t - \beta_2 z} + \dots$$

$$\frac{cs}{k} \sum A \alpha e^{-\alpha t + \beta z} + \sum B \alpha e^{-\alpha t - \beta z} = \sum \beta^2 A e^{-\alpha t + \beta z} + \sum \beta^2 B e^{-\alpha t - \beta z}$$

$$\frac{cs}{k} \alpha = \beta^2$$

$$\theta_0 = \frac{1}{k} \sum A e^{\beta z} + B e^{-\beta z} + \frac{A_0}{2}$$

$$\text{für } z=0: \theta_0 = \sum \frac{(A+B)}{k} + \frac{A_0}{2} + \sum \beta(A-B) + \frac{\beta^2}{2!} \sum (A+B) + \dots$$

Somit jedenfalls: ~~$\sum (A+B)_n = 0$ und $\sum A+B$~~

~~$\sum (A-B)_n = 0$ und $\sum \beta(A-B)_n = 0$~~

$$A_0 + \sum (A+B) = 0$$

$$\sum \beta(A-B) = \theta_0$$

z.B. Spezialfall: $-A=B = \frac{\theta_0}{2\beta}$ $A_0 = -\frac{\theta_0}{\beta}$

$$\theta = -\frac{\theta_0}{\beta z} + \frac{\theta_0}{2\beta z} e^{-\alpha t} (e^{\beta z} + e^{-\beta z})$$

Vier. Ann. 4 p. 321

Wallner & v. Eschscholtz & v. Eschscholtz & v. Eschscholtz

Reyer nimmt η für 20° , c von Regnault für $200-150$

	η Obermayer η_0	η_{100}	c Wallner (für const. Vol.) c_0	c_{100}
Luft	0.0001678	2136	0.16902	0.16930
CO	1625	2047	0.17289	0.17395
CO ₂	1383	1859	0.14886 (L)	0.16730 (R)
N Oxyd	1353	1815	0.15130	0.17384
C ₂ H ₄	922	1244	0.27007	0.35366
NH ₄	—	—	0.38026	0.41635

Limit	$k = \eta c \cdot 1.53$ k_0	Wink. k_{100}	Wink. k_{100}	$\frac{k_{100}}{k_0}$ für	Wink.	
Luft	0.0000434	513	0.0000553	653	1.2747	1.2770
CO	430	499	545	-	1.2674	-
CO ₂	315	385	476	466	1.5106	1.5300
N Oxyd	313	350	483	506	1.5413	1.4468
C ₂ H ₄	381	395	673	636	1.7668	1.6110
NH ₃	-	458	-	709	-	1.5475

Siehe auch ~~Wallner~~ Winkels. 19 p. 687

Einfluss der Temperaturdifferenz innerhalb Thermometer

$$\left[\sqrt[3]{\frac{0.602}{2.6}} + \frac{5.478}{13.6} - \sqrt[3]{\frac{5.478}{13.6}} \right] \sqrt[3]{\frac{2}{4n}} =$$

$$= \sqrt[3]{\frac{2}{4n}} \sqrt[3]{\frac{5.478}{13.6}} \left[\left(1 + \frac{0.602}{2.6} \frac{13.6}{5.478} \right)^{\frac{1}{3}} - 1 \right]$$

13354	41497	73862	77960	40279
77960	73862	43354	41497	23154
91314	15359	2.60508-3	236463-3	63433
1		0.86836-1		
		0.85922		2.80231
		0.73852		0.93410
		0.12070		

$$0.622089$$

$$0.211030 = \log \sqrt[3]{\frac{2}{4n}}$$

$$0.08171-1$$

$$-0.21103$$

$$0.87068-2 \parallel \delta = 0.074247$$

$$0.86836-1$$

$$- \frac{21103}{0.65733}$$

$$n = 0.4543$$

Somit ~~man~~ ^{äußer} Dicke des Thermometerglases = 0.74 mm

Wenn man Dicke des Glashülls zu 1 mm annimmt

so wird die ~~A~~ wirksame Temperaturdifferenz bei stationären Strömen

$$\text{um } \frac{1.74}{3.35} \text{ für Lp} \\ = 1.6\%$$

$$\frac{1.74}{3.5} \text{ für H}_2 \text{ in Apparat I}_2 \\ = 11.6\% \text{ und II}_2$$

$$\frac{1.74}{9.35} \text{ Luft} \\ = 0.5\%$$

$$\frac{1.74}{9.5} H_2 \\ = 2.8\%$$

195
für I₁

$$\frac{1.74}{115.35} \text{ Luft} \\ = 0.4\%$$

$$\frac{1.74}{115.5} H_2 \\ = 2.6\%$$

für III₁

alles im Verhältnis 1:2 geprüft für 100°

Genaue Durchführung der Berechnung für Apparat III

Nach den Formeln in meiner Abhandlung

$$\frac{\Delta_2}{n} = \frac{0.74}{3.5} = \frac{1.48}{7} = 0.21$$

$$K' = 0.002$$

$$K'' = 0.02$$

$$C = 0.26 \text{ (angef.)}$$

$$\lg \frac{\theta}{\theta_1} = \frac{2.0}{5.8} = \frac{60206}{23026} = 0.39794$$

$$\frac{\Delta R_1}{R_1} = \frac{1}{15} = 0.067$$

$$\lg \frac{\alpha}{\theta_1} = 0.92$$

$$\frac{\Delta R_2}{R_2} = \frac{1}{6.5} = 0.15$$

$$\frac{0.26 \cdot 0.92}{2 \cdot 15.314} = \frac{184}{552} = \frac{2392:94}{512} = \frac{254}{42}$$

$$\left[\frac{0.28}{0.002} + \frac{1}{0.04} \right] = 1 \quad \left[\frac{0.36}{0.002} + \frac{1}{0.04} \right] = 2$$

$$\frac{140}{142} = 142$$

$$\frac{180}{182} = 182$$

$$0.0254 \cdot 142 \\ 102 \\ 51$$

$$0.0254 \cdot 182 \\ 203 \\ 5$$

$$\lg \frac{\theta}{\theta_1} = \frac{0.26 \cdot 0.92}{234} = \frac{52}{0.2392}$$

$$Corr_1 = 407 \text{ sec.}$$

$$Corr_2 = 462 \text{ sec.}$$

Damit ergibt sich Σt in Mittel:

Luft	000374928	¹ 10060	100	² 100
	13346	829.2	800.5	598.9
	23052	26399	12492	16697
H ₂	433.8	378.8	120.6	104.0
			82918	80096155
CO ₂	1127.7	1127.7	1010.5	713.4
	1792.2		98962	14017
	55796	88676		

63729	57841	08135	07703
35271	42159	91865	98297
25339	05219	00453	35333
79561	94781	99547	14667
12535	91856	90336	77725
87455	08134	09664	22265

$$\frac{R_1}{P} = \frac{4P}{11.5} \quad 30:1.7$$

$$\frac{R_2}{P} = \frac{13}{1.7}$$

$$\begin{array}{r} 47712 \\ 23045 \\ \hline 124667 \end{array} \quad \begin{array}{r} 11394 \\ 23045 \\ \hline 088349.23 \\ 1767 \\ 2650 \\ \hline 2032 \end{array} \quad \begin{array}{r} 0.000057 \\ 230.124 \\ \hline 248 \\ 272 \\ \hline 285 \end{array}$$

$$= \frac{0.0000200}{0.000088} \quad \begin{array}{r} 0.0000200 \\ \hline 0.000088 \end{array} \quad \begin{array}{r} 0.0000200 \\ \hline 0.000088 \end{array}$$

$$6p = 0.000104 \cdot 0.085 \quad \begin{array}{r} 340 \\ 0.0000088P4 \end{array}$$

$$\begin{array}{r} 465.61 \\ 54 \\ \hline 28365:54 = 525 \\ 136 \\ 285 \end{array} \quad \begin{array}{r} 27905 \\ 465 \\ \hline 28365:54 = 525 \end{array}$$

$$\sqrt{120} = 11$$

$$\kappa' = 0.003 \quad \sqrt{2\kappa'} = 0.0775$$

$$\kappa' \Delta = 3.14 \cdot 0.085 \cdot 0.0775 \cdot 0.0054$$

$$\begin{array}{r} 49715 \\ 92942 \\ \hline 88930 \\ 73239 \\ \hline 04826 \end{array} \quad \begin{array}{r} = 0.00001117 \\ 0.24 \\ \hline = 0.0000465 \end{array}$$

$$= \kappa' \Delta_{21}$$

$$510 = \kappa' \Delta_{2100}$$

$$\begin{array}{r} 12060 \\ 510 \\ \hline 11550 \end{array} \quad \begin{array}{r} 16697 \\ 578 \\ \hline 16119 \end{array} \quad \begin{array}{r} 578 = \kappa' \Delta_{2100} \end{array}$$

$$\begin{array}{r} 74928 \\ 465 \\ \hline 7028 \end{array} \quad \begin{array}{r} 12492 \\ 525 \\ \hline 11967 \end{array}$$

$$4569:4939$$

Fortb. 48 II p 373

Sutton & Kilgour The thermal emissivity of thin wires in air

Phil. Trans. Lond 183, A. 371-405 (1892)

Proc. R. S. 50, 166-172, (1893)

Plot of ϵ vs ρ in cm^2/g at V were closed; also $0.031 - 0.356 \text{ mm}$

Then ϵ vs temp at $\rho = \text{const}$

Butterley Thermal radiation in absolute measure

Nature 46, 603, (1892) Proc. R. S. 52, 162-163, (1892)

In English | hervort und verbleibt | abgeköhlt bei verschied Verdünnungen

$\frac{1}{500.000} \text{ mm}$	3.42	2.30	} 10^{-4} (C.S.S.) pattern
$\frac{1}{500.000} \text{ mm}$	1.40	0.18	

Fortb. 46 II p 379

Zee On the of cooling and its being on the theory of motion of heat in bars

Abkühl. von vermischten Stäben aus Cu Fe Zn von $100^\circ - 30^\circ$

Später Zeitabhängigkeit : $= h \theta^{1.21}$

Nach früheren Beob von Mitchell [Proc. R. S.] 1887 $= h \theta^{1.26}$

Sitzgsh. 96 1891 Sp. 1 u. 2 Rothmann

Polenick pyen Tait

Tarts Adlty. d. imm Parly, vltz, d/ 6th 2/9 6 Baltz 112 = 6

Th. 9 Nov 81 p. 117 S.G. Caswell/ysd

[illegible]

Этот документ не является частью дела.

Styger. 81 v. 117 for 1801, 1802

7. 122:

7. 122: $\frac{1}{2} = \frac{q}{p}$, Rh. S. III, 35. $\frac{5}{3}$

Clamoir Poy A 100

Stefan Fitzp. 1863 $\frac{25}{12}$

Lang 64 7485 $\frac{1}{2}$ 65 1.415 $\frac{3}{2}$

Notter 66. $\frac{5}{2}$

Rückl. — 20. 2. 1908 $\frac{2}{3\pi}$

OE Rega Km. 11.5 to 1.107 $\frac{n^2}{8}$ 1.188 1.53

84 p. 40

66 p. 213 8 L₃ / e Rd /

Heilmann Comp. - 96' 1" + 2000 ft. $\frac{1}{25}$ ft.

✓ $f(x)$ & $g(x)$ are both functions

$$\left(\begin{aligned} L l &= L K \text{ pro. (1)} & \beta^{-1} l &= L K \text{ intramod.} \\ & & & = \frac{5-3}{3-1} l \end{aligned} \right)$$
 für $\beta = 1\frac{1}{2}$

$$S + \frac{2}{5} = 3\frac{4}{5} = 3\frac{2}{5}$$

für Luft $\rho = 12 \frac{1}{3}$

dohar

$$k_{\text{diff}} - k_{\text{pgr}} = 0.514 \frac{\mu^2 J}{A_2 k_p^2 T}$$

$$k_{tot.} - k_{prop.} = 0.833 \quad "$$

$$k^{3/4} - k_{\text{proj}} = 0.192 \text{ "}$$

Es muss also angenommen werden, 2800 Vesp. für ein Intern. 103 Vesp. für ein
 Wes. d. f. d. p. ~ 8. ~ 100 Cylinder 0° - 100°; 2 p. intern. 103 ~ 100
 ~ d. f. d. p. ~ 8 ~ 2 Vesp. 50° intern.; 2 p. intern. 103 ~ 100 Vesp. p. p. d. f. d. p.
 d. e. n. t. ~ 200 Vesp. ~ 100 p. p. ~ 600 Vesp. ~ 100 Vesp. ~ 100 Vesp. ~ 100 Vesp.
 p. d. f. d. p. ~ 8 ~ 100.

$$p-1 = \frac{5-3}{3(y-1)} \quad (y = \frac{5}{3}) \quad p-1 = 0$$

$$f = \frac{7}{5} \quad \rho - 1 = \frac{25 - 21}{3.2} = \frac{2}{3} = 0.67$$

$$f = \frac{4}{3} \quad \beta - 1 = \frac{1}{1} = 1$$

$$y = \frac{6}{5} \quad \rho^{-1} = \frac{25-18}{3} = \frac{7}{3} = 2.33$$

$$\beta = \frac{5-3y+3y-3}{3} = \frac{2}{3} \frac{1}{y-1}$$

$$y-1 = \frac{2}{\beta}$$

$$y-1 = \frac{2}{3p} \parallel y = \frac{2+3p}{3p}$$

	I_{100}	I_{100}	P_0	P_0
Lup	16697	12060	12492	7493
limp	724	747	815	798
	531		160	

$$\frac{23}{724} \cdot 167 = \frac{334}{501}$$

$$\frac{334}{501} : 724 = 5306$$

$$\frac{17}{798} \cdot 7493 = \frac{1275}{80} = \frac{75}{1275} \cdot 81 = 1594$$

$$\begin{array}{r} 17228 \\ 12060 \\ \hline 5168 : 4839 = 106 \end{array}$$

$$\begin{array}{r} 12492 \\ 7653 \\ \hline 4839 \end{array}$$

6	0
100	92
200	184
300	276
400	368
500	460
600	552
700	644
800	736
900	828

$$\begin{array}{r} 3938 \quad 2651 \\ 26725 \quad 1582 \\ \hline 12655 : 1069 = 1184 - 16\% \end{array}$$

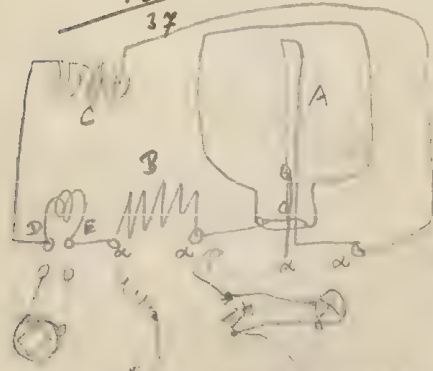
$$\begin{array}{r} 3938 \cdot 23 \quad 549 \\ 318 \quad 724 \quad 1088 \\ \hline 163 \\ 1251 \end{array}$$

$$1582 \cdot \frac{17}{800} = \frac{34}{1000} = 3.4\%$$

$$\begin{array}{r} 13906 : 1035 = 13436 - 16 \\ 3556 \quad 20 \\ 451 \quad 724 \end{array}$$

$$k_0 = 1.40576$$

$$k_{100} = 1.40189$$



R = 7m pour la détermination de la résistance
 de la bobine, entre les bornes A et B
 et pour la détermination de la résistance en série
 à DE. Pile d'opposition K, résistance de 5000 Ohm
 et source de courant. La bobine est
 permise de déterminer la résistance de la bobine
 en la plaçant dans le circuit de la pile d'opposition
 de 5 Ohm exactement équilibrée à la pile

K 10- 5 2
 3.25 8.9 3.0 1.0 1.0 1.0

Relative Werte Winkel (44) für 0°	Fahrenheit	Grate	Kal	Stufe	Winkel (7-8°)	Planck
Luft	1.000	1.000	1.00	1.00	1.00	1.00
H ₂	6.90	7.30	6.59	6.54	6.718	7.13
CO ₂	0.589	0.582	0.639	0.589	0.642	0.668
C ₂ H ₄				0.752	0.853	890
CH ₄				1.372	0.772 II	1.66
N ₂ O				0.665	1.298	0.734
CO				0.981	0.736	890
O ₂				1.018	0.919	102
NO ₂				0.665	1.015	959
N ₂					1.042	0.990
NH ₄					0.915	0.916
H ₂ O					0.714	
CS ₂					0.351	0.341
Alk.					0.573	
Alk.					0.565	0.794

Wied. Ann. 60 p. 82

100

E. Müller Exp. Untere. 8 ab. 25 cm. 1/2

$$w.v = k \frac{4\pi R_2}{R-2} + 4\pi R^2 b + g + g'$$

$$w(v_2-v) = k \frac{4\pi R_2 (R_1-R_2)}{(R_1-2)(R_2-2)} + \overbrace{(g_2-g)}^u + \overbrace{(g'_2-g')}^u$$

I). Metallapparat

$$c_{Al} = 0.2493$$

$$D = 35.837$$

$$r = 1438 \text{ cm}$$

$$c_{Pt} = 0.0333$$

$$5.297$$

$$R_1 = 3.533$$

$$c_{Kupfer} = 0.086$$

$$0.696$$

$$R_2 = 2.012$$

$$c_{Glas} = 0.1988$$

$$0.333$$

$$w = 7.9812$$

Therm. Stiel doppeltwendig, Holz (ncl = 0.5 cm)

$g' = 0$ weil Stiel mit Temp. p. 20-25 cm. v. 1/2 f. 1/2

1). g als klein e. r. = 0.2 v. 1/2

L. 10-20 cm
H. 30-40 "

ex. untr. $\rho = 0.7$ v. 1/2

$$v_1 \lg e = 0.000149 + 0.000000367$$

$$(v_2-v_1) \lg e = 0.000114 \text{ (comp. 0.156 v. 1/2)}$$

$$v_2 \lg e = 266 + 337$$

$$(v_2^* - v_1') \lg e = 0.000781 + 0.001967$$

$$v_1' \lg e = 454 5727$$

$$(v_2' - v_1) \lg e = 0.001175 -$$

$$v_2' \lg e = 1248 3137$$

$$- 0.0056037 + 0.0079057$$

$$k = 0.0458576 - 0.06128037 + 0.0444037^2$$

$$\text{für } \tau = 120: 0.045766$$

[ex. d. d. 10.1]

für Temp. = 25°

$$\left(\frac{k}{k_0}\right) = \frac{781}{114} \neq 7 \text{ * } \sqrt{6} \text{ Temp. 0.6 m. 2. 0.65 - 2.3 m. 2}$$

2. conc. 5 m₂

$$k = \frac{\pi (R_1 - r)(R_2 - r)}{4\pi r^2 (R_1 - R_2)} \quad v_2 - v_1 \quad \text{mit } g_2 - g_1 = 1$$

$$k = 0.04746 \quad \left[\text{norm } g_2 - g_1 = 0.03611 \right]$$

II) Glas Apparat

$$R_1 = 3.243 \text{ cm} \quad P_{\text{H}_2} = 2.180$$

$$R_2 = 1.693 \text{ " } \quad P_{\text{gem}} = 0.380$$

$$n = 0.457 \text{ " } \quad W = 0.1484$$

(R_{ball} = 1 cm)

$$p = 0.1 \text{ "}$$

$$\lambda = 9 \text{ "}$$

1. $g_2 - g_1 = 0$ $g_2' - g_1'$ vern. d.

Mk. H. von 450 - 8°

$$(v_2 - v_1)_{\text{lye}} = 0.032142 \quad k = 0.046196$$

2. 60 v R₁ WSK Ce

1). v Seifen R	t _s	= 1044	Lp
		1052	H ₂
		1076	CO ₂

158 Stunden später

1034
1060
1065

2). v Sprengel CO₂: 1108

1096

\angle H₂: 1158

1160

48 Stk
1156

$$(v - v_s)_{\text{lye}} = 0.00109 \quad k = 0.045572$$

h) p₀ & k₀ WSK₀ p₂ p₁ u₀ u₂₀ = 0.201 2). 2 Vacuum
51 0.177

tot. Off. Ann 159 p. 177 ~~823~~ 205 g sp. n. ex. 22.2 temp.

Winkelmann

Apparate I und III der ersten Arbeit (Glas)

	I	II	III	II	II
C_2H_4	0.0003705 7307	74 1087	0.0003867 8282	7.5 1079	5 m
N_2O	3453 6567	74 1089	3665 7740	7.6 108.0	5
H_2O	3527 6736	74 108.9	3733 7862	7.6 108.0	5
C_2H_6O (Methanol)	3113 6446	74 1089	3464 7626	7.6 1080	11.6
CS_2	2470 5312	74 1087	3024 6879	7.6 107.9	10
NH_3	4118 7783	4	4112 7591	4	12
$C_4H_{10}O$ (isohex)	3107 6515	74 108.9	3425 7711	7.6 1080	10

$$\text{Daraus } \frac{w_c}{x_c} = \frac{V_{w_c} - s_c}{V_{x_c} - s_c}$$

für s_c war gefunden I: 0.0001497
II: 2268

relative Werthe für k in Bezug auf H_2 :

	I	III	Mittel	beruhen auf Luft = 634	g Sauerstoff pro g
H ₂ O	8.79	9.07	8.88	0.714	4388
Al.	11.04	11.12	11.07	0.573	6147
CH ₂	18.34	17.58	18.08	0.357	5717
NH ₄	6.81	7.17	6.93	0.915	5128
Asch.	11.08	11.49	11.22	0.565	7012
C ₂ H ₄				0.773	5751
N ₂ O				0.680	4149
Luft mit H ₂					277
CO ₂					497

} besteht aus der
Luft und Sauerstoff
u. H₂.

Wärmen. d. e. s. f. Luft. Sauerstoff. u. v. 6^{ter} temp. haben $\frac{1}{10}$ v. CO₂, C₂H₄, N₂O
- 1000 sind v. f. d. Wärm. etc.

1750
1683
16775
1679

$$3895 : 4 = 1695 = \gamma \quad C_0 = 0.1695$$

$$17^2 = \frac{289 \cdot 5}{2} = \frac{1445}{2} = 722.5$$

$$\frac{270.20}{10540}$$

$$\frac{1880 \cdot 54}{102} = \frac{994}{752}$$

Wärme: n=78 Luft
63 H₂

Wärme 1000

	Index	Bohr's coefficient	Bohr's coefficient	Index	K _u W
Luft	1822 ⁽³⁾ 1750 ⁽¹⁰⁾	1683	1900	1880	1917 ⁽³¹⁾
O ₂			2120	2060	
N ₂		1635	1840	?	
N ₂ O		1408	1600		
NO		1645	1860		
CO ₂	1432 1432 ⁽³⁾	1414	1600	1600	1528 ⁽³⁾ 1520 ⁽¹⁵⁾
CO		1630	1840		
C ₂ H ₄		966	1090		
CH ₄		1040	1200		
H ₂	890 ⁽³⁾ 870 ⁽⁴⁾	822	930	1130	928 ⁽¹⁵⁾ 923 ⁽¹⁵⁾ 915 ⁽²¹⁾
H ₂ O	904 ⁽⁴⁾				967 ⁽¹⁶⁾ 975 ⁽²²⁾
NH ₃		957	1080		
Alk.	827 ⁽³⁾				885 ⁽⁴⁾ (160)
Äther	689 ⁽⁴⁾				797 ⁽⁴⁾ (165)
CS ₂	924 ⁽⁴⁾				990 ⁽⁴⁾ 1000 ⁽⁴⁾
Äther	709 ⁽³⁾				(168) ⁽⁴⁾ 759
Chloroform	959 ⁽¹⁷⁾				(174) ⁽⁴⁾ 1029
Cl ₂		1287	1470		
HCl		1379	1560		

Oben	Oben	Wiedeman
73	90	733
366.5	1697.5	3695
274	9000	72196
$\frac{11}{283}$	1873	
$\frac{11}{264}$	16586	
3719	1353	960
345		
3701	13821	3706
348		91654
366.5	16252	930
269		695
366.5	9222	965
350	(2)	
$\frac{11}{249}$	860.55	3656
		69312
		41575
		940
1380 (677)		
1560 (887)		
		6894
		0004 185

$$\eta = \eta_0 (1 + \alpha t)^n = \eta_0 (1 + \beta t)$$

oberm., Only OE n., oberm. \rightarrow ybbm

	Wiedem. C ₁₀₀ Regnault	T ₀ Wiedem.	h _u	h _v	$\frac{p}{100}$ W _u	W _v	W _u	W _v
Lup	-30 +100 23771	0-100 23741	19-100 23749					1'405
O ₂	0.2178R							1'901
N ₂	0.2438R							1'405
H ₂	3.410							2'470
CO ₂	0.1952	2169	0.1870R	1.2653 9-34	1.31131 1.28212	1.3052 19.23	1.292 20-15.8	1.2982
CO	0.2426		0.2450R		1.4032 1.39465		1.408	0.2438
Cl ₂			0.1141R 0.1155R.				1.323	0.1148
N ₂ O	1983	2212			1.3106 1.2724			1.3106
NO			0.2317R.					1.394
CH ₄				1.316 11-30 1.2430				1.3175
C ₂ H ₄	3364	4189		22-38	1.24548 1.1870			1.2530
H ₂ O				1.274 78		1.73 94	1.277 103-104	
NH ₄	5009	5317		1.2622 21-40	1.3172 1.2770			1.2958
CS ₂	1315 ₂₃		963	1.1890 21-40	1.205 3-67			1.20
CHCl ₃	1341		0.0677	1.1100 24-42	1.102 22-78			
HCl								
Alk.						1.173 53		
Alk.	3725		4268	1.0288 42-45	1.025 3-46	1.097 20		1.09
C ₆ H ₆								
Lup	0.2389		0.2389					

$$C = C + \Delta C = \frac{p}{p_0} \cdot \frac{V}{V_0} \cdot T$$

Relative Werte auf Lup = 1

	Anteil ^{oo}	Mittel	Grad ²⁰⁰		obermgen	NEr-Singy	Werte	obermgen	Anteil	Wieder.
Lup	1000	270	1000		1000	1000	1000	274	267	269
H ₂	490 497	251	488	489.5	513	601	498	249	253	
O ₂		283	977	1.116	1.116 _s	1.096	1.116	283		
N ₂		264	971 _s	968 _s	989		976	264		
CO ₂	786	343	840	842	824	851	[817]	348	340	341
CO		262	968 _s	968 _s	969		969	269		258
NO ₂		349	837	842	807		823	345		352
NO			977	979			978			
CH ₄			618	622			625			
C ₂ H ₂		352	574	574	550		562	350		354
C ₂ H ₄	528						528			
H ₂ O	517						517			
CHCl ₃	548						548			
C ₆ H ₆	405						405		[463]	
NH ₃			569	568			569 _s			
Cl ₂			765	774			770			
HCl			819	821			820			
C ₂ H ₅ OH		163					163			
Mn	473						473			
N ₂ H ₄	394	391					394		391	

$$\frac{498.9}{5482} = 2$$

$$\frac{976.9}{8784} = 4$$

$$\nabla \times v = \nabla \times (v_0 + v - v_0) = v_0 + \nabla \times (v - v_0)$$

$$v - v_0 = \frac{1}{2} \nabla \times (v - v_0) + \frac{1}{2} \nabla \text{curl}(v - v_0) \cdot r$$

$$\nabla \times v = \left(i \frac{\partial}{\partial x} + j \frac{\partial}{\partial y} + k \frac{\partial}{\partial z} \right) (x v_1 + y v_2 + z v_3) = i v_1 + j v_2 + k v_3 +$$

$$i x c_{11} + y c_{12} + z c_{13} + j x c_{21} + y c_{22} + z c_{23} + k x c_{31} + y c_{32} + z c_{33}$$

$$\nabla \times v = \nabla \times \varphi = \nabla \times \varphi = \nabla \times \varphi$$

$$+ x(i c_{11} + j c_{21} + k c_{31})$$

$$+ y(i c_{12} + j c_{22} + k c_{32})$$

$$+ z(i c_{13} + j c_{23} + k c_{33})$$

$$\nabla \times v = v + v_R$$

$$v_R = x \nabla v_1 + y \nabla v_2 + z \nabla v_3$$

$$\nabla \times v = v$$

Für lin. Vektorfunkt.

$$\nabla \times v = v_R$$

$$v = v_0 - v + \nabla \times v + \nabla \text{curl} v \cdot r$$

$$v = v_0 + \nabla \times v + \nabla \text{curl} v \cdot r$$

Gilt für lin. Vektorfunktion

Das ist dasselbe Story wie

Die Sache beruht also darauf dass $\nabla \times v = v$ festgesetzt werden kann wenn die Komponenten $v = i dx + j dy + k dz$ angenommen wird

$$v_r = v_{1q} x + v_{2q} y + v_{3q} z$$

$$i \frac{\partial}{\partial x} \left\{ 2c_{11} x^2 + (c_{21} + c_{12}) xy + (c_{31} + c_{13}) xz + (c_{22} + c_{12}) xy + 2c_{22} y^2 + \dots + (c_{31} + c_{13}) xz \dots \right\}$$

$$= 2i \{ 2c_{11} x + (c_{12} + c_{21}) y + (c_{13} + c_{31}) z \} = 2i v_{1q}$$

stimmt

$$\nabla_r(v_r) = \nabla_r(v_1 x + v_2 y + v_3 z)$$

$$= \sum_i \frac{\partial}{\partial x_i} \left[x \frac{\partial v_1}{\partial x} + y \frac{\partial v_2}{\partial x} + z \frac{\partial v_3}{\partial x} + v_1 \right]$$

$$c_{11} x + c_{12} y + c_{13} z +$$

$$= i v_1 + j v_2 + k v_3 = 0 \quad \text{stimmt!}$$

Zu beweisen, dass

$$v_0 + (\nabla \cdot \nabla) v \text{ für unendlich kleine } v \text{ gleich ist } \frac{1}{2}(v_0 + \nabla \cdot v + \underbrace{\nabla \text{curl } v, v}_{\text{div} = 0})$$

Ersteres kann entwickelt werden in:

$$v_0 + \nabla \cdot (\nabla v) + \frac{1}{2} \nabla \text{curl } v, v + \frac{1}{2} \nabla \text{curl } v, v$$

und gilt auch noch für endliche v $\text{div} = 0$

Diese Entwicklung einer linearen Funktion ist eigentlich unstatistisch, da nicht $v - v_0$ sondern $v - \frac{1}{2} v_0$ sich als Differential ausdrücken lässt. Kann man sie nicht auf die Form bringen

Lineare Vektorfunktion:

$$v = \frac{1}{2} v_0 + \nabla v r + \nabla \times v r$$

$$\begin{matrix} r_2 & r_3 \\ \frac{\partial v_1}{\partial x} - \frac{\partial v_2}{\partial y} & \frac{\partial v_2}{\partial x} - \frac{\partial v_3}{\partial y} \end{matrix}$$

$$v = \begin{matrix} i & j & k \\ \frac{\partial}{\partial x} & \frac{\partial}{\partial y} & \frac{\partial}{\partial z} \\ v_1 & v_2 & v_3 \end{matrix}$$

$$2v_1 = (v_1)_0 + \frac{\partial}{\partial x}(v_1 r_1 + v_2 r_2 + v_3 r_3) + r_2 \left(\frac{\partial v_1}{\partial x} - \frac{\partial v_2}{\partial y} \right) + r_3 \left(\frac{\partial v_1}{\partial z} - \frac{\partial v_3}{\partial x} \right)$$

$$= (v_1)_0 + r_1 \frac{\partial v_1}{\partial x} + r_2 \frac{\partial v_1}{\partial y} + r_3 \frac{\partial v_1}{\partial z} + v_1 \frac{\partial r_1}{\partial x} + v_2 \frac{\partial r_2}{\partial x} + v_3 \frac{\partial r_3}{\partial x}$$

$$= (v_1)_0 + r_1 \frac{\partial v_1}{\partial x} + r_2 \frac{\partial v_1}{\partial y} + r_3 \frac{\partial v_1}{\partial z} + v_1 \frac{\partial r_1}{\partial x} + v_2 \frac{\partial r_2}{\partial x} + v_3 \frac{\partial r_3}{\partial x}$$

$$2v = v_0 + (r \cdot \nabla) v + \nabla \times (v r)$$

Angenommen:

$$v = v_0 + (r \cdot \nabla) v = v_0 + \nabla_v (v r) + \nabla \times (v r)$$

Somit müsste $v = \nabla_v (v r)$?

Falsch!

$$v_1 = c_{11} x + c_{12} y + c_{13} z$$

$$v_2 = c_{21} x + c_{22} y + c_{23} z$$

$$v_3 = c_{31} x + c_{32} y + c_{33} z$$

$$v_1 k = c_{11} x + c_{12} y + c_{13} z$$

$$v_2 k = c_{21} x + c_{22} y + c_{23} z$$

$$v_3 k = c_{31} x + c_{32} y + c_{33} z$$

$$v + v_k = \begin{pmatrix} 2c_{11} & c_{11} + c_{12} & c_{13} + c_{13} \\ c_{21} + c_{12} & 2c_{22} & c_{23} + c_{32} \\ c_{31} + c_{13} & c_{23} + c_{32} & 2c_{33} \end{pmatrix}$$

$$v - v_k = \begin{pmatrix} 0 & c_{21} - c_{12} & c_{31} - c_{13} \\ c_{12} - c_{21} & 0 & c_{32} - c_{23} \\ c_{13} - c_{31} & c_{23} - c_{32} & 0 \end{pmatrix}$$

$$(51) \quad v = \frac{1}{2} (v + v_k) + \frac{1}{2} (v - v_k)$$

$$(52) \quad v = \frac{1}{2} \nabla v_1 r$$

Zuständig des Drehts von Einfluss?

$$\frac{2\pi l k}{\log \frac{R}{r}} t : \varepsilon n p^2 l c s = \frac{\varepsilon p^2 c s \log \frac{R}{r}}{2 k t}$$

$$\varepsilon \frac{0.02^2 \cdot 215 \cdot 0.032 \cdot \log 60}{2 \cdot 0.000060 \cdot 60 \cdot 60} = \varepsilon \frac{0.0004 \cdot 215 \cdot 0.032 \cdot 2.3 \cdot 1.8}{2 \cdot 3600 \cdot 0.00006}$$

$$= \varepsilon \frac{43 \cdot 0.08 \cdot 697}{3600 \cdot 900} = \frac{309 \cdot 0.08}{24 \cdot 900} = 2.7\%$$

Also wenn in den Schlierenmacher'schen Versuchen der ganze Dreht in 1 Stunde verstrahlt wäre, so würde die dadurch transportierte Wärmemenge doch nur 2.7% der Luftleitung betragen! Daher Einwurf von Ströte vollkommen unberechtigt.

$$\begin{array}{r}
 57.386 \\
 1930 \\
 \underline{2702} \\
 2200 : 17 = 1 \\
 50
 \end{array}$$

$$\begin{array}{r}
 166.87 \\
 522 \\
 \underline{56} \\
 147
 \end{array}$$

$$\begin{array}{r}
 5822 \\
 146 \\
 1 \\
 604
 \end{array}$$

$$\begin{array}{r}
 724 \\
 \underline{492} \\
 816
 \end{array}
 - \begin{array}{r}
 447 \\
 \underline{2765} \\
 724
 \end{array}$$

$$\begin{array}{r}
 723 \\
 89 \\
 \underline{822}
 \end{array}
 - \begin{array}{r}
 267 \\
 \underline{466} \\
 733
 \end{array}$$

$$\begin{array}{r}
 735 \\
 87 \\
 \underline{825}
 \end{array}
 - \begin{array}{r}
 26 \\
 \underline{476} \\
 798
 \end{array}$$

$$\begin{array}{r}
 090 \\
 163 \\
 \underline{193}
 \end{array}
 - 690$$

$$\begin{array}{r}
 278 \\
 444 \\
 \underline{722} \\
 95 \\
 \underline{815}
 \end{array}$$

	$k_{\text{fer.}}$	C_{ohu}	k_{pym}	$\frac{\text{int.}}{\text{tot.}} \text{En}$	Step on Rand.	Winkel
L_{up}	1.000	0.1695	1.000	0.393	100	
O_2	1.022	0.15525	1.012	0.399	1018	1.018
N_2	0.999	0.1735	0.999	0.393	(6990)	
H_2	7.13	2.427	7.13	0.393	6.72	6.33
CO_2	0.709	0.1472	0.522	0.552 447	0.642	0.609
CO	0.990	0.17315	0.997	0.388	0.981	0.983
Cl_2	0.394	0.08677	0.314	0.516		
N_2O	0.734	0.1513	0.563	0.534 466	0.665	0.691
NO	0.959	0.1662	0.933	0.409	(6950)	0.886
C_2H_4	1.659	0.4500	1.300	0.524 476	1.372	1.246
C_2H_2	0.890	0.2685	0.556	0.621 399 190	0.752	0.796
H_2O				0.556 444	(0.916)	0.714 0.915
NH_3	1.297	0.3865	0.947	0.70		0.351
CS_2	0.341	0.6465	0.176			
CHCl_3						
HCl						
Alk						
Stk	0.794	0.2015	0.1685	0.865		0.565
C_6H_6						

0.589

~~7.67~~ $\frac{138}{862}$ ~~7.67~~ $\frac{133}{8665}$ ~~7.67~~ $\frac{131}{869}$ ~~8.12~~ $\frac{155}{845}$ $\frac{139}{861}$

BROW
...worzeniem be
...or. z Krakowem
...komisji kom
...rzy udziale
...między
...polacz

[illegible]

